ЛЕНИНГРАДСКИЙ ГИДРОМЕТЕОРОЛОГИЧЕСКИЙ ИНСТИТУТ

ИССЛЕДОВАНИЕ КРУПНОМАСШТАБНОГО ВЗАИМОДЕЙСТВИЯ ОКЕАНА И АТМОСФЕРЫ В СЕВЕРНОЙ АТЛАНТИКЕ

СБОРНИК НАУЧНЫХ ТРУДОВ

(междуведомственный)

ЛЕНИНГРАДСКИЙ ОРДЕНА ЛЕНИНА ПОЛИТЕХНИЧЕСКИЙ ИНСТИТУТ им. М. И. КАЛИНИНА

ЛЕНИНГРАД

Исследование крупномасштабного взаимодействия океана и атмосфері в Северной Атлантике. Сборник научных трудов (междуведомственный). — Лизд. ЛПИ, 1986, вып. 93, с. 158. (ЛГМИ).

The property of the telephone is a security of the second

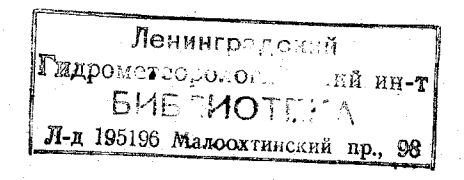
В сборнике рассматриваются различные аспекты крупномасштабного взаи модействия океана и атмосферы. При этом большое внимание уделяется изуче нию энергоактивных зон Мирового океана, особенностям формирования темпе ратуры поверхности океана и причинам их колебаний, расчетным методам раз личных гидрометеорологических полей.

Сборник рассчитан на научных работников, инженеров-океанологов, а такж студентов старших курсов гидрометинститутов и географических факультето университетов.

Табл. 14. Илл. 40. Библ. 152.

РЕДАКЦИОННАЯ КОЛЛЕГИЯ:

проф. Н. П. Смирнов, ответственный редактор (ЛГМИ), ст. научн сотр. В. Н. Малинин, ответственный секретарь (ЛГМИ), проф. Б. А. Кага (ЛО ИОАН), ст. научн. сотр. М. И. Масловский (ЛГМИ), проф. Л. Т. Матвее (ЛГМИ), проф. А. В. Некрасов (ЛГМИ), д-р физ.-мат. наук И. В. Николаев (ААНИИ).



ИССЛЕДОВАНИЕ ТЕПЛОВОГО КРУПНОМАСШТАБНОГО ВЗАИМОДЕЙСТВИЯ ОКЕАНА И АТМОСФЕРЫ

В настоящей статье исследуются процессы крупномасштабного ззаимодействия океана и атмосферы, приводящие к формированию з этой системе устойчиво существующих состояний. Важность обсуждаемой проблемы определяется задачами улучшения качетва прогнозирования погоды и развития теории климата. При гроведении исследований теплового взаимодействия в системе тмосфера — океан — континент (АОК) будем использовать упроценную модель, описывающую климатические нормы термических полей и их изменения с масштабом времени месяц — сезон. Такая лодель позволит исследовать процессы взаимного приспособления голей температуры океана и атмосферы и анализировать факторы, пределяющие отклонения от климатических норм. Основой для гостроения модели будем считать положение Х. Адема [1] о том, гто для прогноза поля температуры на месяц (сезон) основным гравнением, описывающим гидротермодинамику атмосферы, стаговится уравнение притока тепла, а динамическую часть задачи ложно приближенно ограничить рассмотрением процессов макроурбулентного обмена. Примем также, что атмосфера политропна, верхний квазиоднородный слой (ВКС) океана изотермичен.

Тогда уравнение теплового баланса для тропосферы и для дея-

ельного слоя подстилающей поверхности примет вид:

$$H \frac{\partial T_a}{\partial t} + A_m = E_a + G_2 + G_5, \tag{1}$$

$$h \frac{\partial T_s}{\partial t} + A_s = E_s - G_2 - G_3. \tag{2}$$

де H— средняя высота тропосферы; h— толщина ВКС кеана; T_a и T_s — температуры воздуха на уровне и подстилающей среды, соответственно; A_m и A_s — перенос тепла атмосфере и океане; E_a и E_s — радиационные балансы атгосферы и деятельного слоя, соответственно; G_2 — турбулентный оток тепла на границах раздела между атмосферой и подстилающей поверхностью; G_3 — затраты тепла на испарение воды с подтилающей поверхности; G_5 — тепловой эффект конденсации вояного пара.

Для численных значений параметров, входящих в уравнени (1), (2) использовались наши разработки [8, 9], а также работ У. Селлерса [14], Б. Зальцмана [11] и А. Вернекара [15]:

После записи составляющих уравнений (1), (2) через темп ратуры слоев и их дифференциальные характеристики, получае систему нелинейных уравнений (3)—(5) относительно темпер туры на среднем уровне тропосферы и температуры у поверхности

$$\frac{\partial T'_a}{\partial t} + \vec{u}_{1,2} \nabla T'_a - \nabla (k \nabla T'_a) = S_{1a} T'_a + S_{2a} T'_s + S_{3a}; \qquad (3)$$

$$\frac{\partial T_s'}{\partial t} = S_{1s} \ T_a' + S_{2s} \ T_s' + S_{3s}; \qquad (4)$$

$$\frac{\partial}{\partial t} \Delta \psi + J (\psi, \Delta \psi + f) + 0.25 p^2 J (T'_a, \Delta T'_a) = 0, \qquad (\xi$$

где T_a' и T_s' — малые отклонения температуры от средних значений в тропосфере и у подстилающей поверхности, соответственни $u_{1,2}$ — зональная и меридиональная составляющие потока в атмосфере; k — коэффициент макротурбулентного обмена; S_{1a} , S_{2a} , S_3 , S_{1s} , S_{2s} , S_{3s} — выражения, зависящие от свойств атмосферы и постилающей поверхности в конкретной точке; ψ — функция тока J — оператор Якобиана; f — параметр Кориолиса; p — парамет зависящий от выбора уровня «ведущего потока». Используя в качестве области интегрирования весь Земной шар, мы имеем воможность задать естественные граничные условия и считать, чтрешение должно быть периодическим по долготе и ограниченны у полюсов.

$$\lim_{\substack{\theta \to 0 \\ \theta \to \pi}} \left[\sin \theta \left(VT - \frac{k}{R} \frac{\partial T}{\partial \theta} \right) \right] = 0, \tag{6}$$

$$T(t, \theta, \lambda) = T(t, \theta, \lambda + 2\pi)$$
 (7)

Уравнение (5) получено из модели среднемесячного переноса н уровне «ведущего потока» Е. Н. Блиновой, модифицированно для долгосрочных прогнозов малой заблаговременности М. Б. Галиным [5].

Уравнения (3)—(5) решались на сферической поверхност с шагом 4° по широте и 5° по долготе. Область интегрировани содержит 3312 точек. При решении использовался метод квази

линеаризации, изложенный в гл. 8, 9 работы [10].

Важным этапом исследования является получение эталонног поля температуры, близкого к реальным нормам. Необходимост эта связана с тем, что, добиваясь наилучшего совпадения поле температуры, мы можем одновременно согласовать внешние даг ные, необходимые для расчетов или для параметризаций. Первы был выполнен эталонный эксперимент по расчету климатически

орм февраля и августа. Делалось это, исходя из норм темперары января и июля и, используя заданные извне величины G_2 , G_5 . Толщина деятельного слоя океана принималась постояной и равной 60 м. При расчеге эталонного поля температуры авились три задачи:

— во-первых, подготовка климатических данных;

— во-вторых, подбор внутренних параметров модели (таких коэффициент макрообмена, толщина деятельного слоя), котоне в начале экспериментов могли быть установлены только притиженно;

— в-третьих, согласование внешних источников энергии и друих полей (естественно, в пределах их задания) с тем, чтобы этаэтаэта поле температуры было достаточно близким к реальному.

В качестве исходных месяцев были выбраны январь и июнь, ік как они не только характеризуют зимний и летний сезоны, у и потому, что для этих месяцев существуют единообразные даные как по потокам тепла, так и по облачности, альбедо подстинющей поверхности, относительной влажности и температуры. Ти данные были заимствованы из [12, 13]. При решении системы завнений модели задавалось значение перечисленных выше внеш-их параметров, и с начальными данными температуры на средем уровне и у поверхности земли для января и июля были высслены нормы температур февраля и августа, приведенные на ис. 1.

Статистические оценки сравнения с фактическими данными по верному полушарию (коэффициент корреляции соответственно авен 0,83 и 0,80) позволяют сделать вывод, что внешние даные являются достаточно согласованными, а радиационная схема одели и фоновой перенос описаны правильно.

Как показали эксперименты, наиболее важной переменной рассматриваемой модели является температура поверхности сеана в предыдущем месяце, что связано с высокой теплоемостью океанов. Медленно накапливая и отдавая тепло, они оказвают влияние на распределение температуры воздуха по всей оверхности.

Для учета изменений толщины ВКС во времени и пространве использовалась простая параметризация обратной связи ежду толщиной ВКС и его температурой [7].

$$h = H_D - (H_D - h_0) \left(\frac{T_S - T_N}{T_0 - T_N} \right)^{\kappa},$$
 (8)

це H_D — толщина сезонного термоклина; h_0 и T_0 — значения толины ВКС и его температуры в начальный момент времени; "— температура поверхностного слоя; T_N — температура на ижней границе сезонного термоклина; "— параметр, зависящий г сезона и координат, принимается постоянным.

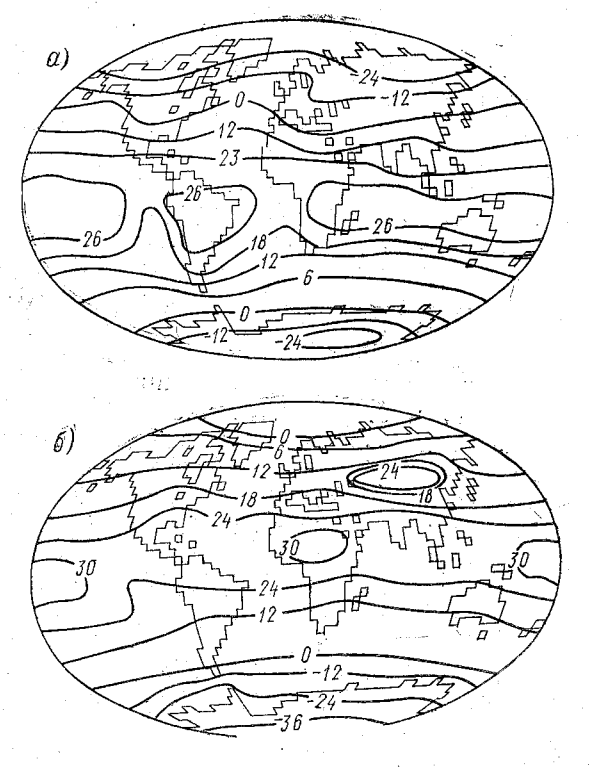


Рис. 1. Приземная температура воздуха, рассчитанная по данным [12, 13]: a — февраль; δ — август

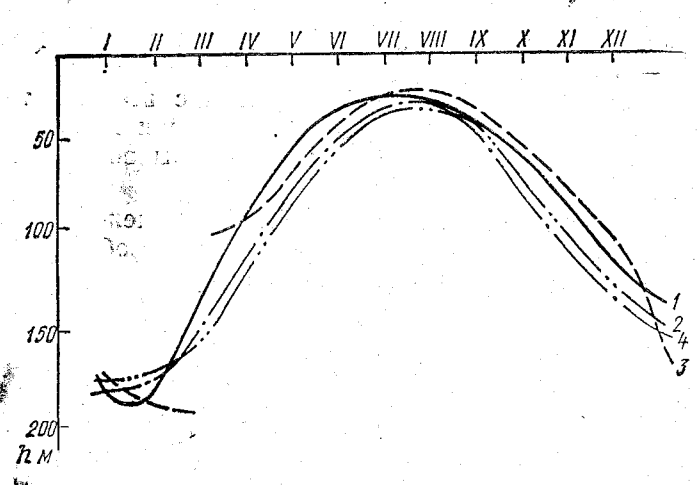


Рис. 2. Годовой ход изменения толщины ВКС: 1— по натурным данным; 2— по модели В. И. Калацкого [7]; 3— по модели Б. А. Кагана и др. [7]; 4— по формуле (8)

Для упрощенных моделей климата точность данной параметизации вполне достаточна. На рис. 2 приведен расчет годовой волюции толщины ВКС на станции P по различным источникам.

На рис. З приведено поле h, рассчитанное для всего Мирового кеана. Значения параметров T_N , H_D , T_0 и h_0 задавались из Атлаов [2, 3, 4].

Естественно, что качественные особенности этой карты связаны о значениями температуры поверхности океана. Однако общая артина распределения приведенных толщин h довольно удачно огласуется с натурными данными.

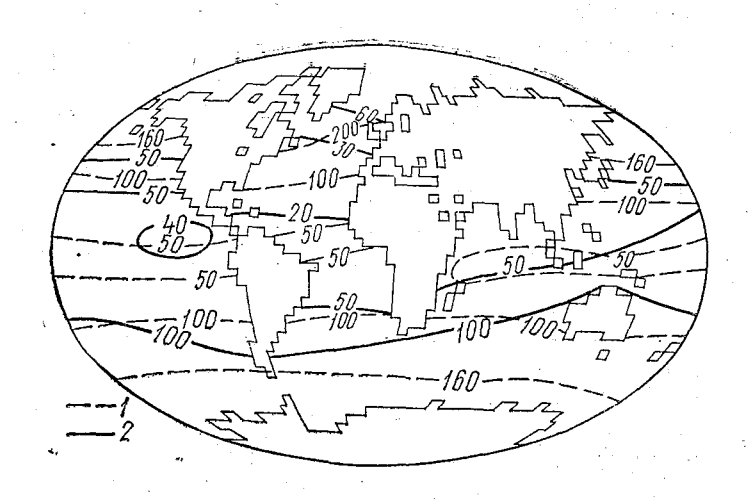


Рис. 3. Рассчитанные значения толщин ВКС: 1 — февраль; 2 — август

Анализ влияния обратной связи h и T_s на расчет поля темпелатуры показал, что в период прогрева ВКС, связь h и T_s усиливает» прогрев, а в период охлаждения «тормочт» процесс выхолаживания. Таким образом, учет связи h и T_s гриводит к условиям, благоприятствующим сохранению положиельных тепловых тенденций и ослаблению выхолаживания поверхностного слоя.

В дальнейшем нами варьировались параметры модели для пределения ее чувствительности к используемым параметризациям. Чувствительность модели была определена к изменению рациационного притока тепла, изменению балла облачности, альбедо подстилающей поверхности, а также к теплоемкости океанов и сонтинентов. Определена зависимость решения от начальных температур у подстилающей поверхности и на изобарической поверхности 400 гПа. Исследована чувствительность модели к величинам турбулентного потока тепла, испарению, конденсации.

Результаты расчета изменения температур воздуха на изобарической поверхности 400 гПа и у подстилающей поверхности при увеличении значений ряда метеорологических параметров на 15% приведены в таблице. Здесь обозначения: α — альбедо подстилающей поверхности, ε — балл облачности.

Аномалии температуры воздуха на изобарической поверхности 400 гПа и у подстилающей поверхности в феврале, возникающие при увеличении значения одного из перечисленных параметров модели на 15%

Параметры модели		α	ε	G_2	G_3	G_{5}
	океан	_0,3	-0,5	-0,4	-0,4	0,5
Температура у поверхности	континент	-1,4	-2, 3	-1,5	-3,1	1,3
Температура на изобарической г	океан	-0,2	-0, 3	0,9	-0,4	2,8
Температура на изобарической поверхности 400 гПа	континент	0,6	-1,2	0,4	-0,9	2,6

Величины, приведенные в таблице, получены осреднением 110 случаев их максимальных значений.

Анализ результатов проведенных экспериментов показал, что при увеличении альбедо подстилающей поверхности на 15%, средняя температура у Земли уменьшилась бы на 0,46°. На океанах изменения температуры не превысят 0,2°; на континентах до 1,6°. Основное похолодание наблюдается в Антарктиде. где температура понизилась на 4°. Это явление объясняется тем, что в январе на эти широты приходится максимальный поток коротковолновой радиации, а влияние других (нерадиационных) членов уравнения теплового баланса в этом районе мало. При увеличении балла облачности на 15% средняя температура у поверхности Земли понижается на 0,62°. Причем на широте 45° с.ш. знак аномалии температуры меняется на противоположный. Так, в высоких широтах полушария температура повысилась на 0,6°, а южнее 45° с. ш. понизилась на 0,8°. Температура океанов понизилась менее, чем на 0,5°, а континентов до 3°. При увеличении контактного теплообмена на 15% реакция модели оказалась ощутимой только на приэкваториальных континентах. Это обусловлено малым вкладом исследуемой величины в тепловой баланс подстилающей поверхности в случае океана или достаточно увлажненного континента. С учетом указанной аномалии температура у поверхности Земли уменьшается на 1,2°, причем на океанах менее чем на 0.5° , а на континентах до 1.8° . В тропосфере произошло повышение температуры на 0.3° , в том числе над океанами до 1.1° , а над континентами до 0.5° .

С увеличением испарения на 15% может происходить значительное изменение температуры подстилающей поверхности, за исключением полностью пустынных областей. При этом средняя температура у Земли понижается на 0,62°, причем в экваториальных и средних широтах температура океанов понизилась на 0,5°, а над континентами до 3,5°. В высоких широтах температура понизилась менее чем на 0,2°. На изобарической поверхности 400 гПа атмосфера охладилась на 0,25°, поверхность океанов охладилась на 0,2—0,4°, континенты до 1,0°.

С увеличением конденсации на 15% отклонения температуры невелики и распределены, главным образом, в экваториальной зоне в низких широтах, где собственные значения конденсации очень велики. Такое влияние конденсации на температуру у подстилающей поверхности объясняется тем, что температура воздуха вообще оказывает малое влияние на температуру подстилающей поверхности, которая в большей степени определяется составляющими теплового баланса самой поверхности. Значительно большее влияние оказывает изменение величины конденсации на температуру атмосферы. Так, в зонах интенсивной конденсации при ее 15% увеличении возникают локальные увеличения температуры до 4°, в экваториальных районах 2—3°, а в высоких широтах до 3—4°, в центральных частях океанов температура изменяется в экваториальных районах на 2—4°, а в средних и высоких широтах до 6°.

Для оценки чувствительности системы к изменениям температуры поверхности воды вводились искусственные аномалии в ее начальное распределение. Так, при увеличении начальных значений температуры поверхности океана на 4°, средняя температура у поверхности земли увеличилась на 2,1°. Основные изменения температуры, как и следовало ожидать, были обнаружены в центральных океанических районах. Под влиянием горизонтального обмена температура воздуха у поверхности континентов увеличивается в зависимости от величины их площади и расположения относительно океанов. Температура у поверхности Австралии и Антарктиды увеличивается на 1,2-1,6°, Африки и Южной Америки — на $1,0-1,2^{\circ}$, а Азия только на $0,3-0,8^{\circ}$. Температура поверхности океанов увеличилась на 2,0-3,2°. С увеличением январской температуры тропосферы на 4° температура у поверхности Земли в феврале увеличилась только на 0,51°. Наибольшее увеличение ее приходится на континенты $(1,0-1,4^{\circ})$, на океанах температура возросла от 0,1° в центральных районах до 0,4° в прибрежных.

Подводя итоги анализа численных экспериментов можно утверждать, что сформулированная модель системы АОК позволяет

достаточно правильно оценивать среднемесячную температуру атмосферы на среднем уровне и температуру поверхности океана. Заметим, что на последнюю определяющее влияние оказывает толшина ВКС и его начальная температура.

JUTEPATNEA

1. Адем Х. О физических основах численного прогноза среднемесячных и среднесезонных температур в системе тропосфера - океан - материк. - В кн.: Теория климата. Л., Гидрометеоиздат, 1967, с. 258-292.

2. Атлас океанов. Атлантический и Индийский океаны. — ГУНиО МО

CCCP, 1977. — 332 c.

 Атлас океанов. Северный Ледовитый океан. — ГУНиО МО СССР. 1980. — 188 с. 4. Атлас океанов. Тихий океан. — ГУНиО МО СССР, 1974. — 322 с.

5. Галин М. Б. Гидродинамический прогноз малой заблаговременности

с помощью линейной теории. — Труды ММЦ, 1964, вып. 2, с. 21—32. 6. Каган Б. А., Рябченко В. А., Чаликов Д. Н. Параметризация деятельного слоя в модели крупномасштабного взаимодействия океана и атмосферы. — Метеорология и гидрология, 1979, № 12, с. 67—75.

7. Калацкий В. И. Моделирование вертикальной термической струк-

туры деятельного слоя океана. — Л.: Гидрометеоиздат, 1978. - 214 с.

8. Русин И. Н., Морачевский А. В. О возможности воспроизведения азональных аномалий температуры с помощью упрощенной модели. —

ВИНИТИ, деп. № 2431—80.

9. Русин И. Н., Морачевский А. В. Элементарная параметризация обратной связи между толщиной верхнего квазиоднородного слоя океана и его температурой для упрощенных климатических моделей. — В сб.: Численные эксперименты по динамике глобального климата. Владивосток ТИГ ДВНЦ AH CCCP, 1982, c. 60-67.

Самарский А. А. Теория разностных схем. — М.: Наука, 1977. — 653 с.

11. Saltzman B. A survey of statistical-dynamical model of the terriestrial

climate. Advances in Geophysics, 1978, vol. 20, pp. 183—295.
12. Schutz G., Gates W. L. Global climatic data for surface, 800 mb., 400 mb. July. The Rand Corporation R-1029 ARPA, Santa Monica, 1972, 180 p. 13. Schutz G., Gates W. L. Global climatic data surface, 800 mb., 400 mb. January. The Rand Corporation, R-915-ARPA, Santa Monica, 1971, 173 p.

14. Sellers W. A two-dimensional Global Climatic Model. Monthly Weat-

her Review, 1976, vol. 104, N 3, pp. 233-248.

15. Vernekar A. A calculation of the normal temperature at the Ear th's surface. J. Atmos. Sci., 1975, vol. 32, N 32, pp. 2067-2081.

УДК 551.465.41

А. С. КАРТАШОВ (ЛГМИ)

ИССЛЕДОВАНИЕ ОХЛАЖДЕНИЯ СВОБОДНОЙ ПОВЕРХНОСТИ ОКЕАНА ПРИ МЕЛКОМАСШТАБНОМ ВЗАИМОДЕЙСТВИИ ОКЕАНА И АТМОСФЕРЫ

В связи с развитием возможностей измерительной техники в океанологии возрос интерес к изучению формирования приповерхностных тонких термических структур. К таким структурам относятся: приповерхностный квазиоднородный слой толщиной порядка 1 м, приповерхностный термоклин, залегающий на глубинах 1—10 м [1], а также чрезвычайно тонкий пограничный микрослой, типа пленки, с большим градиентом температуры, покрывающий свободную поверхность океана при несильном ветре [2, 10, 4]. Названные структуры являются продуктами процессов взаимодействия атмосферы и океана и образуются при участии радиационного теплообмена, скрытой теплоотдачи, кондуктивного теплообмена и целого ряда динамических факторов, порождаемых при воздействии ветра на свободную поверхность океана.

Специфическими особенностями пограничного микрослоя как элемента тонкой структуры приповерхностного слоя океана являются: слабость эффекта объемного поглощения падающей радиации, высокая интенсивность отвода тепла со свободной поверхности, относительная слабость механического перемешивания и, как следствие, наличие большого градиента температуры, приводящего в поле силы тяжести к конвективной неустойчивости.

Малость объемного поглощения падающей радиации в слое толщиной порядка нескольких миллиметров [4] позволяет не учитывать этот источник тепла в числе факторов, формирующих термическую структуру пограничного микрослоя, и ограничиться рассмотрением процессов, обеспечивающих теплоотдачу через свободную поверхность [2, 3]. Такими процессами являются теплопроводность, испарение и излучение, в результате полная теплоотдача океана определяется суммой тепловых эффектов этих процессов. Пусть H означает кондуктивный поток тепла, E — поток влаги, R — эффективное излечение океана, тогда полный поток тепла, отводимый с поверхности океана, определяется соотношением

$$H_s = H + LE + R, \tag{1}$$

где L — удельная теплота парообразования.

Граничное условие (1) можно получить и более формальным путем из уравнения теплопроводности, составленного для сферической области, охватывающей на границе раздела обе среды, после стягивания рассматриваемой области к точке, расположенной на свободной поверхности [5].

Суммарный поток тепла, отдаваемый свободной поверхностью океана, довольно высок и составляет величину порядка нескольких сотен Дж/м². Такая высокая скорость теплоотдачи, наряду с низкой теплопроводностью, создаваемой, в основном, молекулярным движением [2], порождает возникновения под свободной поверхностью гравитационной конвекции, осуществляющей наряду с кондуктивным потоком тепла, тепловое взаимодействие свободной поверхности с подстилающими слоями воды.

Как было показано в работе [6], при отсутствии ветра над свободной поверхностью океана, т. е. в условиях свободной кон-

векции, определяющейся термической неустойчивостью подповерхностного микрослоя, под свободной поверхностью океана формируется ячеистая конвективная структура, образованная пересекающимися поверхностями конвергенции, по которым происходит отток охлажденной воды в нижележащие слои. По мере увеличения касательного напряжения трения турбулентное перемешивание в пограничном микрослое возрастает за счет сдвиговой неустойчивости дрейфового течения, то должно приводить к разрушению ячеистой структуры свободно-конвективного движения, вызываемого термической неустойчивостью микрослоя, и динамическая неустойчивость превращается в доминирующий фактор теплообмена.

Обычно режим пограничного слоя, при котором определяющую роль в теплообмене играет динамическая неустойчивость называют режимом вынужденной конвекции. Этот термин довольно точно отражает специфику процессов передачи тепла вблизи свободной поверхности при очень малых значениях динамического числа Ричардсона R_f . Как показали эксперименты с применением водородных пузырьков и трассирующих красителей [11], используемых для визуализации пристеночного течения и выяснения кинематической картины турбулизации потока вблизи гладкой стенки, турбулентный режим в области течения порядка нескольких десятков характерных масштабов длины v/u_{\pm} носит циклический характер. Весь цикл делится на три стадии: вначале вблизи стенки локально возникает полоса медленно движущейся жидкости, затем эта полоса, деформируясь, мигрирует вглубь потока, формируя поперечную струю, и, наконец, теряя устойчивость, струя распадается, порождая турбулентность сдвигового течения. Эти сложные локальные изменения структуры потока вблизи стенки происходят со статически определенной частотой. Временной масштаб таких изменений, определяемый как средний промежуток времени между началом и концом описанного выше цикла, в широком диапазоне изменения динамической скорости определяется соотношением [11]:

$$\tau = 0.65 \frac{v}{u_*^2} \operatorname{Re}^{0.73},$$
 (2)

где Ве
$$=u_*$$
 h/v — число Рейнольдса, $h=\int\limits_0^\infty \ \frac{\overline{u}}{V} \ \left(1-\frac{\overline{u}}{V}\right) \ dz$ —

толщина потери импульса, используемая в качестве внешнего масштаба пристеночного течения.

Для более узкого диапазона изменения динамической скорости $(0,1\div1,0\,\text{ см/c})$ хорошее приближение дает формула, получаемая 12

из (2) в предположении полной автомодельности по внешнему числу Рейнольдса:

$$\tau = c_2 \frac{\nu}{u_*^2}, \tag{3}$$

где $c_2 \sim 100$ — безразмерный коэффициент.

Турбулентный режим вблизи свободной поверхности океана при малых значениях числа Ричардсона R_f , по-видимому, аналогичен режиму нейтрально-стратифицированного сдвигового течения вблизи гладкой стенки. Такая аналогия была использована, например, в работе [7] для параметризации перепада температуры холодной пленки ΔT . Наличие поперечной скорости жидкости в виде локальных струй, наблюдаемых в экспериментах [11], позволяет применительно к тепловому пограничному микрослою океана, имеющему характерную толщину несколько миллиметров [2, 3], т. е. несколько десятков характерных масштабов v/u_* , использовать термин «вынужденная конвекция», поскольку средняя по времени вертикальная скорость за счет описанного механизма не равна нулю. Однако упорядоченной ячеистой структуры теплового пограничного микрослоя, образуемой зонами конвергенции при свободной конвекции, в данном случае уже нет. Вынужденная конвекция осуществляется локальными токами, имеющими характерное время жизни т и возникающими стохастически за счет динамической неустойчивости горизонтального течения индуцированного касательным напряжением при воздействии ветра на свободную поверхность океана.

Уравнение теплопроводности:

$$c_p \rho \frac{\partial T}{\partial t} + \operatorname{div}(\vec{H} + \vec{V} c_p \rho T) = J,$$
 (4)

где $\overrightarrow{H} = -\varkappa$ grad T, будучи осредненным по времени с периодом τ :

$$\frac{\partial \langle T \rangle}{\partial t} + \operatorname{div} \vec{q} + \langle \vec{V} \rangle \operatorname{grad} \langle T \rangle + \operatorname{div} \langle \vec{V}'T' \rangle = \frac{J}{c_n p}$$
,

где

$$<\varphi>=\frac{1}{\tau}\int_{0}^{\tau}\varphi(t)\,dt\,,\;\;\vec{q}=\frac{\vec{H}}{c_{\rho}\,\rho}\,,$$

в предположении стационарности и горизонтальной однородности осредненных характеристик, а также малости объемного выделения тепла за счет поглощения падающей радиации и эффектов внутреннего трения J имеет вид

$$\frac{\partial}{\partial z} < w'T' > + \frac{\partial}{\partial z} \times \frac{\partial \langle T \rangle}{\partial z} + \frac{\partial}{\partial z} < w > < T > = 0,$$

где \varkappa — коэффициент молекулярной теплопроводности. Первый интеграл этого уравнения при граничных условиях: z=0, < w'T'> = 0, — \varkappa $\frac{\partial \langle T \rangle}{\partial z} = q_s$, $T = T_0$ имеет вид

$$< w'T'> + \kappa \frac{\partial \langle T \rangle}{\partial z} + < w> (< T> - T_0) = q_s.$$

Последнее уравнение является формальным выражением следующего свойства пограничного микрослоя: сумма кондуктивного и конвективного потоков тепла не изменяется в пределах микрослоя и равна потоку тепла, снимаемому со свободной поверхности океана.

Целесообразно рассматривать вертикальную структуру микрослоя в виде двух областей: конвективной и турбулентной. Конвективная область микрослоя располагается непосредственно под свободной поверхностью и характеризуется как слой, в котором турбулентный теплообмен еще незначителен, а перенос тепла осуществляется за счет молекулярной теплопроводности и конвекции. Турбулентная область, подстилающая конвективную, характерна преобладанием турбулентного теплообмена с другими формами переноса тепла: это область, в которой происходит распад конвективных струй. Практически весь перепад температуры микрослоя сосредоточен к конвективной области, тогда как в турбулентной области, вследствие сильного турбулентного перемешивания, изменения температуры по вертикали становятся незначительными. Как свидетельствуют эксперименты [11], смена механизмов переноса тепла по вертикали происходит достаточно резко, так что переходной областью между конвективной и турбулентной можно пренебречь. Таким образом, для конвективной области уравнение теплопроводности записывается в виде

$$\times \frac{\partial \langle T \rangle}{\partial z} + \langle w \rangle (\langle T \rangle - T_0) = -q_s, \tag{5}$$

а для турбулентной области —

$$\langle w'T' \rangle = -q_s. \tag{6}$$

Уравнение (5) в предположении, что вертикальная скорость слабо меняется по вертикали в конвективном слое при вынужденной конвекции, легко интегрируется:

$$\langle T \rangle - T_0 = -\frac{q_s}{w_0} (1 - e^{-w_0 z/x}).$$
 (7)

Исследование асимптотики выражения (7) при больших значениях глубины z приводит к возможности определения скорости конвекции w_0 . Действительно, при больших z температура стре-

мится к постоянному значению, характерному для квазиоднородного слоя, и выражение (7) в пределе имеет вид:

$$\Delta T = T_w - T_0 = -\frac{q_s}{w_0}, \quad w_0 = -\frac{q_s}{\Delta T}.$$
 (8)

Если ввести в рассмотрение эффективную толщину микрослоя, определяемую соотношением [5],

$$q_s = -\kappa \frac{\Delta T}{\delta},\tag{9}$$

то, исключая из (8) и (9) поток тепла q_s , можно получить выражение эффективной толщины через скорость конвекции:

$$\delta = \frac{x}{w_0} \,. \tag{10}$$

С учетом (8) и (9) профиль температуры (7) принимает вид

$$< T > -T_0 = \Delta T (1 - e^{-z/\delta}).$$
 (11)

Как известно, распределение температуры (11) было получено эмпирически в работе [2] на основании обработки данных натурных экспериментов, проведенных в океане с использованием методики контактного зондирования приповерхностного слоя малоинерционными датчиками температуры.

Временной масштаб флуктуаций температуры т, на нижней границе конвективного слоя, где происходит распад конвективных струй, может быть определен, исходя из предположения, что в стационарных условиях генерация температурных неоднородностей в турбулентной области микрослоя уравновешивается процессами их диссипации [12]:

$$q_s \frac{\partial \langle T \rangle}{\partial z} = x \left(\frac{\partial T'}{\partial z} \right)^2. \tag{12}$$

Записывая пульсации температуры, согласно [8], в виде

$$T' = w' \tau \frac{\partial \langle T \rangle}{\partial z}, \tag{13}$$

справедливому для горизонтально-однородных условий, и, подставляя в уравнение (13), можно получить

$$q_{s} \frac{\partial \langle T \rangle}{\partial z} = \pi \left[\left(\frac{\partial^{2} \langle T \rangle}{\partial z^{2}} \right)^{2} \langle w'^{2} \rangle + 2 \frac{\partial^{2} \langle T \rangle}{\partial z^{2}} \frac{\partial \langle T \rangle}{\partial z} \langle w' \frac{\partial w'}{\partial z} \rangle + \left(\frac{\partial \langle T \rangle}{\partial z} \right)^{2} \left(\frac{\partial w'}{\partial z} \right)^{2} \right] \tau.$$

$$(14)$$

В предположении квазиоднородности по вертикали пульсаций скорости в турбулентной области конвективного слоя (т. е. в области разрушения конвективных струй и турбулизации потока), последнее уравнение принимает более простой вид:

$$q, \frac{\partial \langle T \rangle}{\partial z} = \times \left(\frac{\partial^2 \langle T \rangle}{\partial z^2} \right) \langle w'^2 \rangle \tau^2. \tag{15}$$

В турбулентной области микрослоя, в отличие от конвективной области, передача тепла осуществляется за счет турбулентного переноса:

$$q_s = -\langle w'T' \rangle$$
.

Подставляя в выражение для турбулентного потока тепла пульсации температуры в виде (13), получаем

$$q_s = -\langle w'^2 \rangle \tau \frac{\partial \langle T \rangle}{\partial z} \tag{16}$$

и, исключая далее из (15) с помощью (16) множитель $< w'^2 > \tau$, можно получить выражение для временного масштаба флуктуаций температуры τ через характеристики профиля осредненной температуры:

$$\tau = \frac{(\partial \langle T \rangle / \partial z)^2}{\kappa (\partial^2 \langle T \rangle / \partial z^2)^2}.$$
 (17)

На границе турбулентного и конвективного слоев температура и ее производные должны быть одинаковыми. Определяя таким образом, производные температуры по экспоненциальной зависимости (11), можно получить для временного масштаба флуктуаций температуры соотношение:

$$\tau = \frac{\delta^2}{\kappa}$$

или с учетом (12)

$$\tau = \frac{\times \Delta T^2}{q_c^2}.$$
 (18)

Важное значение, особенно с прикладной точки зрения, имеет вопрос об определении (параметризации) перепада температуры в тепловом пограничном микрослое. С использованием соотношения (18) задача определения перепада температуры сводится к параметризации временного масштаба через внешние условия. Основными факторами, вызывающими флуктуации температуры в микрослое, являются динамическая и термическая неустойчивости, поэтому параметрами, определяющими временной масштаб флуктуаций температуры, будут: динамическая скорость, поток

епла, параметр плавучести и, кроме того, физические характелистики воды — вязкость и температуропроводность. В предпоножении, что этого списка параметров достаточно для определения временного масштаба, можно записать функциональное уравнение:

$$\tau = \tau (u_*, \beta, q_s, \nu, \varkappa). \tag{19}$$

Согласно **П**-теореме, функциональное уравнение (19) записывается безразмерном виде следующим образом:

$$\Pi = \Phi(\Pi_1, \Pi_2),$$

де $\Pi = \tau u_*^2/\nu$, $\Pi_1 = \beta q_s \nu/u_*^4 = R_{f0}$, $\Pi_2 = \nu/\varkappa = Pr$.

Предположим наличие неполной автомодельности по парачетру:

$$\Pi \Longrightarrow \Pr^{\alpha} \Phi (R_{f0}),$$

де α — в общем случае функция R_{f0} . Тогда временной масштаб южет быть определен как функция потокового числа Ричардона на свободной поверхности:

$$\tau = \mathbf{P} \mathbf{r}^{\alpha} \ \Phi(\mathbf{R}_{f0}) \ \frac{\gamma}{u_{*}^{2}} \ . \tag{20}$$

При больших значениях числа R_{f0} , т. е. при сильной термиеской неустойчивости, зависимость временного масштаба от диамической скорости должна быть исчезающе малой, поскольку сновным фактором, в данном случае, является термическая нестойчивость. Это требование определяет асимптоту функции $\mathbb{P}(R_{f0})$ при больших значениях R_{f0} :

$$\Phi(R_{f0}) = c_1 (-R_{f0})^{-1};$$

$$\tau = c_1 \Pr^{\alpha} \left[v/\beta (-q_s) \right]^{1}.$$
(21)

симптота (21) соответствует режиму свободной конвекции и, подтавляя (21) в (18), получим известную формулу для режима вободной конвекции [9]:

$$\Delta T = A^{-s/4} (\beta \varkappa^2/\nu)^{-1/4} (-q_s)^{s/4},$$
 (22)

де A — эмпирическая константа, A = 1/4. При этом α (R_{f0}) долсно быть равно нулю:

$$\lim_{R_{f0}\to\infty}\alpha(R_{f0})=0.$$

При увеличении значений динамической скорости число стреится к нулю, при этом функция $\Phi(R_{f0})$ должна стремиться к неоторому конечному пределу:

$$\lim_{\mathbf{R}_{f_0} \to \mathbf{0}} \Phi\left(\mathbf{R}_{f_0}\right) = c_2, \quad \tau = c_2 \Pr^{\alpha} \frac{\mathbf{V}}{u_{\bullet}^2}$$
 Ленинградский Падрометеорологич \mathbf{Q} кий ин-т

БИБЛИОТЕКА

Данная асимптота соответствует режиму чисто вынужденной ког векции, когда основным фактором является динамическая неустог чивость. Исключая из последнего соотношения временной масшта с использованием (18), получим перепад температуры в микро слое при чисто вынужденной конвекции:

$$\Delta T = c_2^{\frac{1}{2}} \Pr^{(\alpha+1)/2} \frac{(-q_s)}{u_*}.$$
 (23)

Так как число Прандтля в выражении для перепада температур при вынужденной конвекции должно быть в первой степени [10 значение показателя α в данном предельном случае должно быт равно единице. Таким образом, при переходе от свободной ког векции к вынужденной функция $\alpha(R_{f0})$ изменяется от нуля дединицы.

Рассмотренным асимптотам удовлетворяет следующий ви функции $\Phi(R_{f0})$:

$$\Phi(R_{f0}) = c_2 (1 - \sigma R_{f0})^{-1/2}, \qquad (2)$$

причем, постоянная σ выражается через постоянные c_1 и $c_2 = c_2^2/c_1^2$, и по физическому смыслу является величиной образной критическому значения числа Ричардсона: $\sigma^{-1} = R_{f_0}^k$. Временной масштаб определяется через эту функцию следующим образом:

$$\tau = c_2 \Pr^{\alpha} \left(1 - \frac{R_{f0}}{R_{f0}^k} \right)^{-\kappa} \frac{\nu}{u_*^2} . \tag{25}$$

Следует отметить, что поток тепла, входящий в \mathbf{R}_{f0} отрицателе поэтому выражение под знаком радикала положительно. С использованием (18) и (25) можно получить общее выражение для перглада температуры:

$$\Delta T = c \Pr^{(\alpha+1)/2} \left(1 - \frac{R_{f0}}{R_{f0}^k} \right)^{-1/4} \frac{(-q_s)}{u_*}.$$
 (26)

На основе формулы (26) можно получить вид функции Nu=Nu (Ra, Pr, Re). Для этого отношение $\Delta Tu_*/q_s$ представи в виде комбинации Re Pr/Nu, а число Ричардсона в виде $R_{f0}=-Nu$ Ra/Pr² Re⁴. Тогда формула (26), с учетом этих представлений, после несложных преобразований принимает вид:

$$Nu = c^{-4/s} \left(\frac{Pr^{2(1-\alpha)} Re^4}{Nu} + \frac{Ra}{Pr^{2\alpha} R_{f0}^{b}} \right)^{1/s}.$$
 (27)

Это соотношение при Re=0 переходит в известную зависимост Nu=A $Ra^{1/s}$, причем $\alpha=0$ и $A^{-3}=c^4\cdot R_{f0}^k$. При росте числа Pe нольдса первый член в скобках растет очень быстро, как Re^4 перекрывает по порядку величины второй член $Ra/Pr^{2\alpha}$ R_{f0}^k . Эт

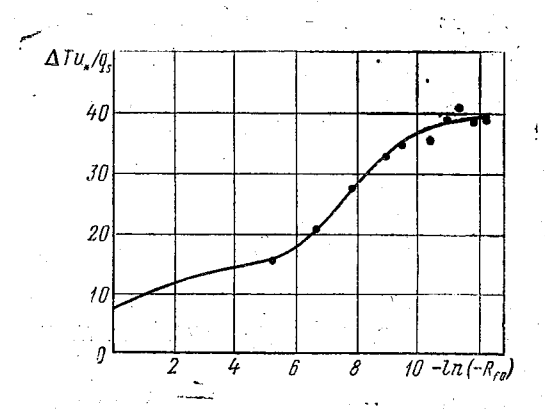
значает, что переход из режима свободной конвекции в режим ынужденной конвекции должен происходить довольно быстро ри возрастании скорости ветра. Для режима вынужденной конекции, когда первый член много больше второго и $\alpha = 1$, получим линейную связь чисел Nu и Re:

$$Nu = \frac{1}{c} \text{ Re.}$$
 (28)

Можно оценить значение коэффициента c по данным работы 13], представляющим собой результаты измерений перепада темературы в тепловом пограничном микрослое в натурных условиях при скоростях ветра от 1 до 10 м/с. В соответствии с этими анными, безразмерный перепад температуры $\Delta Tu_*/q_s$ при большх скоростях ветра стремится к некоторому постоянному знанию, которое, согласно формуле (26), при $\alpha=1$, характерном ля вынужденной конвекции, должен быть равен $c \cdot \text{Pr}$. Анализ анных [13] дает для c значение 5, 6. Зная c, в соответствии с согношением $A^{-3} = c^4 \, \text{R}_{f0}^k$, можно определить критическое значение ясла Ричардсона, которое оказывается равным 6,508 · 10 $^{-2}$. Далее, о данным работы [13], определялся вид функции α (R_{f0}). Оказась, что эта функция действительно изменяется от нуля до единцы и хорошо описывается выражением:

$$\alpha = \frac{1,2}{\pi} \arctan \frac{\pi}{4} (\mu - 7,338) + 0,489,$$
 (29)

te $\varkappa = -\ln(-R_{f0})$.



Зависимость безразмерного перепада температуры холодной пленки от числа Ричардсона

На рисунке представлен график функции (26), где α рассчиывался по формуле (29). Как видно из графика, область 3·10-6 < — R_{f0} < 4·10-2 является переходной областью между режимами свободной и вынужденной конвекции. При $-R_{t0}>4\cdot 10^{-2}$ конв ция должна рассматриваться как свободная, а при — $R_{t0} < 3 \cdot 10^{-1}$ как вынужденная.

JUTEPATYPA

1. Соловьев А. В. О вертикальной структуре тонкого поверхностн слоя океана при слабом ветре. Изв. АН СССР. ФАО, 1982, т. 17, N c. 751--759.

2. Хунджуа Г. Г. и др. О структуре поверхностной холодной пле океана и о теплообмене океана с атмосферой. — Изв. АН СССР. ФАО, т.

№ 7, 1977, c. 753—758.

3. Бортковский Р. С. и др. Процессы переноса вблизи поверхно раздела океан — атмосфера. — Л.: Гидрометеоиздат, 1974. — 238 с.

4. Тимофеев М. П. Метеорологический режим водоемов. — Л.: Гид

метеоиздат, 1963. — 290 с.

5. Хунджуа Г. Г., Андреев Е. Г. Экспериментальные исследова теплообмена между морем и атмосферой при мелкомасштабном взаимол ствии. — Изв. АН СССР. ФАО, т. 10, № 10, 1974, с. 1110—1113.

6. Гинзбург А. И. и др. Феноменологические особенности конвек в жидкостях со свободной поверхностью. — Изв. АН СССР. ФАО, т. 17, М

1981, c. 400—407.

7. Кудрявцев В. Н., Соловьев А. В. О параметрическом опи нии холодной пленки на поверхности океана. — Изв. АН СССР. ФАО, т. № 2, 1985, c. 177—183.

8. Монин А. С., Озмидов Р. В. Океанская турбулентность. — Гидрометеоиздат, 1981. — 319 с.

9. Гинзбург А. И., Федоров К. Н. О критическом пограничи числе Рэлея при охлаждении воды через свободную поверхность. — Изв.

CCCP. ΦAO, τ. 14, № 4, 1978, c. 433—436.

10. Saundars P. M. The temperature at the ocean-air interface. — J. Atm Sci., v. 24, pt2, 1967, p. 269—273.

11. Kim H. T., Kline S. T., Peynolds W. C. The production of turlent pears a emostly well in turbulent boundary layer. lent near a smooth wall in turbulent boundary layer. - J. Fluid Meck., v. pt 11, 1971, p. 133—160.

12. Osborn T. R., Cox C. X. Oceanic finestructure. — Geophys Fluid I namics., v. 3, 1972, p. 321—345.

13. Grassl H. The dependence of measured cool skin of the ocean on w stress and total heat flux. — Bound. — Layer Meteorol., v. 10, N 4, 19 p. 456—474.

УДК 551.571.

А. В. БЕЗМЕЛЬНИЦЫН, В. Н. МАЛИНИН (ЛГМ

КРУПНОМАСШТАБНАЯ МОДЕЛЬ ФОРМИРОВАНИЯ ВЛАГООБМЕНА СИСТЕМЫ ОКЕАН — АТМОСФЕРА

Проблема оценки влияния Северной Атлантики на формир вание увлажнения Европейской территории СССР носит сложни геофизический характер и требует комплексного изучения проце

з, протекающих в океане, атмосфере, литосфере с учетом их разчных пространственно-временных масштабов.

Одним из этапов решения данной проблемы является изучение ияния поверхности океана на формирование водного баланса

иосферы (ВБА) и его изменчивость.

Можно полагать, что влияние Северной Атлантики на формизание атмосферного влагопереноса существенно различается еплый и холодный периоды года. Так, летом, когда термические трасты между океаном и атмосферой не выражены, а испаресравнительно невелико, взаимодействие океана и атмосферы эсновном проявляется путем влияния аномалий температуры верхности океана на формирование длинных термобарических ин, локализация которых определяет траектории переноса и конество переносимой влаги над океаном.

Зимой интенсивность испарения возрастает, в атмосферу попает большое количество водяного пара, который затем вследие преобладающей зональной циркуляции переносится на кон-

тент и конденсируется там в виде осадков.

В данной работе исследуется возможность моделирования форрования крупномасштабного влагообмена системы океан — атсфера для изучения испарения с поверхности океана в холод-й период на процессы влагооборота в атмосфере.

Запишем интегральное уравнение ВБА в следующем виде:

$$\frac{\partial W}{\partial t} + \operatorname{dlv} \vec{F} = E - P, \tag{1}$$

: W — влагосодержание атмосферы; \overrightarrow{F} — интегрированный по итикали полный горизонтальный поток водяного пара; E — испание с поверхности океана; P — осадки.

В уравнении (1) не учитываются изменения водосодержания тосферы (в облаках) и дивергенция потока облачной массы идко-капельной влаги), вклад которых уменьшается с увелишем площади и осреднением уравнения за достаточно длительй интервал времени. Неучет указанных членов равносилен причю гипотезы о мгновенном (немедленном) выпадении сконденюванного в столбе атмосферы водяного пара на поверхность зана.

Учитывая почти полное отсутствие аэрологических данных над аном, основные исследования баланса атмосферной влаги вы-

полнялись преимущественно в рамках специальных натурных экс периментов, являющихся частью Программы исследования гле бальных атмосферных процессов (ПИГАП). К таким эксперимен там, в частности, относятся АТЕХ [11], ВОМЕХ [12], АМЕХ [13] ТРОПЕКС-74 [3], ПОЛЕКС — Север [1] и некоторые другие

Выполненные эксперименты; основанные, как правило, на даг ных с более высокой разрешающей способностью по времени и п вертикали и отличающихся повышенной надежностью; позволил получить интересные результаты о короткопериодных колебания компонент баланса влаги, их вкладе в энергетический бюдже атмосферы при различных синоптических ситуациях; а также количественные оценки микро- и мезомаєштабных процессов пере

носа влаги по вертикали и по горизонтали.

Поскольку на получение аэрологических данных для больши акваторий океана и за длительные промежутки времени вряд л приходится рассчитывать в обозримом будущем, то в связи с эти возникает задача параметризации уравнения ВБА таким образом чтобы рассчитывать компоненты баланса влаги с максимальн возможной точностью, основываясь только на «стандартной» ин формации. Под последней мы будем понимать прежде всего спучиковые измерения атмосферных и гидрологических полей, точность измерений которых возрастает с каждым годом, а такж данные попутных судовых наблюдений, обработка которых производится в специальных вычислительных центрах.

В уравнении (1) влагосодержание столба атмосферы единич

ной толщины обычно определяется следующим образом:

$$W = \frac{1}{g} \int_{p_k}^{p_z} q \, dp \,, \tag{}$$

где g — ускорение свободного падения; q — массовая доля водного пара; p_z и p_k — соответственно давление на уровне моря на такой изобарической поверхности, где влажностью можно приебречь.

Вертикальное распределение удельной влажности в пределя тропосферы достаточно хорошо описывается экспоненциальны

законом [5]:

$$q = q_z \exp(-\alpha z), \qquad (3)$$

где q_z — массовая доля водяного пара в приводном слое атм сферы; α — размерный коэффициент; z — высота. Используя бар метрическую формулу реальной атмосферы:

$$p = p_z \exp \left(-\frac{gz}{R_c T_m}\right),$$

(е R_c — газовая постоянная, а T_m — средняя температура столба эздуха до высоты z_h , перепишем выражение (3) в следующем тле:

$$\frac{p}{q^{\beta}} = \frac{p_z}{q_z^{\beta}} \frac{\exp\left(-\frac{gz}{R_c T_m}\right)}{\exp\left(-\alpha\beta z\right)},$$
 (4)

це $\beta = \frac{g}{\alpha R_e T}$ — безразмерный коэффициент.

Путем несложных преобразований из (4) легко получить

$$q = q_z \left(\frac{p}{p_z}\right)^{1/\beta}. (5)$$

одставляя (5) в (2) и выполнив интегрирование от p_z до p_k меем

$$W = \frac{1}{g} q_z p_z \frac{\beta}{\beta + 1} \left[1 - \left(\frac{p_k}{p_z} \right)^{\frac{1+\beta}{\beta}} \right].$$

 $\frac{1+\beta}{\beta}$ днако, учитывая, что (p_k/p_z) $\ll 1$, выражение для влагосоержания атмосферы приобретает простой вид:

$$W = \frac{1}{g} q_z p_z \frac{\beta}{\beta + 1}. \tag{6}$$

Если в (6) перейти от удельной влажности к упругости водяого пара e_z , то получим

$$W=6.34 \frac{\beta}{\beta+1} e_z. \tag{7}$$

це e_z в миллибарах, а W в кг/м².

Физический смысл коэффициента β состоит в том, что он обатно пропорционален средней температуре тропосферы T_m . предположении политропности атмосферы величину T_m можно ыразить через температуру воздуха в приводном слое T_z следуюцим соотношением:

$$T_z = T_m (1 + \lambda_{\pi}),$$

це λ_n — показатель политропы. Поэтому можно ожидать, что

оэффициент β будет зависеть от T_z , τ . e. $\beta = f(T_z)$.

Для нахождения вида этой связи была решена обратная заача. По средним многолетним месячным данным о вертикальом распределении удельной влажности над судами погоды и остовными станциями, расположенными в северных частях Атлантического и Тихого океанов [6] (полный объем выборки составил 256 месяцев), были рассчитаны значения W и затем по формуле

(7) определены коэффициенты в.

На рис. 1 приводится полученная таким образом экспериментальная зависимость β от T_z , которая носит явно выраженный нелинейный характер. Эта нелинейность, с одной стороны, обусловлена параметром α , а с другой — нелинейностью зависимости упругости насыщения водяного пара от температуры.

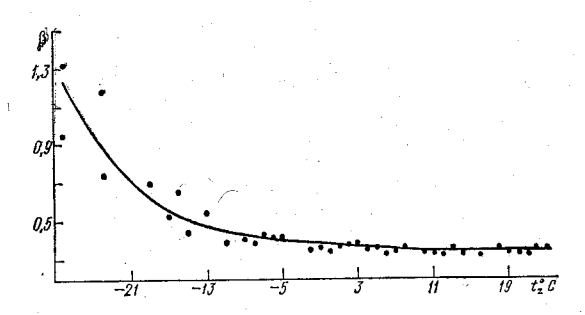


Рис. 1. Экспериментальная зависимость коэффициента β от температуры воздуха в приводном слое

Зависимость на рис. 1 может быть представлена в виде:

$$\beta = \operatorname{cth} (\varphi_T - c_1) - c_2,$$

где cth — гиперболический котангенс; ϕ_T — некоторая функция от температуры воздуха T_z , а константы c_1 и c_2 означают сдвиг по осям y и x соответственно. Было найдено, что c_1 =243, c_2 ==0,69. В этом случае ϕ_T =234,32+0,038 T_z . Тогда окончательно получим следующее выражение:

$$\beta = \text{cth}(0.038 \ T_z - 8.68) - 0.69,$$
 (8)

среднеквадратическая погрешность которого составляет σ_z =0,04. Таким образом, при $T_z \to \infty$, $\beta \to (1-c_2)$ =0,31. Однако при положительных значениях t_z °C, соответствующих основному диапазону изменчивости температуры в приводном слое над океаном, β меняется весьма незначительно. Без большой погрешности, например, можно принять при T_z >273 К $\beta \approx 0,336$. В результате имеем простую приближенную формулу:

$$W \approx 1,59 e_z, \tag{9}$$

свидетельствующую о том, что основное влияние температуры на влагосодержание атмосферы проявляется лишь при ее отрицательных значениях.

Если сравнить формулу (9) с аналогичными эмпирическими формулами Н. А. Тимофеева [8], И. А. Шатунова [10], В. Г. Сноп-

кова [7], то можно отметить их неплохое соответствие между собой. Расхождения в оценках влагосодержания, как правило, не превышают 10%.

Проверка точности расчета влагосодержания по независимым данным о T_z и e_z (рис. 2) показала, что случайная погрешность незначительна ($\sigma_{\mathbf{w}} = 1,2$ мм) и соответствует средней относительной погрешности $\approx 8\%$. Систематическая ошибка, определенная по разности $n^{-1}\sum_{i=1}^{n} (W_{\text{pac}})_i - n^{-1}\sum_{i=1}^{n} (W_{\phi})_i$, где n — длина выборки (n=204), фактически отсут-

ствует.

Поскольку влажность в природном слое атмосферы не измеряется, за исключением кораблей погоды и специальных натурных экспериментов, то возникает задача предвычисления влажности по внешним легкоизмеримым параметрам.

Если принять, что взаимное приспособление (адаптация) полей температуры и влажности в приводном слое значительно меньше месяца, то можно предположить, наличие функциональной связи между безразмерными вертикальными профилями влажности и температуры, т. е.

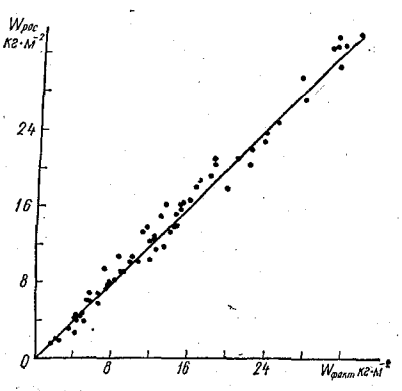


Рис. 2. Сравнение вычисленных и фактических величин влагосодержания W в кг м⁻²

$$\frac{\Delta e}{e_0} = f\left(\frac{\Delta T}{T_0}\right),\tag{10}$$

где $\Delta T = T_0 - T_z$; $\Delta e = e_0 - e_z$, e_0 — давление насыщенного водяного пара при температуре поверхности океана T_0 .

Запишем

$$\langle \overline{a}_{\bullet} \rangle = \left\langle \frac{\Delta \overline{e}}{\overline{e}_{0}} \right\rangle, \ \langle \overline{a}_{T} \rangle = \left\langle \frac{\Delta \overline{T}}{\overline{T}_{0}} \right\rangle,$$

где черта сверху означает осреднение за многолетний период времени, а скобки — осреднение по площади.

На основе данных по влажности, температуре воздуха и воды для девяти судов погоды за 20-летний (1951—1970 гг.) период путем пространственного осреднения среднемноголетних месячных величин была получена зависимость перепада влажности от перепада температуры (табл. 1).

Заметим, что при вычислении величин $<\alpha_T>$ значения температуры воды и воздуха выражались в К. Зависимость $<\alpha_e>$ от $<\overline{\alpha}_T>$, представленная в табл. 1, может быть интерпретирована как некоторый нелинейно меняющийся в течение года климатический тренд, свойственный приводному слою атмосферы в умеренных и высоких широтах. Максимальные значения $<\alpha_e>$ и $<\overline{\alpha}_T>$ отмечаются, как и следовало ожидать, зимой, а минимальные — летом.

Указанная зависимость может быть аппроксимирована следующим выражением:

$$\langle \bar{\alpha}_e \rangle = (10 \cdot \langle \bar{\alpha}_T \rangle + 0.012)^{0.5},$$
 (11)

стандартная погрешность которого составляет 0,08. Следует заметить, что формула (11) описывает любые условия стратификации приводного слоя. Действительно, для нейтральной стратификации ($\langle \overline{\alpha}_T \rangle = 0$) $\langle \overline{\alpha}_e \rangle = 0,11$, для устойчивой стратификации ($\langle \overline{\alpha}_T \rangle < 0$) значения $\langle \overline{\alpha}_e \rangle$ изменяются в диапазоне [0—0,11].

Отрицательных значений величины $<\alpha_e>$ принимать не могут, так как это означает переход к принципиально иному физическому процессу, а именно, преобладанию конденсации над испарением, что, вообще говоря, не может иметь места при рассматриваемых в формуле (11) пространственно-временных интервалах осреднения.

Таблица 1

Сезонные изменения осредненных за многолетний (1951—1970 гг.) период и для девяти судов погоды величин перепада влажности $\langle \overline{\alpha}_e \rangle$, перепада температуры $\langle \overline{\alpha}_T \rangle$ и коэффициента связи $\langle \overline{k} \rangle$ (черта сверху означает осреднения во времени, а скобки — осреднение по пространству)

Параметры	I	П	III	IV	v	VI	VII	VIII	IX	X	ХI	XII
$\langle \overline{\alpha_e} \rangle$ $\langle \alpha_T \rangle \times 10^2$ $\langle \overline{k} \rangle$	0,85	0,81	0,66	0,42	0,23	0,12	0,13 0,067 22,43	0,16	0,31	0,46	0,64	0,78

Безразмерные перепады влажности и температуры для конкретного географического района и коротких (месячных) перио-26 дов времени можно теперь представить в виде суммы их трендовых составляющих и отклонений от них, т. е.

$$\frac{\Delta e}{e_0} = \langle \overline{\alpha}_e \rangle + \alpha_e, \quad \frac{\Delta T}{T_0} = \langle \overline{\alpha}_T \rangle + \alpha_T.$$

Исходя из анализа экспериментальных данных; было установлено; что отклонения перепада влажности и перепада температуры от их трендовой составляющей пропорциональны друг другу, т. е.

$$\alpha_e = \langle \vec{k} \rangle \cdot \alpha_\tau, \tag{12}$$

где $\langle \vec{k} \rangle$ — коэффициент пропорциональности, имеющий годовой ход, обусловленный различиями в амплитуде годовых колебаний перепадов температуры и влажности. Значения коэффициента $\langle \vec{k} \rangle$, вычисленного для девяти судов погоды за 20-летний период, также представлены в табл. 1.

Как видно из табл. 1, максимальные величины $\langle k \rangle$ отмечаются летом, а минимальные — зимой. Отчетливо выраженный сезонный ход $\langle \alpha_T \rangle$ и $\langle k \rangle$ позволяет сравнительно просто представить их в виде гармонической функции от месяца года τ , имеющей следующий вид:

$$f(\tau) = A_0 + A_1 \cos(\omega \tau + \varphi), \tag{13}$$

где A_0 — математическое ожидание функции; ω — круговая частота $\left(\omega = \frac{2\pi}{T}, T = 12 \text{ месяцев}\right); \phi$ — начальная фаза.

В результате аппроксимации табличных величин $<\overline{\alpha}_{7}>$ и $<\overline{k}>$ были получены следующие значения параметров выражения (13):

$$(A_0)_{\alpha_T} = 0.0046, (A_1)_{\alpha_T} = 0.0038, (\varphi)_{\alpha_T} = -0.48, (A_0)_k = 17.44, (A_1)_k = -3.94, (\varphi)_k = -0.935.$$

При этом стандартная погрешность составила для величин $<\bar{\alpha}_T>$ и $<\bar{k}>$ соответственно 0,0002 и 1,25, что не превышает нескольких процентов от их среднего значения.

Используя полученные зависимости (11), (12) и (13) и выполнив ряд несложных преобразований, формулу (10) можно представить следующим образом:

$$\frac{\Delta e}{e_0} = \langle \overline{k} \rangle (\tau) \cdot \frac{\Delta T}{T_0} + c (\tau), \qquad (14)$$

где $c(\tau)$ — гармоническая функция времени, аналогичная (13) с коэффициентами A_0 =0,16, A_1 =0,0335 и ϕ = — 0,72, описывающая влияние неравномерности годового хода температуры поверхности океана и температуры воздуха на формирование перепада влажности в приводном слое атмосферы.

Таким образом, формула (14) позволяет по внешним параметрам (T_0 и T_z) предвычислить влажность воздуха e_z и перепад влажности Δe . Если учесть, что полученные результаты представляют интерес не только для вычисления влагосодержания атмосферы, но и с точки зрения определения испарения с поверхности океана, то, очевидно, следует более подробно рассмотреть оценку погрешностей, возникающих при использовании формулы (14).

По данным пяти судов погоды за 1953—1972 гг. [9] были рассчитаны средние месячные значения e_z и Δe , их статистические характеристики и погрешности. В табл. 2 приводятся среднеквадратические расхождения (δ) между вычисленными и фактическими полями, абсолютные (ϵ) и относительные (ϵ) погрешности, а также стандартные отклонения (σ) вычисленных и фактических полей при длине выборки для каждого месяца N=100. Одновременно аналогичные оценки приводятся для судна M, характеризующего Норвежскую энергоактивную зону, при длине выборки N=20.

Из анализа табл. 2 следует:

1) расхождения между вычисленными и фактическими полями во всех случаях находятся в пределах случайных ошибок, идентифицируемых обычно по величинам о;

2) систематическая погрешность вычисленных полей составляет несколько процентов, т. е. является пренебрежимо малой;

3) дисперсии вычисленных и фактических полей (особенно

влажности воздуха e_z) очень близки друг к другу.

Последнее обстоятельство представляется весьма важным, поскольку современные расчетные методы, как правило, занижают дисперсию вычисленного поля и тем самым искажают его стати-

стическую структуру.

В работе [2] выполнена проверка точности расчета влажности воздуха рядом эмпирических формул, основанная на тех же самых исходных данных. В частности, расхождения между среднемноголетними месячными фактическими и вычисленными значениями e_z по пяти судам погоды для различных эмпирических формул изменяются в пределах 0,3—0,9 гПа (по данным табл. 2 δ_e = 0,20 гПа), а расхождения между месячными фактическими и вычисленными величинами e_z , для корабля M составляют 0,4—0,8 гПа (по данным табл. 2 δ_e = 0,3 гПа).

Косвенным методом оценки точности расчета влажности воздуха может служить сопоставление вычисленных и фактических значений отношения Боуэна. Запишем:

Bo =
$$\frac{H}{LE}$$
 = 0,65 $\frac{\Delta T}{\Delta e}$ = 0,65 $\frac{\Delta T}{e_0 \left(\langle k \rangle \frac{\Delta T}{T_0} + c\right)}$, (15)

где H/LE — отношение турбулентного потока тепла к затратам тепла на испарение.

Статистические характеристики и погрешности вычисления влажности воздуха (e_z) и перепада влажности (Δe) в приводном слое океана

Таблица 2

Рай он	Месяц	მ _ლ	[€] e MM	ε _e %	$\delta_{\Delta e}$ mm	^ε Δe MM	ε ΄Δ ε %	(σ _е) фак.	(σ _e) pa c.	(σ _{Δe}) фак.	(σ <u>∧</u> e) pac
Пять судов	II	0,5	0,2	3	0,6	0	0 .	1.7	1,6	1,6	1,5
погоды	v	0,5	0,2	2	0,4	0	0	2.0	2,0	1,0	0,8
v	VIII	0,6	0,2	1	0,6	0,1	4	3,9	2,9	1,3	1,1
	XI	0,5	0,1	1	0,5	0,1	3	2,4	2,5	1,6	1,4.
	I—XII	0,2	0,1	1	0,2	0,1	1	0,2	0,2	0,2	0,2
Судно	II	0,5	0,1	2	0,5	0	0	0,8	0,6	0,7	0,5
M , ,	V	0,4	0,1	1.	0,4	0,1	3	0,8	0,6	0,7	0,5
	VIII	0,5	0,1	1	0,5	0,1	4	0,9	0,7	0,7	0,5
	XI	0,3	0	0	0,4	0,1	3	0,8	0,7	0,7	0,6
	I—XII	0,3	0,1	1	0,3	0,1	3	1,9	1,8	0,8	0,6

График связи фактических значений отношения Боуэна (Вофак), определенных по средним многолетним месячным величинам H и LE [9], и рассчитанных значений отношения Боуэна Ворас по формуле (15) представлен на рис. 3. Нетрудно видеть, что расхождения между вычисленными и фактическими значениями отношения Боуэна незначительны (δ =0.02).

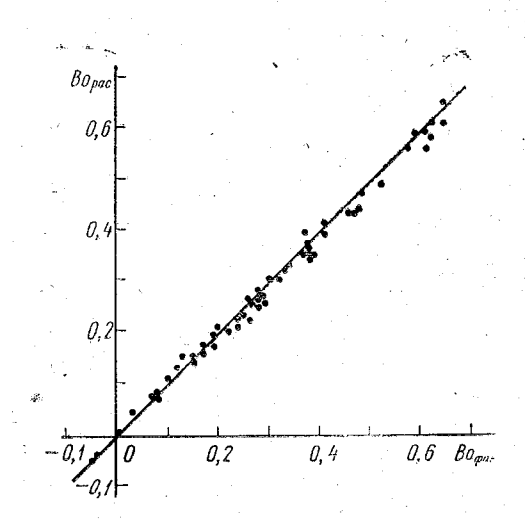


Рис. 3. Сравнение фактических и рассчитанных значений отношения Боуэна

Заметим, что погрешности расчета величин e_z и Δe по независимым данным (прежде всего по данным судна M) оказались практически идентичны рассмотренным выше результатам. Таким образом, можно полагать, что формула (14) позволяет получить с достаточной для практических целей точностью оценки влажности воздуха в приводном слое океана.

Рассмотрим теперь второй член левой части уравнения ВБА (1), описывающий горизонтальный приток (отток) водяного пара в атмосфере.

Интегральный горизонтальный поток влаги может быть представлен в виде:

$$\vec{F} = \frac{1}{g} \int_{p_k}^{p_z} q \vec{V} dp , \qquad (16)$$

где \overrightarrow{V} — горизонтальный вектор скорости ветра.

Поскольку распределение скорости ветра с высотой в тропосфере представляет собой непрерывную функцию, можно к интегралу (16) применить теорему о среднем и записать:

$$\vec{F} = \vec{U}_{\theta\phi} \cdot \frac{1}{g} \int_{p_k}^{p_z} q \, dp = \vec{U}_{\theta\phi} \cdot W \,, \tag{17}$$

где $\overrightarrow{U}_{
upper}$ — горизонтальный вектор некоторой эффективной скорости переноса водяного пара.

Если ввести в рассмотрение вектор средней по вертикали ско-

рости ветра, определяемый соотношением

$$\overline{\overrightarrow{U}} = \frac{1}{p_z - p_k} \int_{p_k}^{p_z} \overrightarrow{V} dp , \qquad (18)$$

то естественно предположить наличие функциональной зависимости

$$\vec{U}_{3\Phi} = f(\vec{\overline{U}}).$$

Рис. 4. Экспериментальная зависимость $\overrightarrow{U}_{ extstarthf{a} + \Phi}$ от $\overrightarrow{U}_{ extstarthf{z}}$: $1 - U_{x extstarthf{a} + \Phi}$ и \overrightarrow{U}_{x} ; $2 - U_{y extstarthf{a} + \Phi}$ и \overrightarrow{U}_{y}

По данным [6] для судов погоды в Северной Атлантике были рассчитаны величины $U_{\partial \Phi}$ (обратным методом по известным значениям F_x , F_y и W) и \overrightarrow{U} . На рис. 4 представлена зависимость $\overrightarrow{U}_{\partial \Phi}$ от $\overrightarrow{\overline{U}}$. Полученная экспериментальная кривая хорошо аппроксимируется следующей функциональной зависимостью:

$$\vec{U}_{9\Phi} = (24,16\,\overline{\hat{U}} + 145,06)^{0,5} - 10,37,\tag{19}$$

стандартная погрешность которой составляет 1,6 м/с.

При анализе полученной зависимости обращает на себя внимание тот факт, что при $\vec{\overline{U}}$ = 0, $\vec{U}_{\vartheta \varphi} \neq$ 0, т. е. имеет место горизонтальный перенос влаги.

Это объясняется тем, что хотя интеграл U и обращается в нуль за счет изменения знака скорости ветра с высотой, но поскольку основное количество водяного пара сосредоточено в нижней части тропосферы в основном до уровня 700 г Π а, то величины $V_i q_i$ в нижней части тропосферы существенно больше аналогичных величин в ее верхней части, и следовательно, суммарный перенос влаги отличен от нуля.

Определение \overrightarrow{U} требует знания вертикального распределения скорости ветра, однако вряд ли можно рассчитывать, что в обозримом будущем подобная информация над акваторией океана станет доступной. В связи с этим была найдена эксперименталь-

ная зависимость \vec{U} от \vec{U}_{500} — горизонтального вектора скорости ветра на изобарической поверхности 500 гПа, представленная на рис. 5. Полученная зависимость имеет простой вид:

$$\vec{\vec{U}} = 0.85 \ \vec{U}_{500}.$$
 (20)



12 20 -10 12 20 Fperm*10"

82-M 12 20 Fperm*10"

82-M 12 12 Fperm*10"

82-M 12 12 Fperm*10"

Рис. 6. Сравнение фактических и рас считанных величин интегрального г ризонтального потока влаги:

1— $F_{x\, {
m ha6} \pi}$ и $F_{x\, {
m pac}}$; 2— $F_{y\, {
m ha6} \pi}$ и $F_{y\, {
m pac}}$

Для изобарической поверхности 500 гПа хорошо выполняется геострофическое соотношение:

$$\vec{U}_{500} = \frac{g}{2\omega_z} \frac{\partial H_{500}}{\partial \vec{n}}, \tag{21}$$

де H_{500} — абсолютная геопотенциальная высота изобарической товерхности 500 гПа: ω₂ — угловая скорость вращения Земли:

i — нормаль к границе рассматриваемого контура.

Таким образом, подстановка формул (20) и (21) в (19) дает зозможность определить величину эффективной скорости переноса водяного пара как функцию H_{500} . Величина H_{500} , в свою очередь, состаточно точно определяется в ходе осуществления спутникозого мониторинга.

На рис. 6 представлены результаты сравнения вычисленных и

рактических значений величины \overrightarrow{F} . Стандартная погрешность расчета равна 24.4 кг/(м·с), что при характерных средних значециях потоков влаги нал акваторией Северной Атлантики, равных 240—280 кг/(м·с), не превышает 20%.

Таким образом, с учетом полученных выше результатов урав-

нение (1) может быть записано в виде:

$$\frac{\partial \Phi_1(T_0, T_z)}{\partial t} + \operatorname{div} \vec{\Phi}_2(H_{500}, T_0, T_z) = E - P.$$

Тевая часть уравнения ВБА может быть предвычислена по данным всего лишь трех параметров: геопотенциала H_{500} , темперауры воды и температуры воздуха в приводном слое. Следоваельно, левая часть уравнения ВБА, описывающая эффективное іспарение, т. е. превышение испарения над осадками, и, вообще оворя, не поддающаяся в настоящее время точному количествентому учету, может быть непосредственно определена из уравнеия (1). Если испарение рассчитывается одним из стандартных летодов, то по замыканию уравнения ВБА может быть вычислено голе осадков над акваторией океана.

ЛИТЕРАТУРА

1. Васильев В. Ф., Малинин В. Н., Смирнов Н. П. Дивергенция оризонтальных потоков тепла и водяного пара. В кн.: ПОЛЭКС - Север-76,

. 1. Л., Гидрометеоиздат, 1979, с. 30—36. 2. Гирдюк Г. В., Егоров Б. Н., Яковлев Л. Ф. О расчете влажости воздуха по температуре поверхности океана и приводного слоя атмоферы. — Метеорология и гидрология, 1985, № 8, с. 54—59.

3. Евсеева Л. С., Самойленко В. С., Снопков В. Г. Турбулент-

ный и адвективный перенос водяного пара в тропических широтах океана. — 3 кн.: Атмосферная циркуляция и ее взаимодействие с океаном в тропических внетропических широтах Атлантики. М., Наука, 1981, 288 с.

4. Малинин В. Н. О взаимосвязи атмосферной и наземной ветвей идрологического цикла. — Тр. ГГИ, 1985, вып. 296, с. 55—82.

5. Матвеев Л. Т. Курс общей метеорологии. Физика атмосферы. —

І.: Гидрометеоиздат. — 640 с.

6. Материалы по климату и циркуляции свободной атмосферы над зарунежными странами северного полушария. Т. 1, вып. 1, 1973, 206 с.; вып. II, 974, 176 с.; Т. 3, вып. 1, 1975, с. 215, вып. II.

7. Сиопков В. Г. О корреляции между содержанием водяного пара

атмосфере и характеристиками влажности воздуха у поверхности Земли. --

Летеорология и гидрология, 1977, № 12, с. 38—42.

8. Тимофеев Н. А. К определению запасов воды в атмосфере на свободной от льда поверхностью океанов. — Метеорология и гидрология. 196 № 4, c. **24**—28.

9. Характеристики энергообмена океан — атмосфера. — Л.: Гидрометеон

дат, 1984. — 79 с.

10. Шатунов И. А. Вертикальный профиль влажности и общее влагсодержание атмосферы по разрезу от 60° с. ш. до 60° ю. ш. — В кн.: Проблем циркуляции в атмосфере и гидросфере Атлантического океана. Л., Гидромете издат, 1970, с. 55-65.

11. Augstein E. et al. Mass and energy transports in an undisturbe

Atlantic trade-wind flow. Man. Weath. Rev., 1973, vol. 101, p. 101-111.

12. Holland J. Z., Rasmusson E. M. Measurements of the atmospher mass, energy and momentum budgets over a 500-kilometer square of tropic ocean. Mon. Weath. Rev., 1973, vol. 101, p. 44—45.

13. Nitta T. Large-scale heat and moisture budgets during the air may

transformation experiment: Journ. Meteorol. Soc. Japan, 1976, vol. 54, p. 1-1

14. Rasmusson E. M. Hydrological application of atmospheric vapor flux analyses. WMO, N 476, Geneva, 1977, 50 p.

УДК 551.463

Ю. В. СУСТАВОВ, И. П. КАРПОВА (ЛГМИ В. Т. ЖЕВНОВАТЫЙ (МФААНИИ

океанологические основы долгосрочных промысловых прогнозов (на примере СЕВЕРО-ЕВРОПЕЙСКОГО БАССЕЙНА)

Как известно, основные постулаты методологии долгосрочны океанологических прогнозов базируются на некоторых фундамен тальных свойствах океанологических процессов и закономерностя их проявления в реальных географических условиях. К этим свойст вам в первую очередь необходимо отнести: полицикличность измене ния океанологических параметров среды; инерционность океанологи ческих процессов, связанную либо с запаздыванием реакции бассейн на внешние атмосферные воздействия, либо с отставанием от мо мента прохождения гребня вынужденной длинной волны сопут ствующих ей процессов, а также климатические тренды. На основ учета этих свойств решается задача экстраполяции развития про цессов во времени.

Сопряженность колебаний океанологических характеристик выражается в подобии развития процессов в соответствующи временных масштабах на больших акваториях. Понимание ха рактера сопряженности (фазы колебаний, количественные соотно шения, закономерности изменчивости и т. д.) позволяет экстра элировать временной ход развития гидрологических процессов тех акваторий, где хорошо изучены параметры колебаний, на табо изученые районы. В ряде случаев это единственный путь эогнозирования гидрологических условий для районов, не освеенных наблюдениями.

При этом, задача разработки прогностических схем решается зумя принципиально различными путями. В одном случае, мердика строится через связь параметров среды с внешними факрами и на основе прогноза последних (с учетом инерционности заимодействия процессов) прогнозируются первые. В другом гучае, развитие океанологических процессов экстраполируется перспективу через учет закономерностей проявления цикличетих свойств прогнозируемого элемента и инерционности развития роцессов в циклах.

Оба названных подхода активно разрабатываются и имеют іждый, как преимущества, так и недостатки и по отношению југ к другу и к поставленной задаче в целом. Некоторые проостические схемы строятся на комбинации обоих подходов [10].

Оставаясь в рамках обозначенных выше постулатов, рассмотім, каковы перспективы, на наш взгляд, совершенствования медов прогнозов океанологических процессов в Северо-Европейсом бассейне.

В качестве базового параметра примем чаще всего испольемую в промысловых прогнозах температуру воды как основолагающего компонента изначального состояния среды, к котому адаптирована фауна и флора любого водоема. Важным факром, определяющим возможности проведения таких исследоваій, является наличие для рассматриваемого региона исходных еменных рядов многолетних глубоководных наблюдений над санологическими элементами в открытых районах моря: на вевых разрезах в Баренцевом море, на стандартных разрезах $_{\rm D}$ рвежского моря, станциях погоды M в Норвежском море, CСеверной Атлантике, а также поквадратные массивы наблюдей над температурой поверхности воды по всему региону. Аназ этих данных и большого числа временных рядов прибрежных блюдений свидетельствует о том, что океанологические проссы в Северо-Европейском рыбопромысловом бассейне в полй мере обладают перечисленными выше свойствами, что дает альную основу для развития исследований по совершенствоваю существующих и разработке новых методов долгосрочных и ерхдолгосрочных океанологических прогнозов по упомянутому гиону.

Полицикличность колебаний океанологических элементов явется фундаментальным свойством, отражающим общеизвестные кономерности периодических изменений погодообразующих и иматообразующих факторов на нашей планете. О структуре и ичинах этих колебаний имеется обширная научная литература, 2, 4—7, 9], поэтому нет нужды еще раз детально обсуждать

данный вопрос. Здесь приведем лишь один спектр (рис. 1), пре ставляющий, по нашему мнению, интерес со многих точек зренго Спектр получен методом «склейки» результатов расчета по исхоным данным с различной дискретностью и интервалом осреднени в нем, как в зеркале, отражен ряд особенностей структуры динамики океанологических процессов исследуемого региона, г нимание которых имеет прямое прикладное значение для решен поставленной задачи.

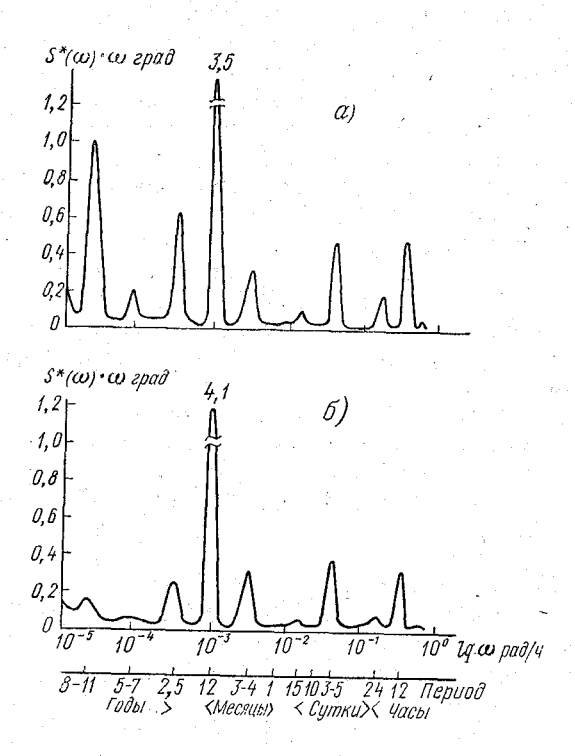


Рис. 1. Спектральная плотность колебаний температуры воды Баренцева моря в зоне теплого течения (а) и за его пределами (б) на Кольском меридиане слоя 0—200 м

Хорошо известно, что распространяющиеся на акваторию Г ренцева моря водные массы Атлантического океана (Норве ского моря) несут в себе элементы изменчивости температу воды, не свойственные этому морю и для него являющиеся «приходящими» [8]. По этой причине упомянутые спектры (рис. рассчитанные по наблюдениям в пунктах, расположенных в посредственной близости друг от друга, но разделенных фротальной зоной, принципиально различны и дают возможное исследовать структуру изменчивости, как непосредственно в Г

нцевом море (рис. 1, б), так и за его пределами (рис. 1, а), т.е. Норвежском море. Элементы ее начинают обозначаться более гко с приходом водных масс с больших глубин Норвежского ря на меньшие Баренцева моря, и это особенно заметно в долериодных компонентах колебаний с цикличностями 11 лет и мес. Именно это обстоятельство позволило через экстраполяю процессов в данных циклах, по наблюдениям в зонах теплых гоков в Баренцевом море, прогнозировать тепловой фон в Норжском море на длительную (более года) перспективу, испольтехнологию экстраполяции температуры воды на разрезе: Нордкап — о. Медвежий, изложенную в [8]. Эти циклы, как едует из рис. 1, характерные для зоны простирания теплого гока, за его пределами выражены значительно слабее и по рим масштабам (амплитуде) адаптированы к линейным размем Баренцева моря.

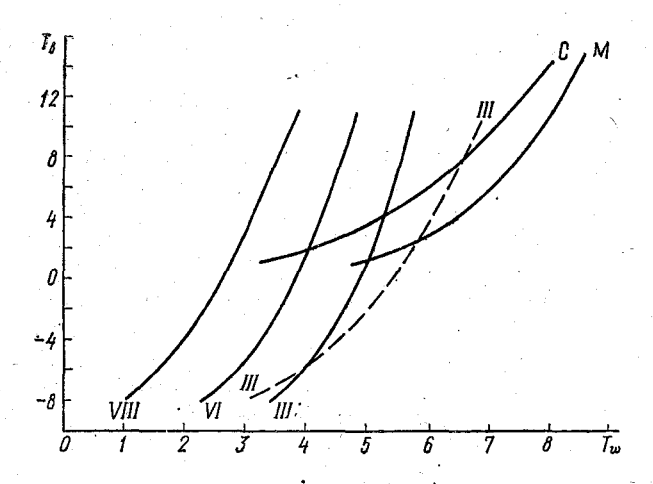
Инерционность, связанная с процессами теплового взаимодейзия моря с атмосферой, обусловлена временем проникновения лла в глубинные слои. Ее интервал определяется принятой для енки теплового состояния толщиной слоя воды и условиями нвективного перемешивания в данном районе. Тепловое взаимойствие моря с атмосферой определяет толщину так называемого эмического деятельного слоя, т. е. слоя, в котором колебания мпературы носят выраженный сезонный характер. Для опреления толщины термического деятельного слоя Норвежского ря было проведено специальное исследование. По средним сячным значениям температуры воды для станции погоды М гли найдены глубины залегания изотерм и рассчитаны спектльные плотности их колебаний. Оказалось, что в слое 0-300 м лебания глубин залегания изотерм в цикле годового хода синізны, а спектры глубин залегания изотерм, расположенных ниже 0 м, принципиально отличаются от спектров верхних слоев и том числе отсутствием колебаний на частоте годового хода. о свидетельствует о различии процессов, формирующих верхй 300—400-метровый и нижележащий слои в районе с. п. М. гализ вертикального распределения амплитуд годовых колебай средних месячных температур воды, а также максимальных лщин квазиизотермического слоя в период наибольшего охлажния показал, что термический деятельный слой в этом районе цеет толщину около 300 м [3]. Для Баренцева моря, средняя убина которого несколько превышает 200 м, методика прогноза мпературы воды разработана для слоя 0-200 м. Поскольку эт слой отражает основные закономерности изменений темпетуры воды, происходящие в деятельном слое, для Норвежского ря анализировались закономерности изменения теплового соояния вод также в слое 0-200 м.

Теплообмен с атмосферой имеет четко выраженный годовой д. Оценка интервала запаздывания выполнена по максимуму

коэффициентов корреляции между средними месячными много летними значениями температур воды слоя 0-200 м (T_w) и воздуха $(T_{\rm B})$ при расчете с различным сдвигом $T_{\rm B}$ относительно T (см. таблицу).

Коэффициенты корреляции (r) между температурой воздуха и воды при различных временных сдвигах и средние квадратические ощибки (σ)

Район, слой	III ₆ —200	VI _{0 -200}	VIII ₀₋₂₀₀	III ₀₋₅₀	M _{0 - 200}	C ₀₋₂₀
Синхронно, г/о	0,49/0,59 0,85/0,34		ž .	i.		
Сдвиг 1 мес., r/σ Сдвиг 2 мес., r/σ	0,99/0,13	0,99/0,18	0,99/0,22	0,90/0, 59		
Сдвиг 3 мес., По	0,85/0,38	0,92/0,32	0,85/0,48		–	



С учетом временного сдвига при наибольшем коэффициен

корреляции были построены графики связи (рис. 2).

Достоверность связи позволяет на основе анализа криве рис. 2 проследить ряд крайне важных закономерностей теплово

заимодействия в исследуемом регионе. Помимо отмеченной выше еолнородной по плошади спектральной фазы, обращает на себя нимание различный наклон кривых, что свидетельствует также различной значимости процессов взаимодействия по региону. а станциях M и C изменение температуры воздуха на 2° привоит к изменению температуры воды на 0.5° в летний период и на в зимний период, в то время как в Баренцевом море — всего ишь на 0,3° летом и 1,3° зимой. Принципиальные различия криах связи в северной и южной частях региона обусловлены двумя ричинами. Одной из них является появление на какой-то широте рицательных температур воздуха, создающих неравномерность гловий перемешивания на протяжении года и различие наклона ривых выше и ниже линии нулевой температуры воздуха. Втоая — связана с неравномерностью вклада адвективной компоэнты, роль которой существенно возрастает по мере движения од на север и далее на восток в пределах Баренцева моря. Сущевенное значение имеет и толщина вводимого в рассмотрение юя воды.

Инерционность, связанную с волновыми процессами, имеется эможность пока рассмотреть только на акватории Баренцева эря. Основные количественные параметры этой инерционности эдробно рассмотрены в работе [8]. Эти характеристики можно жа рекомендовать и для других районов исследуемого региона. ля основных циклов колебаний тепловая инерция в волновых эоцессах составляет: около 2—3 мес. в годовом цикле и 8—1 мес. в 30 месячном цикле.

Влияние тренда хорошо прослеживается на примере анализа теменного ряда аномалии температуры воды на разрезе: мыс. ордкап — о. Медвежий. Этот ряд также опубликован в работе []. На примере скользящего осреднения можно показать, что за следние 40 лет средняя температура воды слоя 0—200 м и по летним периодам уменьшалась на 0,3°—0,4°, что в итоге прило к необходимости корректировки нормы в сторону уменьшеля почти на 0,2°. Это, естественно, привело к необходимости грректировки аномалий температуры воды и пересмотра оценок плового состояния вод на регионе.

Обнаруженная общность процессов формирования теплового жима вод в Северо-Европейском бассейне в определенных мастабах представляет возможность прогнозировать тепловой фон Норвежском море и Северной Атлантике по прогнозу темперары воды в Баренцевом море. На рис. З представлен график язи температуры воды III разреза и с. п. М по наблюдениям за лет. На графике намечается лишь общая направленность язи, но «облако» точек настолько размытое, что получить апоксимационную кривую по нему не представляется возможным обы выявить характер связи, исходные ряды были разделены стабильную и изменчивую части процессов по аналогии с по-

добными расчетами, выполненными для Баренцева моря [8]. Для этой цели был сформирован ряд: $\Delta T = T_{w,M} - T_{w,III}$. Средняя величина этой разности за 20 лет составила $\Delta \overline{T} = 1,96^{\circ}$ С, она характеризует общее изменение температуры воды по пути от с.п. M до III разреза за счет теплообмена с атмосферой и турбулентного перемешивания.

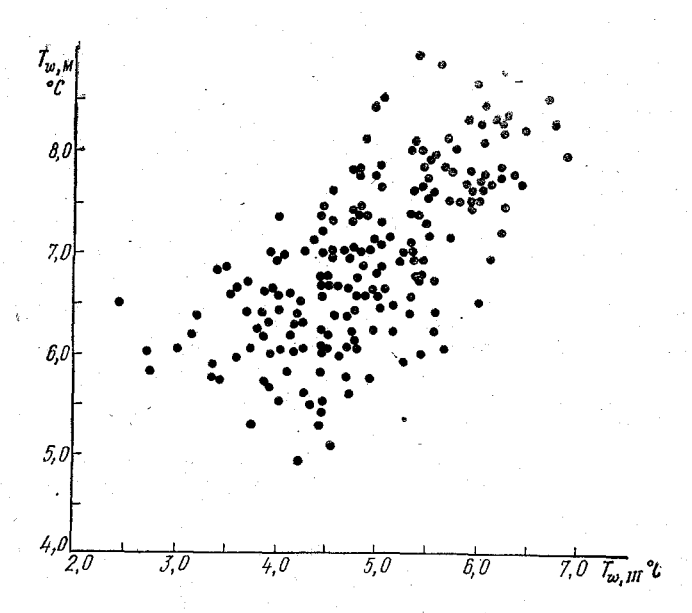


Рис. 3. Связь между температурой воды слоя 0-200 м на III разрезе и на станции погоды M

Рассчитана так называемая «центрированная» разность Δ T'= $=\Delta$ T — Δ \overline{T} , которая характеризует различия в аномалиях тем ператур воды на III разрезе и с. п. M. Осредненная за кажды месяц величина Δ T' имеет четко выраженный годовой ход с мак симумом в летний период.

Для каждого месяца получен ряд: $\Delta T_{\text{III}} = T_{w, \text{III}} - \overline{T}_{w, \text{III}} + \Delta T_{w, \text{III}} +$

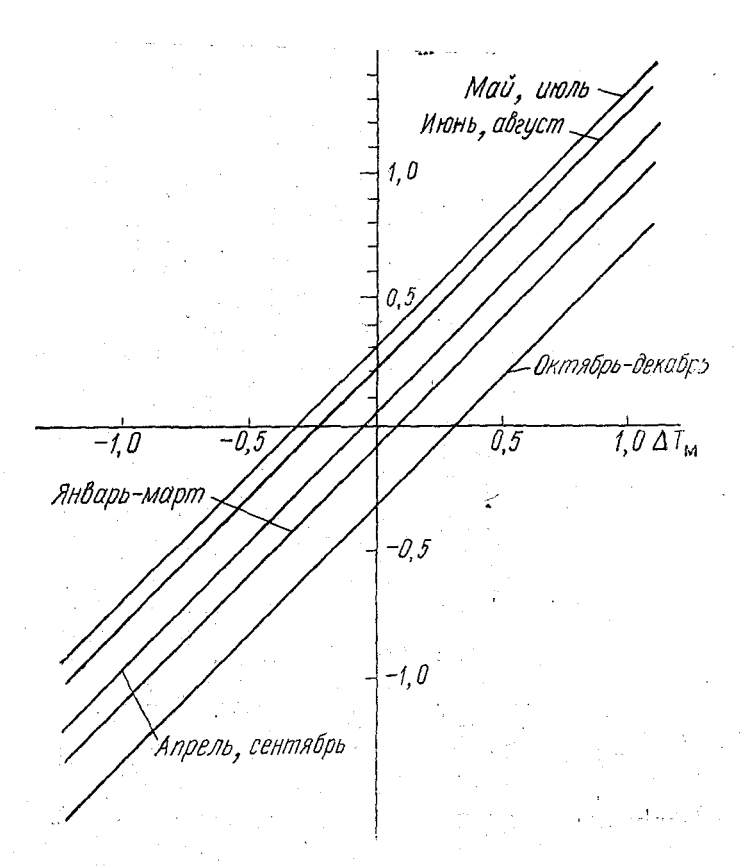


Рис. 4. Связь аномалий температуры воды слоя 0—200 м $\Delta T'_{\rm III}$ и ΔT_M для каждого месяца

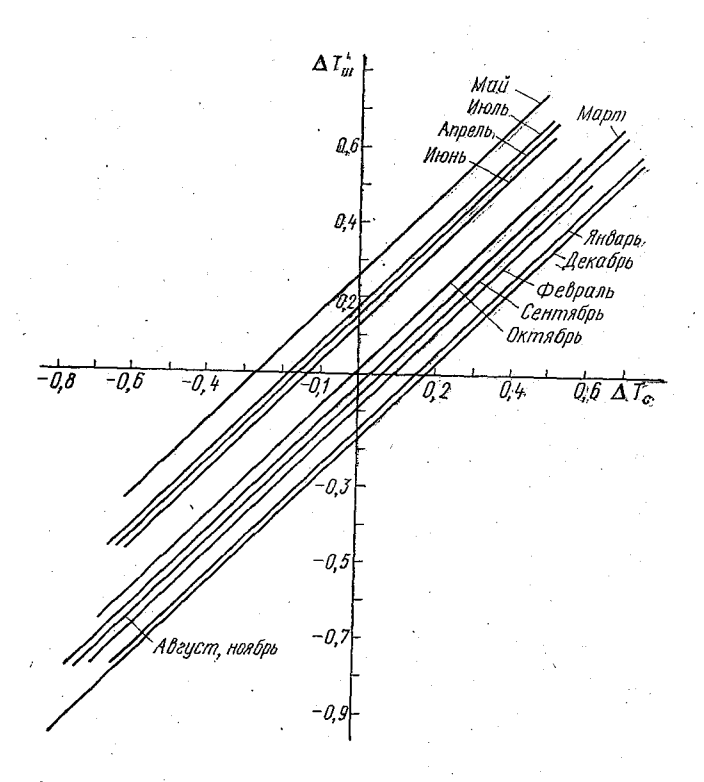


Рис. 5. Связь аномалий температуры воды слоя 0—200 м $\Delta T'_{\rm HI}$ и ΔT_{C} для каждого месяца

Зная годовой ход температуры воды на стандартных разрезах Норвежского моря можно вышеуказанными способами (через связь с $T_{\rm B}$ или $T_{w, \rm HI}$) прогнозировать тепловой фон по акватории всего моря. Однако недостаточная гидрологическая освещенность наблюдениями стандартных разрезов Норвежского моря на протяжении года не позволяет получить надежные «нормы» прямым осреднением данных T_w . Для их восстановления в различных районах моря был использован некий искусственный прием, суть

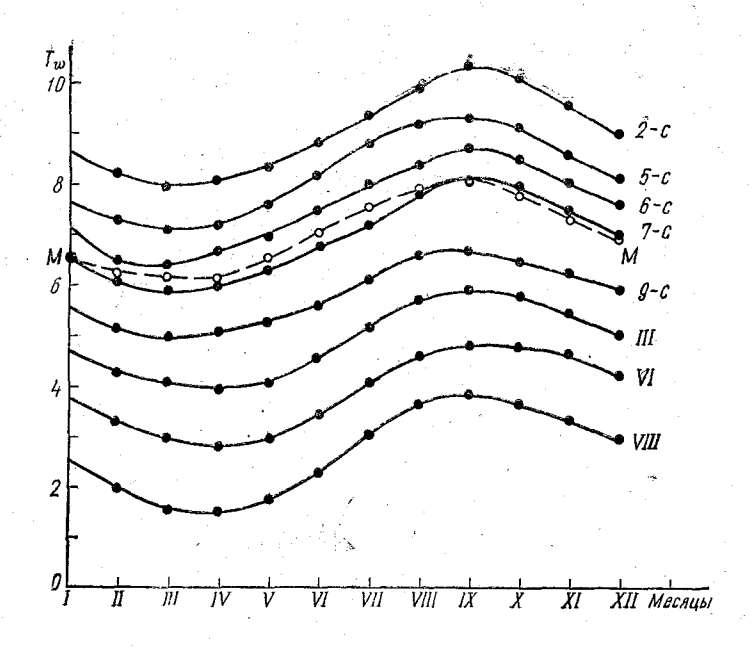


Рис. б. Графики годового хода температуры воды слоя 0—200 м на стандартных разрезах Баренцева и Норвежского морей: III, VI, VIII — для Баренцева моря; 2-с, 5-с, 6-с, 7-с, M, 9-с — для Норвежского моря

которого состоит в следующем. Сопоставление годового хода средних многолетних значений T_{w} на стандартных разрезах Баренцева моря, с. п. M и с. п. C показало их почти полную идентичность. Некоторые расхождения в характере годового хода имеют выраженную закономерность, интерполяция которой на пространство между с. п. C, M и III разрезом позволила воспроизвести годовой ход по районам Норвежского моря, статистически не обеспеченным наблюдениями, опираясь прежде всего на наблюдения в июне, которые позволяют получить надежную среднемноголетнюю величину июньской температуры воды по основным разрезам Норвежского моря (рис. 6) и отмеченные выше основные закономерности ее годового хода.

Йюньская же температура позволяет построить график изменений температуры воды вдоль основных теплых течений (рис. 7) с помощью этого графика восстановить годовой ход на всем пространстве теплого Норвежского течения.

Подводя итог изложенному, можно наметить несколько путей прогнозирования теплового фона Норвежского моря и Северной Атлантики.

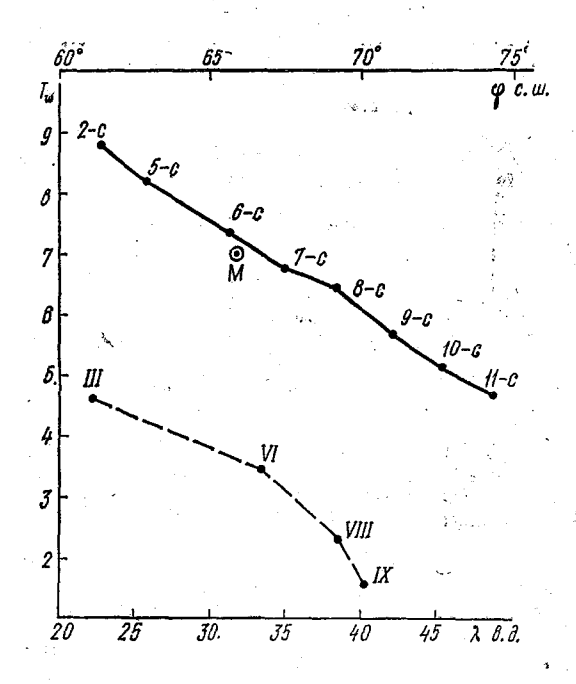


Рис. 7. Изменение температуры воды слоя 0—200 м Восточной ветви Норвежского течения (2-с — 11-с) и Нордкапского течения (III—IX) в июне (по средним многолетним данным)

Первый путь — прямой расчет температуры воды через температуру воздуха с учетом временного сдвига через графики связи рис. 2 и экстраполяцию этих данных на пространство между расчетными точками. При этом не учтенной оказывается изменчивость температуры воды, обусловленная изменениями адвекции тепла Северо-Атлантическим и Норвежским течениями, которая в данном случае имеет значительно меньшую роль, чем в Баренцевом море.

Второй путь — переход от аномалий температуры III разреза к аномалиям температуры на станциях погоды M и C с помощью графиков рис. 4, 5. При этом не будет учтена короткопериодная (до 3 мес.) изменчивость аномалий, которая внесет существенные

ошибки в оценки месячных температур, но окажет малое влияние на точность сверхдолгосрочных прогнозов тепловых условий (более года) как квазициклическая при использовании прогнозируемых температур III разреза по известной методике [8].

ЛИТЕРАТУРА

1. Бочков Ю. А., Саруханян Э. И., Смирнов Н. П. Основные закономерности многолетних колебаний температуры воды Баренцева моря и их связь с геофизическими процессами. — Тр. ПИНРО, 1968, вып. ХХІІІ,

2. Глаголева М. И., Скриптунова Л. И. Прогноз температуры

воды в океане. — Л.: Гидрометеоиздат, 1979. — 168 с. 3. Дороиин Ю. П., Карпова И. П. Изменчивость нижней границы деятельного слоя океана. — Изв. Всес. географ. общ-ва, 1977, т. 109, № 1, c. 32-36.

4. Лыкова В. В., Лыков А. А. Климатические изменения уровня

моря, температуры воды и ледовитости. — ВНИИГМИ-МЦД, обзор, серия океанология, ИЦ Обнинск, 1977. — 50 с.

5. Монин А. С., Каменкович В. М., Корт В. Г. Изменчивость Мирового океана. — Л.: Гидрометеоиздат, 1974. — 262 с.

6. Серяков Е. И. Долгосрочные прогнозы тепловых процессов в Север-

ной Атлантике. — Л.: Гидрометеоиздат, 1979. — 165 с.

7. Смирнов Н. П., Саруханян Э. И., Бочков Ю. А. Многолетние колебания гидрологического режима Баренцева и Норвежского морей и возможности их прогнозирования. Материалы сессии Ученого совета ПИНРО по результатам исследований в 1965 г. — Мурманск, 1967, вып. VIII, с. 111-121.

8. Суставов Ю. В. Физико-статистический метод прогноза температуры воды в Баренцевом море. — В сб.: Исследование взаимодействия океана и атмосферы в энергоактивных зонах. Л., изд. ЛПИ, 1985, вып. 91, с. 52-76.

9. Угрюмов А. И. Тепловой режим океана и долгосрочные прогнозы

погоды. — $\dot{\Pi}$.: Гидрометеоиздат, 1981. — 176 с.

10. Яковлев В. Н., Альтман Ю. С. Методические рекомендации по прогнозированию промыслово-океанологических характеристик некоторыми статистико-вероятностными методами. — Калининград: АтлантНИРО, 1985. — 94 с.

УЛК 551.501 + 551.571

ЗАВЕРТЯЕВ С. Б. (ЛГМИ)

ПАРАМЕТРИЗАЦИЯ ВЛАЖНОСТИ ВОЗДУХА В ПРИВОДНОМ СЛОЕ АТМОСФЕРЫ

В связи с тем, что акватория Мирового океана очень слабо освещена судовыми наблюдениями за влажностью воздуха, возникает необходимость ее расчета по другим характеристикам приводного слоя атмосферы. В последние годы предложено несколько

экспериментальных зависимостей для восстановления влажности воздуха над океаном [1, 3, 5, 6, 9, 11, 12]. В работе [4] приводится сравнительный анализ точности расчета парциального давления водяного пара по методикам [5, 6, 9, 12] для различных широтных зон и периодов осреднения исходной информации. Вместе с тем, первостепенную важность при разработке различных аспектов физики взаимодействия атмосферы и океана приобретают вопросы анализа данных наблюдений в рамках определенных теоретических схем [8]. В настоящей работе исследуется возможность параметризации влажности воздуха на основе положений теории подобия и размерности.

Предположим, что на некоторой высоте от поверхности воды упругость водяного пара (e_z) зависит от насыщающей упругости у поверхности (e_0) , уровня (z) и факторов, определяющих турбулентный перенос в приводном слое атмосферы. Анализ системы уравнений для слоя трения показывает, что турбулентный режим зависит от следующих параметров [7]: u_* — динамической скорости, $\frac{g}{t}$ — параметра плавучести, $\frac{H}{\rho c_p}$ потока тепла и высоты z. Итак, влажность воздуха определяется системой пяти параметров: e_0 , z, $\frac{g}{t}$, $\frac{H}{\rho c_p}$, u_* , причем последние три характеризуют конвективный и динамический факторы продукции энергии турбулентности. Согласно π -теореме, с точностью до функции от безразмерного аргумента получим:

$$\frac{e_z}{e_0} = f\left(\frac{\frac{g}{t}}{\frac{H}{\rho c_p}} \frac{H}{z}\right), \tag{1}$$

где g — ускорение свободного падения; t — средняя абсолютная температура приводного слоя; ρ — плотность воздуха; c_p — его удельная теплоемкость при постоянном давлении. Используя масштаб длины Монина — Обухова

$$L = -\frac{u_*^3}{\kappa \frac{g}{t} \frac{H}{\rho c_p}}, \qquad (2)$$

найдем выражение для упругости водяного пара:

$$\frac{e_z}{e_0} = f\left(-\frac{\varkappa z \frac{g}{t} \frac{H}{\rho c_p}}{u_*^2}\right) = f\left(\frac{z}{L}\right). \tag{3}$$

Отношение $\zeta = \frac{z}{L}$ является основным критерием гидростатической устойчивости. Постоянная Кармана \varkappa традиционно

включается в выражение (2), причем его знак выбирается так чтобы L>0 при устойчивой стратификации. При выводе формулы сделано принципиальное допущение — водяной пар считается пассивной примесью. В качестве определяющего параметра выбран поток тепла $\frac{H}{ac}$, вместо потока влаги $\frac{E}{ac}$, пропорционального не-

известному традиенту влажности. Таким образом, влажность воздуха на высоте z зависит от ее значения у поверхности раздела вода — воздух и устойчивости приводного слоя атмосферы. В целях приведения метеопараметров к стандартной высоте z=10 м, а также для вычисления турбулентных потоков будем использовать методические указания ГГО [10]. Если принять коэффициенты теплообмена (c_T) и сопротивления (c_D) постоянными, то, учитывая основные аэродинамические формулы обмена [10], получим:

$$\frac{e_z}{e_0} = f\left(-\frac{x c_T}{c_D^{3/2}} \cdot \frac{g \Delta t z}{t u_z^2}\right) = kf(\text{Ri}), \tag{4}$$

где $\Delta t = t_0 - t_z$ — разность температур вода — воздух; u_z — скорость ветра; $k = \frac{\kappa \, c_I}{c_D^{s_I}}$ — безразмерная постоянная; Ri — аналог числа Ричардсона.

На рисунке показан вид функции $f(\zeta)$. Для построения зависимости использованы средние месячные данные по девяти атлантическим станциям погоды и материалы шестого рейса УЭС «Профессор Сергей Дорофеев» в Норвежском и Балтийском морях.

Рассмотрим четыре частных случая формулы (3).

1. В случае безразличной стратификации приводного слоя атмосферы функция $f(\zeta)$ принимает некоторое значение в точке $\zeta=0$, т. е.

$$\frac{e_z}{e_0} = f(0) = c_1, (5)$$

где безразмерная константа c_1 имеет величину несколько меньшую единицы. При равенстве температур воды и воздуха максимальная упругость водяного пара (e_0) всегда больше e_z . В частности это следует из выражения для логарифмического профиля влажности [7], который имеет место при нейтральной термической стратификации слоя трения. Поэтому c_1 является константой для фиксированного уровня, варьирующей в зависимости от его высоты.

Оценим численное значение c_1 , принимая разность температур воды и воздуха в методиках [3, 11, 12] равной нулю. Согласно этим оценкам c_1 = 0,82 [3]; 0,79 и 0,90 [11]; 0,85 [12]. Полученные эмпирические оценки коэффициента c_1 достаточно близки.

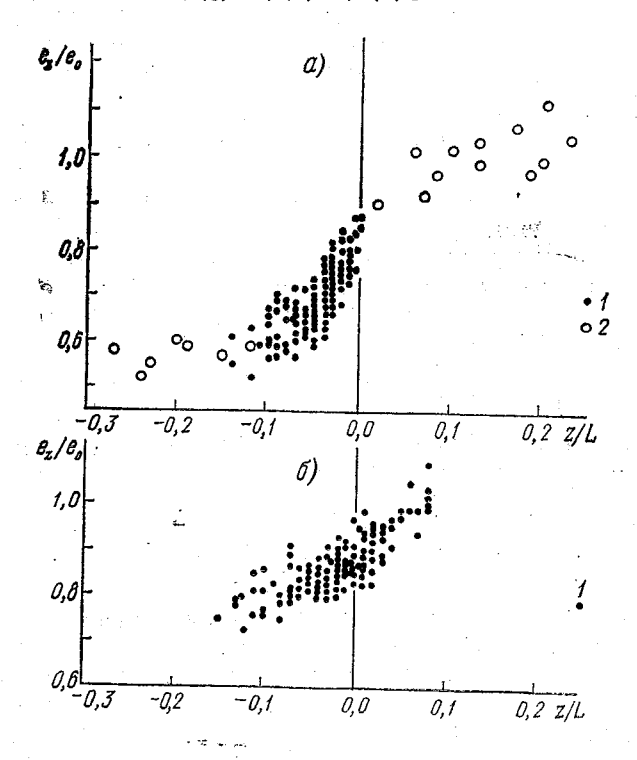
Наши данные, в частности, представленные на рисунке, хорошо

огласуются с вышепривеленными.

2. При близкой к безразличной стратификации приводного лоя отношение $\frac{z}{L}$ мало. Следовательно, функцию $f(\zeta)$ в формуле

(3) можно разложить в ряд Маклорена в окрестности точки $\zeta = 0$, ограничившись двумя первыми членами:

$$f(\zeta) = f(0) + f'(0)\zeta,$$
 (6)



Зависимость безразмерного отношения $\frac{e_z}{e_0}$ от критерия гидростатической устойчивости $\frac{z}{L}$:

1 — по среднемесячным данным девяти станций погоды (a — январь, b — июль); b — по срочным данным шестого рейса УЭС «Профессор Сергей Дорофеев» в октябре — декабре 1985 г

де f'(0) — производная $f(\zeta)$ в точке ноль. С учетом (5) и (6) рормула (3) принимает вид

$$\frac{e_z}{e_0} = c_1 (1 + c_2 \zeta), \tag{7}$$

где $c_2 = \frac{f'(0)}{c_1}$ — безразмерный коэффициент, зависящий от вн соты z. При $\xi = 0$ выражение (7) переходит в (5). Из формулы (7 следует, что при неустойчивой стратификации $\frac{e_z}{e_0}$ меньше, че при устойчивой. Натурные данные (см. рисунок) подтверждаю прямолинейную зависимость (7) при условии слабой стратификации.

3. В случае свободной конвекции турбулентность возникає только за счет силы плавучести $(u_* \to 0)$. Это обстоятельство учтено в формуле для расчета потока тепла при штиле и маловетрии [2]

$$H = c \rho c_p \Delta t \left(\Delta t_* \right)^{1/a}, \tag{8}$$

где c — размерная константа; $\Delta t_* = \Delta t + 0,108 (e_0 - e_z)$ — эффективный перепад температуры. Для нахождения e_z в (8) можно например, применять известные эмпирические зависимости, по тому что вклад перепада влажности в Δt_* на порядок ниже разности температур. Учитывая (8), выразим скорость ветра в виде

$$u_z = \frac{H}{\rho c_p c_T \Delta t} = \frac{c}{c_T} (\Delta t_*)^{1/s}. \tag{9}$$

Подстановка (8) и (9) в формулу (3) приводит к выражения для условий свободной конвекции

$$\frac{e_z}{e_0} = f \left(-\frac{g_x}{c^2} \left(\frac{c_T}{\sqrt{c_D}} \right)^3 \frac{\Delta t z}{t \left(\Delta t_* \right)^{2/s}} \right). \tag{10}$$

4. Предельно устойчивая стратификация препятствует разви тию турбулентности. При глубокой инверсии турбулентность имее локальный характер и может существовать лишь в форме мелки вихрей [7]. Турбулентный обмен теплом и влагой ослаблен, при чем перенос явного и скрытого тепла осуществляется в направле нии границы раздела вода — воздух. В таком случае потоки и и Е перестают влиять на содержание водяного пара в воздухе Выражение для влажности воздуха в этом случае не удается по лучить из соображений подобия и размерности. Можно предполо жить, что влажность воздуха будет зависеть от метеопараметрог на конкретном уровне, среди которых наиболее важным следуе считать температуру воздуха.

Заметим, что использование осредненной информации приво дит к сужению диапазона безразмерных высот, причем уже при среднемесячном осреднении наблюдаются, как правило, услови близкие к безразличной стратификации приводного слоя атмо сферы (случай 2). Этот факт иллюстрируют расчеты по океан ским станциям погоды (см. рисунок). Обработка по формуле (3)

жегодных среднемесячных наблюдений за скоростью ветра, влажостью воздуха, температурой воды и воздуха по девяти станциям огоды в Атлантическом океане за 18 лет показала, что харакерный интервал стратификаций приводного слоя составляет $-0.15 < \zeta < 0.1$ (— 0.02 < Ri < 0.01). В этом диапазоне выявляется инейная связь $\frac{e_z}{e_0}$ с критериями устойчивости (см. рисунок).

оэтому определять влажность воздуха возможно по получен-

ой теоретически линейной зависимости (7).

Значения безразмерных коэффициентов в этой формуле найены методом наименьших квадратов по указанным выше даным наблюдений девяти станций погоды, с использованием анаэга числа Ричардсона в качестве критерия устойчивости приводэго слоя атмосферы. Скорость ветра считалась измеренной на ясоте 25 м и приводилась к стандартному уровню 10 м [10]. результате выражение (7) принимает следующий вид:

$$\frac{e_z}{e_0} = 0.837 - 14,796 \frac{g \Delta t \cdot z}{t \cdot u_z^2}.$$
 (11)

Для оценки погрешностей расчетов e_z по формуле (11) были лчислены средние квадратические отклонения между рассчитаными и измеренными значениями влажности воздуха. Оказалось, о погрешность расчета по формуле (11) составляет 1,1 гПа и изка к погрешностям эмпирических зависимостей [9, 11], но сколько превышает ошибки зависимостей [6, 12], составляюих по нашим данным 0,7 гПа. К сожалению, используемые атериалы станций погоды не содержат точных сведений о выте измерений метеоэлементов над уровнем моря. Следует ожиіть уменьшения погрешности расчета влажности воздуха при пользовании данных с известным уровнем наблюдений метеограметров в приводном слое атмосферы.

ЛИТЕРАТУРА

1. Безмельницын А. В., Малинин В. Н. Крупномасштабная мо-1. Безмельницын А. Б., Малинин Б. п. крупномасштаоная мо-пь формирования влагообмена в системе океан— атмосфера. В наст. сб. 2. Бортковский Р. С. Тепло- и влагообмен океана и атмосферы и штиле и маловетрии. — Тр. ГГО, 1981, вып. 454, с. 3—8. 3. Гирдюк Г. В. Расчет теплопотерь поверхностью Баренцева моря. — облемы Арктики и Антарктики, 1977, вып. 52, с. 22—26. 4. Гирдюк Г. В., Егоров Б. Н., Яковлев Л. Ф. О расчете влаж-ти воздуха по температуре поверхности океана и приводного слоя атмо-

еры. — Метеорология и гидрология, 1985, № 8, с. 54—59.

5. Гирдюк Г. В., Малевский-Малевич С. П. Методика расчета фективного излучения поверхности океана. — Тр. ГГО, 1973, вып. 297,

124—132. 6. Гирдюк Г. В., Шахметова Е. М. Трансформация теплового излу-

7. Динамическая метеорология. Л.: Гидрометеоиздат, 1976. — 607 с.

8. Китайгородский С. А. Физика взаимодействия атмосферы океана. — Л.: Гидрометеоиздат, 1970. — 284 с.

9. Масагутов Т. Ф. Расчет влажности воздуха над морем по темг ратуре воздуха и воды. — Метеорология и гидрология, 1981, № 5, с. 114—11 10. Методические указания. Расчет турбулентных потоков тепла, влаги количества движения над морем. — Л.: ГГО, 1981. — 56 с.

11. Позднякова Т. Г. О возможности восстановления поля влажнос

над океаном. — Тр. ВНИИГМИ-МЦД, 1983, вып. 99, с. 69—73. 12. Снопков В. Г. Расчет влажности воздуха над морем по разнос вода — воздух. — Метеорология и гидрология, 1980,

c. 109—111.

УДК 551.463

В. М. БУЛАЕВА (ЛГМ)

РАЙОНИРОВАНИЕ АКВАТОРИИ СЕВЕРНОЙ АТЛАНТИК ПО СИНХРОННОСТИ МЕЖГОДОВЫХ КОЛЕБАНИЙ ТЕМПЕРАТУРЫ ВОДЫ

Принципиальная возможность и заблаговременность прогноз рования гидрометеорологических процессов в большой степет определяется их пространственными и временными масштабам Так, например, совершенно очевидно, что сравнительно кратк временные аномалии температуры воды малого пространстве ного масштаба, вызываемые динамической неустойчивостью теч ний во фронтальных зонах, не предсказуемы с большой забл говременностью. С этой точки зрения, долгосрочный прогноз те пературного поля океана целесообразно представлять не в ви набора значений температуры в отдельных точках, а в виде обо щенных характеристик теплового фона, преобладающего на о ширных участках акватории.

Правильное пространственное обобщение (осреднение) темп ратурных данных можно проводить в пределах районов, хара теризующихся синхронностью межгодовых колебаний температур воды, т. е. районов, которые, как правило, заняты однородным по знаку температурными аномалиями. Настоящая работа и п священа выделению таких стационарных районов с использов

нием принципов объективной классификации.

Районирование — это территориальная классификация, отр жающая пространственное расположение объектов наблюдени В методах объективной автоматической классификации объект представлены точками в пространстве, измерениями которого я ляются признаки. Классификация сводится к выделению компак

ых областей сгущения точек в многомерном признаковом простанстве. Эта задача может быть решена с помощью методов клаерного анализа, которые позволяют сгруппировать множество бъектов в однородные классы на основании предположения, что дельным классам соответствуют группы «близко» расположенях точек. Разделение на классы в кластерном анализе основано і понятии попарной близости элементов, которая в процессе разіения на классы обобщается до меры групповой близости [6].

Обычный математический аппарат задач кластер-анализа страіет, с точки зрения районирования, некоторыми недостатками. режде всего, он не позволяет учесть один из важнейших приніпов физико-географического районирования: принцип террито-<u>гальной</u> целостности (неразрывности). Объекты районирования ществуют в реальном пространстве. Неучет их пространствених связей может привести к появлению кластеров, состоящих из дельных, разрозненных в пространстве участков, как это полу-

ілось, например, в работе [8].

Другой недостаток большинства алгоритмов кластер-анализа ключается в том, что каждый классифицируемый объект может инадлежать только одному классу. Такое требование однозначй классификации является, по-видимому, некорректным для гогих задач океанологического районирования. Жестких границ горизонтальной плоскости океана не существует. Даже стациорные, резко выраженные фронтальные зоны испытывают значильные пространственные смещения. В подобных случаях, как азывается в [3], алгоритмы классификации должны основыться на представлении о классе, как о размытом, нечетком мноэстве объектов, для которых переход от принадлежности к классу непринадлежности скорее постепенный, чем резкий.

Эта специфика задач районирования учитывалась нами при зработке методики объективного выделения квазиоднородных йонов с синхронными межгодовыми колебаниями температуры ды (t_w) поверхностного слоя. Как указывается в [5], одно из новных требований, предъявляемых к любой классификации объективность, т. е. выделяемые классы должны соответствогь реально существующим и не зависеть от точки зрения исэдователя. В океане, имея ввиду устойчивость положения основх систем течений и главных фронтов, можно предполагать налие стационарных областей преимущественного распространения омалий температуры воды (Δt_w) большого пространственного сштаба.

В качестве объекта исследования выбрана часть акватории верной Атлантики 40—60° с. ш., 15—40° з. д., где могут распогаться обширные районы синхронных межгодовых колебаний так как области распространения центральной северо-атлантеской водной массы в системе Северо-Атлантического течения эйственно преобладание крупномасштабной составляющей в изнчивости t_w [7].

Выбор алгоритма кластеризации и задание конкретного ви меры близости должны самым непосредственным образом выт кать из характера и специфики проводимого исследования, а те же из особенностей используемой информации. Задача выделен районов, однородных по фазе межгодовой изменчивости t_w , не я ляется, по существу, универсальной классификацией, а относит к разряду специальных, целенаправленных классификаций (к сит, в известном смысле, утилитарный характер). Цель данно исследования — получить стационарные районы, по котори можно проводить корректное осреднение аномалий t_w , что, к указывается в [7], не только спрессовывает информацию, но сглаживает случайные по отношению к основным колебания Временные ряды осредненных по отдельным районам Δt_w мог выступать в качестве предиктантов в схемах долгосрочного приноза температуры воды.

В настоящее время мы располагаем двумя видами материал по пространственному распределению t_w поверхностного сл в Северной Атлантике: 1) массивы среднемесячной t_w , осредненой по 5°-ным квадратам (1957—1983 гг.); 2) среднемесячн карты распределения t_w , построенные в Гидрометцентре ССС на которых нанесена температура, интерполированная в узрегулярной сетки (1973—1983 гг.).

Основным источником получения обоих видов информации з ляются данные попутных наблюдений с торговых и промыслов: судов. Так как ряды данных по 5°-ным квадратам значитель длиннее, прогностические разработки можно проводить толь на их основе. Но необходимо иметь в виду, что не во всех рай нах океана осреднение наблюдений по 5°-ным квадратам мож приводить к получению репрезентативных средних характеристи Неизбежная неравномерность распределения единичных набл дений внутри квадрата способна вызвать существенные искажен средних величин, во-первых, в районах с большими горизонтал ными градиентами t_w и, во-вторых, в случаях, когда велика і роятность совпадения в пределах одного квадрата противополо ных фаз межгодовых колебаний t_w . В [4] проведен анализ г грешностей осреднения t_w по 5° -ным квадратам на основе нест ционарной и неоднородной модели случайного поля гидромете элемента. Показано, что для районов с небольшими градиента: t_w , которые типичны для значительной акватории Северной Атлarepsilonтики, средняя квадратическая ошибка среднемесячного значен t_w за счет пространственной неравномерности наблюдений в г риод 1957—1971 гг. не превышала 0,1°C. В зонах же фронтал ных разделов даже сравнительно небольшие отклонения осре ненных координат наблюдений от центра квадрата обусловл вают значительные ошибки, которые могут достигать 1°C.

Точность карт распределения температуры воды, получени методом поквадратного осреднения, ниже точности интерполяц

в узлы регулярной сетки по данным наблюдений на неравнорно расположенных станциях [1]. Кроме того, отрицательный фект нерегулярности наблюдений во времени (особенно ощумый в переходные сезоны), на среднемесячных картах Гидротцентра СССР сказывается слабее, в силу того, что эти карты лучаются путем осреднения предварительно построенных пятиевных карт.

Исходя из этих соображений, для выделения квазиоднородк районов были использованы массивы t_w температуры воды,
ятой в узлах сетки (рис. 1) со среднемесячных карт Гидрометнтра СССР за 1973—1983 гг. Эти данные, помимо большей
чности, обеспечивают и более подробное пространственное разшение. Каждый 5°-ный квадрат в них представляется пятью
чками: одной в центре и четырьмя в углах. Использование тах данных позволяет оценить степень синхронности колебаний
мпературы внутри отдельных квадратов.

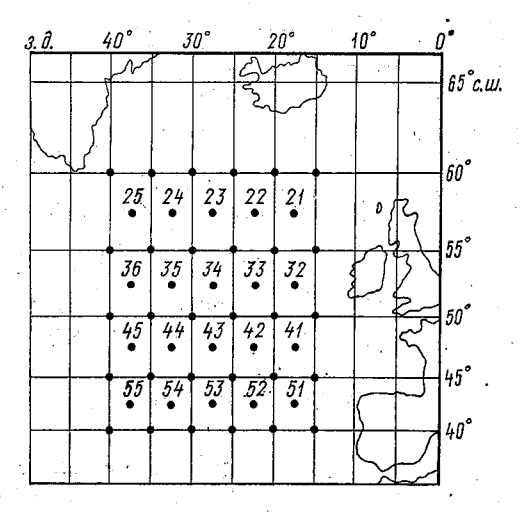


Рис. 1. Сетка узлов для выделения однородных районов и нумерация пятиградусных квадратов

При районировании по согласованности межгодовых колебай $t_{\it w}$ объектами классификации являются отдельные точки злы), а признаками — аномалии $t_{\it w}$ в них за различные месяцы. качестве меры близости между объектами в алгоритмах автотической классификации наиболее широко применяется эвклива метрика:

$$D(X, Y) = \sqrt{\sum_{i=1}^{N} (x_i - y_i)^2}$$
,

е D(X, Y) — расстояние между классифицируемыми объектами и Y; N — число признаков.

Многие методы районирования по синхронности многолетни колебаний гидрометеорологических характеристик основаны на нализе коэффициентов парной корреляции рядов наблюдени [2, 7], которые линейно связаны с эвклидовыми расстояниям между объектами в многомерном признаковом пространстве. Пр этом применяется следующий принцип выделения однородны районов: каждый ряд должен иметь более высокий средний коэффициент корреляции с рядами своего района, чем с рядами лк бого другого.

В данной работе предлагается мера внутрирайонной близости которая, как нам кажется, более точно соответствует задаче вы деления районов, однородных по фазе межгодовой изменчи

вости t_{w} .

Всю совокупность среднемесячных данных по t_{w} за имеющий ряд лет в каждом из узлов сетки можно разбить на три класс соответственно величине аномалии температуры воды:

1) «ниже нормы» (НН) при $\Delta t_w < -0.5 \, \sigma$;

2) «около нормы» (Н) при $|\Delta t_w| \le 0.5 \, \sigma$;

3) «выше нормы» (ВН) при $\Delta t_w > 0.5$ с.

Районами синхронных межгодовых колебаний t_w можно счать такие области, в пределах которых маловероятно совмесное появление Δt_w , относящихся к противоположным классам H и BH, и, наоборот, велика вероятность однородных ситуаций, при которых все узлы, входящие в район, заняты аномалиями одногили двух соседних классов — HH и H или BH и H. Совершеннестественно при этом в качестве меры внутрирайонной близост принять повторяемость однородных ситуаций (A) в районе

$$A = \frac{N_0}{N} \cdot 100 \%,$$

где N_0 — число однородных ситуаций; N — общее число поле Для выделения однородных районов на основе показателя разработан алгоритм, сходный по структуре с некоторыми посл довательными процедурами кластер-анализа. Он предусматр вает выполнение следующих операций.

1. Для каждого 5-градусного квадрата отдельно по именийся совокупности значений Δt_w в узлах сетки рассчитывает показатель однородности A. В качестве начального «ядра» певого однородного района выбирается квадрат, характеризующийся максимальным значением A.

2. К пяти узлам, составляющим начальное «ядро», послед вательно добавляется по одному узлу из соседних, окружающи выбранный квадрат, и при каждом добавлении рассчитывает показатель А для совокупности из шести узлов. В итоге перебој всех окружающих узлов в «ядро» района окончательно вкличается тот узел, при котором достигается максимум А.

3. \hat{K} совокупности, состоящей теперь уже из шести узлов, ювь последовательно добавляются по одному все окружающие плы, рассчитываются новые значения A и к выделенному рай-

ту присоединяется наиболее «близкий» узел и т. д.

На каждом последующем этапе описанной процедуры число лов, входящих в выделяемый район, увеличивается на единицу. асширение района имеет смысл проводить до тех пор. пока $oldsymbol{A}$ $_{2}$ уменьшится до определенного критического уровня $A_{
m KD}$. Задаия различные значения $A_{\rm km}$, можно устанавливать границы райна с разной степенью однородности. После того, как выделение ервого однородного района закончено, в качестве начального гра второго района выбирается пятиградусный квадрат с мак-I мальным A из числа квадратов, не вошедших целиком в перлй район. Затем вновь повторяется описанная выше процедура, ричем в последовательном расширении нового района участлют все окружающие узлы, в том числе и вошедшие в уже выэленный ранее первый район. Естественно, что в качестве наільного ядра каждого нового района могут выступать лишь характеризующиеся достаточно высокой остью однородных ситуаций.

В результате расчетов по описанному алгоритму получаются эсколько групп узлов, образующих частично совпадающие между обой районы, которые могут рассматриваться как однородные по азе межгодовых колебаний t_w с вероятностью, равной $A_{\rm KP}$. Для кончательного варианта разбиения отбираются максимальные по пощади районы, причем допускается их частичное перекрытие.

Пространственные корреляционные связи в поле температуры оды в течение года могут несколько изменяться вследствие сериных колебаний океанической и атмосферной циркуляции. Погому районирование следует проводить отдельно для различных взонов. Нами было выполнено районирование для месяцев зимего периода. В узлах расчетной сетки были рассчитаны аномачии t_w в январе, феврале и марте за 1973—1983 гг., как отклоения среднемесячных температур от норм за период 1957—982 гг. Эти нормы были получены путем интерполяции в узлыетки норм t_w , осредненной по пятиградусным квадратам. Полуенные массивы Δt_w за 1973—1983 гг. для всех трех месяцев бъединялись в общую выборку, длина которой составила 33 менца. В каждом из узлов проведена нормировка аномалий на еличины среднеквадратических отклонений, полученных интероляцией по полю σ для пятиградусных квадратов.

В результате расчетов, проведенных на ЭВМ М-222 при задаии $A_{\rm kp}$ =75% на исследуемой акватории выделено 5 районов, арактеризующихся пространственной квазисинхронностью межодовых колебаний температуры воды в зимний период (рис. 2). Іаиболее обширный район I соответствует северо-восточной пеиферии антициклонического круговорота вод Северной Атланики. По площади он равен 7 пятиградусным квадратам. Шесть квадратов входят в него целиком — 41—43 и 52—54. Этот райого охватывает зону распространения восточной ветви Северо-Атлан тического течения, идущей после разветвления Гольфстрима на восток и переходящей впоследствие в Канарское течение, а такжа лежащие к югу от нее центрально-атлантические водные массы

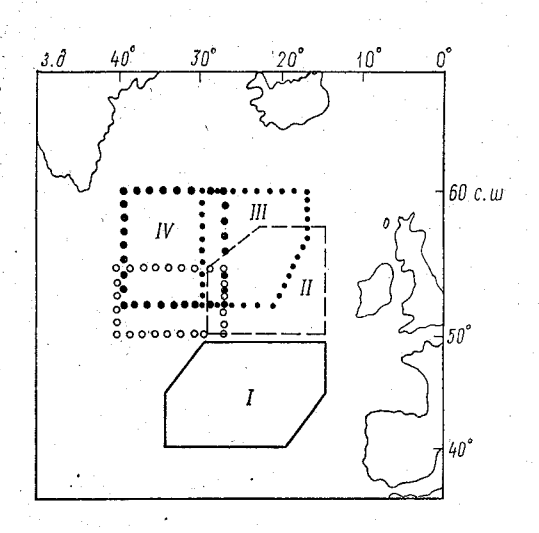


Рис. 2. Расположение однородных районов. Римскими цифрами обозначены номера районов

Общая площадь района II равна примерно четырем квадра там. Целиком в него входят квадраты 32—34. Это район цент ральной струи Северо-Атлантического течения, идущей на северо восток и отделяющей от себя между 20— 25° з. д. ветвь на север образующую течение Ирмингера. В северной части акватори выделено два района — III и IV — несколько меньшей площади Целиком в них входят по два пятиградусных квадрата — 22—2 и 24—25. Наименьший по площади однородный район V (квал раты 35—36) расположен в области распространения холодны субарктических вод, лежащей к северу от субполярного гидро логического фронта. В однородные районы не вошли крайни юго-западные части акватории (квадраты 45 и 55), для которы характерно преобладание колебаний t_w сравнительно малого прс странственного масштаба, связанных со смещениями проходяще здесь зоны субполярного гидрологического фронта.

Однородные районы были выделены на основе массива темпе ратурных полей за очень ограниченный период (всего 11 лет). Ка уже указывалось, для прогностических разработок приемлеми лишь более длительные ряды t_{w} , осредненной по пятиградусных квадратам. Формирование многолетнего каталога классов Δt

однородных районах следует проводить по данным о t_w тех вадратов, которые целиком расположены в выделенных районах. Іс каждому из них были рассчитаны аномалии t_w в январе, февале и марте за 1957—1983 гг. Аналогично тому, как это делась ранее для узлов, вся совокупность Δt_w в каждом из этих есяцев разбивалась на три градации: НН, Н и ВН. Затем, в заисимости от соотношения между числом квадратов, занятых азличными градациями, устанавливался класс Δt_w для всего айона. В случае одновременного совпадения двух противоположых градаций — НН и ВН — в пределах одного района ситуачия считалась неоднородной, и класс Δt_w для данного месяца не станавливался.

Для всех выделенных районов однородность по фазе межгоовых колебаний t_{w} , выявленная по материалам последних 11 лет, олностью подтвердилась и на 27-летнем ряду. Повторяемость днородных ситуаций по каждому из районов составила не менее 0%. В заключение следует отметить, что предложенная методика принципе может использоваться при районировании территорий о синхронности межгодовых колебаний любой гидрометеорологиеской характеристики (с некоторыми модификациями в зависиюсти от вида исходной информации).

ЛИТЕРАТУРА

- 1. Авдеев В. А. Построение карт температуры воды и воздуха в Северой Атлантике. Труды Гидрометцентра СССР, 1970, вып. 127, с. 115—122.
- 2. Евстигнеев В. М., Ретеюм К. Ф., Чуткина Л. П. Опыт гидологического районирования методом автоматической классификации. Вестн. Лоск. ун-та, сер. 5, 1980, № 6, с. 68—73.
- 3. Елисеева И. И., Рукавишников В. О. Группировка, корреляция, распознавание образов. М.: Статистика, 1977. 144 с.
- 4. Ларин Д. А. К вопросу о точности оценок средних месячных знанений метеорологических элементов по данным попутных судовых измерений. Истеорология и гидрология, 1982, № 8, с. 109—115.
- 5. Смирнов Н. П., Скляренко В. Л. Классификация в гидрологии, как задача теории распознавания. Труды ИБВВ АН СССР, 1974, вып. 26(29), г. 166—180.
- 6. Статистическая классификация, основанная на выборочных распределениях. Л.: изд-во Ленингр. ун-та, 1978. 104 с.
- 7. Угрюмов А.И.Тепловой режим океана и долгосрочные прогнозы погоды. Л.: Гидрометеоиздат, 1981. 176 с.
- 8. Яковлев В. Н., Альтман Ю. С. Применение кластер-анализа для классификации океанологических процессов. В кн.: Вопросы использования эперативной спутниковой информации в рыбохозяйственных исследованиях. Калининград: изд. АтлантНИРО, 1980, с. 11—18.

ДИНАМИКО-СТОХАСТИЧЕСКОЕ МОДЕЛИРОВАНИЕ И ПРОГНОЗ АНОМАЛИЙ СРЕДНЕМЕСЯЧНЫХ ЗНАЧЕНИЙ ТЕМПЕРАТУРЫ ВОДЫ НА ПРИМЕРЕ СЕВЕРНОЙ АТЛАНТИКИ

Современное определение климата и климатической системы [4] предполагает, что адекватным описанием климата, с точки зрения его моделирования, является его описание в терминах пространства состояний. Такой подход открывает возможности усовершенствования распространенных в гидрометеорологии методов динамико-статистического моделирования временных рядов гидрометеорологических величин. Как известно, при построении динамико-статистических моделей возникает ряд проблем, затрудняющих их практическое использование и интерпретацию результатов моделирования [4]. В частности, даже в условиях стационарности рассматриваемого процесса, оценки параметров моделей с постоянными коэффициентами при недостатке априорной информации оказываются, например, из-за ограниченности обучающей выборки, существенно отличными от их истинных значений. В связи с этим, применение динамико-статистических (ДС) моделей, параметры которых были оценены по ограниченной выборке, за пределами этой выборки во многих случаях не дает желаемых результатов. Вместе с тем, подход к идентификации ДС моделей, основанный на представлении модели исследуемого процесса в терминах пространства состояний, позволяет строить ДС модели, лишенные выше указанного недостатка.

Рассмотрим данный подход на примере построения ДС моделей рядов аномалий среднемесячных значений температуры по-

верхности океана (ТПО).

Известно, что ряды аномалий среднемесячных значений ТПО в однородных с точки зрения гидрологического режима районах океана хорошо описываются моделями авторегрессии первого порядка [6]:

$$x(k+1) = a_0 x(k) + W(k),$$
 (1)

где x(k) — значение аномалий ТПО в момент времени k; W(k) — составляющая процесса, имеющего вид гауссового белого шума с нулевым средним и дисперсией $\rho \neq \infty$, a_0 — коэффициент авторегрессии при единичном сдвиге.

 $\ddot{\mathbf{B}}$ условиях ковариационной стационарности исследуемого роцесса, при оценивании величины a_0 по конкретным реализациям ограниченной длины, последовательность ее оценок

$$\{a(k)\}, k=1, 2, \ldots, N,$$

гредставляет собой последовательность случайных величий, схокящуюся при $N \to \infty$ к истинному значению a_0 с вероятностью ждиница.

Для коротких рядов отклонения выборочных оценок a(k) от истинного значения a_0 , как указывалось выше, могут быть сущетвенными. В этом случае модели вида (1) с постоянными коэфрициентами, оцениваемыми по коротким выборкам, оказываются, сак правило неудовлетворительными. Чтобы избежать этого перейдем от представления модели в виде (1) к ее представлению з терминах пространства состояний и запишем уравнения состояния [5]:

$$x(k+1) = a(k)x(k) + W(k);$$
 (2)

$$y(k) = x(k) + \xi(k)$$
. (3)

Здесь x(k) — состояние процесса, оцениваемого моделью (1) в k-й момент времени; y(k) — наблюдаемое значение аномалии ТПО в k-й момент времени: $\xi(k)$ — белый шум, характеризующий ошибки наблюдения и осреднения.

Нетрудно видеть, что состояние x(k) представляет собой в данном случае значение аномалий ТПО, не искаженное ошибками наблюдения и осреднения.

Если значения a(k) заданы и определены к k-му моменту времени с минимальной ошибкой по отношению к a_0 , то задача предсказания может быть реализована на основе линейного фильтра Калмана [1].

В нашем случае величины a(k) по предположению заранее не могут быть определены с необходимой точностью и более того, могут быть вообще неизвестны к моменту времени k. В этой ситуации возникает задача совместного оценивания параметров и состояния. Она может быть решена на основе расширения в общем случае вектора состояния путем присоединения к нему в виде дополнительных компонент значений параметров. Таким образом, вместо (2)—(3) получим:

$$\mathbf{x}(k+1) = \mathbf{A}\mathbf{x}(k) + \mathbf{W}(k); \tag{4}$$

$$\mathbf{y}(k) = \mathbf{x}(k) + \mathbf{V}(k). \tag{5}$$

Здесь

$$\mathbf{x}(k) = \begin{bmatrix} x(k) \\ a(k) \end{bmatrix}; \ \mathbf{W}(k) \ \begin{bmatrix} w(k) \\ 0 \end{bmatrix};$$
$$\mathbf{y}(k) = \begin{bmatrix} y(k) \\ r_1(k) \end{bmatrix}; \ \mathbf{V}(k) = \begin{bmatrix} \xi(k) \\ V(k) \end{bmatrix};$$

А — квадратная матрица,

где $r_1(k)$ — наблюдаемая оценка параметра a(k); V(k) — белый шум, характеризующий ошибки наблюдения оценок параметра a(k); остальные обозначения те же, что и в уравнениях (2) — (3).

В нашем случае $r_1(k)$ — представляет собой рассчитанное зна-

чение коэффициента автокорреляции при единичном сдвиге.

Задача (4)—(5) является нелинейной и требует применения нелинейного оптимального оценивания. Однако, как показано в работе [7], для стационарного линейного процесса, уравнения которого имеют тот же вид, что и уравнения (4)—(5), может быть

найдена состоятельная оценка $\widehat{\mathbf{A}}_n$ матрицы \mathbf{A}_n такая, что линейный

оптимальный фильтр, построенный на основе этих $\hat{\mathbf{A}}_n$, дает оценку состояния, по вероятности сходящуюся к оценке, даваемой истинным фильтром. Такая же оценка будет состоятельной и в нелинейной задаче (4)—(5) и линейный фильтр, построенный на этих оценках будет правильно оценивать параметры и состояние. В рассматриваемом нами случае оценка матрицы \mathbf{A} имеет вид:

$$\hat{\mathbf{A}}_{n_k} = \begin{pmatrix} \frac{r_2(k)}{r_1(k)} & 0 \\ 0 & 1 \end{pmatrix}, \tag{6}$$

где $r_1(k)$ и $r_2(k)$ — коэффициенты корреляции исходного ряда для сдвигов равных единице и двум соответственно. Индекс n_k указывает на то, что оценка рассчитывается на k-м шаге по

n предыдущим наблюдениям.

Не умаляя общности излагаемой методики, для простоты будем считать, что ошибками наблюдения и осреднения можно пренебречь. В этом случае дискретный алгоритм одношагового предсказания аномалий значений среднемесячных ТПО, реализуемый на освове оптимального фильтра [1] для системы (4)—(5), имеет вид:

$$\hat{\mathbf{x}}(k+1|k) = \hat{\mathbf{A}}_{n_k} \hat{\mathbf{x}}(k|k-1) + \mathbf{K}(k+1|k) \times \\ \times [\mathbf{y}(k) - \mathbf{x}(k|k-1)]; \tag{7}$$

$$K(k+1|k) = \hat{A}_{n_k} P(k|k-1)[P(k|k-1)+V(k)];$$
 (8)

$$\mathbf{P}(k+1|k) = \hat{\mathbf{A}}_{n_k} \mathbf{P}(k|k-1) \hat{\mathbf{A}}_{n_k}^T + \mathbf{Q}(k) - \hat{\mathbf{A}}_{n_k} \mathbf{P}(k|k-1) \times \\
\times [\mathbf{P}(k|k-1) + \mathbf{R}(k)]^{-1} \mathbf{P}(k|k-1) \hat{\mathbf{A}}_{n_k}^T.$$
(9)

Здесь $\mathbf{x}^T(k) = (\mathbf{x}(k), a(k)); \mathbf{P}(k+1|k)$ — ковариационная матрица ошибок предсказания;

$$Q(k) = cov[W(k)]; R(k) = cov[V(k)].$$

Алгоритм (7)—(9) реализуется при начальных условиях:

$$\widehat{\mathbf{x}}(1|0) = \widehat{\mathbf{A}}_{n_0} \ \overline{\mathbf{x}}(0); \tag{10}$$

$$\mathbf{P}(1|0) = \hat{\mathbf{A}}_{n_0} \mathbf{P}^*(0|0) \hat{\mathbf{A}}_{n_0}^T + \mathbf{Q}(0), \tag{11}$$

где $\bar{\mathbf{x}}(0)$ и $\mathbf{P}^*(0|0)$ — некоторые априорные оценки среднего значения вектора параметров и состояния и его ковариационной матрицы. Если всякая априорная информация отсутствует, то можно положить $\bar{\mathbf{x}}(0)$ равным нулевому вектору, а $\mathbf{P}^*(0|0)$ принять равной $b\mathbf{I}$, где b положительное целое число.

Ковариационные матрицы $\mathbf{Q}(k)$ и $\mathbf{R}(k)$, так же как и начальные условия, могут быть заданы априори или, при отсутствии априорной информации о шумах, могут оцениваться в процессе выполнения рекуррентных вычислений по формулам (7)—(9). Например, величину V(k) входящую в уравнение (5) и определяющую значения $\mathbf{R}(k)$, можно рассчитывать на каждом k-м шаге как среднюю квадратическую ошибку оценивания $r_1(k)$ по k членам исходного ряда.

Возможности изложенной выше методики построения ДС моделей гидрометеорологических процессов продемонстрируем путем сравнения результатов одношаговых прогнозов аномалий среднемесячных значений ТПО, полученных на основе адаптивной ДС модели, использующей алгоритм (7)—(9), и модели с постоянными коэффициентами вида (1).

Исходным материалом послужили ряды среднемесячных аномалий $T\Pi O$ по данным судна погоды M, расположенного в Норвежском море.

Для идентификации параметров модели вида (1) был выбран пятилетний ряд аномалий ТПО с 1953 г. по 1957 г. Таким образом, обучающая выборка для этой модели ряда насчитывала 60 членов. Модель вида (1) и ДС модель были использованы для одношагового прогноза в течение десятилетнего периода с 1953 по 1962 гг. Заметим, что обучающая выборка требуется лишь для модели с постоянными коэффициентами. Что же касается адаптивной ДС модели, то она работает в реальном масштабе времени и все ее прогнозы, начиная с момента установления стационарного состояния оптимального фильтра, можно рассматривать как независимые.

Рассчитанное по пятилетнему ряду значение $r_1(k)$ равно 0,50. Эта величина была взята в качестве оценки a_0 в модели (1).

Начальные значения для адаптивной модели прогноза выбирались в достаточной степени произвольно. При этом рассматривались следующие варианты задания начальных условий:

1)
$$\hat{\mathbf{x}}(1|0) = 0$$
, $\mathbf{P}(1|0) = \mathbf{I}$;
2) $\hat{\mathbf{x}}(1|0) = \begin{pmatrix} 0 \\ 0.5 \end{pmatrix}$, $\mathbf{P}(1|0) = 3.0 \mathbf{I}$.

Проверка адекватности рассматриваемых моделей и оценка и прогностических возможностей проводилась соответственно по ме тоду анализа остатков [3] и по величине дисперсии ошибки одно

шагового предсказания.

Для модели с постоянными коэффициентами и адаптивной модели дисперсии ошибок одношагового предсказания оказалися приблизительно равными (с точностью до третьего знака послезапятой) и составили величину 0,16 град². Однако проверка адекватности по методу остатков показала, что модель с постоянными коэффициентами является неадекватной по критерию равенства нулю среднего значения ряда остатков. Величина крите

рия $\eta = \sqrt{\frac{\hat{w}(t)}{\hat{w}(t)}}$ для модели вида (1) оказалась равной 1,821 при пороговом значении, соответствующем 10%-ному уровнк

значимости $\eta_0 = 1,658$.

Следовательно, с точки зрения одношагового прогноза модель вида (1), идентифицированная по пятилетнему ряду, по своим прогностическим возможностям сравнима с адаптивной моделью. но с точки зрения синтезирования данных, ее следует признать неадекватной. При этом следует учесть, что при оценке качества предсказания (прогноза) не учитывался процесс выхода оптимального фильтра на стационарный режим. Промежуток времени от начала рекуррентных вычислений до выхода фильтра на стационарный режим составил 1 год. В течение этого времени шла адаптация модели и ошибки прогноза были заведомо велики. Поэтому строго говоря, этот период должен быть исключен из рассмотрения при сравнении с моделью с постоянными коэффициентами. Если это сделать и сравнить дисперсию предсказания (прогноза) двух видов моделей, то у адаптивной модели эта величина оказывается меньше. Более того, в условиях стационарности исследуемого процесса оценка r_1 параметра a(k) по двадцатилетнему ряду (за период с 1953 по 1972 гг.) дает величину $r_1 = 0.67$, откуда следует, что ошибка оценивания a_0 по пятилетнему ряду достаточно велика. Если принять значение $r_1 = 0.67$ за точную оценку a_0 , то абсолютная ошибка оценивания по пятилетнему ряду составит величину — 0,17. Адаптивная модель дает оценку a(k) = 0.70 уже на двенадцатом шаге по времени. В этом случае абсолютная ошибка оценивания параметра a_0 равна 0,03, т. е. она в 6 раз меньше.

Приведенный пример наглядно иллюстрирует преимущества изложенной выше методики построения ДС моделей, в условиях ограниченной или вообще отсутствующей априорной информации об исследуемом процессе.

В заключение еще раз подчеркнем, что задача совместного оценивания параметров и состояния (4)—(5) существенно нелинейна и ее нельзя решать последовательно сначала определяя неизвестные параметры, а затем оценивая состояние, как это

делано в работе [2]. Автор этой работы сначала предлагает помощью процедуры оптимальной линейной фильтрации опре-(елять параметры уравнения состояния, пользуясь данными наілюдений, а затем подставив найденные значения параметров уравнение состояния, оценивать состояние. Учитывая нелинейюсть задачи совместного оценивания параметров и состояния, акой подход принципиально неверен.

Отметим, что изложенная в работе методика не только позвоіяет строить эффективные прогностические ДС модели в условиях отсутствующей или ограниченной априорной информации, ю и может быть использована в задачах климатологической обработки, например для заполнения пропусков в климатических рядах. В этом случае процедуры оптимальной экстраполяции или ьильтрации должны быть заменены процедурой оптимальной инерполяции.

ЛИТЕРАТУРА

1. Аоки М. Оптимизация стохастических систем. — М.: Наука, 1971. —

124 c. 2. Белоцерковский А. В. Прогноз метеорологической ситуации на сороткие временные интервалы с использованием адаптивных стохастических иоделей.— Межвузовский сборник, изд. ЛПИ, 1983, вып. 81, с. 145—153. (ЛГМИ).

3. Бокс Дж., Дженкинс Г. Анализ временных рядов. Прогноз и уп-

равление. — М.: Мир, 1974, вып. 1. — 406 с. 4. Груза Г. В., Рейтенбах Р. Г. Статистика и анализ гидрометеорологических данных. — Л.: Гидрометеоиздат, 1982. — 216 с. 5. Заде Л., Дезоер Ч. Теория линейных систем. — М.: Наука, 1970. —

6. Кондратьев К. Я. Температура поверхности океана как климатообразующий фактор. Обзорная информация. — Обнинск: 1981, вып. 1. — 42 с. 7. Anderson W. N. et al. Consistent Estimates of the Parametrs of a Linear System, Ann. Math., Statistic., 1969, vol. 40, p. 2064-2075.

УДК 551.551

А. С. ГАВРИЛОВ, Ю. С. ПЕТРОВ (ЛГМИ)

ОСОБЕННОСТИ КЛИМАТИЧЕСКОГО РЕЖИМА ПАРАМЕТРА УСТОЙЧИВОСТИ ПРИВОДНОГО СЛОЯ АТМОСФЕРЫ В СЕВЕРНОЙ АТЛАНТИКЕ

В последние годы заметно повысился интерес к теоретическому и экспериментальному исследованию атмосферного пограничного слоя (АПС) над океаном. Это связано как с возрастанием роли океана в хозяйственной деятельности, так и с необходимостью разработки схем параметризации АПС в моделях общей цирку ляции атмосферы и среднесрочного численного прогноза погоді в которых, в силу их глобального характера, точность воспроизведения атмосферы над океаном во многом влияет на успешност прогноза [6]. Для решения последней задачи важно располагат климатическими оценками основных параметров АПС. Наиболе важным из таких параметров, определяющих в значительно степени тот или иной тип строения пограничного слоя, являетс так называемый линейный масштаб в теории подобия Монина – Обухова для приводного слоя:

$$L = -u_*^3 / (\kappa \beta H_v), \qquad (1)$$

где u_* — динамическая скорость; $\beta = g/T$ — параметр плавучести $H_v = H_0 \cdot (1 + 0.07/\text{Bo})$ — турбулентный поток виртуальной тем пературы; $H_0 = \overline{w'} \cdot \overline{\theta'}$ — аналогичный поток потенциальной темпе ратуры;

 $Bo = P_0/LE_0$ — число Боуэна: отношение турбулентных пото

ков явного $(P_0 = \rho c_p H_0)$ и скрытого (LE_0) тепла.

 $E_0 = \rho \overline{w'q'}$ — поток водяного пара, а L' удельная теплот

парообразования.

С помощью масштаба L может быть рассчитан параметр устой чивости приводного слоя на некоторой высоте z_a : $\zeta_a = z_a/L$ а также один из обычно используемых параметров устойчивост пограничного слоя $\mu = L_1/L$, где $L_1 = u_*/\kappa \lambda$ — масштаб высоте экмановского пограничного слоя (λ — параметр Кориолиса), или D = H/L, где H — фактическая высота АПС.

Для изучения климатического режима параметров устойчи вости приводного и пограничного слоев в Северной Атлантик могут быть использованы архивы судовой гидрометеорологической информации и данные аэрологического зондирования в этом регионе. При этом по данным измерений скорости ветра U_a , температуры θ_a , влажности q_a воздуха в приводном слое и температурь верхнего слоя океана T_w с помощью той или иной теоретической модели приводного слоя рассчитываются масштабы L_1 и L, а пс аэрологического зондирования — высота пограничного слоя H, определяемая, например, как уровень максимальных пс абсолютной величине значений градиентов температуры или влажности. При таком анализе первостепенное значение имеет правильная оценка характера устойчивости в приводном слое (знака H_v и L), поскольку, как известно, на значительной части акватории Мирового океана и, в частности, в Северной Атлантике. величины H_v достаточно малы, а стратификация в приводном слое является, как правило, близкой к нейтральной. Таким образом, здесь необходимо использование достаточно точной модели приводного слоя, в которой, помимо всего прочего, учитывается и такой тонкий эффект, как наличие скачка температуры в поверхностной пленке воды.

В основу используемой далее модели приводного слоя залоены теоретические значения универсальных функций теории пообия Монина — Обухова, полученные с помощью модели примного слоя атмосферы [1]. Для расчета уровня шероховатости одной поверхности используется выражение

$$z_u = m \; \frac{u_*^2}{g} + m_G \; \frac{v}{u_*} \; , \tag{2}$$

остаточно хорошо аппроксимирующее значения этой величины ак в случае гладко-вязкого обтекания $(u_* \to 0)$, так и интенсивого волнения. Уровни шероховатости для температуры z_T и тажности z_a вычисляются с помощью соотношений

$$z_T = z_u f_T(Rr), \quad z_q = z_u f_q(Rr),$$
 (3)

це $\mathrm{Rr}=u_*z_u/v$ — число Рейнольдса шероховатости, а f_T , f_q — ниверсальные функции этого параметра, определяемые с поршью лабораторных экспериментов, в качестве аппроксимаций из которых использовались формулы из работ [2] (для f_T) и [2] (для f_q).

Для расчета поверхностного скачка температуры $\delta T = T_w - T_s$ пользуется уравнение теплового баланса подстилающей поверхности

$$B_s = P_0 + L' E_0 + F, (4)$$

е F — эффективное излучение водной поверхности, вычисляеве с помощью известной формулы Ангстрема [7], а

$$B_s = -c_w \chi_w \rho_w \frac{\partial T}{\partial z} \bigg|_{z=0}$$

молекулярный поток тепла в воду (c_w — теплоемкость воды, — температуропроводность, ρ_w — плотность воды). Следуя [7], едставим зависимость средней температуры воды от глубины z) следующим образом:

$$T = T_s + (T_w - T_s) \left(1 - e^{-\frac{z}{\delta_w}} \right), \tag{5}$$

е $\delta_w = \gamma \cdot v_w/u_{\star w}$ — характерное значение глубины, на которой чинает действовать турбулентный механизм переноса тепла; — кинематическая вязкость воды, а $u_{\star w}$ — динамическая скость в воде — определяется из условия склейки турбулентных наяжений по обе стороны от поверхности раздела: $u_{\star w} = (\rho_a/\rho_w)^{\kappa} u_{\star}$. Константа γ вычислялась нами с помощью данта одновременных измерений δ_w и u_{\star} , приведенных в [3], и окалась равной приблизительно 3,8 с относительной погрешностью

около 20%. Таким образом, используя соотношения (3)—(можно в итоге записать:

$$T_s = T_w - \gamma \operatorname{Pw} (P_0 + L' E_0 + F) / (c_w \sqrt{\rho_w \rho_a} u_*),$$

где $Pw = v_w/\chi_w$ — число Прандтля для воды.

Выражения (2), (3) и (6) дополняют приведенную в [4] стему уравнений для восстановления структуры приводного сл по данным стандартных судовых гидрометеорологических изгрений, которая и используется в дальнейшем для расчета u_* , $L'E_0$ и L. При этом влажность на уровне z предполагается рной насыщающей при температуре T_s с учетом солености вод

Экспериментальная проверка данной модели производила путем сравнения рассчитанных и измеренных значений динами ской скорости u_* , турбулентного потока тепла P_0 и затрат теп на испарение $L'E_0$. Для этой цели привлекались данные структ ных измерений, полученные в известных экспериментальных путраммах последних лет [5, 8—10]. Анализ результатов сравнен включающий 103 серии измерений u_* , показал отсутствие сисматической погрешности и среднеквадратическую ошибку око 0,07 м/с, т. е. приблизительно 15%. Выборка измеренных знаний P_0 насчитывала 77 серий измерений. Здесь также сравнет показало отсутствие систематической погрешности при сред квадратическом отклонении порядка 20 Вт/м² (около 20%). Аглогичные результаты дает сравнение рассчитанных и измерени значений $L'E_0$, выполненное по выборке в 20 серий измерений данным эксперимента БОМЭКС [10].

Достаточно хорошее согласие с экспериментом основных паметров приводного слоя u_* , P_0 и $L'E_0$, формирующих масшталины L в теории подобия Монина — Обухова (1), позволяет деяться, что расчет этой величины по данным стандартных су, вых гидрометеорологических измерений окажется также вполточным.

Для получения климатических оценок параметра устойчивос приводного слоя ζ_a использовался архив данных стандартных довых гидрометеоизмерений, насчитывающий в общей сложнос около 3,5 млн. измерений на кораблях погоды в Северной Атл. тике, а также на научно-исследовательских и коммерческих дах, за период с 1949 г. по 1980 г. Проверка комплектности эт данных по наличию полного набора измеряемых параметров предного слоя: температуры и влажности воздуха, скорости вет и температуры верхнего слоя воды, показала, что измерения вланости воздуха присутствуют в данных кораблей погоды приблацтельно в 31% случаев (всего около 187 тысяч измерени а для научно-исследовательских и коммерческих судов — ли в 4% (всего около 110 тысяч). Таким образом, в расчетах исполовалось в общей сложности около 300 тысяч стандартных судых измерений, на основе которых был создан специальный ба

ных основных параметров приводного слоя, включающий знагия u_* , P_0 , $L'E_0$, L, а также исходные данные и некоторые дру-

; параметры.

Параметр устойчивости рассчитывался и анализировался для вня $z_a = 10$ м, что нисколько не ограничивает общности исслезания, поскольку для любой другой высоты он может быть поцен путем простого пересчета. Статистический анализ этой веины включал расчет среднемесячных значений, дисперсии, імметрии и эксцесса, а также эмпирической плотности распрегения за каждый месяц и по сезонам. Как оказалось, плотность пределения параметра устойчивости $P(\zeta_{10})$ во всех широтных тах обладает одной особенностью, отличающей ее поведение от ілогичных функций для других параметров приводного слоя: нь большими положительными значениями эксцесса (от нельких единиц до нескольких десятков). Примеры таких расделений для судов погоды А, С и Е, расположенных в центіьной части Северной Атлантики в области, примыкающей иеридиану 40° з. д. и в диапазоне широт 35-62°с с. ш., предвлены на рис. 1. Как следует из этих примеров, наиболее веитные значения параметра устойчивости сосредоточены в доточно узком интервале — $0.2 < \zeta_{10} < 0.1$, причем мода распредегий приходится на значения $\zeta_{10} \approx -0.05 \div -0.1$ и незначиьно смещается вправо в летний период. Все кривые распрегения имеют выраженную левостороннюю (отрицательную) імметрию, что является, по-видимому, следствием существоваі редких, но интенсивных вторжений холодных воздушных с, сопровождающихся развитием мощной конвективной неустойзостью в атмосферном пограничном слое.

Проведенный анализ позволил установить пространственное пределение такого важного в практическом отношении парара, как вероятность формирования устойчивого АПС $P_{\rm ST} = P(\zeta_a > 0)$. Климатические карты этого параметра для четырех онов года приведены на рис. 2. Эти карты демонстрируют цетное повышение вероятности формирования устойчивого атферного пограничного слоя в весенне-летний период. При этом бенно выделяется область с центром в районе судна погоды C с. ш., 35° з. д.), где значения $P_{\rm ST}$ от зимы к лету возрастают 30 до 55%. Причиной этого являются, вероятно, характерные весенне-летнего периода вторжения на акваторию Северной гантики относительно более теплых воздушных масс с контитов.

В заключение отметим, что установленные закономерности пенчивости параметра устойчивости приводного слоя в Север- Атлантике могут оказаться полезными для оценки диапазо- изменения таких важных характеристик атмосферного пограного слоя, как коэффициенты сопротивления, тепло- и влаго- пена атмосферы и океана, а также геострофического коэффи-

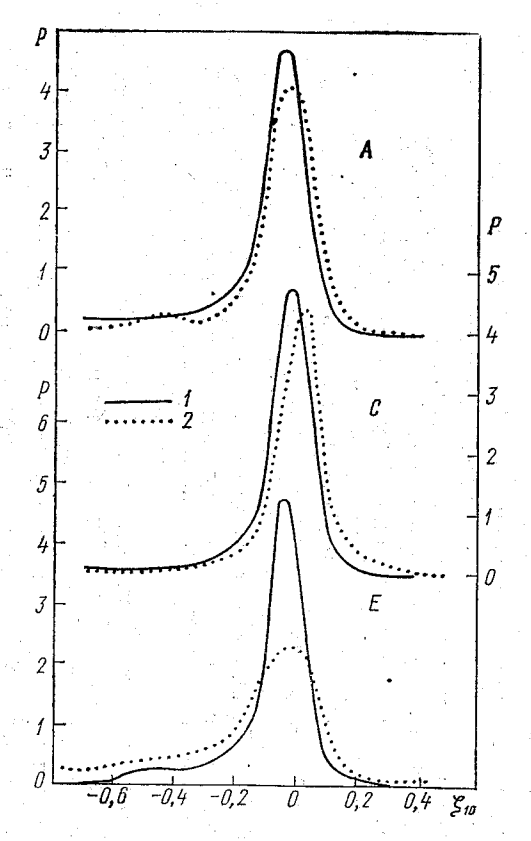


Рис. 1. Эмпирические плотности распределения параметра устойчивости приводного слоя $c_{10}=z_{10}/L$ ($z_{10}=10$ м) по данным

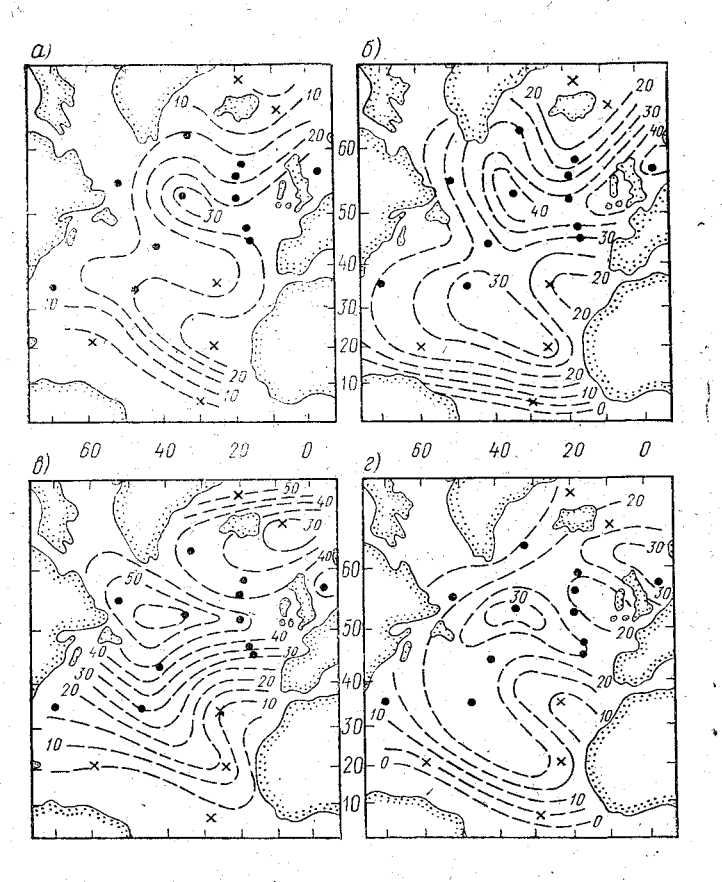


Рис. 2. Климатические карты вероятности существования устойчивого пограничного слоя атмосферы $P_{\rm st}=-P(c>0)$ (пифры у изолиний значения $P_{\rm st}$ в процен-

нтра трения, угла поворота ветра и целого ряда других важдля практики параметров нижней части тропосферы над HOM.

ЛИТЕРАТУРА

- 1. Гаврилов А. С. К вопросу о строении приземного слоя атмосферы. зузовский сборник научн. тр. «Физика и исследование атмосферы». Л., вып. 62, с. 3—14.
- 2. Қазақов А. Л. Об одном методе оценки некоторых характеристик годействия атмосферы и океана по данным судовых наблюдений. — Труды ибНИИ Госкомгидромета, М., 1984, вып. 63, с. 28—42.

 Панин Г. Н. Тепло- и массообмен между водоемом и атмосферой ественных условиях. — М.: Наука, 1985. — 205 с.

 1. Гаврилов А. С., Петров Ю. С. Оценка точности определения деятных полоков по стандартным придометеородогическим измерениям

er jag kunder er skalt og skalt og forske skalt for skalt og forske skalt og skalt og skalt og skalt og skalt Skalt er skalt og sk

лентных потоков по стандартным гидрометеорологическим измерениям торем. — Метеорология и гидрология, 1981, № 4, с. 52—59.

торем. — Метеорология и гидрология, 1981, № 4, с. 52—59.

5. Экспериментальное исследование турбулентных характеристик приводслоя атмосферы / В. В. Галушко и др. — В кн.: Тропэкс-74. Л., Гидронздат, 1976, т. 1, с. 363—382.

5. Report of the WMO/CAS expert meeting on atmospheric boundary layer elerization over the oceans for long range forecasting and climate models ling, U. K., 5—9 December 1983), WCP-74, WMO, 1984, 80 р.

7. Timothy Liu W., Katsaros K. B., Buzinger J. A. Bulk paracation of the air-sea exchages of heat and water vapour including the mor constraints at the interface. J. Atm. Sci., 1979, N 9, p. 1722—1735.

3. Smith S. A., Banke E. G. Variation of sea surface drag coefficients wind speed. — Qurt. J. Roy. Meteor. Soc., 1975, vol. 101, N 429, p. 665—673.

3. Wucknitz J. Determination of turbulent fluxes of momentum and le heat from fluctuation measurements and the structure of wind field le heat from fluctuation measurements and the structure of wind field waves above the tropical Atlantic Luring ATEX — «Meteor» Forshungsergeb-

Reine B, 1976, N 11, r. 25—50.

). Measurements of the turbulent fluxes of momentum, moisture and senheat over the ocean. Pond S,, at all.—J. Atm. Sci., 1971, vol. 28, N 6,

--917.

551.465

Е. М. НОВИКОВА (ЛГМИ)

ЭЦЕНКА МЕРИДИОНАЛЬНОГО ПЕРЕНОСА ТЕПЛА и крупномасштабная геострофическая ЦИРКУЛЯЦИЯ В СЕВЕРНОЙ АТЛАНТИКЕ

еридиональный перенос тепла в океане является основным низмом, перераспределяющим тепловую энергию в океане у районами с ее избытком, где она поглощается из атмол, и районами с ее недостатком, где она отдается в атмосферу. Межширотный обмен теплом определяется структур крупномасштабной циркуляции в океане. Из-за большой разностемператур поверхностных и глубинных вод, влияние поверхно ных течений, несущих теплые воды на север, и глубинных тений, несущих холодные воды на юг, оказывается важным д формирования термического режима океана. Величина мерид нального переноса тепла и интенсивность теплообмена меж океаном и атмосферой тесно связана с интенсивностью и стр турой крупномасштабной меридиональной циркуляции.

Крупномасштабная циркуляция достаточно хорошо опи вается геострофическим приближением. Для корректной оцероли крупномасштабной океанической циркуляции в перен тепла необходим расчет абсолютных скоростей геострофичественных скоростей геострофичественных скоростей и предеставления в перен тепла необходим расчет абсолютных скоростей геострофичественных скоростей и предеставления в перен тепла необходим расчет абсолютных скоростей геострофичественных в перен тепла необходим расчет в предеставления в перен тепла необходим расчет в предеставления в перен тепла необходим расчет в предеставления в перен тепла необходим расчет в перен тепла необходим не

течений.

В последнее время был предложен ряд квазидинамичес методов расчета абсолютных скоростей геострофических течен использующих непосредственно данные гидрологических наб дений. К ним относится метод вета-спирали [7,8]. В настоят работе было использовано уравнение сохранения потенциальных ря на вета-спирали с учетом сжимаемости морской воды

$$u(h_{xz}+h_xPR)+v(h_{yz}-\frac{\beta}{f}\left(1+k\frac{\rho}{\rho_z}\right)+h_yPR)=0,$$

где $PR = k (\rho \rho_z - \rho_z^2) / (\rho_z^2 + k \rho \rho_z)$; h — высота изопикнических верхностей, определяемая из наблюдений; c — скорость зе в морской воде; f — сила Кориолиса; β — изменение силы Колиса с широтой. В качестве консервативной характеристики пользовались плотность in situ. Составляющие абсолютных ростей геострофических течений представлены в виде: $u = u' - v = v' + v_0$, где u_0 и v_0 — абсолютные скорости на отсчетном уро которые определяются из (1); u', v' — геострофические скоротносительно отсчетного уровня, определяемые по данным о пности.

Если расписать (1) для n горизонтов через конечные разно то получим переопределенную систему n уравнений при двух известных u_0 и v_0 :

 $Au_0+Bv_0=C,$

где A, B, C - n-мерные вектора.

Расчеты абсолютных скоростей геострофических течений с выполнены для Северной Атлантики на сетке с координат кратными 5°. За отсчетную поверхность принимался гори 2000 м. В качестве исходных полей брались значения плотн in situ на сетке с координатами, кратным 2°, 5. Так как в ных о плотности присутствуют шумы самого различного пу хождения: некорректность осреднения, ошибки наблюдений, ревой шум, то уравнения (2) не выполняются точно (система совместна).

Для корректной оценки меридиональных переносов тепла неходимо иметь циркуляцию, которая давала бы сбалансироване расходы воды через широтные разрезы. Так как суммарный сход воды на северной границе Атлантики незначителен 1·106 м³·с-1 [1] (лежит в пределах точности расчета), то, исдя из уравнения неразрывности, можно считать, что суммарий расход через широтные разрезы, ограниченные берегами, ремится к нулю. При решении (2) методом наименьших квадтов [3] не удалось получить удовлетворительных расходов на протных разрезах (табл. 1). Невязки очень велики. При измении диапазона горизонтов, использованного в расчетах, невязки нялись по знаку и сравнимы с величинами расходов в потоках, правленных на север или на юг. Метод наименьших квадратов 1НК) не дает возможность на коротких рядах получить корктных оценок.

По аналогии с процедурой фильтрации шумов в коротких дах [2] была построена модель фильтрации шумов в динамиской модели (1) для системы несовместных уравнений (2), кофициенты которой несут информацию о динамических свойвах системы. Число параметров модели известно (двухпараметческая: u_0 , v_0).

Нормированная по правой части система уравнений (2) релась МНК. Уравнения упорядочивались по величинам невяк. Из упорядоченной системы строилась корреляционная матца $R(p_1, 2p)$:

$$R \begin{vmatrix} u_0 \\ \vdots \\ v_0 \\ \vdots \\ v_0 \end{vmatrix} = CR, \tag{3}$$

е
$$R = \begin{vmatrix} R_1 R_2 \\ R_3 R_4 \end{vmatrix}$$
; $p_1 = 2 t_2 - n + 2$; $p = q - t_1 + 1$, q — начальный сдвиг $t = \frac{n}{2}$, t_1 — число уравнений в системе (2), t_1 — минимальный

виг $(t_1 \geqslant$ числу параметров модели), t_2 — максимальный сдвиг $t_2 = n - t_3 - 1$, $t_3 \geqslant$ числу параметров модели). R_1 , R_2 равны проведению матриц вида F_1 , F_2 ; R_3 , R_4 — матриц вида F_3 , F_4 . Мат-

Величины суммарных расходов (10^{-6} м $^3 \cdot c^{-1}$) через широтные разрезы, полученные при решении системы (2) методом наименьших квадратов

	Потоки воды	Широта (°с. ш.)						
Диапазон горизонтов		30	35	40	45	50	55	
	Φ_1	32,4	26,8	13,9	17,2	18,2	7,8	
300—2000	Φ_{2}	—37, 5	-47,1	-35,4	—37 ,2	-33,0	-33,4	
	Φ_3	- 5,1	-20,3	-21,5	-20,0	-14,8	25,6	
	Φ_{1}	29,1	20,1	23,4	33,3	19,2/	13,4	
400—2000	Φ_2	—37,5	56,2	19,1	-27,4	-28,6	—18,5	
	Φ_3	- 8,4	-36,1	4.3	5,9	- 9,4	- 5,1	
	Φ_1	24,2	20,6	23,9	29,5	21,4	18,4	
600—2000	Φ_2	-38,3	3 8,0	-20,1	-12,5	-15,7	— 8, 2	
	Φ_8	—14,1	-17,3	3,8	17,0	5,7	8,2	

 $[\]Pi$ римечание: Φ_1 — суммарный поток, направленный на север, Φ_2 — суммарный поток, направленный на юг, Φ_3 = Φ_1

ицы \tilde{F}_1 , \tilde{F}_2 , \tilde{F}_3 , \tilde{F}_4 , сконструпрованы из системы уравнений (2) $p_2=t_2-q+1$, $p_3=2$ $n-t_2-q$, $p_4=n-q+1$):

$$F_{1} = \begin{bmatrix} x_{1} & \dots & x_{n} \\ \vdots & \ddots & \ddots \\ x_{p_{2}} & \dots & x_{n} & 0 & \dots & 0 \\ \vdots & \vdots & \ddots & \vdots \\ \vdots & \ddots & \ddots & \ddots \\ \vdots & \ddots & \ddots & \ddots \\ x_{1} & \ddots & \ddots & \ddots \\ \vdots & \ddots & \ddots & \ddots & \ddots \\ x_{q} & \dots & x_{n-\ell_{1}} & \vdots & \ddots & \ddots \\ 0 & \dots & \dots & \dots & \dots & \dots \\ x_{1} & \dots & \dots & \dots & \dots & \dots \\ x_{1} & \dots & \dots & \dots & \dots & \dots \\ x_{1} & \dots & \dots & \dots & \dots & \dots \\ \vdots & \dots & \dots & \dots & \dots & \dots \\ x_{1} & \dots & \dots & \dots & \dots & \dots \\ \vdots & \dots & \dots & \dots & \dots & \dots \\ x_{1} & \dots & \dots & \dots & \dots & \dots \\ \vdots & \dots & \dots & \dots & \dots & \dots \\ \vdots & \dots & \dots & \dots & \dots & \dots \\ \vdots & \dots & \dots & \dots & \dots & \dots \\ \vdots & \dots & \dots & \dots & \dots & \dots \\ \vdots & \dots & \dots & \dots & \dots & \dots \\ \vdots & \dots & \dots & \dots & \dots & \dots \\ \vdots & \dots & \dots & \dots & \dots & \dots \\ \vdots & \dots & \dots & \dots & \dots & \dots \\ \vdots & \dots & \dots & \dots & \dots & \dots \\ \vdots & \dots & \dots & \dots \\ \vdots & \dots & \dots & \dots & \dots \\ \vdots & \dots & \dots & \dots & \dots \\ \vdots & \dots & \dots & \dots & \dots \\ \vdots & \dots & \dots & \dots & \dots \\ \vdots & \dots & \dots & \dots & \dots \\ \vdots & \dots & \dots & \dots & \dots \\ \vdots & \dots & \dots & \dots & \dots \\ \vdots & \dots & \dots & \dots & \dots \\ \vdots & \dots &$$

$$F_{3} = \begin{bmatrix} x_{1} & \dots & x_{n} \\ 0 & \dots & \vdots \\ \vdots & \ddots & \vdots \\ 0 & \dots & 0 & x_{1} & \dots & x_{p_{s}} \end{bmatrix}, \qquad (4, 6)$$

$$F_{4} = \begin{bmatrix} x_{p_{4}} & \dots & x_{t_{1}+1} \\ \vdots & \vdots & \vdots \\ x_{n} & \vdots & \vdots \\ 0 & 0 & x_{n} \cdot x_{n-t_{1}} \end{bmatrix}$$
 (4, 2)

Элементы R и CR нормированы по числу ненулевых слагаемых в элементах произведений $F_1\,F_2$ и $F_3\,F_4$.

Элементами матриц F_1 , F_3 является значение левой части k-го уравнения упорядоченной системы (2) при расчете МНК. Матрицы F_2 , F_4 составлены из коэффициентов a_k при расчете подматриц R_1 , R_3 и b_k — при расчете подматриц R_2 , R_4 . Из правых (2) частей сформирован вектор-столбец $CR = \begin{vmatrix} CR_1 \\ CR_1 \end{vmatrix}$, где

$$CR_1 = F_1 F_2 I$$
,

а матрицы F_1 и F_2 сформированы из коэффициентов c_k системы (2) по типу $(4,a,4,\delta)$, I— единичный вектор. С помощью описанной процедуры удается получить расширенную корреляционную матрицу

$$\widetilde{R} = |R:CR|, \tag{5}$$

которую можно разложить по ее сингулярным значениям [5]:

$$\widetilde{R} = G \Sigma \widetilde{G}^T, \qquad (6)$$

где Σ — матрица $(p_1, 2p+1)$ с элементами, за исключением главной диагонали, равными нулю. Неотрицательные диагональные элементы, называемые сингулярными значениями матрицы, могут быть упорядочены по убывающим значениям. $G(p_1, p_1)$ и $\widetilde{G}(2p+1, 2p+1)$ являются соответственно собственными векторами матриц RR^T и R^TR . Диагональные элементы матрицы Σ — положительные квадратные корни из собственных значений матриц \widetilde{R} \widetilde{R}^T и \widetilde{R}^T \widetilde{R} .

Так как известно, что наша модель является двухпараметрической, то приравняем нулю сингулярные значения, кроме двух наибольших, и получим усеченную матрицу:

$$\widetilde{R} = G \Sigma_2 \widetilde{G}^T. \tag{7}$$

Для расчета абсолютных скоростей течений использовался диапазон горизонтов 600—1750 м, где вихревой шум меньше, чем в вышележащих слоях, а точность расчета наклона изопикнических поверхностей выше, чем в нижележащих. Так как в относительных геострофических скоростях, рассчитанных по полю плотности, также присутствуют шумы, то была проведена дополнительная фильтрация. Запишем (1) в виде:

$$a_k u_k + b_k v_k = 0, (8)$$

где u_k , v_k — абсолютные геострофические скорости на k-ом горизонте.

Сконструируем корреляционную матрицу \hat{S} аналогично \hat{R} :

$$S = \begin{vmatrix} S_1 & S_2 \\ S_3 & S_4 \\ S_6 \end{vmatrix}, \tag{9}$$

где

$$SV=0, V=\begin{bmatrix} u_1 \\ \vdots \\ u_n \\ v_1 \\ \vdots \\ \vdots \\ v_n \end{bmatrix}.$$

Из линейного уравнения сохранения вихря можно получить, что для геострофической циркуляции интегральный расход по вертикали через сторону расчетной сетки меньше 1 свердрупа, и его можно считать в пределах точности расчета равным нулю. Это дополнительное условие внесено в матрицу S как матрица-строка $S_5(1,2p)$:

Множитель $\frac{\beta^2}{f}$ введен для соблюдения размерности.

Вычитая из каждой строки матрицу S матрицу-строку S_5 , получим матрицу \widetilde{S} . Так как наша модель двухпараметрическая, для матрицы $\widetilde{S}^T\widetilde{S}$ находим два собственных вектора M_1 , M_2 , соответствующие двум наибольшим собственным числам, и проведем фильтрацию абсолютных геострофических скоростей на стандартных горизонтах [5]:

$$\widetilde{V} = M_{1,2} M_{1,2}^T V.$$
 (12)

Использование вышеописанной процедуры фильтрации позволило получить геострофическую циркуляцию, сбалансированную (в пределах точности) по расходам на широтных разрезах (табл. 2).

Величины суммарных расходов (10⁻⁶ м⁸·с⁻¹) через широтные разрезы, полученные при решении системы (2) с применением дополнительной фильтрации

Потоки	Широты (° с. ш.)							
воды 30	35	40	45	50	55			
Φ_1	33,1	28,8	25,0	17,8	18,3	14,6		
Φ_2	30,8	-26.9	24,3	17,2	-18,8	-13,9		
$\Phi_{\mathbf{g}}$	2.3	1,9	0,7	0,6	-0.5	0,7		

Примечание: см. табл. 1.

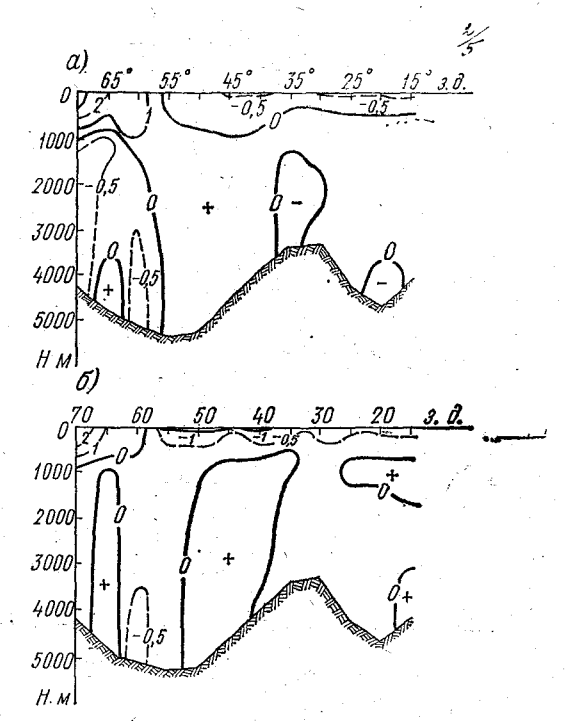


Рис. 1. Меридиональная составляющая абсолютной геострофической скорости (см \cdot с $^{-1}$) геострофического течения на разрезе 35° с. ш.:

а — рассчитанная с применением дополнительной фильтрации; б — рассчитанная МНК

Ниже приводятся результаты расчетов меридиональной составляющей абсолютной геострофической скорости на широтном разрезе по 35° с. ш., полученные с помощью дополнительной фильтрации (рис. 1, a) и МНК (рис. 1, δ). Как видно, произошла пере-

стройка структуры течений. Четко обрисовалась ячейка меридиональной циркуляции: в западной части разреза с меридиональной составляющей, направленной на север в верхних слоях и на юг—в нижних, в восточной и центральной частях—с меридиональной составляющей, направленной на юг в верхних слоях и на север—в нижних слоях. Локализовались три области с незначительными скоростями в нижних слоях.

Получение геострофической циркуляции со сбалансированными расходами на широтных разрезах позволило использовать рассчитанные абсолютные скорости геострофических течений для

оценок меридионального потока тепла:

$$Q = \int_{L_1}^{L_2} \int_{z_1}^{z_2} c_v \, \rho \Theta \, v dz dx, \tag{13}$$

где c_v — удельная теплоемкость морской воды; Θ — потенциальная температура морской воды; v — абсолютная меридиональная скорость геострофических течений; z_1 , z_2 — пределы интегрирования по глубине, L_1 , L_2 — пределы интегрирования по широте.

Была проведена оценка меридиональных потоков тепла, переносимых геострофическими течениями через широтные разрезы 30, 35, 40, 45, 50 и 55° с. ш. Северной Атлантики. На рис. 2 приводятся проинтегрированные по глубине и по широте тепла. Суммарный поток (Q_{Σ} = $=Q_++Q_-$) направлен на север с максимумом на широте 35° с. ш. (≈90·10¹³ Вт). К северу этот поток уменьшается и достигает на 55° с. ш. 30·10¹³ Вт. Суммарный поток повторяет особенности положительного потока (Q_+) , формируемого течениями, расположенными выше главного термоклина и направленными на север.

Сравнение с оценками меридионального потока, сделанными Ромичем [6] с использованием непосредственно данных гидроло-

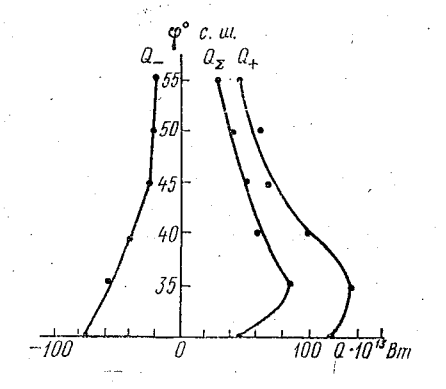


Рис. 2. Распределение суммированного по широтам меридионального потока тепла (Вт) в Северной Атлантике: Q_+ поток тепла, направленный на север, Q_- поток тепла, направленный на юг, $Q_{\Sigma} = Q_+ + Q_-$.

гических съемок, дает достаточное согласование (35° с.ш. — 89·10¹³ Вт, 50° с.ш. — 40·10¹³ Вт; Ромич: 30° с.ш. — 80·10¹³ Вт, 48° с.ш. — 49·10¹³ Вт).

В литературе имеются также оценки меридионального переноса тепла в Северной Атлантике океанической циркуляцией, основанные на расчетах теплового баланса поверхности океана

[4], где использовались данные по тепловому балансу: приведенные Альбрехтом, Будыко и Свердрупом. Максимум, по данным разных авторов, получился на широтах от 20° до 35° с. ш. и меняется в пределах от 120·10¹³ до 95·10¹³ Вт. Поток тепла уменьшается к северу и достигает на широте 55° с. ш. от 35·10¹³ до 80·10¹³ Вт, т. е. по данным разных авторов в оценке меридионального переноса наблюдается значительный разброс. Наиболее близкие к нашим расчетам результаты при расчетах по Альбрехту. Кроме того, меридиональные потоки тепла, рассчитанные по данным о тепловом балансе, включают перенос тепла и дрейфовыми течениями и поэтому должны быть выше, чем потоки, рассчитанные только по геострофическому переносу.

Положительный поток тепла (Q_+) достигает максимума $141\cdot 10^{13}$ Вт также на 35° с. ш. и понижается на севере до $50\cdot 10^{13}$ Вт. Отрицательный поток, т. е. поток связанный с течениями, направленными на юг, постепенно уменьшается по абсолютной величине от $73\cdot 10^{13}$ Вт на широте 30° до $20\cdot 10^{13}$ Вт на 45° с. ш., остается севернее почти постоянным. Он составляет 30—

60% от положительного потока.

На рис. З представлены потоки тепла на широтах в узлах расчетной сетки, суммированные по всей толщине и по слоям 0-200 м 0-1000 м и 1000 м - дно. (Потоки проинтегрированы по пятиградусной стороне расчетной сетки). В суммированном потоке и в потоках по слоям четко прослеживаются максимумы в меридиональных переносах тепла. На южных разрезах они находятся в западной части океана и перемещаются на восток при продвижении на север, уменьшаясь по амплитуде (в суммированном по глубине потоке с 50 · 1013 Вт на 35° с. ш. до 9 · 1013 Вт — на 55° с. ш.). на широтах 35—50° с. ш. видны два максимума. В областях, связанных с максимумами, переносится 70—95% общего потока тепла. Отрицательные потоки тепла в центральных и восточных районах океана мало меняются по долготе и незначительны $\approx 2-3\cdot 10^{13}\,\mathrm{Br}$ (в каждой точке расчетной сетки). Но поскольку они занимают значительную площадь, то вклад их в тепловой межширотный обмен существенен.

Перенос тепла в слое 0—200 м в зонах максимального переноса составляет 30—60% от суммированного по глубине потока

и, следовательно, не является определяющим.

В слое 0-1000 м в зонах максимального переноса поток тепла превышает суммированный по глубине поток тепла на $30-40\,\%$. Этот избыток компенсируется противоположно направленным потоком в слое 1000 м — дно (см. рис. 3,6). В восточных районах на широтах $30-45^\circ$ в слое 0-1000 м незначительные по величине потоки в основном направлены на юг, под ними в слое 1000 м — дно компенсирующие, несколько меньшие, потоки направлены на север.

Из рассмотренной выше схемы меридионального переноса тепла на широтных разрезах можно сделать вывод, что основным 78

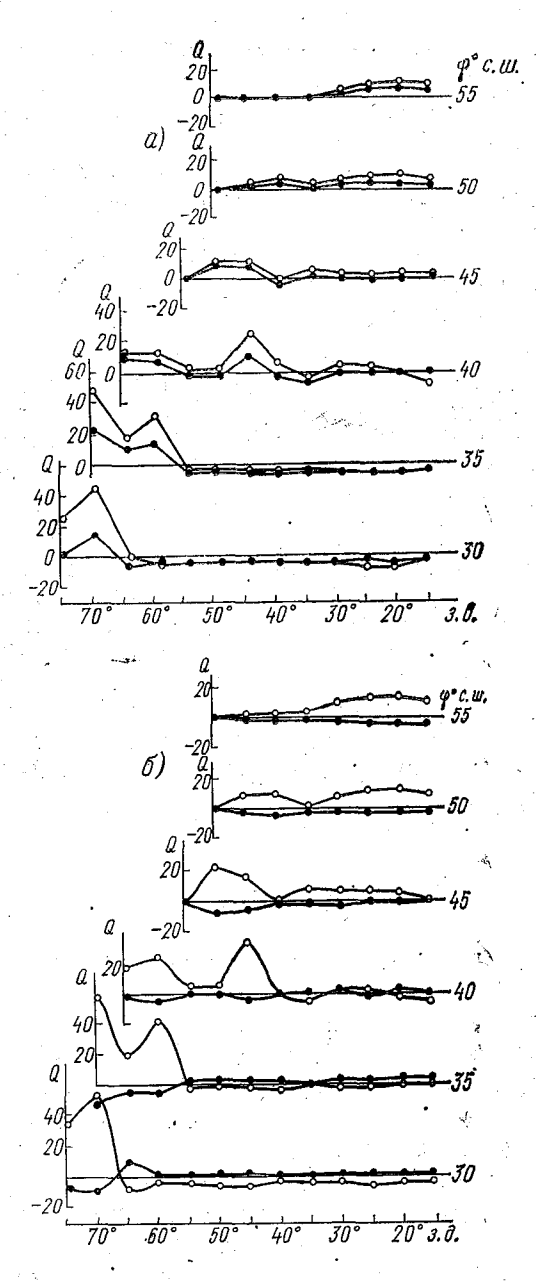


Рис. 3. Меридиональный поток тепла (10^{13} Вт) в узлах расчетной сетки (поток проинтегрированного по пятиградусной стороне расчетной сетки):

a — ○ — суммированный по глубине, — — по слою 0—200 м; δ — ○ — по слою 0—1000 м, — — по слою 1000 м — дно

фактором, определяющим меридиональный поток тепла, являются интенсивность и структура океанической циркуляции выше и ниж главного термоклина (≈ 1000 м). Схематически Северную Атлагику можно разделить на западную, северо-западную, северную область (I) и на южную, юго-восточную (II). В области I выш главного термоклина происходит основной перенос тепла к соверу, связанный с интенсивной меридиональной циркуляцие В слое 1000 м — дно, ниже термоклина, расположен компенсационный поток, противоположно направленный и составляющи 20—30% от верхнего потока.

В области II в слое 0—1000 м потоки тепла направлены н юг и незначительны. Но так как они занимают значительну площадь, то их влиянием на формирование теплового режим океана нельзя пренебрегать. В слое 1000 м— дно перенос тепл направлен на север и величины незначительны, а в центрально части пренебрежимо малы.

Дополнительная фильтрация шумов позволила рассчитат абсолютную геострофическую циркуляцию, сбалансированную п расходам на широтных разрезах. На основе сбалансированно крупномасштабной циркуляции была сделана оценка климати ческих меридиональных потоков тепла. Оценка интегрированны по широте и глубине потоков тепла близка с оценками, сделан ными для некоторых широт в [6]. Интенсивность и структур меридионального климатического переноса тепла тесно связане с интенсивностью и структурой крупномасштабной циркуляции выше и ниже термоклина.

ЛИТЕРАТУРА

- 1. Корт В. Г. Водообмен между океанами. Океанология, 1962, 4 с. 593—598.
- 2. Кэдзоу Д. Спектральное оценивание: метод переопределенной систем уравнений рациональной модели. ТИИЭР, 1982, 9, с. 256—293.
 - Худсон Д. Статистика для физиков. М.: Мир, 1970. 296 с.
- 4. Bryan K. Meosarment of meridional heat transport of ocean current J. Geoph. Res., 1962, 9, p. 3403—3414.
 - 5. Noble B. Applied linear algebra, N. Y., 1969, 523 p.
- 6. Roemmich D. Estimation of meridional heat flux on the North Atlantic by inverse methods. J. Phys. Ocean., 1980, 10, p. 1972—1983.
- 7. Schott F. and Stommel H. Betaspirals and absolute velocities in different oceans. Deep-sea. Res., 1978, 11, p. 961—1010.
- 8. Schott F. and Zantoff R. Calculation of absolute velocities from different panemeters in the western North Atlantic. J. Geoph. Res., 1979, C11 p. 6990—6994.

СЕЗОННАЯ ИЗМЕНЧИВОСТЬ ЭНТАЛЬПИИ ВОД И АДВЕКЦИИ ТЕПЛА В СЕВЕРНОЙ ЧАСТИ АТЛАНТИЧЕСКОГО ОКЕАНА

Исследованию роли океана в короткопериодных изменениях лимата, от сезона до года, в настоящее время уделяется особое нимание [3]. В соответствии с научной концепцией Программы Разрезы», основными целями данных исследований являются зучение временной изменчивости основных характеристик океана атмосферы, а также изучение связи между термическими и дизмическими аномалиями в энергоактивных зонах океана.

В этой связи важно выяснить, каким образом изменения энальпии и адвекции тепла в океане влияют на теплообмен с атмоферой. Установлено, что на атмосферные процессы синоптичекого масштаба определяющее влияние оказывает тепловая неднородность подстилающей поверхности. Как известно, в низих широтах океан аккумулирует огромное количество тепла, коорое затем переносится течениями в высокие широты. Адвекция епла течениями является одним из главных факторов, определяющих тепловое состояние вод в северных широтах. Она вноит значительный вклад в изменчивость энтальпии и во многих айонах равносильна роли тепловых изменений на поверхности сли даже более существенна.

В настоящей работе расчеты изменения энтальпии и адвекции тепла были выполнены более широко, чем в предыдущих иследованиях [2, 4]. В качестве исходных данных использовались начения температуры и солености в центрах одноградусных вадратов от экватора до 60° с. ш. в северной части Атлантичекого океана. Расчеты энтальпии вод и ее изменчивости провоцились по известным формулам

$$Q = \rho c_p \int_0^z T dz, \Delta Q = (Q_{n+1} - Q_n)/N,$$

де ρ и c_p — плотность и удельная теплоемкость морской воды; — температура, °C; z — глубина; Q_n , Q_{n+1} — значения энтальнии в рассматриваемый и следующий за ним сезоны; N — число екунд в сезоне.

Толщины слоев воды для анализа пространственно-временной ізменчивости энтальпии вод выбирались из следующих сообракений: слой 0—50 м как наиболее активно взаимодействующий

с атмосферой и слой 0—200 м — деятельный слой океана, определяющий долгопериодную составляющую энергообмена во взаи модействии океана с атмосферой.

Расчет адвекции тепла течениями проводился по соотноше

нию, предложенному в [5]:

$$Q_a = U \frac{\partial Q}{\partial x} + V \frac{\partial Q}{\partial y},$$

где U, V — составляющие скорости течений на параллель и ме ридиан. Для оценки тепла дрейфовыми течениями в слое 0—50 м составляющие скорости были взяты из работы [6] и проинтер полированы в центры пятиградусных квадратов. Для оценки ад векции тепла геострофическими течениями в деятельном слое оке ана составляющие скорости вычислялись динамическим методом относительно «нулевой» поверхности Дефанта в центрах десяти градусных квадратов. Заметим, что исследования циркуляции в океанах, приведенные в последние годы, говорят о том, что ка чественные и количественные результаты динамического метода неплохо согласуются с инструментальными наблюдениями [5, 6]

Общая картина распределения энтальпии вод от сезона к се зону в слое 0—200 м существенно не меняется по сравнению со слоем 0—50 м. На общем фоне теплоотдачи океана в атмосферу характерной для холодной половины года, пространственное по ложение очагов потери и притока тепла, вероятно, определяется адвекцией тепла, течениями, о чем свидетельствует качественно совпадение зон положительных и отрицательных значений изменчивости энтальпии от зимы к весне и адвекции тепла зимой.

Максимальные значения изменчивости энтальпии вод слоя 0—200 м в этот период отмечаются в тропической, ньюфаундленд ской и энергоактивной зоне Гольфстрима, соответственно достигая значений $5.30 \div 150~{\rm Bt \cdot m^{-2}}; -240 \div -60~{\rm Bt \cdot m^{-2}}, 570 \div 190~{\rm Bt \cdot m^{-2}}.$

В этих же районах наблюдается максимальный адвективный перенос тепла геострофическими течениями, который соизмерим с величинами изменения энтальпии вод в деятельном слое и составляет в тропической зоне $410 \div 40$ Вт·м-2, ньюфаундлендской — $400 \div -190$ Вт·м-2 и в зоне Гольфстрима $450 \div 120$ Вт·м-2 В среднем по всей акватории Северной Атлантики изменчивостя энтальпии вод и адвекция тепла составляют $100 \div 30$ Вт·м-2, часто не совпадающие по знаку. Особенно это относится к восточной части Северной Атлантики, где Канарское течение в этот период развито слабо и несколько усиливается только в зоне слияния с Северным Пассатным течением. Средние скорости течений зимой здесь не превышают 5 см·с^{-1} . Поэтому ведущую роль в формировании температурных аномалий в этом районе вероятно, следует отвести атмосферным процессам.

Усиленный радиационный прогрев поверхностного слоя просходит от весны к лету. В связи с этим почти на всей акватории северной Атлантики энтальпия вод слоя 0—50 м повышается. е изменчивость в среднем составляет 20÷80 Вт⋅м-2. Теплонаколение илет на большей части Северной Атлантики и слое 0-00 м. Максимальные значения изменчивости теплового режима о-прежнему отмечаются в энергоактивных зонах. Так. в тропиеской энергоактивной зоне энтальпия вод понижается 30-250 Вт. м⁻²: в ньюфаундлендской повышается на -910 Bт·м-2 (экстремальные значения изменчивости энтальпии од, очевидно, связаны с меандрированием фронтальной зоны, азделяющие теплые воды Северо-Атлантического течения и хоодные воды Лабрадорского течения), в энергоактивной зоне ольфстрима понижается на 130 - 180 Вт. м-2. Сложная пространтвенная структура изменчивости энтальпии вод хорошо соглаvется с рассчитанной циркуляцией вод в Северной Атлантике есной, которая существенно отличается от зимней: зона конверенции между Лабрадорским и Северо-Атлантическим течениями местилась к северу и стала менее выраженной, изменилась наравленность течений на северное в Датском проливе и к востоку т него, к югу от 25° с. ш. в зоне от 50° до 20° з. д. геострофичекий перенос имеет преимущественно южное направление, усилиось Флоридское течение и Гольфстрим, к северу от Антильских стровов сформировалась система антициклонической циркуляции, з двух циклонических систем в тропической зоне Северной Атантики сохранилась только восточная, а ее центр заметно смегился к югу в район экватора. Вместе с тем, необходимо отмеить, что абсолютные величины адвекции тепла течениями уменьились по сравнению с зимними величинами в энергоактивных онах в среднем в три-четыре раза. Это объясняется уменьшеием пространственных градиентов энтальпии вод и скоростей ечений весной в Северной Атлантике.

От лета к осени уменьшается радиационный прогрев и одноременно активизируется циклоническая деятельность в атмосферых процессах, что должно способствовать понижению энтальпии од. Однако на большей части Северной Атлантики продолжается еплонакопление, которое обусловлено адвекцией тепла как дрейювыми, так и геострофическими течениями (рис. 1, 2). Как покаывают расчеты адвекция тепла дрейфовыми течениями в средем составляют 20—30% от адвекции тепла геострофическими ечениями при данном пространственном и временном масштабах среднения. Общей особенностью циркуляции вод в летний пеиод, как и в зимний, является более высокая интенсивность по равнению с циркуляцией в весенний период. Возросли скорости ереноса вод как дрейфовыми, так и геострофическими течениями зоне Гольфстрима соответственно 30—40 см·с-1 и 18—23 см·с-1. сь Гольфстрима сместилась к востоку и вместе с Северо-Атланическим течением образовалась как бы единая система пере-

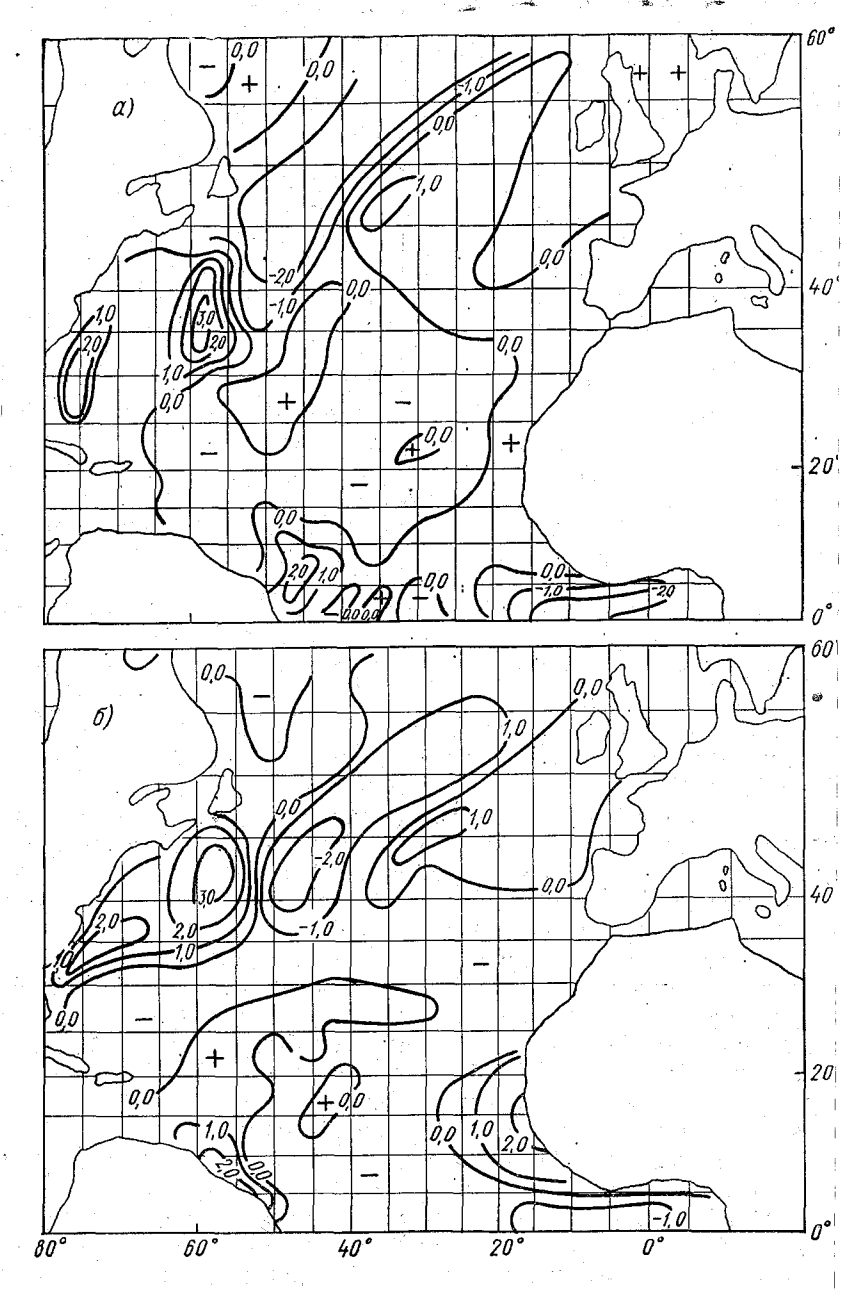
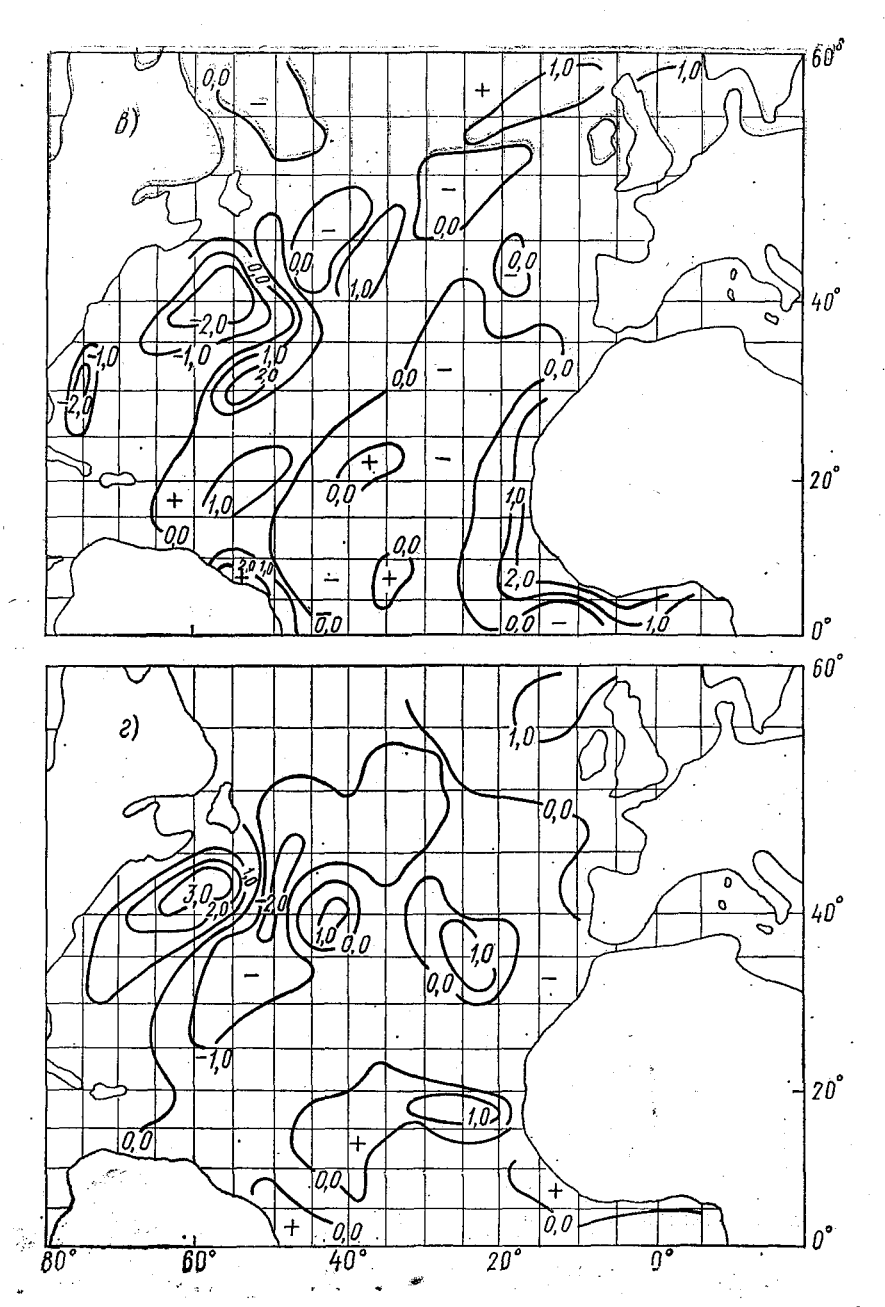


Рис. 1. Адвективный перенос тепла дрейфовыми течениями в слое 0—50 м (Вт · м $^{-2}$): a — зима; δ — весна; s — лето; s — осень



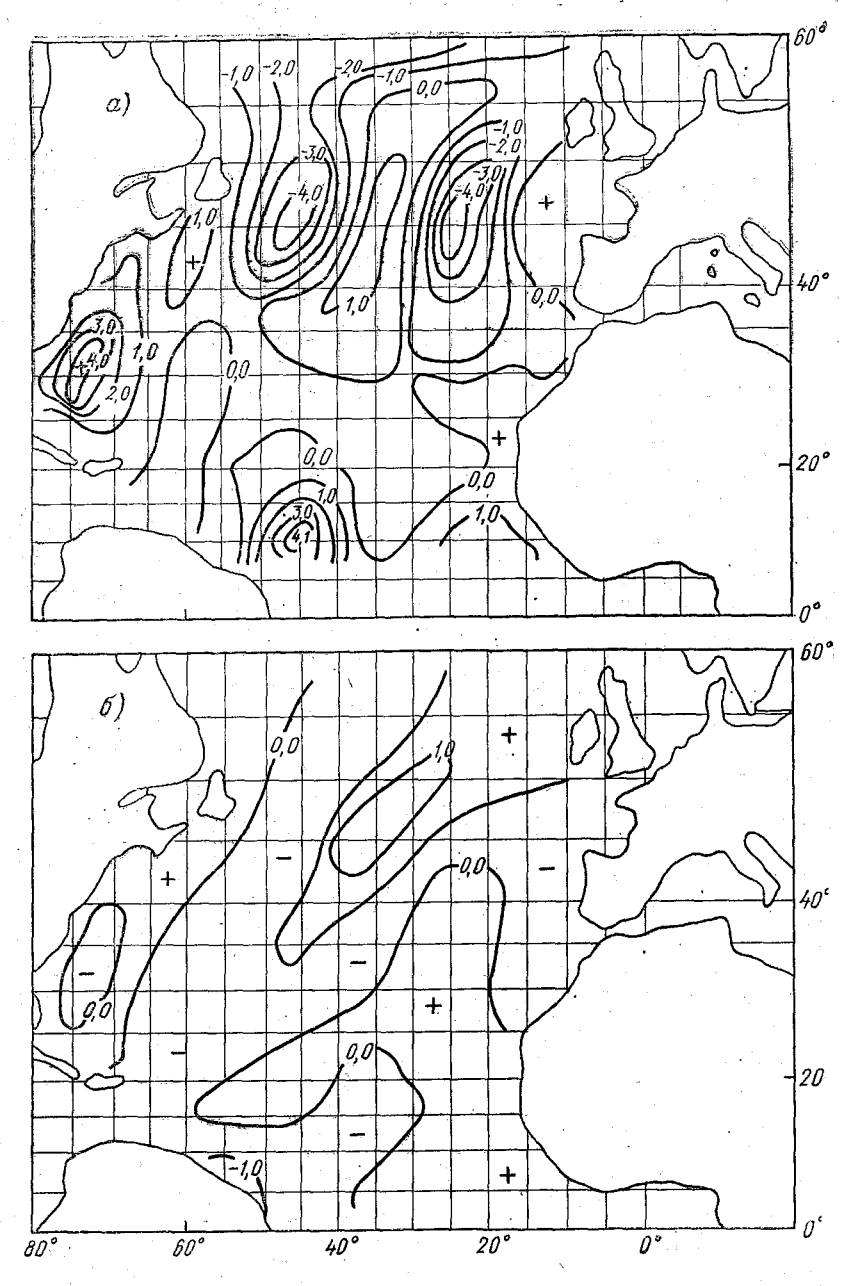
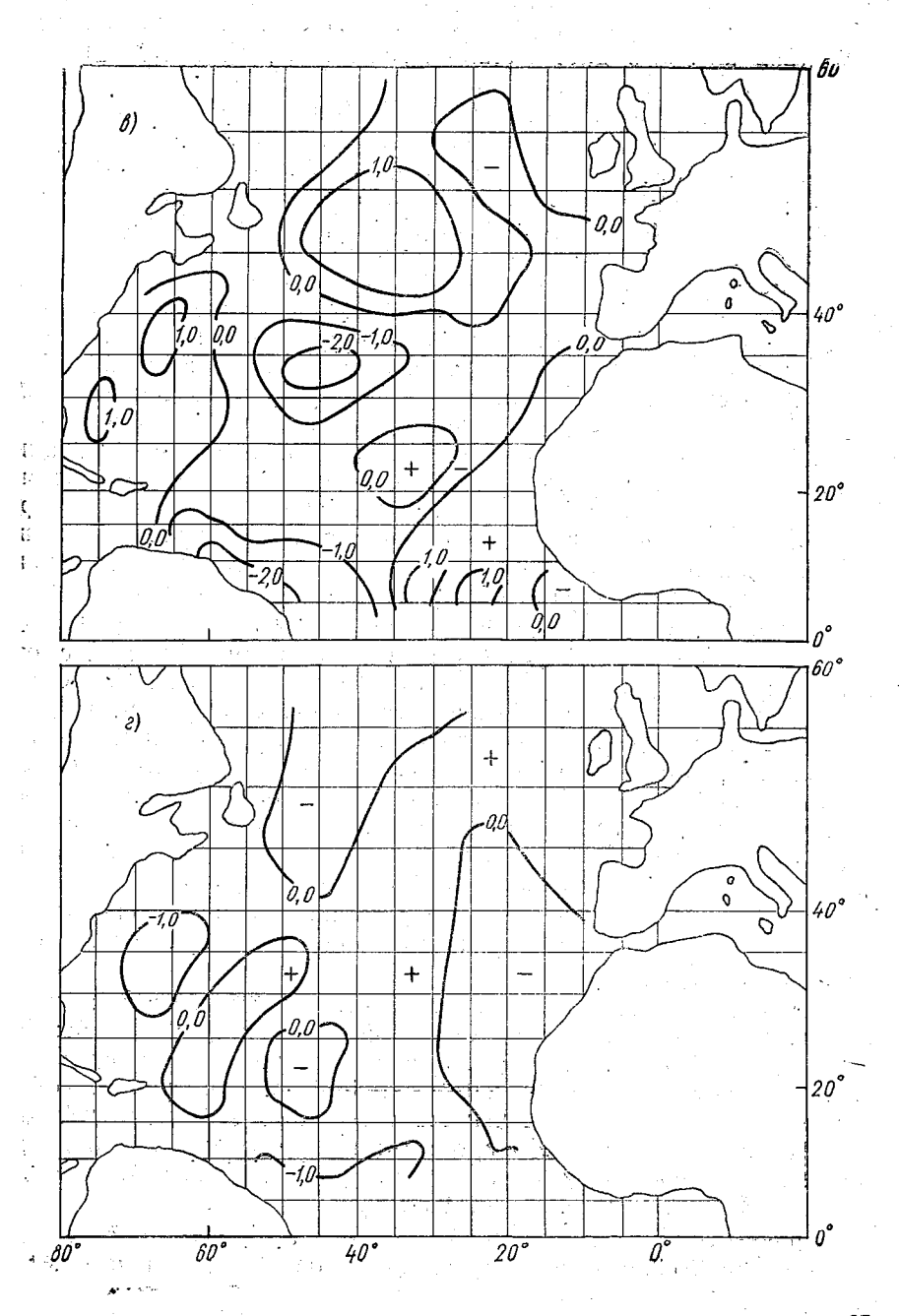


Рис. 2. Адвективный перенос тепла геострофическими течениями в слое 0-200 м (Вт·м $^{-2}$): a-зима; $\delta-$ весна; $\varepsilon-$ лето; $\varepsilon-$ осень



носа вод в северо-восточном направлении. Зона конвергенции поднялась еще выше к северу и формируется в районе взаимо действия Северо-Атлантического и Восточно-Гренландского тече ний. Возросла интенсивность Северного Пассатного течения, одни ветвей которого дает начало мощного переноса вод на юго восток вдоль южно-американского побережья. Скорость этог переноса дрейфовыми течениями достигает 40 см·с⁻¹, геострофи ческими — 25 см·с⁻¹. Вследствие этого энтальпия вод 200-метро вого слоя в ньюфаундлендской энергоактивной зоне повысилас на 240÷400 Вт·м⁻², в зоне Гольфстрима на 360÷560 Вт·м⁻³ в зоне Гольфстрима на 360÷560 Вт·м⁻².

От осени к зиме энтальпия вод понижается по всей акватс рии Северной Атлантики. Как и весной интенсивность течени осенью вновь ослабевает. Основной особенностью циркуляци в этом сезоне следует, по-видимому, считать образование дву центров в системе антициклонической циркуляции. Один из ни сохранил свое положение в районе к северу от Антильских островов, а второй сформировался на восточной периферии антициплонического круговорота в точке с примерными координатам 30° с. ш., 35° з. д. Горизонтальные масштабы восточного центр существенно меньше, в то время как средние скорости заметн выше. Можно полагать, что он является началом образовани антициклонической системы, характерной для зимнего сезон

По-прежнему высокие скорости до $10-12 \text{ см} \cdot \text{c}^{-1}$ сохраняютс во Флоридском течении и Гольфстриме. В районе 50° с. ш. сфој мировалась зона конвергенции, как результат взаимодействи Лабрадорского и Северо-Атлантического течений. Отметим, чов средних широтах Северо-Атлантическое течение характеризуетс значительной зональной составляющей, хотя и с невысокими скростями. На востоке оно разделяется на две ветви: одна дв жется в северо-восточном направлении, усиливаясь в районе Фарерских островов до $10-12 \text{ см} \cdot \text{c}^{-1}$, а другая поворачивает к юг включаясь в систему антициклонической циркуляции.

На юге Северной Атлантики сохраняет свою интенсивнос Северное Пассатное течение и предполагается образование ци лонической системы к востоку от 40° з. д.

По-прежнему значительны величины изменчивости энтальпі вод в энергоактивных зонах Северной Атлантики. Так, в ньюф ундлендской зоне изменчивость энтальпии вод деятельного сле в этот период составила — $110 \div -690$ Вт·м⁻², в тропической $50 \div -80$ Вт·м⁻², в зоне Гольфстрима — $450 \div -940$ Вт·м⁻². Делоя 0—50 м в этих же энергоактивных зонах изменчивость этальпии вод составила соответственно — $60 \div -230$ Вт·м⁻², $0 \div -20$ Вт·м⁻², — $180 \div -300$ Вт·м⁻².

Практический интерес представляет сравнительный анал вклада адвективного переноса тепла и бюджета тепла на повер

ости океана в изменчивость энтальпий деятельного слоя в энерактивных зонах Атлантического океана (см. таблицу).

Средние сезонные значения составляющих бюджета тепла (Вт. м⁻²) деятельного слоя в энергоактивных зонах Северной Атлантики

	T	Сезоны					
Энергоактивная зона	Составляющие бюджета тепла	зима	весна	лето	осень		
ьюфаундлендская	Q _T Q _a Q ₀₋₂₀₀	-150 -250 -240	106 -30 110	13 5 170 3 5 0	-67 -110 -160		
ропическая	$Q_{\mathbf{T}}$ $Q_{\mathbf{a}}$ Q_{0-200}	-20 410 430	30 -120 -130	60 160 170	10 110 80		
`ольфстрим	Q_{T} Q_{a} $Q_{\mathrm{0-200}}$	—160 450 310	10 -80 -100	54 180 280	—170 —160 —400		

Таким образом, результаты анализа сезонной изменчивости энтальпии вод 0—50 м и 0—200 м в связи с адвекцией тепла грейфовыми и геострофическими течениями обнаруживают ряд карактерных черт, присущих только одному или двум рассмотренным сезонам. Из анализа результатов таблицы можно сделать вывод о ведущей роли адвекции тепла в изменчивости энтальпии цеятельного слоя в зимний и летний сезоны в энергоактивных зонах Северной Атлантики.

Выводы

- 1. Пространственное положение зон максимальной изменчивости энтальпии вод в слоях 0—50 м и 0—200 м в целом хорошо согласуются с пространственным положением зон, определенными в [3] как энергоактивные зоны океана или зоны активного взаимодействия с атмосферой [1].
- 2. Значения изменчивости энтальпии вод от сезона к сезону в слое 0—200 м в 2—5 раз выше, чем в слое 0—50 м.
- 3. Адвекция тепла течениями в зимний и летний сезоны играет ведущую роль в изменчивости энтальпии вод деятельного слоя в энергоактивных зонах Северной Атлантики.

1. Бирман Б. А., Позднякова Т. Г. Климатические характеристик теплообмена в зонах активного взаимодействия океана и атмосферы. — М 1985. — 82 c.

2. Гезенцвей А. Н. Дивергенция дрейфовых потоков и перенос тепл течениями в северной части Тихого океана и Северной Атлантике. - Труди ИОАН СССР, 1954, т. 9, с. 54—119.

3. Итоги науки и техники. Серия: Атмосфера, океан, космос. — Программ.

«Разрезы», том 1. М., 1983. 58 с.

4. Смирнова А. И. Атлас изменений состояния системы океан — атмо сфера в Северной Атлантике. Сезонные и межгодовые изменения теплосодер жания и адвекции в деятельном слое Северной Атлантики. — Л.: Гидрометео издат, вып. 4—9. 1969. — 55 с.

5. Bathen K. Heat storage and advection in the North Pacific Ocean

Hawaii Inst. of Geophys, Univ. of Hawaii, 1970, HIG-706, p. 122.

6. Meeh I G. A. Characteristics of Surface Current Flow Inferred from a Global Ocean Current Data Set. — J. Phys. Oceanogr., 1982, vol. 12, N 6. 7. Levitus S. Climatological atlas of the World Ocean. — NOAA Prof. Pap. 1982, N 13.

УДК (551.465.52+551.465.53) (261.5)

Н. П. СМИРНОВ (ЛГМИ), Е. Л. АМОНСКИИ (ААНИИ)

поверхностная циркуляция атлантического СЕКТОРА ЮЖНОГО ОКЕАНА

Описания поверхностной циркуляции Южного океана, сделанные на основе расчетов динамическим методом и по диагностическим моделям, имеют тот существенный недостаток, что они выполнены по среднемноголетним полям плотности, которые получены в основном по данным для летнего сезона. Отсюда понятно, насколько важными и уникальными являются данные о поверхностных течениях, полученные в результате осуществления первой программы по размещению дрейфующих буев в Южном полушарии в период первого глобального эксперимента ПИГАП (ПГЭП) в 1979 г.

Каждый дрейфующий буй был снабжен анемометром, термистером для определения температуры воды и плавучим якорем, подвешенным к телу буя на глубинах от 15 до 25 м. Более 300 дрейфующих буев было размещено в Южном полушарии в зоне 20-70° ю. ш. Передача данных, включая данные местоположения буев, осуществлялась с помощью специальной системы телеметрического слежения «Service Argos», использующей искусственные спутники Земли. При этом более 70% буев находились

друг от друга на расстоянии, не превышающем 500 км.

В результате возникла реальная возможность изучения горинтальных масштабов поверхностной циркуляции, поскольку и в силу своей конструкции перемещались по течению и не

ыли подвержены влиянию ветра.

Первая попытка анализа данных о дрейфе буев ПГЭП для арактеристики циркуляции поверхностных вод Южного океана ыла предпринята В. Г. Кортом [2]. Им была составлена сводая карта траекторий дрейфующих буев за период с января по юль 1979 г. для зоны Антарктического циркумполярного теченя (АЦТ). Выполнив статистическую обработку параметров раектории дрейфа буев, В. Г. Корт получил среднюю скорость ЦТ равную 25—30 см·с⁻¹. Им отмечены также волновые колеания траекторий с периодом 5—20 суток и длиной волны 200—00 км, которые в атлантическом секторе Южного океана наибоее часто наблюдаются в районе моря Скоша.

Дл. Мейнке [4] выполнил анализ дрейфа буев за период конца ноября 1978 г. по июнь 1979 г. Составленную им карту н сопоставил с картой поверхностных течений, полученной по анным сноса судов и расчетам геострофических течений [5], и

олучил неплохое соответствие.

Позднее в работе авторов совместно с Э. И. Саруханяном [1] ыл выполнен анализ циркуляции поверхностных вод Южного кеана на основе среднемесячных величин скорости и направления дрейфа буев за период с января по ноябрь 1979 г. Были почучены сезонные карты течений, на которых представлены среднемесячные векторы течений для отдельных сезонов. Область ЦТ на этих картах характеризовалась повышенными значениями коростей течений (30—50 см·с⁻¹). Особенностью их являлось акже наличие выраженных субтропических антициклонических сруговоротов со скоростями течений существенно меньшими, чем 3 АЦТ и не превышающими 30 см·с⁻¹ и к югу от АЦТ — циклонических круговоротов Уэдделла и Росса со скоростями течений горядка 10—20 см·с⁻¹.

В настоящей работе использованы данные дрейфующих буев голько для атлантического сектора южного полушария, причем в отличие от предыдущей работы были рассчитаны среднемесячные и сезонные поля скоростей течений в узлах пятиградусной регулярной сетки. При расчете скоростей течений использовалась интерполяция полей, основанная на применении метода конечных элементов [3].

Метод конечных элементов представляет собой эффективный метод полиномиальной интерполяции, применяемый при решении различных физических задач.

Основная идея метода конечных элементов состоит в том, что любую непрерывную величину, такую как температура, давление, и скорость, можно аппроксимировать дискретной моделью, которая строится на множестве кусочно-непрерывных функций, опре-

деленных на конечном числе подобластей, называемых элемен тами. Кусочно-непрерывные функции определяются с помощья значений непрерывной величины в конечном числе точек рассмат риваемой области. Эти точки называются узловыми или простузлами. Подобласти (элементы) имеют общие узлы и в совокуп ности аппроксимируют форму области. В качестве функции элемента чаще всего применяется полином, порядок которого зависит от числа данных о непрерывной функции, используемых в каждом узле элемента.

Таким образом, сущность метода конечных элементов состои в разбиении области задания функции на простые элементы (тре угольники, четырехугольники) с вершинами в пунктах наблюде ния и полиномиальной интерполяции функции на каждой подоб ласти. Так для элемента с тремя вершинами, в которых задань значения поля T_i , T_i и T_h , применяется следующая интерполяцион ная формула:

$$T = N_i T_i + N_j T_j + N_k T_k,$$

где

$$N_{i} = \frac{1}{2A} [(X_{i}Y_{h} - X_{h}Y_{j}) + (Y_{j} - Y_{h})X + (X_{h} - X_{j})Y],$$

$$N_{j} = \frac{1}{2A} [(X_{h}Y_{i} - Y_{h}X_{i}) + (Y_{h} - Y_{i})X + (X_{i} - X_{h})Y],$$

$$N_{h} = \frac{1}{2A} [(X_{i}Y_{j} - X_{j}Y_{i}) + (Y_{i} - Y_{j})X + (X_{j} - X_{i})Y].$$

Здесь X и Y — координаты узла; A — площадь треугольного симплекс-элемента с координатами вершин X_iY_i , X_iY_j , X_kY_k .

Векторная величина, например скорость, имеет как величину, так и направление, поэтому в каждом узле необходимо определять более одной неизвестной. Обычно в этом случае векторная величина представляется ее компонентами, которые рассматриваются как неизвестные скалярные величины.

Величина шага расчетной сетки выбрана из следующих соображений. С одной стороны, необходимо достаточно подробно характеризовать процессы синоптического масштаба, и поэтому плотность информации, используемой в качестве исходной, должна быть достаточной для рассмотрения исследуемых масштабов, а искажения при интерполяции пространственных изменений параметров с этими масштабами должны быть минимизированы.

С другой стороны, выбор пятиградусных трапеций для интерполяции в их вершины (узлы) диктуется прежде всего скудостью информации, так как расстояния между буями, т. е. географическими точками, в которых известны значения скоростей, были порядка 500 км, что в среднем соответствует стороне пятиградусной трапеции.

В то же время, в работе [6] использовалось как пятиградусре для всего Мирового океана, так и одноградусное, для отдельвх районов его, осреднение при построении карт распределения
потности кинетической энергии синоптических течений, по данвм дрейфа и сноса судов. Во всех главных чертах эти карты
кодны, что является обнадеживающим свидетельством достаточрй информативности карт, основанных на пятиградусном осредении. Исходными данными для интерполяции полей послужили
реднесуточные значения составляющих скоростей на меридиан
параллель, рассчитанные в работе [1]. Затем в каждом узле
етки вычислялись среднемесячные и осредненные по сезонам согавляющие и строились векторы скоростей течений. В качестве
еры устойчивости течений по направлению использовалось отновение модуля средней скорости к среднеарифметической велиине суточных скоростей за период осреднения

$$|v|/|v_a| \cdot 100\%$$
.

Известно, что средние крупномасштабные течения служат элько фоном, на котором развиваются движения синоптических асштабов. Достаточно обобщенной, не зависящей от случайных онкретных черт, характеристикой синоптических течений может лужить осредненная по времени кинетическая энергия вихревого оля [6].

Для каждого узла расчетной сетки определялись средние рифметические значения составляющих скорости среднего течений \overline{u} и \overline{v} , затем подсчитывались отклонения от этих значений реднесуточных составляющих в каждом узле сетки $u'=u-\overline{u}$, $u'=v-\overline{v}$ и величины $\overline{u'u'}$, $\overline{u'v'}$, $\overline{v'v'}$. Можно рассматривать эти еличины как оценки горизонтальных компонентов тензора напрясения Рейнольдса крупномасштабной океанической турбулентости с временными масштабами больше, чем одни сутки и програнственными масштабами порядка 500 км. Таким образом, инетическая энергия отклонений скорости, трактуемых как скоости синоптических возмущений крупномасштабных течений, редставляет собой величину

$$E_{l} = \frac{1}{2} \; \overline{(u'^{2} + v'^{2})},$$

кинетическая энергия среднего поля скорости — величину

$$E_m = \frac{1}{2} (\overline{u^2} + \overline{v^2}).$$

На рис. 1 приведены карты средних векторов течений за отельные сезоны года, на рис. 2 устойчивость средних векторов тений по направлению, а на рис. 3 и 4 кинетическая энергия реднего потока E_m и вихревая кинетическая энергия E_l , соответвенно.

Анализ результатов, приведенных на рис. 1 и 2, показывае что основные крупномасштабные черты поверхностной циркуляци Южной Атлантики и атлантического сектора Южного океана об ладают устойчивостью во все сезоны. На всех картах отчетлив выделяется область АЦТ, характеризующаяся повышенными зна чениями скоростей течений (20—30 см·с-1) и устойчивостью на правления (70—90%). Наибольшие скорости и устойчивость п

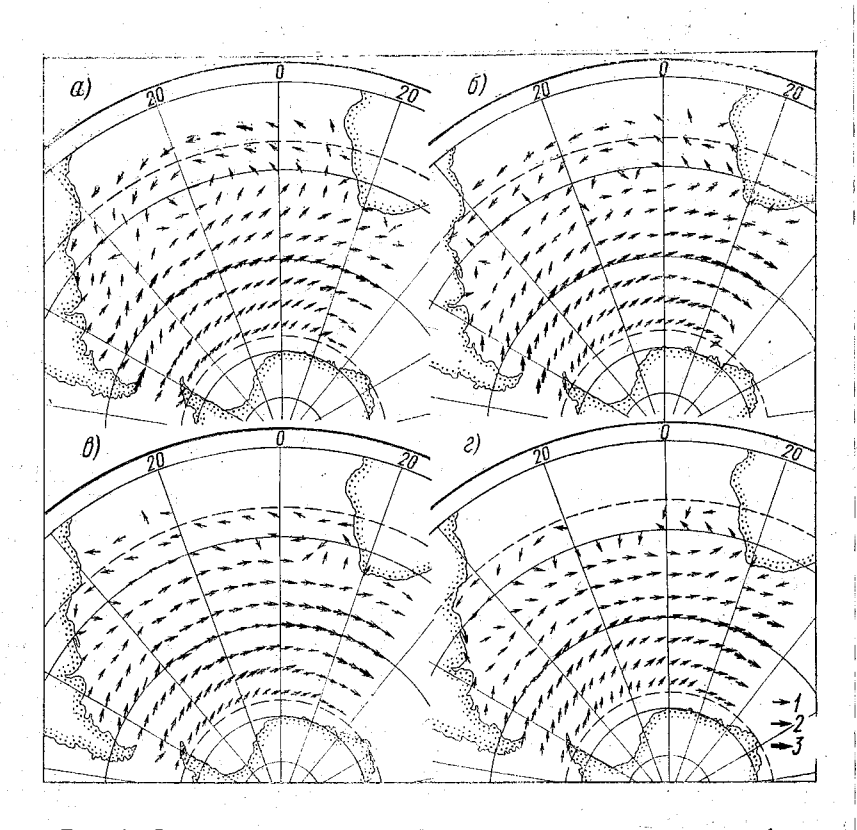


Рис. 1. Средние векторы течений на поверхности за январь — феврель (а), март — май (б), июнь — август (в), сентябрь — ноябрь (г) 1979 г.:

 $1 - 0 - 10 \text{ cm} \cdot \text{c}^{-1}$; $2 - 10 - 20 \text{ cm} \cdot \text{c}^{-1}$; $3 - 20 - 30 \text{ cm} \cdot \text{c}^{-1}$

направлению АЦТ имеет в восточной части рассматриваемог района, между Африкой и Антарктидой. Только в летний и осен ний периоды здесь наблюдается некоторое уменьшение скоростетечений. Наоборот, в западной и центральной части района мак симальные скорости течений в АЦТ наблюдаются в летне-осенни период и уменьшаются зимой и, особенно, в весенний перио Южного полушария. В западной части района в зимний и весен 94

й периоды снижается и устойчивость основного потока АЦТ по

правлению до 60%.

Сезонные карты распределения кинетической энергии среднего тока E_m (рис. 3) и вихревой кинетической энергии E_l (рис. 4) дтверждают относительно слабую изменчивость АЦТ от сезона сезону. Тем не менее, ранее высказанные закономерности очень рошо выявляются и на картах распределения кинетической ергии среднего потока. Во все сезоны в АЦТ отношение E_l/E_m иблизительно равно 2, а устойчивость выше 60—70%, в то время к к югу от 60° ю. ш. и к северу от 40° ю. ш. величина отношея E_l/E_m растет, а устойчивость течений падает.

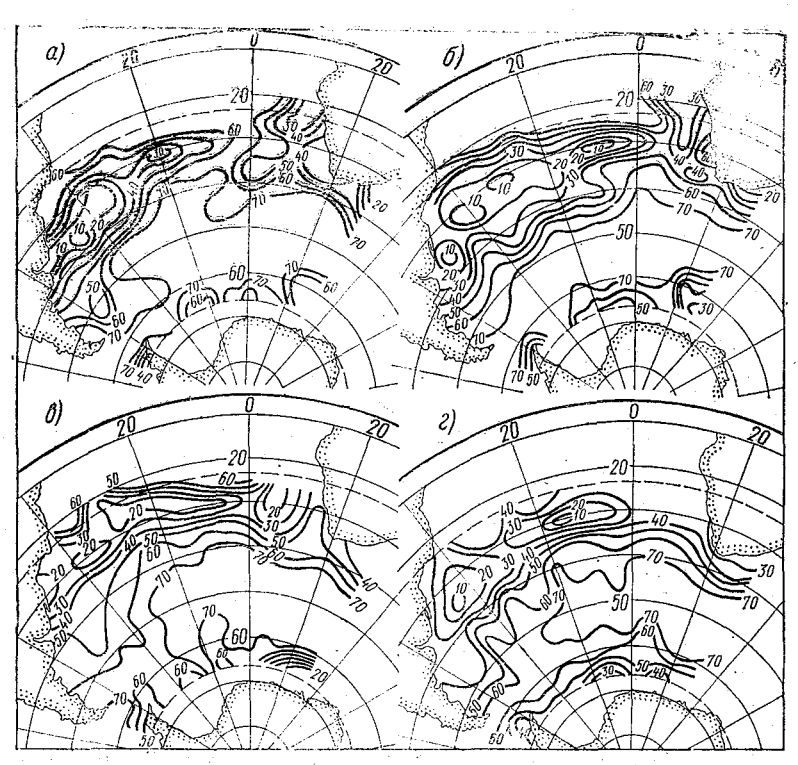


Рис. 2. Устойчивость средних векторов течений по направлению за январь — февраль (a), март — май (б), июнь — август (в), сентябрь — ноябрь (г) 1979 г

На всех представленных картах (рис. 1) севернее 40° ю.ш. спределение векторов очерчивает субтропический антициклоникий круговорот, внешние контуры которого образованы Браньским течением на западе, Бенгуэльским на востоке, а также кно-Атлантическим течением и южной периферией Южного ссатного течения. Внутри круговорота, судя по распределению

векторов и картам устойчивости течений, в зависимости от времени года, существует две или несколько локальных замкнути циркуляций. Оценки скоростей в субтропическом круговороте с щественно меньше, чем в АЦТ и составляют $10-15~{\rm cm\cdot c^{-1}}$. Кинтическая энергия среднего потока E_m имеет здесь минимально величины, порядка $20~{\rm cm^2\cdot c^{-2}}$ и менее. Вихревая энергия в это районе также относительно невелика, однако в $5-10~{\rm pas}$ прев сходит энергию среднего потока.

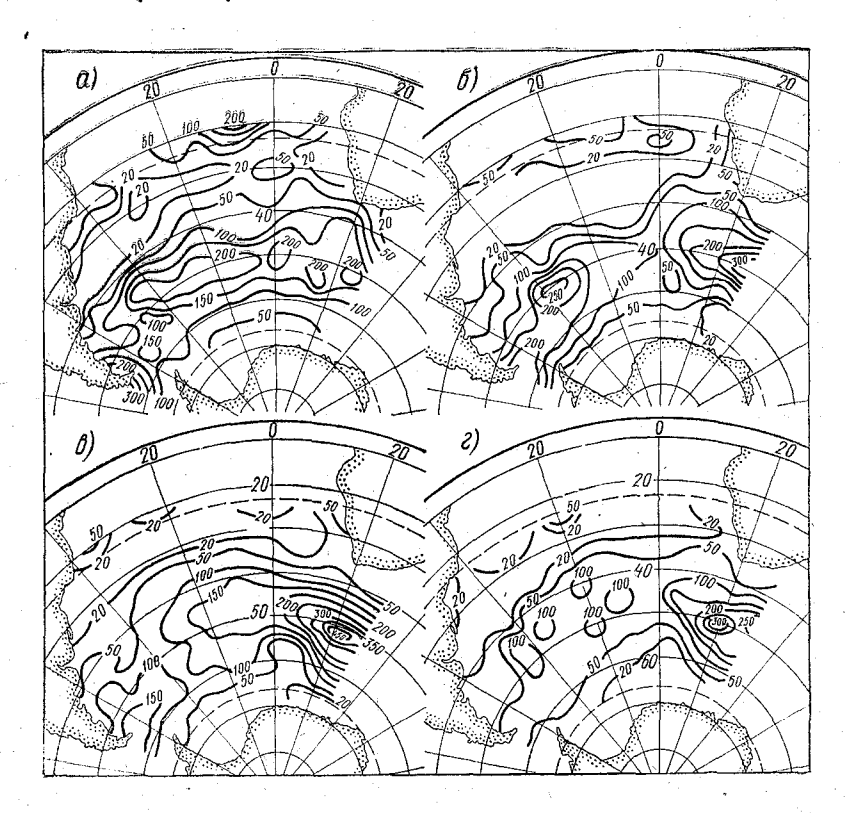


Рис. 3. Кинетическая энергия среднего поля скорости E_m (см² · с-²) за январь — февраль (a), март — май (б), июнь — август (в), сентябрь — ноябрь (г) 1979 г

Максимальных значений вихревая энергия достигает в севет западной части рассматриваемого района на широте 40° ю. ш., г она в летний и особенно осенний периоды достигает величин 500 700 см²·с⁻². Зимой и весной ее значения уменьшаются в 2—3 раз Другой район повышенных значений вихревой энергии набл дается к югу от Африки, и максимальные значения энергии зде наблюдаются весной и осенью (400 см²·с⁻¹ и более).

К югу от АЦТ намечается северная ветвь круговорота Уэделла. Наиболее устойчивы течения в этой области в летний ериод и наименее устойчивы весной. Весной наблюдаются и мимальные скорости течений в круговороте (8—10 см·с⁻¹) и наиеньшие значения кинетической энергии среднего потока $20 \text{ см}^2 \cdot \text{с}^{-2}$ и не менее). Вихревая энергия во все сезоны близка величине $100-120 \text{ см}^2 \cdot \text{c}^{-2}$.

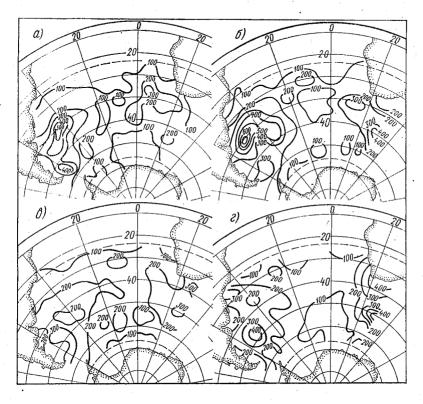


Рис. 4. Вихревая кинетическая энергия E_e (см² · с $^{-2}$) за январь — февраль (a), март — май (б), июнь — август (в), сентябрь — ноябрь (г) 1979 г

Представляет интерес проанализировать зонально осредненные начения E_m и E_l для четырех сезонов (см. таблицу).

Прежде всего следует отметить, что максимально высокие начения кинетической энергии среднего потока наблюдаются во се сезоны года в широтной зоне $45-55^{\circ}$ ю. ш., а минимальные а 30° ю. ш. Второй важной особенностью является заметно меньше значения E_m в широтной зоне $45-60^{\circ}$ ю. ш. в весенний пенод. На 50° ю. ш., где значения E_m максимальны, весной E_m бо

лее чем в 1,5 раза меньше, чем в другие сезоны. В широтн зоне 25—40° ю. ш. и к югу от 60° ю. ш. значения E_m во все сезонолизки между собой.

Зонально-осредненные значения кинетической энергии среднего потока E и вихревой энергии E_{I} в различные сезоны

Энергия	Сезон		Южная широта (град.)								
		25	30	35	40	45	50	5 5	60	6	
		1	<u> </u>	j]	<u> </u>	100	1,00	05		
	Лето	40	22	24	69	144	193	163	85	4	
E_m см $^2 \cdot c^{-2}$	Осень	26	10	16	50	110	177	139	99	3	
	Зима	17	9	45	81	151	187	139	95	2	
	Весна	26	10	30	62	106	110	89	42	2	
	Лето	91	141	217	178	235	231	189	152	11	
	Осень	74	108	152	225	200	184	179	112	ĉ	
	Зима	106	158	209	208	221	218	207	173	11	
	Весна	- 112	171	223	216	214	210	150	126	13	

Вихревая энергия достигает максимальных значений в ширс ной зоне 35—50° ю. ш. Можно отметить более низкие значен вихревой энергии в осенний период для широтной зоны 25 35° ю. ш. и 60—65° ю. ш. по сравнению с другими сезонами и бол высокие значения летом для широтной зоны 40—50° ю. ш.

Таким образом, основные крупномасштабные черты поверхн стной циркуляции Южной Атлантики, выявленные по результата обработки дрейфа буев ПГЭП за 1979 г., в целом согласуют с картами поверхностных течений, полученными ранее другим методами, что свидетельствует как об устойчивости простра ственных закономерностей циркуляции этого района, так и о р презентативности данных, полученных с применением дрейфунцих буев ПГЭП.

Наряду с этим, построенные нами карты течений обладан большей детализацией, что отражает высокую информативнос данных, полученных по дрейфу буев ПГЭП. Приведенные срение оценки скоростей течений и их устойчивости по направлени также являются достаточно надежными характеристиками, крайней мере, для конкретных периодов осреднения. Средня скорость АЦТ во все сезоны составляет 20—30 см с-1. В локал ных ядрах циркуляции антициклонического субтропического криоворота и на периферии Южного пассатного течения средн

ценки скоростей не превышают 10—15 см·с-1. Прослеживается верная граница круговорота Уэдделла, где интенсивность тече-

ій возрастает в осенний период.

Карты распределения кинетической энергии средних течений вихревого движения обнаруживают большое сходство с опубливанными в [6]. Почти всюду в атлантическом секторе Южного зеана вихревая кинетическая энергия больше, чем кинетическая ергия среднего потока примерно в 1,5-2 раза. Максимальные ачения этих ведичин приурочены к областям интенсивных течеій и убывают по мере приближения к стационарным антицикэническому и циклоническому круговоротам. В пиркуляционных прах вихревая энергия превосходит энергию среднего потока бое. чем в 100 раз.

Можно также предполагать, что энергия среднего потока и іхревая энергия в Южном океане достигают наибольших велиін летом и зимой. Минимальные же значения энергии среднего

тока наблюдаются осенью и особенно весной.

ЛИТЕРАТУРА

1. Амонский Е. Л., Саруханян Э. И., Смирнов Н. П. Циркуляя поверхностных вод Южного океана по данным дрейфующих буев ПГЭП. — эклады АН СССР, 1983, т. 271, № 2, с. 447—451.

2. Корт В. Г. Мезомасштабная изменчивость течений и температуры

Южном океане по данным дрейфующих буев. — Океанология, 1981, т. 21,

п. 3, с. 405-415.

3. Сегерлинд Л. Применение метода конечных элементов. — М.: Мир. 79. — 392 c.

4. Meincke J. Note on trajectories of Satellite tracked buoys in the Sout-rn Ocean. — Meereforschung, 1980, v. 28, 2—3, p. 85—89.

5. Tchernia P. Descriptive Rejionol Oceanography, Pergamon Marine Ses. - Paris, 1980, v. 3.

6. Wyrtki K., Magaard L., Hager J. Eddy energy in the oceans. of Geophys. Res., 1976, v. 81, 5, p. 2641-2646.

IK 551.557

В. Н. МАЛИНИН (ЛГМИ)

ВОДНЫЙ БАЛАНС АТМОСФЕРЫ В НОРВЕЖСКОЙ ЭНЕРГОАКТИВНОЙ ЗОНЕ

Хотя Норвежская энергоактивная зона по своей интенсивности тупает другим энергоактивным зонам океана, однако ее геоафическое положение, связанное с непосредственной близостью к Европейскому континенту, позволяет считать ее как одну наиболее важных с точки зрения воздействия на погодные п цессы и формирование увлажнения по крайней мере северо-зап ной части Европейской территории СССР и атлантического с тора Арктики.

Изучению теплового состояния Норвежской энергоактивым зоны, под которой мы будем понимать акваторию Норвежском моря, и ее крупномасштабному взаимодействию с атмосферой священо довольно много работ [1, 3, 5, 16, 20, 23], в том чиствыполненных на основе данных натурных эксперимент

«ПОЛЭКС — Север» [11, 12, 19].

Однако из внимания исследователей практически выпал так важный вопрос, как водный баланс системы океан — атмосфе Действительно, фазовые преобразования влаги являются важн источником энергии, поддерживающим циркуляционные процесь в том числе и горизонтальный перенос водяного пара, соединя щий в единый гидрологический цикл водные бюджеты океа атмосферы и поверхности суши. Кроме того, в холодный пери горизонтальный перенос влаги с акватории Северной Атланти по существу является единственным источником выпадения осков над большей частью территории СССР и Арктического б сейна.

Для некоторого произвольного объема атмосферы, котор ограничен снизу поверхностью раздела вода — воздух, а свер такой высотой, на которой влажность воздуха очень мала, осрененное во времени уравнение водного баланса атмосферы (ВБ может быть записано в следующем виде:

$$\frac{\partial}{\partial t} \int_{A} W dA + \frac{\partial}{\partial t} \int_{A} W_{W} dA = -\oint_{l} \vec{F} \cdot \vec{n} dl - \oint_{l} \vec{F}_{W} \cdot \vec{n} dl + \int_{A} (E - P) dA,$$

где W и W_W — соответственно интегральное влаго- и водосоде жание атмосферы; \vec{F} и \vec{F}_W — интегрированные по вертикали по ные горизонтальные потоки водяного пара и воды; \vec{n} — единично вектор, положительно направленный из контура l, стягивающе площадь A; E — испарение; P — осадки.

Таким образом, изменения влаги в атмосфере в парообразн и жидкой (в облаках) фазах происходят за счет горизонтально оттока (притока) пара и воды через боковые грани контура, испрения с поверхности океана и выпадения осадков. Наиболее тру ноопределяемыми членами в уравнении (1) являются содержан и перенос воды в облаках. Из оценок водозапаса облаков, определенных на основе спутниковых измерений [4], следует, что

л по сравнению с влагосодержанием атмосферы и составляет нее 1% от последнего.

Непосредственные оценки потока воды в облаках, к сожалео, до сих пор отсутствуют. Однако учитывая, что водозапас осферы незначителен, маловероятно, чтобы перенос воды совлял существенную долю от переноса водяного пара. Моделье расчеты [14] свидетельствуют, что при осреднении за достано длительный интервал времени разность между притоком и оком жидкой влаги даже над не очень крупными территоми становится малой, т. е.

$$F_{W_1} = F_{W_2} = \oint_l \vec{F}_W \cdot \vec{n} dl = 0,$$
 (2)

 $:F_{W1}$ и F_{W2} — приток и отток воды в облаках через боковые

іни контура l.

Однако в районах с резко выраженным влиянием орографии зультирующим притоком влаги в жидкой фазе пренебрегать е нельзя. Норвежское море как раз относится к таким райом, поскольку вдоль его восточного побережья тянутся Скандивские горы, в результате чего над восточной частью моря поэянно происходит подъем воздушных масс, образование облачсти и осадков. При этом вынос облачности за пределы Норжского моря должен превышать ее внос и, следовательно, ранство (2) не выполняется. Данное обстоятельство мы будем итывать при составлении водного баланса атмосферы.

Без учета членов, характеризующих содержание и перенос аги в жидкой фазе, и используя формулу Остроградского —

усса, перепишем уравнение (1) в следующем виде:

$$\frac{\partial \langle W \rangle}{\partial t} + \langle \operatorname{div} \vec{F} \rangle = \langle E - P \rangle, \tag{3}$$

 $e < () > = A^{-1} \int_A () dA$ — оператор осреднения по плоади. В уравнении (3) влагосодержание атмосферы обычно опреляется по данным о массовой доли водяного пара q на изоба-

ческих поверхностях, т. е.

$$W = \frac{1}{g} \int_{\rho_k}^{\rho_0} q dp, \tag{4}$$

е g — ускорение свободного падения; p_0 и p_h — давление на порхности моря и на изобарической поверхности, где влажностью эжно пренебречь.

Используя постулаты осреднения Рейнольдса, запишем

$$\operatorname{div} \vec{F} = \operatorname{div} \overline{\vec{F}} + \operatorname{div} \vec{F}', \tag{5}$$

где первый член справа характеризует горизонтальный отток (приток) водяного пара за счет средней во времени циркуляци а второй член — за счет флуктуаций скорости во времени. В вы ражении (5) полный, средний и вихревой результирующие интегральные потоки водяного пара определяются по следующи формулам:

$$\vec{F} = \frac{1}{g} \int_{p_k}^{p_0} q \vec{V} dp, \quad \vec{F} = \frac{1}{g} \int_{p_k}^{p_0} q \vec{V} dp, \quad \vec{F}' = \frac{1}{g} \int_{p_k}^{p_0} q' \vec{V}' dp, \quad (6)$$

где \overrightarrow{V} — горизонтальный вектор ветра. Результирующий потопредставляет векторную сумму зональной и меридиональной с ставляющих потока влаги, т. е.

$$\vec{F} = F_X \vec{i} + F_y \vec{j}, \quad \vec{F} = \vec{F}_X \vec{i} + \vec{F}_y \vec{j}, \quad \vec{F}' = F_X \vec{i} + F_y \vec{j}.$$

При описании процессов с большими периодами осреднени (например, месяц) основной вклад в вихревое движение дак циклоны и антициклоны, время существования которых состаляет от половины до нескольких суток. Поэтому для оценки виревого потока влаги \vec{F}' необходимы, как минимум, двухсрочнь аэрологические наблюдения в сутки, в то время как средний (а,

вективный) поток влаги \overrightarrow{F} может быть определен по средним м сячным аэрологическим данным.

Исходной информацией для оценки левых членов уравнени (3) послужили среднемесячные величины удельной влажности

и потоков влаги $(\overrightarrow{qV}, \overrightarrow{qV}, \overrightarrow{q'V'})$ на стандартных изобарических перхностях, вычисленные для ряда зарубежных аэрологически станций по срочным данным за 1957—1965 гг. [18]. Методин обработки исходных данных подробно обсуждается в работе [13]

Схема расположения аэрологических станций приводится грис. 1. Нетрудно видеть, что по контуру Норвежского могимеется лишь шесть станций, причем только на южном участи контура плотность сети можно считать удовлетворительной. По этому для получения надежных оценок $\operatorname{div} F$ необходимо предврительно произвести интерполяцию потоков влаги в наиболее и формативные точки контура. Под информативными точками м понимаем такие точки контура, введение каждой из которых ск зывается на точности расчета $\operatorname{div} F$, т. е.

$$\left| \frac{(\operatorname{div} \vec{F})_{k+1} - (\operatorname{div} \vec{F})_{k}}{(\operatorname{div} \vec{F})_{k}} \right| \ge Cr$$
 (7)

где k — число станций, составляющих контур; Cr — критерий то ности.

Для крупных континентальных районов ($A>10^6$ км²) при доаточно плотной сети аэрологических станций относительная поещность расчета $\operatorname{div} \vec{F}$ за многолетний период времени составлет несколько процентов [14]. Поэтому, например, можно прить Cr=0.05.

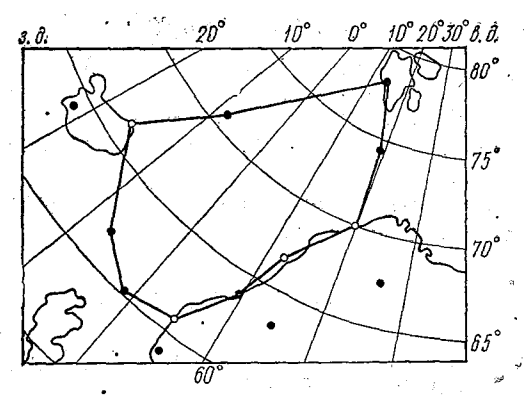


Рис. 1. Аппроксимация Норвежского моря контуром из аэрологических станций:

— действующие аэрологические станции; ○ — информативные точки контура

Естественно, задача определения информативных точек конура непосредственным образом связана с задачей интерполяции отоков влаги. Поскольку характер используемых данных не озволил применить для интерполяции хорошо известные методы бъективного анализа (например, оптимальную и полиномиальную интерполяции), то мы для этой цели решили воспользоваться ренд-анализом.

Тренд-анализ является одним из методов многомерной статитики, получившим довольно широкое распространение прежде всего в геологии [9]. В основе метода лежит представление ренда как некоторой функции пространственных координат, построенной по эмпирическим данным таким образом, чтобы сумма квадратов отклонений их от поверхности тренда была минимальна.

Основная формула двухмерного тренд-анализа может быть записана следующим образом:

$$G(X, Y) = \sum_{i=0}^{m} \sum_{j=0}^{m-i} a_{ij} X^{i} Y^{j}, \qquad (8)$$

где X, Y — географические координаты; m — показатель степени. Очевидно, с увеличением m точность аппроксимации пространственного поля G(X,Y) возрастает. Однако при m>4 возникают

трудности вычислительного характера, связанные с процессов

обращения матриц высокого порядка.

Для многих климатологических полей даже при малых зна чениях m могут быть получены результаты с достаточной для прак тических целей точностью. Если, например, задать m=3, то урав нение (8) приобретает следующий вид:

$$G(X, Y) = a_0 + a_1 X + a_2 Y + a_3 X^2 + a_4 Y^2 + a_5 XY + a_6 X^3 + a_7 Y^3 + a_8 X^2 Y + a_9 XY.$$

$$(9)$$

В выражении (9) первые три слагаемых дают линейное урав нение тренда, а первые шесть слагаемых — уравнение поверхности тренда второго порядка.

Для оценки точности интерполяции необходимо рассчитать

дисперсию фактических значений поля

$$D_T = \frac{1}{n-1} \sum_{i=1}^{n} (G_{Ti} - \overline{G})^2$$
,

где n — число интерполируемых станций, и дисперсию вычисленных по уравнению (8) значений G_R

$$D_R = \frac{1}{n-1} \sum_{l=1}^{n} (G_{Rl} - \bar{G})^2.$$

Тогда отношение D_R/D_T дает качество приближения вычисленных значений интерполируемого поля к его фактическим значениям. Данное отношение, как известно, функционально связано с коэффициентом множественной корреляции

$$R = \sqrt{\frac{\overline{D_R}}{\overline{D_T}}}$$
.

Таким образом, по величине коэффициента R можно объективно

судить о точности интерполяции.

Разумеется, рассмотренная выше процедура интерполяции не является свободной от недостатков. В частности, она зависит от числа интерполируемых станций и от степени их информативности, причем информативность в зависимости от поставленной задачи может пониматься различным образом.

Кроме того, определенное влияние на качество интерполяции может оказывать и нерепрезентативность данных об интегральных потоках водяного пара. Разделим наблюденный интегральный перенос влаги на перенос, вызванный общей циркуляцией атмосферы (\vec{F}_{tot}) , и перенос, обусловленный локальными (местными) особенностями циркуляции (\vec{F}_{loc}) , т. е.

$$\vec{F} = \vec{F}_{tot} + \vec{F}_{loc}$$
.

Местная циркуляция вносит мелкомасштабные флюктуации поле крупномасштабных изменений потока влаги, а так как сштаб ее обычно меньше расстояний между аэрологическими

анциями, то это может приводить при расчете $\operatorname{div} \vec{F}$, особенно нижних слоях атмосферы, к возникновению систематических грешностей. К местной циркуляции относятся такие явления, к бриз, горно-долинная циркуляция, катабатические ветры и др., торые прежде всего обусловлены термическим контрастом жду морем и сушей и орографическими эффектами. Количевенной мерой местной циркуляции, а следовательно, и степенью репрезентативности данных в переносе влаги может служить

ношение $K_{\rm H} = \vec{F}_{loc}/\vec{F}_{tot}$, изменяющееся в пределах от 0 до 1. Естественно, что в рассматриваемом нами районе Норвежого моря на островных и береговых станциях наблюдается местя циркуляция, поэтому ее эффект должен быть исключен из иных о переносе атмосферной влаги.

Можно полагать, что над открытым океаном, удаленным от териков и крупных островов, влияние локальной циркуляции интегральный перенос водяного пара незначительно. В соответвии с этим примем для судов погоды (C, D, E, I и K) $K_{\rm H} \rightarrow 0$. ак было установлено, интегральный поток в районе судов поды очень тесно связан с потоком влаги на изобарической порхности 850 пГа (коэффициент корреляции r = 0.90), причем язь для зональной и меридиональной составляющих потока гаги практически одинакова. Это позволяет записать:

$$F_x = d(\overrightarrow{aV_x})_{850}, \qquad F_y = d(\overrightarrow{aV_y})_{850}, \tag{10}$$

це $\overline{aV_x}$ и $\overline{aV_y}$ — зональная и меридиональная составляющие пока влаги в г/(м²·с); d — коэффициент пропорциональности исленное значение которого определено методом наименьших задратов (d=4,4).

Расчет интегральных потоков влаги по (10) и последующее равнение с наблюденными данными показало, что, действительно, и многих станциях между ними существуют расхождения, презшающие уровень случайной погрешности. Поэтому задав криэрий погрешности

$$\left| \frac{F_x^p - F_x^H}{F_x^H} \right| > 0.1; \left| \frac{F_y^p - F_y^H}{F_y^H} \right| > 0.1;$$

це F_x^p и F_y^p — рассчитанные по формуле (10) значения зональой и меридиональной компонент интегрального потока влаги, етрудно произвести корректировку наблюденных величин поэка влаги (F_x^μ и F_y^μ).

Откорректированные таким образом значения потоков воду ного пара использовались в рассмотренной выше процедуре иг терполяции. Для каждого пространственного поля (n=10) F_x F_y подбиралась своя поверхность тренда. В большинстве случае достаточную точность давал тренд третьего порядка, причем, ка и следовало ожидать, точность описания поля F_x оказывалас несколько выше точности описания поля F_y . При этом коэффициент множественной корреляции R изменялся в пределах 0,90–0,97, что соответствует 81-94% точности описания исходны полей.

В предположении о линейном изменении потока влаги межд станциями величина $\overrightarrow{div} \overrightarrow{F}$ может быть предвычислена как

$$\operatorname{div} \vec{F} = \frac{1}{2A} \sum_{j=1}^{k} L_{j} [F_{j} \sin (\alpha_{j} - \beta_{j}) + F_{j+1} \sin (\alpha_{j+1} - \beta_{j+1})], \quad (1)$$

где k— число аэрологических станций по периметру контура L_j — расстояние между двумя соседними $(j \ u \ j+1)$ станциями α_i — направление потока влаги; β_i — угол между меридианом L_i ; F_i — модуль потока водяного пара на j-ой станции. Первона чально было задано k=6. Затем производился отбор информа тивных точек на контуре в соответствии с критерием (7). В результате окончательные оценки $\dim F$ были получены при k=10

Составляющие водного баланса атмосферы над Норвежским морем $(A=1,4\cdot 10^6\,{\rm km^2})$ в мм/мес.

Таблица

		2 1			
Месяц	E	P	div \overrightarrow{F}	$\partial W/\partial t$	η
Январь	105	90	6	0	— 9
Февраль	100	85	29	0	14
Март	95	70	11	0	—14
Апрель	60	7 5	— 2 5 ′	1	— 9
Май	40	55	— 16	2	1
Июнь	35	60	— 23	2	4
Июль	30	65	4 0	. 1	- 4
Август	40	7 5	20	0	15
Сентябрь	60	85	— 31	-2	8
Октябрь	75	90	— 28	-2	—1 5
Ноябрь	90	95	4	-1	8
Декабрь	105	95	3	-1	—14
Год	835	940	—136		-31

Влагосодержание атмосферы над Норвежским морем (табл. 1 имеет отчетливо выраженный сезонный ход с максимумом в ав 106

сте и минимумом в январе. Изменения влагосодержания атмореры, рассчитанные с помощью центральных разностей, весьма алы. С февраля по июль наблюдаются их положительные велины, а в остальные месяцы года — отрицательные значения.

Что касается дивергенции потока влаги, то в холодный период

ода преобладают отрицательные значения \vec{F}_r что соответствует ревышению испарения над осадками. В теплый период наблюается конвергенция потока водяного пара, в результате осадки ревышают испарение. В среднем за год дивергенция потока лаги составила — 136 мм.

Внос влаги практически в течение всего года на акваторию lорвежского моря осуществляется в большей мере через южную в меньшей мере через западную границы контура, а выносится лага главным образом через Скандинавский полуостров и чатично в Баренцево море.

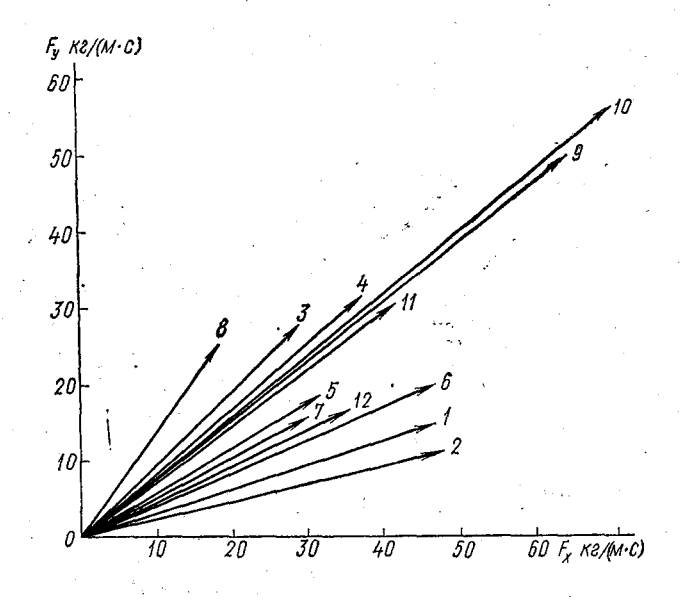


Рис. 2. Годограф осредненного для Норвежской энергоактивной зоны переноса влаги в атмосфере в кг/(м·с). Цифры 1—12— месяцы

Наглядной характеристикой сезонных изменений в переносе влаги может служить годограф осредненного для всей акватории моря интегрального потока водяного пара (рис. 2). Нетрудно видеть, что юго-западное направление переноса влаги является преобладающим в течение всего года. Зато существенные сезонные изменения проявляются в интенсивности переноса влаги.

Максимум его наблюдается в октябре и более чем в 2 раза превышает минимальные значения (июль, август) потока водяного

пара.

Несмотря на длительные экспедиционные исследования Норвежского моря (например, в рамках программы «ПОЛЭКС — Север») надежных средних многолетних месячных значений испарения до настоящего времени не получено. Исключение составляют лишь оценки испарения в районе судна погоды M, рассчитанные за 20-летний период наблюдений [21].

В связи с этим воспользуемся экспериментально обнаруженной связью испарения в районе судна M (E_M) с испарением с акватории всего моря (E_H), которая была получена на основе данных экспериментов «ПОЛЭКС — Север», выполненных в различные сезоны года (например [2]). Уже при осреднении, превышающем несколько суток, корреляция между E_H и E_M достигает 0,75—0,85. При этом значения E_H составляют 0,7—0,8 от E_M

На основе корреляционных связей между E_H и E_M были получены средние многолетние месячные значения E_H (табл. 1). Как и следовало ожидать, испарение имеет хорошо выраженный ход с максимумом в декабре — январе и минимумом в июле. Годовое количество испарения составило 835 мм, что хорошо согласуется с результатами работ [24, 26], но несколько превышает оценку испарения (705 мм), полученную в работе [22].

Осадки над океаном, как известно, относятся к числу наиболее трудноопределяемых характеристик водного баланса. На основе месячных карт осадков [7, 25] были получены их оценки для Норвежского моря (табл. 1). Максимум осадков отмечается в ноябре — декабре, минимум — в мае. В среднем за год над Норвежским морем выпадает 940 мм осадков. Это близко соответствует годовой оценке (965 мм) осадков для Норвежского моря в работе [6].

Поскольку компоненты уравнения ВБА определяются с некоторыми ошибками измерений и расчетов, то алгебраическая сумма всех компонент баланса обычно не равна нулю, т. е.

$$\sum_{i=1}^{N} X_i = \eta,$$

 X_i — i-ая составляющая уравнения баланса; N — число членов уравнения баланса; η — суммарная погрешность определения всех составляющих (невязка) баланса.

Величина η в самом общем виде может быть записана сле-

дующим образом:

$$\eta = \sum_{i=1}^{N} \lambda_i + \sum_{i=1}^{N} \delta_i + \sum_{k=1}^{M} \mu_k,$$

где λ_i и δ_i — систематическая и случайная погрешности i-ой компоненты уравнения баланса; μ_k — величина неучитываемой в урав-

нении баланса k-ой компоненты; M — число членов, неучитываеиых в уравнении баланса. Как указывалось выше, в уравнении ЗБА не учитываются изменения водосодержания атмосферы и дизергенция потока облачной массы.

Независимое определение всех членов уравнения баланса дает зозможность объективно оценить суммарную погрешность его сотавляющих. В качестве простейшего критерия оценки надежности составленных балансов можно использовать соотношение

$$\frac{|\eta|}{N} = \Delta, \tag{12}$$

$$N^{-1} \sum_{i} |X_{i}|$$

где знаменатель представляет среднее арифметическое из взятых по абсолютной величине всех членов уравнения баланса, а Δ — критерий надежности, величина которого зависит от цели исследования, периода осреднения уравнения баланса и некоторых других факторов. Можно, например, принять

$$\Delta = \left\{ egin{array}{ll} \Delta_{ exttt{доп.}}, & ext{если } \Delta_{ exttt{доп.}} = 0,10, \ \Delta_{ exttt{пр.}}, & ext{если } \Delta_{ exttt{пр.}} = 0,25, \end{array}
ight.$$

где $\Delta_{\text{доп.}}$ — допустимая погрешность, $\Delta_{\text{пр.}}$ — предельная погрешность. При $\Delta < 0,10$ составленные балансы можно считать надежными. При $\Delta > 0,25$, наоборот, составленные балансы являются ненадежными (малодостоверными). В промежутке $0,10 < \Delta < 0,25$ балансы можно считать относительно надежными. Если использовать данный весьма жесткий критерий Δ , то окажется, что голько для мая ВБА над Норвежским морем является надежным. Для величин $|\eta| > 10$ мм все балансы малодостоверны. Отчасти, такой результат обусловлен не только низкой точностью определения отдельных компонент баланса, но и очень малыми значениями изменений влагосодержания атмосферы. Поэтому в том случае, если в уравнении баланса есть члены, отличающиеся другот друга на порядок, то целесообразно вместо (12) использовать следующее соотношение:

$$\frac{|\eta|}{\left(N^{-1}\sum_{i=1}^{N}X_{i}^{2}\right)^{0.5}}=\Delta,\tag{13}$$

где знаменатель представляет среднее квадратическое всех членов уравнения баланса. При использовании (13) только для автуста ВБА является малодостоверным, а для мая, июня, июля его можно считать надежным.

В среднем за год величина невязки невелика, поскольку происходит частичная компенсация ее среднемесячных значений. Если предположить, что систематические погрешности отдельных компонент водного баланса не имеют годового хода, т. е. их внутригодовые изменения носят преимущественно случайный хара тер, то, очевидно, сумма систематических и случайных погрев ностей в среднем за год должна стремиться к нулю. Тогда год вая невязка будет практически характеризовать сумму неучить ваемых компонент баланса. В нашем случае

$$\widetilde{\eta} = \operatorname{div} \widetilde{\widetilde{F}}_{W}$$
,

где волнистая черта сверху означает суммирование за годово

интервал времени.

Таким образом, вынос влаги в жидкой фазе за пределы Ног вежского моря превышает ее внос на 31 мм/год. Естественно, чт оценить точность этой величины в настоящее время не предстагляется возможным. Однако достаточно обоснованно можно счттать, что вклад дивергенции потока жидкой влаги в формирование водного баланса атмосферы не является очень малым (отно

шение $\operatorname{div} \widetilde{\widetilde{F}}_{W}/\operatorname{div} \widetilde{\widetilde{F}} = 0.23$).

Если рассматривать перенос влаги за счет отдельных видо движения (адвективного и вихревого), то в среднем за год дивер генция адвективного потока водяного пара составляет — 76 мм а дивергенция вихревого потока влаги — 56 мм/год. В результате вклад вихревого движения в баланс влаги весьма значи

телен ($\operatorname{div} \tilde{F}'/\operatorname{div} \tilde{F} = 0,42$).

Внутригодовые изменения $\operatorname{div} \overrightarrow{F}$ в общем идентичны внутри годовым изменениям $\operatorname{div} \overrightarrow{F}$ с той лишь разницей, что максимур $\operatorname{div} \overrightarrow{F}$ наблюдается в сентябре. Что касается сезонного хода $\operatorname{div} \overrightarrow{F}'$ то хотя он выражен менее отчетливо, все-таки можно отметити высокие отрицательные значения $\operatorname{div} \overrightarrow{F}'$ летом, в то время как в другие сезоны года вклад вихревого притока влаги в форми рование водного баланса атмосферы резко уменьшается.

В заключение рассмотрим вопрос о влиянии Норвежской энер гоактивной зоны на формирование увлажнения ЕТС. При этом в данной работе ограничимся холодным полугодием (октябрь — март), в течение которого формирование осеннего увлажнения (P-E) и запаса влаги в снежном покрове (P-E) осуществляется исключительно из атлантических воздушных масс [10]

Поэтому естественно ожидать, что межгодовые колебания испарения в холодный период в Северной Атлантике должнь обязательно сказаться на межгодовых колебаниях осенне-зимних запасов влаги в почве и снежном покрове.

Как было показано в работах [15, 17], накопление влаги в крупных бассейнах к моменту половодья практически опреде-

яет речной сток в последующие месяцы до начала нового полоодья, т. е.

$$Q = f\left(\sum_{i=1}^{k} P_i - E_i\right), \tag{14}$$

де Q — речной сток; k — число месяцев, предшествующих началу оловодья.

Выражение (14) является прогностическим, причем, учитывая, то $P\gg E$, достаточно ограничиться учетом лишь осадков. В связи этим можно предположить, что колебания испарения в Северой Атлантике будут коррелировать с годовым стоком в крупых бассейнах.

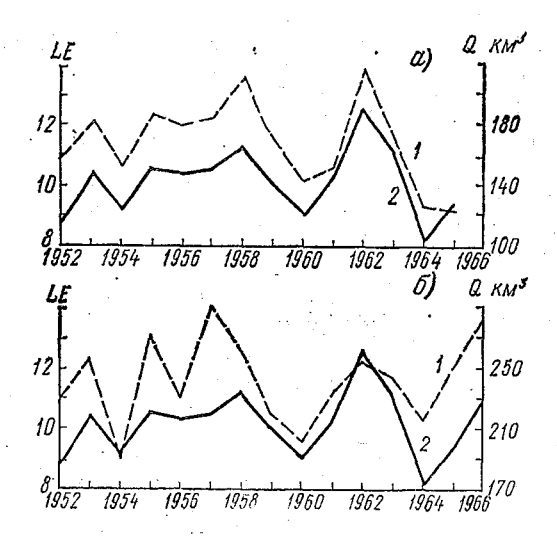


Рис. 3. Сопоставление средних за холодный (октябрь — март) период затрат тепла на испарение в районе судна M с годовым стоком крупных рек ETC:

a — суммарный годовой приток советских рек в Балтийское море $(A=6,61\cdot 10^5~{\rm km^2});$ 6 — годовой сток р. Волги — пос. Поляна им. Фрунзе $(A=1,22\cdot 10^6~{\rm km^2});$ 1-Q; 2-LE

На рис. З представлен межгодовой ход средних за холодный (октябрь — март) период затрат тепла на испарение LE в райнее судна погоды M с суммарным притоком речных вод в Балийское море ($A=6,6\cdot10^5$ км²) [8] и годовым стоком Волги — юс. Поляна им. Фрунзе ($A=12,2\cdot10^5$ км²). Значения LE и притока речных вод в Балтийском море имеют практически синхронный ход с полным соответствием экстремумов друг другу. В связи

с большей удаленностью от Норвежского моря соответствие Л и стока Волги несколько хуже, однако и в этом случае меж указанными характеристиками отмечается высокая положител ная корреляция. Синхронные колебания испарения в Норве ском море и годового стока на ЕТС обусловлены идентичны изменениями зональной циркуляции атмосферы: ее усиление с ответствует увеличению суммарной теплоотдачи, а следовательн увеличению испарения в Норвежской энергоактивной зоне [16

Таким образом, совершенно очевидно, что данные по испар нию с акватории Северной Атлантики могут служить важнь предиктором в схеме долгосрочного прогноза годового стока

ETC.

ЛИТЕРАТУРА

1. Алексеев Г. В., Николаев Ю. В., Романцов В. А. Норве ская энергоактивная зона. — В кн.: Итоги науки и техники ВИНИТИ. Атмос

океан, космос — прогр. Разрезы, 1985, 5, с. 45—62. 2. Арискина Н. В., Малинин В. Н. Теплообмен океана с атмосфрой в весенне-летний период. — В кн.: ПОЛЭКС-Север-76, ч. 1. Л., Гидромет

издат, 1979, с. 37-44.

3. Арискина Н. В., Васильев В. Ф., Лагун В. Е., Ром нов В. Ф. Исследование взаимодействия океана и атмосферы в энергоактивні зонах. Л., изд. ЛПИ, 1985, вып. 91, с. 93-101.

4. Башаринов А. Е., Гурвич А. С., Егоров С. Т. Радиоизлучние Земли как планеты. — М.: Наука, 1974.
5. Бирман Б. А., Ларин Д. А., Позднякова С. Г. Некоторі вопросы климатологии теплообмена в энергоактивных зонах Атлантическо океана. — Метеорология и гидрология, 1983, № 5, с. 79—91.

6. Брязгин Н. Н. Среднегодовое количество осадков в Арктике с уч

том погрешностей осадкомеров. — Тр. ААНИИ, 1976, т. 323, с. 40-74.

7. Брязгин Н. Н. Количество и повторяемость атмосферных осадков Северном Ледовитом океане. — Тр. ААНИИ, 1983, т. 381, с. 77—87.

8. Воскресенский К. П. Многолетняя изменчивость суммарно годового стока рек Советского Союза и его отдельных районов. - Тр. ГГ 1972, вып. 200, с. 88—102.

9. Девис Д. Статистика и анализ геологических данных. — М.: Ми

1977. — 572 c.

10. Жаков С. И. Общие закономерности режима тепла и увлажнени на территории СССР. — Л.: Гидрометеоиздат, 1982. — 230 с

11. Исследования по программе ПОЛЭКС. — Тр. ААНИИ, 1974, т. 312.

12. Крупномасштабные изменения состояния океана. Научные результат экспедиции ПОЛЭКС — Север-77—79. — Тр. ААНИИ, 1983, т. 382. — 150 с.

13. Малинин В. Н. Водный баланс атмосферы северного полушари для средних годовых условий. — Водные ресурсы, 1978, № 4, с. 5—20. 14. Малинин В. Н. О взаимосвязи атмосферной и наземной ветвей гирологического цикла. — Тр. ГГИ, 1985, вып. 296, с. 55—82. 15. Малинин В. Н. Предвычисление притока вод к крупным водоема

по внешним параметрам. — В кн.: Круговорот вещества и энергии в водо мах. Иркутск, 1985, вып. 6, с. 15-17.

16. Малинин В. Н., Смирнов Н. П. К исследованию очагов тепло

отдачи в Северной Атлантике. — Тр. ААНИИ, 1977, т. 362, с. 58—70. 17. Малинин В. Н., Смирнов Н. П. К построению прогностическо схемы стока крупных рек на основе аэрологической информации. — В кн.: Гид рометеорологическое обеспечение народного хозяйства, изд. ЛПИ, 1982, вып. 78 c. 67—78.

18. Материалы по климату и циркуляции свободной атмосферы над заружными странами северного полушария. — М.: Гидрометеоиздат, 1973. — п. 1, т. 3. — 233 с.

19. ПОЛЭКС — Север-76. ч. 1. — Л.: Гидрометеоиздат, 1979. — 251 с.

20. Угрю мов А. И. Тепловой режим океана и долгосрочные прогнозы голы. — Л.: Гидрометеоиздат. 1981. — 176 с.

21. Характеристики энергообмена океан — атмосфера. — Л.: Гидрометеоиз-

т, 1984. — 79 с. 22. Хрол В. П. Испарение с поверхности Северного Ледовитого океана. —

ААНИИ, 1976, т. 323, с. 148—155.

- 23. Шулейкин В. В. Связь между климатом Европы и переносом тепла Атлантике. Изв. АН СССР. Физика атмосферы и океана, 1968, 4, № 3, 243—261.
- 24. Bunker A. F. Computations of surface energy flux and annual air-sea eraction cycles of the North Atlantic ocean. Mon. Weath. Rev., 1976, N 104, 1122—1140.

25. Jaeger L. Monatskarten des Niederschlags für die ganze Erde. Ber.

. Wetterd., 1976, v. 18, N 139, 38 pp.

26. Lamb P. J., Bunker A. F. An annual march of the heat budget of north and tropical Atlantic oceans. J. Phys. Oceanogr., 1982, v. 12, N 12, 1388—1410.

IK 551.465.1

П. А. ВАЙНОВСКИЙ, Ю. Э. ТИТОВ (ЛГМИ)

О СТРУКТУРЕ ТЕРМОХАЛИННЫХ ПОЛЕЙ ДЕЯТЕЛЬНОГО СЛОЯ НОРВЕЖСКОЙ ЭНЕРГОАКТИВНОЙ ЗОНЫ

Норвежское море как энергоактивный район характеризуется исокой интенсивностью процессов массо-энергообмена, которые своем большинстве сосредоточены в деятельном слое моря [2].

В данной работе осуществлена попытка анализа набора основых термодинамических параметров деятельного слоя Норвежного моря как целостной многофакторной системы и выявления пичных пространственно-временных структур гидрологических элей в целях изучения возможностей параметризации главенвующих термодинамических процессов для решения задач диагыза и прогноза.

Исходя из понимания климата как статистического ансамбля остояний [1], предполагалось, что осредненные за длительный эриод времени гидрологические поля представляют собой одно наиболее вероятных состояний деятельного слоя. При этом жая стабильность подобного состояния деятельного слоя как элостной системы обеспечивается существенной устойчивостью

набора взаимосвязей различных параметров, что проявляет в общей балансировке системы и выполнении конкретных загнов сохранения. Таким образом, состояние системы определяет взаимосвязанными значениями комплекса разнообразных парметров, отражающих влияние ведущих внешних и внутренн факторов, при котором достигается общий баланс системы.

В качестве исходных термодинамических параметров состс ния использованы климатические среднесезонные поля темпер туры (T), солености (S), плотности (ρ) , концентрации кислоро (O_2) , представленные в одноградусном пространственном осре нении [6]. В набор исходных признаков включены также по модулей горизонтальных градиентов исходных переменных — Γ Γ_S , Γ_ρ , Γ_O , как косвенные характеристики интенсивности эне гомассообмена в деятельном слое. Основная задача работы с стояла в отыскании крупномасштабных пространственных стру турных единиц деятельного слоя Норвежского моря, их статист ческой параметризации в рамках описанного подхода с использванием аппарата многомерного статистического анализа.

Общая процедура решения поставленной задачи разделяла

на два основных этапа:

а) количественное описание взаимосвязей внутри системы пр знаков;

б) возможно более объективное выделение устойчивых пр странственно-временных структур по принципу однородности вза

мосвязей параметров внутри структурной единицы.

Применение на первом этапе модели факторного анализа [3, позволило преобразовать 8-мерное пространство исходных пр знаков к 2—4-мерному пространству статистически независимь безразмерных общих факторов, практически не исказив взаим связи между параметрами. Каждый из общих факторов опис вает группу высококоррелированных исходных параметров. Коэ фициенты корреляции общих факторов и исходных параметр приведены в табл. 1.

Факторная структура имеет отчетливо выраженный сезонна ход. Зимой взаимосвязи параметров существенно упрощены, пр чем поля начальных термодинамических характеристик (*T*, ρ , O_2) оказываются высокосвязанными между собой и опис ваются первым общим фактором; одновременно все градиентни поля сосредоточены во втором общем факторе. Таким образом, воздействие внешних и внутренних факторов деятельный сли в зимний период реагирует как единое целое, при этом набли дается высокая согласованность исходных полей. Очевидно, п добным процессом, охватывающим всю толщу деятельного сли на акватории Норвежского моря, может быть прежде всего ко вективное перемешивание.

В летний сезон факторная структура существенно усложнена взаимосвязи полей описываются уже 3—4 общими факторам

ричем влияние термической и соленостной компонент разнесено по акторам, что является результатом значительной рассогласованости пространственной изменчивости полей температуры, солености, потности, кислорода, наиболее резко проявляющейся в поверхостном слое. Сосредоточение подобных аномалий непосредственно приповерхностном слое 0—30 м косвенно указывает на причну— интенсификацию взаимодействия океана и атмосферы, корое усиливает действие различных физических механизмов, пределяющих разнонаправленную изменчивость термохалинных олей (пространственные неоднородности поля ветра, осадков, спарения и т. д.).

Таблица 1
Корреляция исходных переменных и общих факторов

Переменные	Зима				Лето					
	горизонт 0 м		горизонт 200 м факторы		го	ризонт	горизонт 200 м			
					. (ракторі	факторы			
	I	11	I	II	I	II	III	I	II	
T	0,9	0,1	0,9	-0,1	 0,1	0,3	0,8	0,9	0,0	
s	0,0	-0,9	0,7	-0,1	0,9	0,0	0,1	0,8	— 0,1	
ρ	0,5	-0,3	-0,9	0,1	0,7	0,2	-0,5	-0,9	0,0	
O ₂	0,9	0,0	-1.0	0,0	0,1	0,2	-0,9	-1,0	0,0	
Γ_T	0,9	-0,1	-0,5	0,9	0,1	0,9	-0,2	—0, 2	0,9	
$\Gamma_{\mathcal{S}}$	-0,1	0,9	0,3	0,5	0,9	0,1	0,1	0,2	0,5	
$\Gamma_{ m p}$	-0,1	0,9	0,1	0,9	-0,9	0,0	0,3	0,1	0,0	
Γ_{O_2}	0,9	0,2	-0, 6	0,8	0,0	0,9	0,3	—0, 3	0,9	
тносительные клады										
акторов (%)	43	42	. 49	32	37	2 2	27	42	38	

Подобная особенность формирования набора общих факторов охраняется и для осеннего сезона (в целом сходного по факторой структуре с летним сезоном) и отчетливо прослеживается о глубины 125 м, что, видимо, вполне закономерно, если принять о внимание значительную интенсификацию штормовой деятельости в данный сезон.

В весенний сезон распределение термической и соленостной омпоненты по отдельным факторам отмечается лишь в слое —30 м. В нижней части деятельного слоя факторная структура охраняется практически неизменной, следовательно, взаимосвязи сходных параметров тоже постоянны в течение года.

Пространственная типизация термодинамических структ Норвежского моря проводилась с помощью автоматической кл сификации по общим факторам, полученным по факторной моде для каждого сезона. Использована процедура иерархической агмерации с оценкой меры сходства на основе евклидовой метри [3]. Изменчивость факторной структуры от сезона к сезону и глубине нашло свое отражение и подтверждение в результат районирования деятельного слоя (рис. 1).

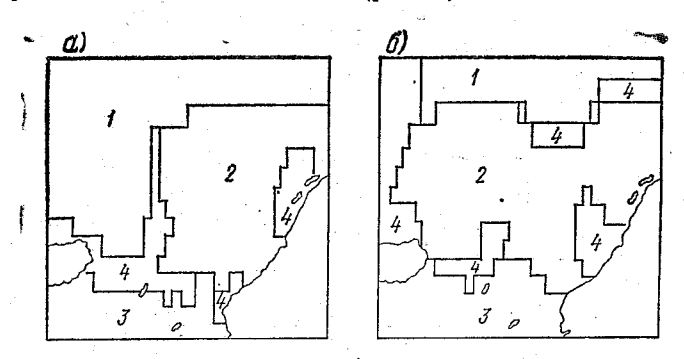


Рис. 1. Районирование Норвежского моря: a — зима; δ — лето; I — однородные районы

Пространственное положение крупных районов 1—3, их ст тистические характеристики (табл. 2) позволяют идентифицир вать данные районы как зоны расположения основных воднь масс Норвежского моря. Их положение качественно удовлетв рительно согласуется с известными результатами районированиморя.

Таблица

Статистические характеристики отдельных классов

Класс Т о			Вима	Лето					
	T °C	σ _{T}	S º/00	σ _S	T °C	σ_T	S %00	$\sigma_{\mathcal{S}}$	
1	0,1	0,3	34,93	0,20	0,9	0,5	34,95	0,31	
2	3,3	0,5	35,01	0,19	5,3	0,8	35,03	0,18	
. 3	7,8	0,7	35,13	0,63	8,9	0,4	35,17	0,44	
4	4,6	2,6	35,09	0,86	6,2	3,9	34,98	1,20	

Важной особенностью полученных результатов автоматической классификации являются выделенные в отдельный клас 116

реходные зоны интенсивной трансформации вод, что позволяет эдположить наличие своеобразной, отличной от окружающих нонов, взаимосвязи термодинамических параметров внутри онтальных зон.

Построенные локальные факторные модели для отдельных ассов подтверждают это предположение: в зоне фронта, в отние от водных масс, преобладающий вес имеют градиентные раметры, что является следствием перестройки полей во фронныной зоне, сопровождающейся интенсивными взаимоперехоми различных видов энергии.

Изменчивость пространственного положения однородных райов от сезона к сезону наиболее отчетливо прослеживается на зерхностных горизонтах, а с глубиной амплитуда пространвенных колебаний уменьшается. Стабильное положение клигических фронтальных зон в нижней части деятельного слоя рвежского моря определяется видимо не атмосферными принами, имеющими как правило отчетливо выраженный сезонй ход. Принимая во внимание совпадение факторных структур отдельных горизонтах в слое 150—1000 м, а также — высокую реляционную связь положения фронтальных зон с рельефом (R=0.42-0.70), видимо, следует считать, что положение онтов в деятельном слое обусловлено общей направленностью эмодинамических процессов в глубинном слое вод. Тогда как юсительно короткопериодная изменчивость атмосферных просов вызывает пространственную изменчивость положения фронтьных зон в течение года в слое 0—50 м.

Связанное с влиянием атмосферы усиление пресного стока мариковых вод приводит, в конечном итоге, к образованию на льфе Скандинавии характерного фронтального пятна, прослеваемого в слое 0—150 м. Факторная модель для данного резна выявляет подавляющее влияние солености на формирование имосвязей между параметрами, которые замыкаются в единую тему через посредство солености.

Процессы, подобные рассмотренному, определяют усложнение кторной структуры в поверхностном слое, однако индивидуаль- влияние изменчивости солености носит локальный характер. целом же для деятельного слоя основной вклад в формирова- взаимосвязей термохалинных полей вносит изменчивость темратуры воды. А температура поверхности моря, как показалитистический анализ, наиболее четко среди других параметров ражает состояние деятельного слоя.

К аналогичному результату приводит анализ пространственноеменной изменчивости энтальпии деятельного слоя Норвежского ря.

Известно, что на энтальпию 200-метрового слоя Норвежского ря значительное влияние оказывает как тепловое взаимодейние с атмосферой, так и внутриводный адвективно-турбулентный плообмен. Выполненные к настоящему времени исследования

энтальний вод Норвежского моря касаются, главным образом средних многолетних или сезонных характеристик для весны лета, при этом анализ сезонной изменчивости энтальнии проведе при недостаточном количестве данных и не по всей акватории В других работах рассматривается энтальния в локальных райснах и для определенных лет [5].

В данной работе исследуется сезонная изменчивость энтальни вод с использованием значительно большего количества исходны данных и мелкой сетки пространственного осреднения. Расчет эг тальпии в узлах регулярной сетки с пространственным шаго

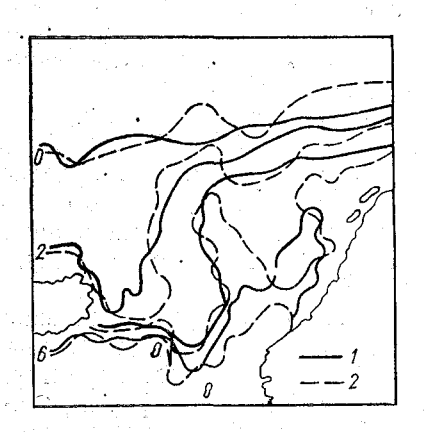
в 1° проводится по соотношению

$$Q = \rho \cdot c_p \int_0^z T dz,$$

где ρ — плотность; c_p — удельная теплоемкость морской водь

T — температура; z — глубина.

Выполненные расчеты показывают значительную изменчивост энтальпии вод от сезона к сезону (рис. 2). Во все сезоны област высоких значений расположена в южной и юго-восточной, а никих — в северной и северо-западных частях Норвежского мор:



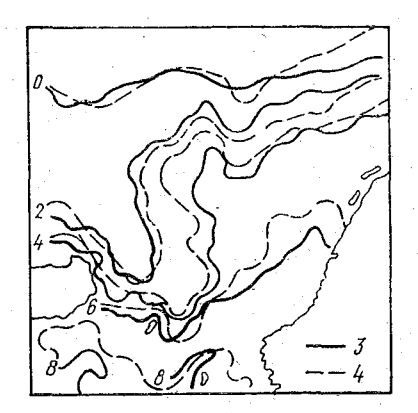


Рис. 2. Среднесезонные значения энтальпии вод слоя 0—200 м (10^9 Дж/м²): 1— зима; 2— лето; 3— весна; 4— осень

Важной особенностью пространственной структуры энтальпі вод, проявляющейся во все сезоны, является наличие высоких градиентов в Фареро-Исландском проливе и к северо-востоку Фарерских островов. Максимальные значения энтальпии вод с мечаются весной от 4,2·109 до 5,6·109 Дж/м² на 1° меридиан в остальные сезоны в среднем они составляют от 1,6·109,

2·109 Дж/м² на 16 меридиана. К северу от параллели 70° с. ш., нулевого меридиана до 10° в. д., отчетливо проявляется область ниженных значений энтальпии вод, очерченная с запада на сток высокими градиентами, максимальные значения которых блюдаются осенью $2.5 \cdot 10^9 - 4.3 \cdot 10^9$ Дж/м² на 1° параллели. імой эта область не выражена. Такое расположение указанных ластей определяется широтным ходом притока солнечной радиаи, а также адвекцией теплых Атлантических вод Северо-Атланческим течением, выносом холодных вод Восточно-Гренландим течением, наличием крупного антициклонического круговота в северо-восточной части Норвежского моря. От зимы к весне тальпия вод повышается как в районе Фареро-Исландского олива, так и в северной части Норвежского моря от 0,2·10° до 4·109 Вт/м². Однако на большей части исследуемой акватории мечается уменьшение энтальпии вод, ее изменчивость в сред- $_{\rm M}$ составляет $0.3 \cdot 10^2 - 0.6 \cdot 10^2$ Вт/м², причем наибольшие знания наблюдаются к востоку от нулевого меридиана и севернее 1° с. ш. и составляют $2,0\cdot 10^2-2,8\cdot 10^2$ Вт/м². Такое соседство гагов теплонакопления и теплоотдачи говорит о сложных проэссах в тепловом режиме в зимне-весенний период.

Усиленный радиационный прогрев поверхностного слоя проходит от весны к лету. Почти на всей акватории Норвежского оря энтальпия вод повышается на $0.2 \cdot 10^2 - 0.7 \cdot 10^2$ Вт/м². Полшенные значения энтальпии вод отмечаются в восточной части орвежского моря и вдоль северного побережья Исландии. олько в центральной части акватории и во фронтальной зоне ареро-Исландского пролива наблюдаются сравнительно небольие области пониженной энтальпии вод. От лета к осени уменьсается радиационный прогрев и одновременно активизируется иклоническая деятельность, что должно способствовать понижеию энтальпии вод. Однако в центральной, восточной и юго-заадной частях Норвежского моря продолжается теплонакоплеие, достигающее $0.8 \cdot 10^2 - 2.2 \cdot 10^2$ Вт/м² и связанное, по-видиому, с поступлением теплых вод Северо-Атлантического течения,

Интенсивное выхолаживание верхнего 200-метрового слоя роисходит от осени к зиме, когда приток солнечной радиации инимален. Как видно из рис. 2, в этот период наибольшая плоцадь Норвежского моря занята отрицательными значениями энальпии вод. Области теплонакопления сохранились севернее и осточнее о. Исландия, а также к востоку от нулевого меридиана. la общем фоне теплоотдачи океана в атмосферу, характерной ля холодной половины года, пространственное положение очаов притока тепла, вероятно, определяется адвективно-турбулента также максимально развитой циклонической ым обменом, еятельностью, препятствующей интенсивному выхолаживанию

еятельного слоя.

Для количественной оценки адвективно-турбулентного обмена, ак фактора, обуславливающего изменчивость энтальпии вод в очагах потери и притока тепла, были проведены расчеты по сс отношению $Q_{\rm ar} = \Delta \ Q - Q_w$, где Q_w — тепловой баланс поверх ности океана.

Расчеты адвективно-турбулентного обмена, представленны в табл. 3, показывают, что высокие значения его наблюдаютс в зоне субполярного фронта — в районах Фареро-Исландског пролива и вдоль нулевого меридиана к северу от 70° с. ш. во вс сезоны.

Tаблица $Q_{a_{
m T}}$ (10 2 $B_{
m T}/M^2$) в Норвежском море

Район	Сезон	$Q_{a au}$
Фареро-Исландский пролив	зим а	-1,0
	весна	0,7
	лето	1,4
	осень	-0,8
Антициклонический круговорот	зима	-0,4
φ=71° с. ш., λ=5 — 7° в. д.	весна	0,5
	лето	0,6
	осень	-0,4
Области повышенных градиентов	зима	-1,6
φ=68—73° с. ш., λ=0°,	весна	0,9
φ=68—73° с. ш., λ=8° в. д.	лето	1,9
	осень	-0,3

Выполненные расчеты указывают на преобладающую рол адвективно турбулентного обмена в изменчивости энтальпии воз в 200-метровом слое в районах субполярного фронта и зонах по вышенных градиентов энтальпии вод. Это указывает на то, что в других районах с меньшей изменчивостью энтальпии вод (севе ро-западная часть Норвежского моря) существенное влияние на изменчивость оказывает тепловой баланс поверхности. Это в свок очередь создает трудности для анализа и прогнозов изменчивости энтальпии вод в этих районах по изменчивости поверхностной температуры.

Таким образом, в результате проведенного статистического анализа деятельного слоя Норвежского моря как многофакторног системы выявлены особенности структуры термохалинных полей

казана своеобразность взаимосвязей полей внутри конкретного

емента структуры.

Статистическая параметризация взаимосвязей основных полей і основе модели факторного анализа позволила количественно гисать взаимосвязи исходных параметров через общие факторы далее, районировать акваторию на однородные по общим фак-

рам районы.

Впервые, на основе статистического анализа фронтальные ны объективно выделены в отдельный структурный элемент эятельного слоя и показано присущее им своеобразие связей пааметров. Результатами статистического анализа подтверждается от факт, что температура воды и, в частности, температура поерхности Норвежского моря, являются информативными параетрами для описания структуры деятельного слоя.

Представляется целесообразным использовать полученные реультаты при решении задач диагноза и прогноза элементов струк-

уры деятельного слоя данного региона.

ЛИТЕРАТУРА

1. Монин А. С. Прогноз погоды как задача физики.— М.: Наука, 1969.—

2. Океанология. Физика океана. Т. 1. Гидрофизика океана. — М.: Наука,

978. — 454 c.

3. Александров В. В., Горский Н. Д. Алгоритмы и программы

груктурного метода обработки данных. — Л.: Наука, 1983. — 208 с. 4. Никифоров Е. Г., Шпайхер А. О. Закономерности формирования рупномасштабных колебаний гидрологического режима Северного Ледовитого кеана. — Л.: Гидрометеоиздат, 1980. — 267 с.

5. Романцов В. А., Смирнов Н. П. О тепловом состоянии вод Нор-ежского моря. — Тр. ААНИИ, т. 382, 1983, с. 84—100.

6. Levitus S. Climatological Atlas of the World ocean. - NOAA Prof. apers, 1982, N 13, 172 p.

ДК 551.465.41

А. С. АВЕРКИЕВ, Н. Л. ПЛИНК (ЛГМИ)

ЭНЕРГЕТИКА ФРОНТАЛЬНОГО ВИХРЯ в южной части норвежского моря

Экспериментальному исследованию вихрей в океане в настояцее время уделяется большое внимание. Однако в основном эти исследования проводятся в субтропических и средних широтах [2, 4]. Между тем вихри высоких широт, хотя и отличаются

меньшей интенсивностью и размерами, в существенной степен определяют синоптическую изменчивость основных гидрофизиче ских полей в зоне крупномасштабных океанических фронтов, ис следование которой имеет важное практическое значение в связ с задачей промысловых прогнозов. В 6-ом Атлантическом рейс УЭС ЛГМИ «Профессор Сергей Дорофеев» проводились натур ные исследования структурных особенностей полярной фронталь ной зоны. С этой целью была выполнена двухкратная ($12-16.10\,$ $_1$ 20-22.10.1985 г.) съемка полигона в южной части Норвежского моря. Полигон располагался к северо-востоку от Фарерских ост ровов между 62-64° с. ш. и 4-7° з. д. Расстояния между гидро логическими станциями составили 20 миль по меридиану и 25-28 миль по параллели. Между гидрологическими станциями вы полнялись измерения температуры поверхностного слоя с по мощью буксируемого датчика температуры и радиометрически измерения температуры поверхности воды. Время выполнения каждой съемки составило в среднем около 3 суток. Интервал между первой и второй съемками составил 8 суток.

Как показали результаты предыдущих экспедиционных иссле дований во 2 и 4-ом рейсах УЭС «Профессор Сергей Дорофеев» размеры вихревых образований в зоне полярного фронта колеблются в довольно широком диапазоне, от 10 до 40—50 миль. Опи сываемый эксперимент, очевидно, дает возможность выявить средние и крупные вихри из указанного диапазона.

Для более подробного анализа рассмотрим поверхности 50 и 300 м. Первая характеризует верхний 100-метровый слой, вторая — более глубокий слой, примерно от 100 до 500 м. Распределение температуры и солености на горизонте 50 м во время первой (a, δ) и второй (a, ϵ) съемок представлено на рис. 1 В северо-западной части полигона в поверхностных слоях расположены более холодные $(5,5-6,5^\circ)$ и менее соленые (34,9%) воды восточно-гренландского происхождения, а в южной и юго-восточной — более теплые $(8-9^\circ)$ и более соленые (S=35%) воды Северо-Атлантического течения. Между ними расположена фронтальная зона, которая в целом по Норвежскому морю проходит с юго-запада на северо-восток, испытывая севернее Ферерских островов «прогиб» под влиянием вод Восточно-Исландского течения [1].

Динамическая неустойчивость фронтальной зоны в момент выполнения первой съемки характеризуется наличием меандрирования основного потока, проявляющегося в полях температуры и солености взаимным проникновением различных водных масс в виде «языков» холодной (распресненной) и более теплой (соленой) воды (рис. $1, a, \delta$). Распределение гидрологических характеристик при повторной съемке (рис. $1, \theta, \epsilon$) показывает, что дальнейшее развитие неустойчивости приводит к усилению флюктуаций среднего потока и отрыву холодного (распресненного) вих-

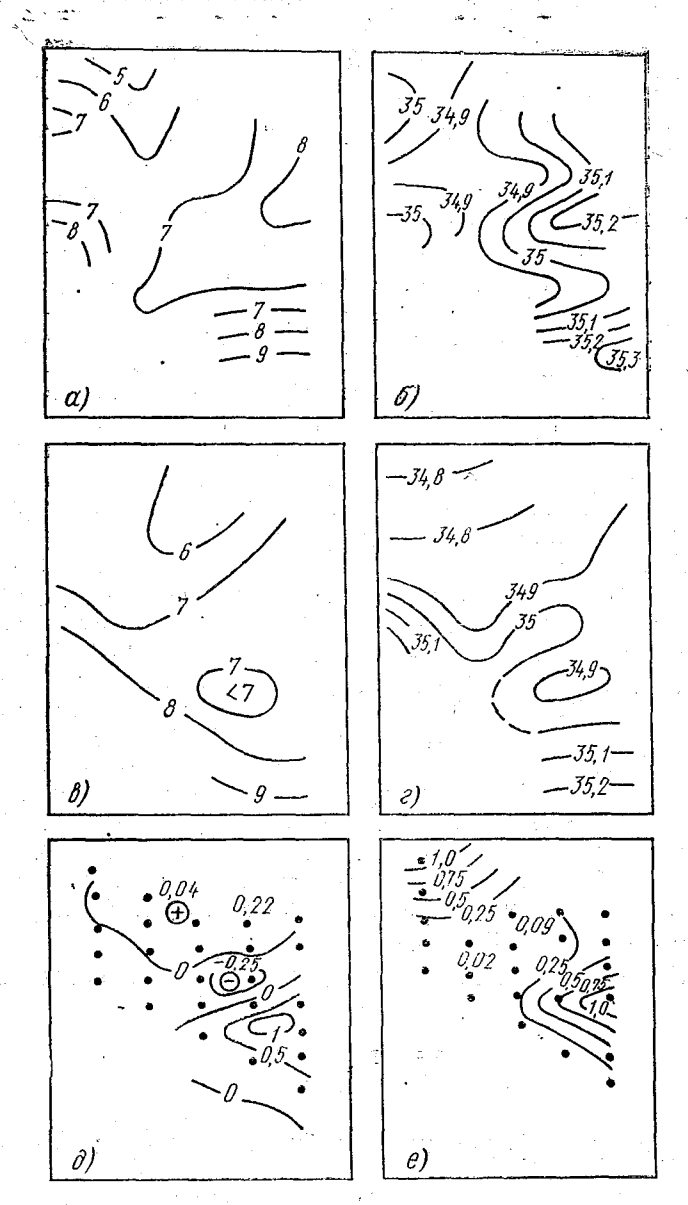


Рис. 1. Распределение температуры и солености на полигоне во время первой (a,δ) и второй (a,ϵ) съемок. Бароклинный вклад в поток энергии неустойчивости (нормированный на плотность, $J_2 \times 10^7 \, \mathrm{m}^2/\mathrm{c}^3)$ (∂) . Полная энергия (нормированная на плотность), полученная вихревым полем от среднего потока $(J_3 \times 10^2 \, \mathrm{m}^2/\mathrm{c}^2)$ (e). Горизонт 50 м

ревого образования. Образование и локализация холодного вихря в южной части полигона подтверждается появлением в полях температуры и солености замкнутых изолиний (изотермы 7° и изогалины 34,90‰). Анализ вертикальной структуры термохалинных полей показывает, что выделенный вихрь прослеживается дс глубины более 500 м.

С целью более детального исследования динамической структуры фронтальной зоны, по материалам обеих съемок выполнены расчеты динамической топографии и скоростей течений динамическим методом (рис. 2, 3). Расчет проводился относительно поверхности 500 дб. Результаты расчетов показывают, что во время первой съемки поток, направленный в среднем на восток, юговосток, испытывает в центральной части полигона отклонения от генерального направления, образуя меандры, достаточно четко прослеживающиеся в поле скорости, относящемуся к горизонту 50 м (рис. $2, \delta$). На горизонте 300 м на южной границе полигона направление потока совпадает с подповерхностным, а в северовосточной части отмечается наличие слабой антициклонической циркуляции. Сопоставление результатов с данными повторных наблюдений показывает, что за промежуток времени между съемками произошла существенная перестройка поля скорости, охватившая весь 500-метровый слой. В подповерхностном слое (z==50 м) (рис. $2, 6, \epsilon$) поток имеет явно выраженную неоднородную структуру, характеризующуюся появлением системы трех вихревых образований: антициклонического в северо-восточной части полигона (при съемке зафиксирована только его часть) и двух циклонических. В зонах этих образований по сравнению с моментом первой съемки абсолютные значения скоростей возросли на 30-50%, а их направление в ряде точек изменилось на противоположное. В глубинном слое (z=300 м) также наблюдается рост абсолютных значений скоростей, причем более существенный, чем в подповерхностном слое (масштаб скоростей на рис. 3, б отличается в 2 раза).

Критерием неустойчивости среднего потока является [2, 3, 5]

$$s = (L_{\mathbf{R}}/L) \leqslant 0, \tag{1}$$

где L_{R} — радиус деформации Россби; $L_{\mathrm{R}} = \frac{N \cdot H}{f}$; N— частота

Брента — Вяйсяля; f — параметр Кориолиса; H, L — характерные вертикальный и горизонтальный масштабы. Для наших конкретных условий: N=0,5 · 10^{-2} с $^{-1}$, f= 10^{-4} с $^{-1}$, H= 10^3 м, L= 10^5 м, критерий s составляет величину порядка 0,3. Попытаемся оценить энергетику циклонического вихря, сформировавшегося в юго-восточной части полигона.

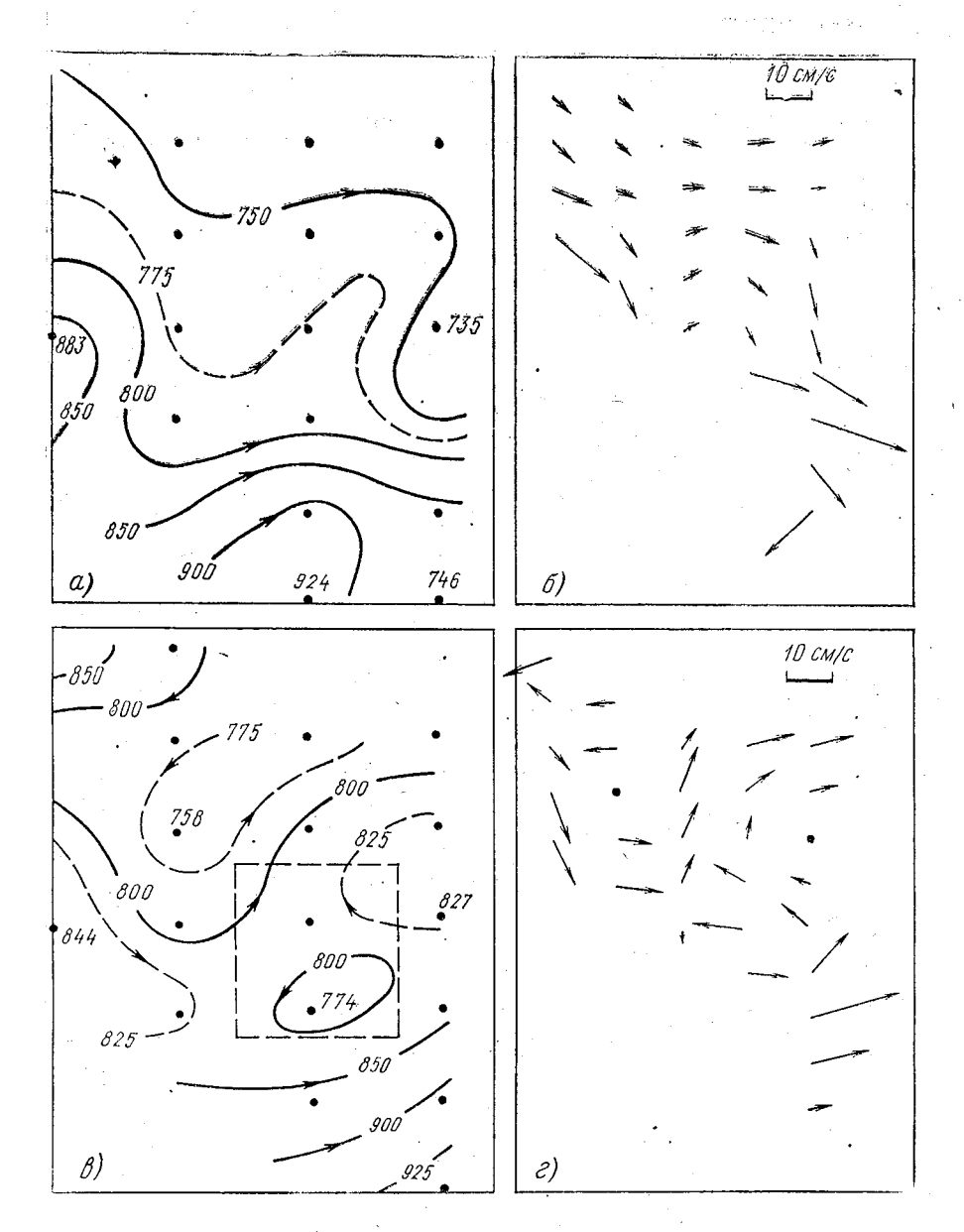


Рис. 2. Аномалия динамической высоты (дин. мм) и скорость течения (см/с) на горизонте 50 м во время первой (a, δ) и второй (a, ϵ) съемок. (Пунктиром выделен район, для которого вычислялись интегральные энергетические характеристики вихря)

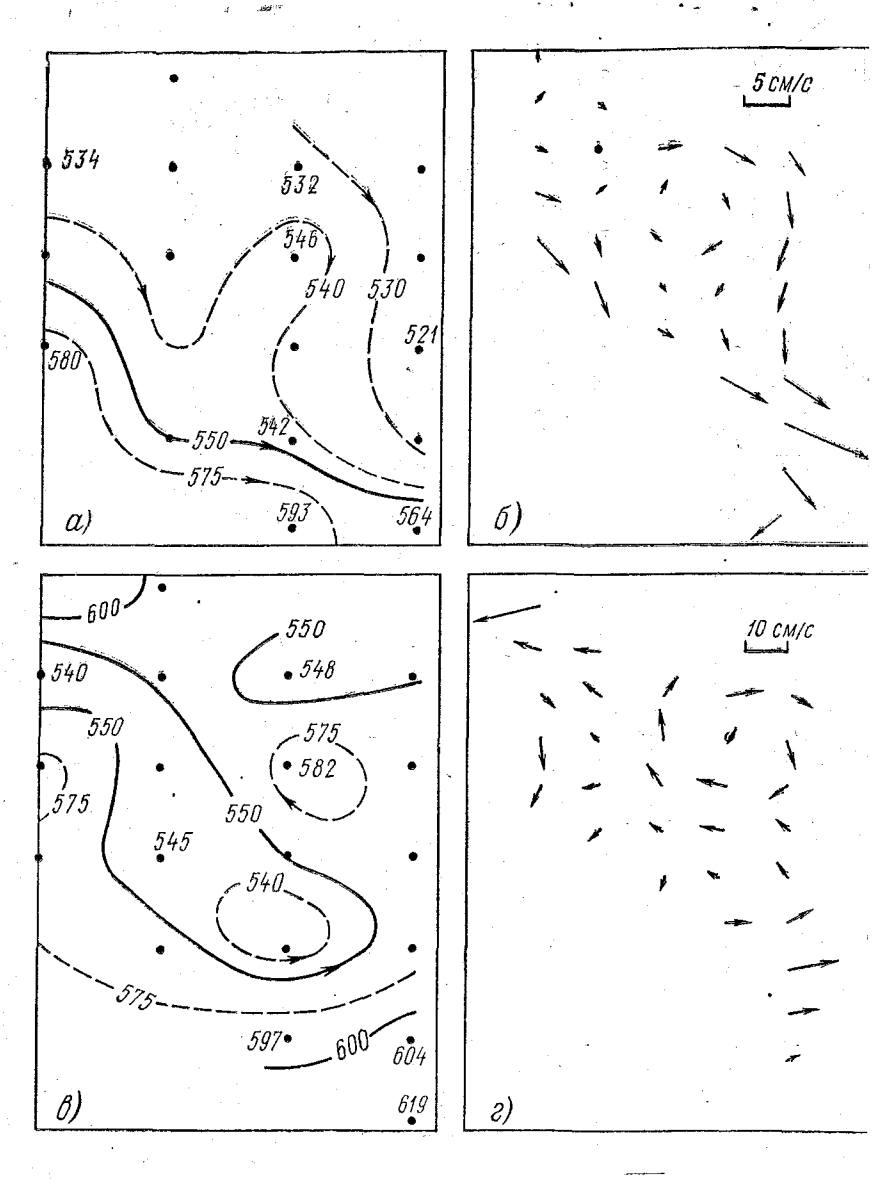


Рис. 3. Аномалия динамической высоты (дин. мм) и скорость течения (см/с) на горизонте 300 м во время первой (a, δ) и второй (a, ϵ) съемок

Уравнение для полной энергии вихревого поля получается осле интегрирования по объему линеаризированного квазигеогрофического уравнения потенциальной завихренности [3]. После яда преобразований оно имеет вид [5]

$$\frac{\partial E}{\partial t} = \rho_0 \int \int \int \left[\underbrace{\frac{\partial \psi}{\partial x} \frac{\partial \psi}{\partial y} \frac{\partial \overline{U}}{\partial y}}_{J_1} + \underbrace{\frac{1}{S^*} \frac{\partial \psi}{\partial x} \frac{\partial \psi}{\partial z} \cdot \frac{\partial \overline{U}}{\partial z}}_{J_2} \right] dx dy dz. \tag{2}$$

Іри этом полная энергия возмущения определяется как

$$E = \frac{1}{2} \rho_0 \iint_{z} \left[\overline{\left(\frac{\partial \psi}{\partial x} \right)^2 + \left(\frac{\partial \psi}{\partial y} \right)^2 + \frac{1}{S^*} \left(\frac{\partial \psi}{\partial z} \right)^2} \right] dx dy dz, \qquad (3)$$

де ρ_0 — среднее значение плотности $(1,025\cdot 10^3 \text{ кг/м}^3)$; ψ — аномания функции тока (отклонение от невозмущенного состояния); $x = N^2/f^2$ — безразмерный параметр; x, y, z — оси декартовых оординат, направленные на восток, север и вертикально вверх оответственно; \overline{U} — средняя скорость невозмущенного потока.

Будем считать, что невозмущенный поток характеризуется езультатами первой съемки, отличающейся, как было отмечено ыше, отсутствием четко выраженной вихревой структуры. Тогда номалии компонентов скорости и плотности будут представлять обой разность между компонентами скорости и значениями плотности, полученными во время второй и первой съемок:

$$U=U_2-U_1; V=V_2-V_1; \rho=\rho_2-\rho_1; \overline{U}=U_1; \overline{\rho}=\rho_1.$$
 (4)

(ак указано в [2, 3, 5], подинтегральное выражение в уравнении 2) представляет собой сумму источников энергии возмущения а счет баротропной (J_1) и бароклинной (J_2) неустойчивости средего потока. Используя определение функции тока, уравнение идростатики и соотношение термического ветра (геострофичекое приближение) и следуя [3, 5], получаем для подинтегральных выражений в уравнениях (2) и (3) следующие соотношения:

$$J_3 = (V_2 - V_1)^2 + (U_2 - U_1)^2 + \frac{g^2}{\rho_0^2 N^2} (\rho_2 - \rho_1)^2, \tag{5}$$

$$J_1 = -(V_2 - V_1) (U_2 - U_1) \frac{\partial U_1}{\partial y}, \qquad (6)$$

$$J_2 = -\frac{g^2}{\rho_0^2 N^2} (V_2 - V_1)(\rho_2 - \rho_1) \frac{\partial \rho_1}{\partial y}.$$
 (7)

Среднее значение частоты Брента — Вяйсяля по данным обеих съемок оказалось равным $0.46\cdot 10^{-4}~{\rm c}^{-1}$. Сопоставление рассчитанных величин J_1 и J_2 показало, что бароклинный вклад в энергию

неустойчивости превышает баротропный практически на п рядок. Распределения величин J_2 и J_3 (нормированных на пло ность) на горизонте 50 м показаны для примера на рис. 1, д, Максимальные значения J_2 и J_3 , как видно из рисунка, совпадак с областью сформировавшегося циклонического вихря в юго-в сточной части полигона. Область максимальных значений J_2 в горизонте 300 м смещена относительно центра вихря на z=50к юго-востоку, что свидетельствует о наклоне оси в сторону ег смещения по потоку. Для района, охватывающего выделенны циклонический вихрь, по формулам (2) и (3) были вычислен интегральные характеристики. Так как расчеты поля скорост проводились только для двух горизонтов, вертикальные профил $J_1,\ J_2,\ J_3$ представлялись ступенчатыми функциями глубины. Рас считанные значения интегральных энергетических оценок пред ставлены в таблице. Интегральная полная энергия, поступивша от среднего движения к вихрю, по порядку величины совпал с оценками, полученными в [4], но оказалось несколько меньше чем в [5]. Рассмотренный вихрь по классификации, предложег ной в [4], относится к пограничным вихрям струйных течени и фронтов. Его диаметр составляет около 50 км, перепад темп« ратуры от центра к периферии — около 2°, направление смещения вдоль фронта на восток, юго-восток. Отрицательные значения ба ротропного вклада в поток энергии неустойчивости в принцип должны означать, что произошло усиление среднего потока, од нако, учитывая оценочный характер выполненных расчетов и ма лые значения самого баротропного вклада, этот вывод нельз считать достаточно достоверным.

Интегральные значения полной энергии, полученной вихрем от среднего поток (Дж $\times 10^{12}$), и потоков энергии за счет баротропной (BT) и бароклинной (BC неустойчивости (Дж/с $\times 10^6$)

Слой, м	Δ <i>E</i>	$\frac{\partial E_{BT}}{\partial t}$	$rac{\partial E_{BC}}{\partial t}$	$\frac{\partial E}{\partial t}$	Δt, сут	
0—100	9,2	-2,6	12,3	9,7	10,9	
100-500	27,7	-0,8	32, 3.	31,5	10,2	
0500	36,9	-3,4	44,6	41,2	10,4	

В заключение оценим характерный масштаб времени Δt , не обходимого для образования вихря. Считая, что во время первогожемки поток был невозмущенный, следуя [5], можно записать

$$\Delta t = \frac{\Delta E}{\partial E/\partial t}.$$
 (8)

олученная оценка Δt , равная 10—11 суткам, согласуется с оценами, приведенными для вихрей указанного типа в [4], а также ременем между выполненными съемками.

ЛИТЕРАТУРА

1. Атлас условий промысла сельди в Норвежском и Гренландском морях. — алининград, 1962, с. 52—69.

2. Каменкович В. М., Кошляков М. Н., Монин А. С. Синопти-

еские вихри в океане. — Л.: Гидрометеоиздат, 1982. — 264 с.

3. Педлоски Дж. Геофизическая гидродинамика. Т. 2.— М.: Мир, 984.— 416 с.

4. Федоров К. Н. Об эволюции вихрей в океане. — В сб.: Вопросы

инамики океана. Л., Гидрометеоиздат, 1984, с. 128—142.

5. Thomson R. E. A Cyclonic Eddy over the Continental Margin of Vanbuver Island: Evidence for Baroclinic Instability. Journ. Phys. Ocean., 1984. ol. 14, pp. 1326—1348.

/ДК 551.465

В. П. КОРОВИН, А. И. УГРЮМОВ (ЛГМИ)

О РОЛИ АТМОСФЕРНОЙ ЦИРКУЛЯЦИИ И ДРЕЙФОВЫХ ТЕЧЕНИЙ В ФОРМИРОВАНИИ ВОДООБМЕНА В ДАТСКИХ ПРОЛИВАХ

Одним из важнейших факторов, формирующих гидродинамический, гидрологический и гидрохимический режим Балтийского моря, является водообмен через Датские проливы. Водообмен составляет более 60% объема вод в водном балансе Балтики и существенно изменяется как в течение года, так и от года к году.

Целью настоящей работы и является исследование роли гидрометеорологических факторов, определяющих водообмен между Северным и Балтийским морями, анализ влияния локальных ветров на формирование дрейфовых течений, а также выявление роли дрейфовых течений в суммарном водообмене. В работе рассмотрены системы течений, определяющих гидрологический режим в проливах; исследовано влияние синоптических условий на изменение горизонтальных составляющих скоростей течений на поверхности; дан количественный анализ дрейфовых течений и выявлена целесообразность их расчета при изучении динамики вод в Датских проливах.

Водообмен Балтийского моря с Северным осуществляется в результате взаимодействия водных масс этих морей с атмо-

сферными процессами. При этом выделяются два пространстве ных масштаба воздействия атмосферы на процессы водообмен локальное взаимодействие ветровых потоков с водной повер ностью непосредственно над зоной проливов и крупномасшта ные изменения атмосферных процессов, развивающихся, с однестороны, над общирной материковой областью Европейского ко тинента, включая внутриматериковое Балтийское море, и, с др гой стороны, над прилегающей частью Атлантического океан включающей окраинное Северное море.

Взаимодействие первого масштаба способствует развити в зоне приливов дрейфовых течений и свойственных этим теч ниям уклонов свободной водной поверхности, которые при опр деленной ориентации ветрового поля приводят к развитию вхо ных или выходных потоков. Наличие того или иного направлень течений в конкретном случае зависит, в первую очередь, от общег направления ветра над переходной зоной. При достаточной сил ветра западных румбов (начиная примерно с трех баллов с на правлениями от ЮЮЗ до ССЗ) возникает входной поток, направ ленный в Балтийское море, для которого характерно наличие циг лонов на северо-востоке и антициклона на юго-западе Европі При остальных направлениях ветра (от ССЗ до ЮЮЗ через во сточное), напротив, возникает выходной поток. Главную рол в создании благоприятных условий для выноса вод Балтики иг рает антициклон, расположенный на северо-востоке Европы. Пр штиле или очень малых скоростях ветра в общем господствуе выходной поток со скоростями до 80 см/с, а в узкостях до 150-200 см/с, в зависимости от уклонов уровня в проливе Каттегат Этот выходной поток обусловлен постоянным (хотя и небольшим превышением уровня Балтийского моря над уровнем океана з счет материкового стока, и поэтому такого рода водообмен в при ливах можно считать нормальным.

Крупномасштабное взаимодействие, возникающее вследстви пространственной неоднородности барического поля над океаном (Северное море) и над материком (Балтийское море и приле гающие районы) приводит к развитию флуктуаций в колебатель ной системе Балтийское — Северное моря. В результате этого со здаются перекосы уровенной поверхности, благодаря которым осуществляется перелив вод в сторону Балтийского моря и об ратно по принципу сообщающихся сосудов. Движением может захватываться вся толща вод. Эти течения в той или иной степени постепенно присутствуют в проливах и предпроливной зоне. Степень взаимосвязи интенсивности водообмена через датские проливы с повторяемостью атмосферных макропроцессов оценивается коэффициентом корреляции от 0,5 до 0,7 [3].

Ветровые (дрейфовые) течения в Балтийском море возникают под непосредственным влекущим воздействием ветра. Эти течения развиваются в верхнем (экмановском) слое моря в основном

зоны термоклина в теплый период и до зоны пикноклина в ходный период года. Вследствие неравномерности поля ветра и регулярности его воздействия на морскую поверхность ветроге течения имеют сложную пространственную структуру и больую временную изменчивость. Эта изменчивость обусловлена кже и запаздывающей реакцией водной поверхности на атмо-

рерные воздействия.

При восточной форме циркуляции по типизации Г. Я. Вангенйма нормальный водообмен в проливах усиливается, т. е. увенчивается вынос вод из Балтийского моря. Этот тип погоды танавливается при антициклонической деятельности над северий и восточной Европой. Преобладающими для него являются тры восточных румбов, что приводит к подъему уровня на югопладе Балтики и понижению его в проливе Каттегат. Поэтому клон уровня между указанными районами становится больше эрмального и в проливах, помимо постоянных течений, вознинот еще выходные стоковые течения со скоростью в зависимости района 75—180 см/с. При продолжительных и сильных восточых ветрах может создаться положение, когда выходное течение

проливах займет весь слой от поверхности до дна.

Нормальная схема циркуляции в проливах особенно сильно арушается при западной форме циркуляции атмосферы, харакэризующейся ветрами западных румбов над Балтийским морем. ни обычно возникают при движении циклонов с Северной Атланики на восток и северо-восток. При сильных ветрах происходит он воды из юго-западной части Балтийского моря и нагон в южый Каттегат, то есть создается уклон уровня, обратный нормальому. Это приводит к возникновению входных стоковых течений, аправленных в Балтику, скорость которых как показывают налюдения может достигать 180-260 см/с. Эти стоковые течения ще более усиливаются одновременно возникающими чисто дрейовыми течениями. С возникновением входных течений более соеные воды из Каттегата перемещаются до порогов Дрогден и [арсер. Затем эти воды, как более соленые и, следовательно, олее тяжелые, спускаются в нижние слои и медленно переноятся на север Балтики.

Южные составляющие ветровых переносов создают быстрый одъем воды в проливах, что в сочетании с подпором, возникающим в проливе Каттегат за счет притока вод из пролива Скагерак, создает значительный перепад уровня в проливах. Этот укон усиливает входные потоки. Увеличению притока вод способтвует также отток воды из южной части Балтики при южных етрах. Северные ветровые переносы создают обратный перепад ровней в датских проливах, способствуют сгону воды в проливе кагеррак и увеличивают стоковую составляющую водообмена, то в целом ослабляет приток воды в Балтийское море [1].

Таким образом, водообмен через Датские проливы осущетвляется путем стоковых (градиентных) и дрейфовых (ветро-

вых) течений. Ведущая роль стоковых течений при значительн сгонно-нагонных колебаниях уровня в проливах очевидна. Р

смотрим процесс воздействия ветра на течения.

Ветер оказывает сложное воздействие на водную поверхнос Поскольку взволнованная поверхность «шероховата» возника трение между воздухом и водой — касательное напряжение ветр которое своим влекущим действием создает дрейфовое течен Неравномерность поля ветра и эффект сгона и нагона у берег создают наклоны поверхности, следствием которых являют градиентные течения, получающие энергию также от ветра и п этому, по-существу, также являющиеся ветровыми. Отсюда, ве ровое течение можно назвать дрейфово-градиентным, где обе с ставляющие органически связаны. Абсолютная величина (у дрейфового течения зависит от напряжения трения ветра и ш роты [2].

$$V_0 = \frac{\tau}{\sqrt{2 \mu \omega \rho \sin \varphi}},$$

где μ — коэффициент турбулентной вязкости; ω — угловая ск рость вращения Земли; ρ — плотность воды; ϕ — широта; τ — к сательное напряжение ветра.

Причем

$$\tau = C_d \, \rho_a \, V^2, \tag{S}$$

где C_a — коэффициент трения; ρ_a — плотность воздуха; V — ск

рость ветра.

Для упрощения вычисления дрейфа вводится понятие «ветревой коэффициент», характеризующий отношение поверхностног дрейфового течения к силе ветра. Экман, приняв коэффициента вы ражения

 $\frac{V_0}{V} = \frac{0.0127}{V \sin \varphi} \,, \tag{3}$

что для 55° с. ш. (район датских проливов) составляет 0,014 ил 1,4%. Институтом Морских исследований АН ГДР в 1976 и 1977 г. были проведены эксперименты с дрейфовыми карточками в рай оне западнее острова Борнхольм. По результатам этих экспериментов был уточнен ветровой коэффициент, оказавшийся равны: 3,3% (0,033).

Одной из задач данной работы являлось изучение и количе ственный анализ дрейфовых течений. Для расчетов из английског метеорологического ежегодника были взяты данные о направлении и скорости ветра за 1976 г. на плавмаяках Drogden (проли Зунд) и Kadetrenden (пролив Фемарн Бельт). Из немецкого еже годника за сроки 01, 07, 13 и 19 часов взяты данные о наблюденных характеристиках течений на этих маяках. Данные о ветр взяты за сроки 00, 06 и 18 часов.

Анализ характеристик ветра показал, что наиболее активным иодом является осень—зима. Ветер в течение года очень изнив, но в основном преобладают восточные и западные навления. Сама система ветров над проливами способствует форрованию входных и выходных течений. Часто повторяются репады устойчивых ветров, близких как по направлению, так и скорости. Эти периоды колеблются от 3 до 7 суток, но могут ой достигать 10—14 суток. Этого времени достаточно для разгия установившегося ветрового течения.

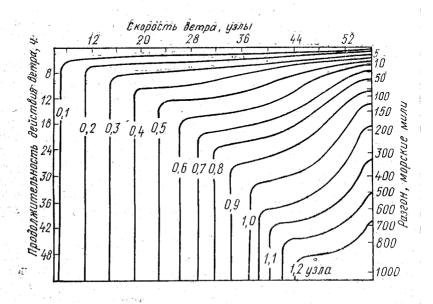
Анализируя фактические данные о течениях, можно отметить, как и ветер, они изменчивы. На всех плавмаяках в основном блюдаются течения двух направлений, соответствующих входм и выходным потокам. Так, на плавмаяке Drogden в основном еобладают выходные течения, их повторяемость в два раза пьше, чем входных. Та же самая картина наблюдается и на яке Kadetrenden. Это объясняется, вероятно, наличием постоянго стокового течения из Балтийского моря. Рассчитанные в рате скорости течений по уравнению (1) для плавмаяков позволи определить коэффициенты корреляции между рассчитанми и наблюденными скоростями течений. Коэффициент корреции для выходных потоков оказался равным 0,68, а для вход- потоков — 0,74. Таким образом, расчет дрейфовых течений зволяет дать, по крайней мере, правильную качественную карну течений в проливах.

Для расчета дрейфовых течений с целью сравнения их с реальми была использована номограмма, предложенная Джеймсом работе [2] (см. рисунок). В левой части номограммы помена шкала продолжительности действия ветра: вверху — шкала орости ветра. Величина разгона ветра, также влияющая на тение при расчетах, не учитывалась, так как размеры датских оливов не велики. Течения могут быть ограничены продолжильностью действия ветра, или могут быть полностью развитыми, о подчеркнуто существованием области номограммы, где крите переходят в прямые линии.

Для входа в номограмму необходимо использовать эффективне время, которое является суммой действительного времени продолжительность действия ветра между сроками наблюдений) эквивалентного (время, за которое последующий ветер смог бы извить течение, равное предыдущему). Недостатком данного пособа является невозможность получения точной оценки затуния течения.

Наиболее простым способом определения скорости дрейфоого течения является использование ветрового коэффициента *К*, арактеризующего отношение поверхностного дрейфового течения силе ветра, его вызывающего. По данным немецких ученых, проодивших эксперимент в 1976—1977 г. в зоне датских проливов получивших значение ветрового коэффициента для данного района моря, равное 3,3%, была построена функция для опред ления скорости ветрового дрейфа $V_0 = 0.033 \ V$.

Таким образом, мы имеем два способа определения дрейфовитечений. Первым способом (номограмма) мы пользовались при наличии устойчивого ветра, а при ослаблении ветра и при е большой изменчивости использовалась функция.



Номограмма для вычисления ветровых дрейфовых течений

Сравнение фактических и расчетных скоростей показало, ч ветровые течения играют немаловажную роль в водообмене межд Северным и Балтийским морями, учет дрейфовых составляющим при расчете скоростей течений в датских проливах просто неоходим. Рассчитанные значения скорости дрейфовых течений близи к наблюденным, за исключением случаев с максимальными ск ростями течений. Объясняется это, прежде всего, тем, что и дрейфовую составляющую накладывается градиентная (сгонны нагонные течения), вызванная наклоном уровня в северной и юх ной частях датских проливов.

Рассмотрим для примера данные наблюденных и рассчитаннь скоростей течений за март 1976 г. на плавмаяках Drogden и К detrenden. На маяке Drogden скорость течения в среднем соста ляла 15—25 см/с. Преобладал вынос из Балтики, но в начале в конце месяца наблюдались и входные течения с большими ск ростями, достигающими 75—100 см/с. Это полностью согласует 134

изменениями направления ветра. В марте, в основном, преобдали умеренные ветры восточных румбов, а с 1 по 3 марта и 27 по 31 марта наблюдались сильные ветры западных направлеий, достигавшие 13—17 м/с.

Месячный ход скорости течения на маяке Kadetrenden заметно личается от предыдущей картины, что вызвано прежде всего менчивостью направлений и скоростей ветра в этом районе, следовательно, и изменчивости скорости дрейфового течения. О даже и здесь рассчитанные скорости близки к наблюденным, завда имеют несколько большую погрешность. В этом районе силу морфологических особенностей течение меняется по назавлению от 0° до 360°, а на маяке Drogden — только в двух аправлениях 230° и 50°. Это обстоятельство безусловно влияет а точность расчетов.

Рассмотрим ход скоростей в ноябре 1976 г. Этот месяц харакерен для зимнего сезона, когда приток ветровой энергии весьма начителен. Течения в этот период были очень изменчивы. Налюдалось еще два периода с ветрами устойчивой силы и наравления: с 13 по 15 — ветры восточных румбов и с 22 по 31 ападных. На графиках скорости данные периоды соответствуют стойчивым выходным и входным потокам. Рассчитанные значеия скоростей в общем повторяют ход наблюденной скорости ечения, но и здесь существенные поправки вносит градиентная оставляющая течения. Так, например, 24—25 должны были пребладать входные потоки под влиянием западных ветров, но на амом деле наблюдаются выходные потоки и даже с большими коростями. Это объясняется тем, что под влиянием продолжиельных западных ветров в датских проливах создается наклон ровня и стоит ветру, поддерживающему его, несколько ослабуть, как течение меняет свое направление. Кроме того, следует одчеркнуть, что при данной силе ветра течение становится устаювившимся не сразу, а спустя определенный промежуток врелени. С ослаблением же или прекращением ветра, течение по інерции имеет еще прежнюю скорость и лишь затем начинает юнемногу затухать.

Погрешности расчетов при малых скоростях течений (5—25 см/с) составляют 15%, а при больших скоростях — до 40%, е. е. можно сказать, что использованные методы дают удовлет-зорительные результаты при малых скоростях течений, когда гечение почти чисто дрейфовое, при сильных течениях, когда ветика роль градиентного компонента, применение этих методов нецелесообразно.

Сформулируем теперь основные выводы. В работе дан качественный анализ дрейфовых течений с целью выявления их роли в водообмене между Северным и Балтийским морями. Ветер оказывает сложное воздействие на водную поверхность. Его касательное напряжение своим влекущим действием создает дрейфо-

вое течение. Сгонно-нагонные эффекты ветра обусловливают на клоны поверхности, следствием которых являются градиентны течения. Наложение двух разновидностей течений создает наблю

даемое дрейфово-градиентное течение.

Для оценки роли чисто дрейфовых течений в работе примене традиционный для Балтики метод расчета ветровых течени с использованием простейших эмпирических зависимостей, связы вающих скорость течения со скоростью ветра через ветровой кс эффициент. Использовалась также эмпирическая номограмма где скорость ветрового течения является уже функцией двух па раметров: скорости ветра и продолжительности его действия Опыт применения данных методик показал, что их можно исполь зовать для расчета небольших или средних скоростей течени в проливах, при больших же скоростях этот метод не пригоден

ЛИТЕРАТУРА

1. Альтшулер В. М., Смирнова А. И. Проблема расчета и прогноз водообмена через Датские проливы. — Тр. XII Конференции балтийских окег нографов. Л., Гидрометеоиздат, 1982. 2. Джеймс Р. Прогноз термической структуры океана. Л., Гидрометес

издат, 1971. 3. Суставов Ю. В. К методике изучения водообмена между Балтийски. Северным морями. — Тр. ГОИН, вып. 169, Л., Гидрометеоиздат, 198 c. 71-81.

УДК 551.456

А. И. УГРЮМОВ (ЛГМИ), НГУЕН ЗОАН ТОАН (СРВ

о некоторых климатических особенностях энергоактивной зоны куросио

Исследование энергоактивных зон Мирового океана большой вклад в проблему создания теории климата и разра

ботки методов долгосрочных прогнозов погоды.

Показано [10], что за год в атмосферу поступает от подсти лающей поверхности земного шара 156,6·10²² Дж, при этом по верхность суши отдает 30,6 · 1022 Дж, что составляет всего 19,9% от суммарного потока тепла, а остальная часть (124,0 · 1022 Дж приходится на долю Мирового океана. Совершенно очевидно, что океан является главным источником тепловых ресурсов атмо сферы и возникающие в системе океан — атмосфера отклонения теплообмена от средней многолетней нормы должны влиять не эрмирование крупных аномалий атмосферной циркуляции и поды, особенно длительных, в силу большой тепловой инерции сеана.

Теплообмен в системе океан — атмосфера весьма неоднороэн по пространству. Значительную часть тепла атмосфера полувет из океана в сравнительно ограниченных районах — очагах заимодействия океана и атмосферы или энергоактивных зонах. первые определение очагов взаимодействия океана и атмосферы энергоактивных зон океана) было дано В. В. Тимоновым, котоый выделил эти очаги на основании анализа карт теплообмена ежду океаном и атмосферой [10]. К энергоактивным зонам во нетропических широтах относятся зоны повышенного внешнего еплового баланса океана, площадь которых составляет около /4 площади океана в этих широтах, а теплоотдача — около поовины общей теплоотдачи океана. Энергоактивными районами вляются также зоны неустойчивой стратификации у кромки плаучих льдов, области экваториального апвеллинга, районы мусонных течений и др. [6].

Исследования последних лет по проблемам долгосрочных пронозов теплового состояния океана и аномалий погоды показали, то эти задачи являются взаимосвязанными и должны решаться месте, поскольку формирование климатического режима и длиельных отклонений от него как в океане, так и в атмосфере, определяется прежде всего, процессами взаимодействия обеих сред [6].

В настоящее время ведутся работы по программе исследования взаимодействия атмосферы и океана «Разрезы», предусматривающей регулярные наблюдения в энергоактивных зонах океана. Цели ее — разработка теории климата и методов долгосрочного прогноза погоды. Эта программа, в основе которой лежат георетические разработки академика Г. И. Марчука, станет составной частью Всемирной климатической программы.

Для западной части Тихого океана большое значение может иметь взаимосвязь между энергоактивной зоной Куросио и характеристиками возникающих здесь тропических циклонов (тайфунов). Тропические циклоны получают большую часть своей энергии за счет выделения скрытой теплоты при конденсации испарившейся с поверхности океана влаги, и, в свою очередь, видоизменяют температурное поле верхнего слоя океана, создавая отрицательные аномалии его температуры: вблизи центра циклона касательное напряжение ветра вызывает дивергенцию поверхностных течений и, следовательно, значительный апвеллинг. В результате вдоль траектории урагана отмечается полоса аномально холодной водой [5].

В последние годы большое внимание уделяется роли обмена явным и скрытым теплом между океанами и атмосферой в развитии и сохранении тропических и внетропических циклонов. На

первых шагах исследования природы тропических циклонов воз никла мысль, которая в целом подтверждается, что это явлени порождается резким нарушением устойчивости атмосферы и что колоссальная мощность тропических циклонов обусловлена влаж ной неустойчивостью [12]. Несомненно, что неустойчивость атмо сферы должна быть тесно связана с повышенной температурого океана. Испарение с поверхности океана резко увеличивается с ростом температуры воды, поэтому чем она выше, тем быстрегразвивается тропический циклон и тем большей интенсивности он может достигнуть.

Тепловое состояние океана оказывает влияние и на траектории тропических циклонов. В ряде работ показано, что тропические циклоны имеют тенденцию следовать над областями с повышенной температурой поверхности океана. На всех картах явно прослеживается увеличение плотности распределения траекторий, помере продвижения циклонов с востока на запад, над теплыми океанскими течениями. По результатам статистического анализа [9], большинство тайфунов в западном районе северной части Тихого океана развиваются в энергоактивной зоне Куросио, где господствует теплое течение и испарение с поверхности океана максимально. Пути перемещения тайфунов этого района сложны но можно разделить их на пять основных типов (рис. 1). Видно

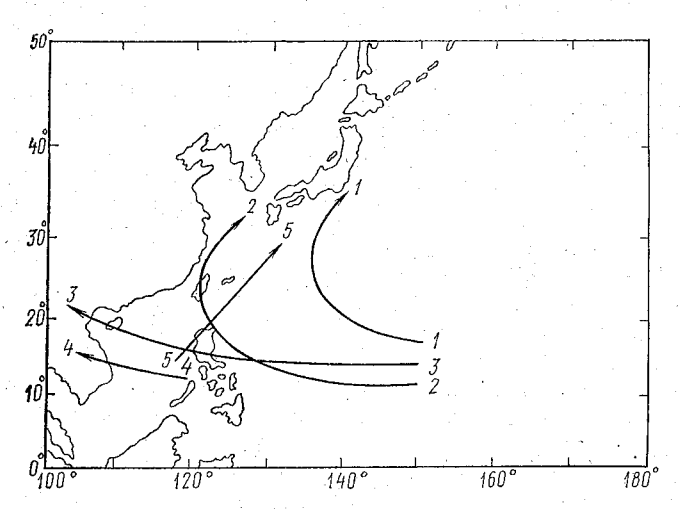


Рис. 1. Основные пути перемещения тайфунов в Тихом океане (по [9]).

1—5— типы траекторий

что в типах 1, 2 и 5 тропические циклоны имеют тенденцию следовать над областью теплого течения Куросио. Таким образом, развитие и траектории движения внетропических и тропических циклонов во многом зависят от теплового состояния океана и осо-

енностей его энергетического взаимодействия с атмосферой. Для ерритории Вьетнама особенно важно проанализировать влияние заимодействия океана и атмосферы на характеристики тропичеких циклонов запада Тихого океана (тайфунов). Можно выскаать предположение, что процессы циклогенеза здесь и, особенно, цвижения (траектории) тропических циклонов во многом опрецеляются положением и интенсивностью энергоактивной зоны Куосио, где температура поверхности океана и поток влаги в атмоферу относительно высоки. Однако, прежде чем пытаться устаювить прогностические связи, необходимо проанализировать многолетние и сезонные энергоактивные зоны Куросио, чему и посвящена данная работа. Материалом для нее послужили климагические средние месячные данные о распределении на акватоэни Мирового океана величин внешнего баланса В, радиационного баланса R_n и турбулентного потока тепла P [2]. На основании этих данных нами построены также средние месячные карты затрат тепла на испарение LE и суммарного теплообмена между океаном и атмосферой (P+LE) в узлах пятиградусной сети в зоне Куросио $(20-50^{\circ}$ с. ш., $120-180^{\circ}$ в. д.).

На рис. 2 показаны графики максимальных значений P, LE и (P+LE) в районе энергоактивной зоны Куросио, а на рис. 3 показано положение очагов LE, P+LE для каждого месяца года.

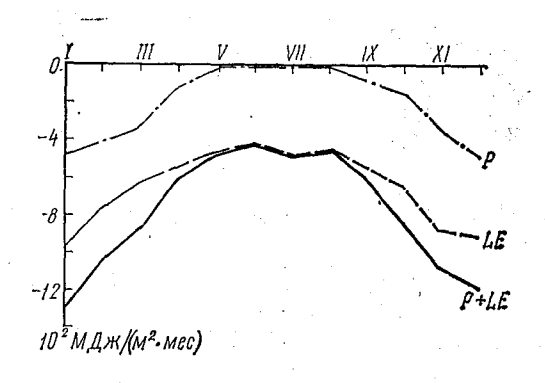


Рис. 2. Годовой ход интенсивности составляющих теплового баланса поверхности океана в энергоактивной зоне Куросио

В таблице дана максимальная интенсивность потоков тепла P, LE и P+LE в энергоактивной зоне Куросио и отношение LE/(P+LE), показывающее вклад скрытого тепла в суммарный поток.

Из таблицы хорошо видно, что энергоактивная зона Куросио — один из центров значительной теплоотдачи океана в атмосферу.

Зимой в этом районе суммарный поток тепла из океана в атмосферу достигает $1300 \, \text{МДж/(M}^2 \cdot \text{месяц)}$ по абсолютной величине, поток тепла за счет испарения — $950 \, \text{МДж/(M}^2 \cdot \text{месяц)}$. Эти цифры показывают, что LE играет главную роль в сумме P+LE, тогда как вклад турбулентного теплообмена почти в 3 раза меньше. Для сравнения укажем, что зимний максимум теплоотдачи в бермудской и ньюфаундлендской зонах Атлантического океана (аналоги зоны Куросио) равен $1400 \, \text{и} \, 1080 \, \text{МДж/(M}^2 \cdot \text{месяц)}$ соответственно. Летом в рассматриваемом районе атмосфера получает небольшое количество тепла от океана, это количество примерно равно $400 \, \text{МДж/(M}^2 \cdot \text{месяц)}$ (июнь), причем вклад турбулентного теплообмена P в сумму (P+LE) с мая по август равен 10— $20 \, \text{МДж/(M}^2 \cdot \text{месяц)}$ (отношение $LE/(P+LE) \approx 1$). В других месяцах года, отношение LE/(P+LE) колеблется от $0.70 \, \text{до} \, 0.90$.

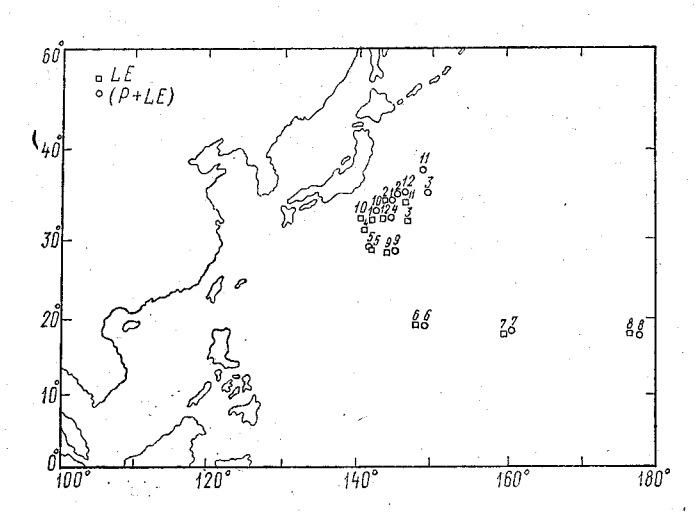


Рис. 3. Распределение очагов *LE* и *P+LE* в энергоактивной зоне Куросио. Цифры над кружками и квадратами — месяцы года

Это значит, что вклад скрытого потока тепла (затрат тепла на испарение) играет главную роль по сравнению с турбулентным потоком тепла в формировании суммарного P+LE теплообмена между океаном и атмосферой в течение всего года. Поэтому на карте распределения очагов LE и P+LE (см. рис. 3) видно, что эти очаги находятся недалеко друг от друга. Кроме того, на той же карте заметна межсезонная изменчивость положения очагов. В зимних месяцах очаги LE и P+LE хорошо выражены и расположены в более северных широтах зоны Куросио, от 30° с. ш. до 40° с. ш., а летом эти очаги в указанных широтах не обнаруживаются, но одновременно появляются слабые приэкваториальные

Максимальные значения P, LE, P+LE в МДж/(м 2 · месяц) и отношение LE/(P+LE) в энергоактивной зоне Куросио *

Потоки тепла					Месяцы							
	I	II	III	IV	v	VI	VII	VIII	IX	х	ХI	XII
	,	ı										
P	470	410	350	100	20	10	20	10	90	130	320	455
LE	950	770	620	5 3 0	490	400	470	5 60	510	720	850	890
P+LE	1300	1060	870	620	490	410	490	570	580	820	1050	1150
LE/(P+LE)	0,73	0,73	0,71	0,85	1,00	1,00	1,00	1,00	0,86	0,87	0,81	0,77

^{*} В таблице показаны значения P, LE и P+LE в очагах, несовпадающих по местоположению, поэтому значения в строке (P+LE) не равны значениям, полученным из сложения строк P и LE. Все величины P, LE, (P+LE) отрицательны.

очаги (июнь — август). В переходных месяцах (май и сентябрь очаги LE и P+LE расположены в среднем между зимними и лет ними очагами.

Сезонную миграцию энергоактивной зоны Куросио по широт можно объяснить, исходя из особенностей процессов в океане з атмосфере пространственного распределения гидрометеорологиче ских элементов. Для расчета P и LE в работе [2], откуда бра лись ежемесячные климатические данные по потокам тепла, при менялись следующие формулы:

$$\overline{P} = -0.212 N(\overline{t_0 - t}) \overline{u} \text{ МДж/(м²-месяц)},$$
 (1)

$$\overline{LE} = -0.326 N (\overline{e_0 - e}) \overline{u} M Дж/(м^2/месяц),$$
 (2)

где N — число дней в месяце; (t_0-t) — разность температурь вода — воздух; (e_0-e) — разность в гПа между влажностью воздуха, насыщенного водяным паром при температуре поверх ности воды, и фактической влажностью воздуха; u — скорости ветра в м/с. Проанализируем эти формулы вместе с данными

о распределении t_0 , t и u.

Зимой в энергоактивной зоне Куросио горизонтальный гра диент температуры воды между северной и южной частями (между 40° с. ш. и 20° с. ш.) в целом невелик, поскольку терми ческий режим зоны и на юге, и на севере определяется теплым течением. Однако температура воздуха значительно увеличи вается с севера на юг, а скорость ветра, наоборот, уменьшается к югу. Так, через северную часть зоны проходят изотермы тем пературы воздуха $0-10^{\circ}$ C, а через южную часть -22° C -26° C В северной части рассматриваемого района скорость ветра \geq 16 м/с имеет повторяемость 20—25%, а в южной части <5% [1]. Это объясняется тем, что зимой северная часть зоны Куро сио находится под непосредственным влиянием зимнего муссона который способствует проникновению холодного и сухого конти нентального воздуха на акваторию океана. Именно поэтому зи мой в северной части энергоактивной зоны Куросио параметрь (t_0-t) , (e_0-e) и u, определяющие скорость испарения и теплообмена, больше чем в южной зоне этого района, и энергоактив ная зона Куросио (очаг максимальной теплоотдачи океана) лежит на севере указанной акватории.

Летом существует другая картина пространственного распределения теплообмена между океаном и атмосферой. Вследствие муссонной перестройки циркуляции, приток континентального воздуха прекращается, и в этот район с юга распространяются теплые и влажные тропические воздушные массы. В этот сезоножная часть зоны Куросио находится в зоне максимального нагревания: температура воды достигает здесь 28°С (июнь). Северная часть в большей мере, чем зимой находится под влиянием

олодных течений, температура воды колеблется в интервале 0° С — 20° С (июнь). Разность t_0 — t в южной части района — коло нуля и выше, в северной части — около нуля и ниже. Скоость ветра уменьшается с юга на север, а относительная влажость увеличивается в этом же направлении (на юге — 80%, на евере — (85%). Из формул (1) и (2) следует, что при таких услоиях максимальный теплообмен должен отменяться на юге, вблизи кватора. Действительно, летом наблюдаются приэкваториальные чаги максимума теплообмена между океаном и атмосферой.

В переходные сезоны (май, сентябрь), вследствие ослабления етров, интенсивность потоков P и LE несколько уменьшается сравнении с зимой, но так как в этом районе в переходные сеоны господствует приток холодных воздушных масс с контиента, интенсивность теплообмена все-таки остается довольно начительной. Очаги теплообмена в переходные сезоны располаются между северной и южной частями зоны Куросио, т. е. районе от 25° с. ш. до 30° с. ш. (рис. 3).

Таким образом, отмеченные выше особенности сезонного расределения гидрометеорологических элементов и связанная с ними пиротная миграция энергоактивной зоны Куросио определяются, режде всего, процессами циркуляции в океане и атмосфере.

Сравним теперь климатический годовой ход солнечной радиаии и потоков тепла в зоне Куросио. Из рис. 2 следует, что испаение в океане почти не регулируется притоком солнечного тепла в своих сезонных и пространственных изменениях не следует а инсоляцией, а имеет противоположный ход. Действительно, ля энергоактивной зоны Куросио фазы максимума и минимума спарения и теплообмена вообще противоположны фазам годоого хода притока солнечного тепла. В месте с установленными ыше закономерностями это означает, что главной причиной коебания испарения с поверхности океана служит не инсоляция, теплосодержание океанских вод и муссонная циркуляция атмоферы. Поэтому в сезонных изменениях затрат тепла на испареие в зоне Куросио мы видим закономерности, противоположные ем, которые наблюдаются на суше, где испарение регулируется очти пеликом инсоляцией.

Выполненный анализ позволяет предположить, что между оложением и интенсивностью энергоактивной зоны Куросио, одной стороны, и развитием тропических циклонов (их возниковением и траекториями), с другой стороны, должна существоять тесная связь, поскольку интенсивность этих географических бъектов определяется потоком скрытого тепла с поверхности кеана. Изучение межгодовых изменений энергоактивной зоны уросио по ежегодным материалам позволит выявить указанную зязь, которая может быть одной из основ долгосрочного прогноза арактеристик тропических циклонов в районах, близких Вьетнаму.

ЛИТЕРАТУРА

1. Атлас океанов. Тихий океан. — Военно-Морской Флот СССР, 1974. 2. Атлас теплового баланса океанов. — Севастополь: МГИ АН СССР, 197

3. Клепиков В. В., Фукс В. Р. Межсуточная изменчивость тепл вого баланса поверхности океана на станции погоды «Танго». — Извест ТИНРО, 1973, т. 89, с. 123—127.

4. Марчук Г. И., Кондратьев К. Я., Дымников В. П. Нек торые проблемы теории климата.— Итоги науки и техники, серия «Метеорол

гия и гидрология», 1981, т. 7, 103 с. 5. Перри А. Х., Уокер Дж. М. Система океан — атмосфера. Перев

с англ. Л., Гидрометеоиздат, 1979.

6. Смириов Н. П., Угрюмов А. И. Исследование крупномасшта ного взаимодействия океана и атмосферы в целях долгосрочных прогнозов.

В сборник научных трудов ЛГМИ, 1982, вып. 78, с. 10—22.
7. Соркина А. И., Власова М. Г. Межгодовые изменения режи атмосферной циркуляции и связанных с ними температурных и ледовых усл вий в северных частях Тихого и Атлантического океанов. Тр. ГОИН, вып. (М., Гидрометеоиздат, 1967, с. 136—145.

8. Строкина Л. А. Тепловой баланс Северной Атлантики по сравн нию с тепловыми балансами других районов Мирового океана. — Материа второй конференции по проблеме взаимодействия атмосферы и гидросфер в Северной части Атлантического океана. Изд. ЛГУ, 1964, с. 189—199.

9. Тихий океан. Книга 1. Метеорологические условия над Тихим океаном.

АН СССР, ин-т океанологии, М.: Наука, 1966.
10. Угрюмов А. И. Тепловой режим океана и долгосрочные прогно: погоды. — Л.: Гидрометеоиздат, 1981.

11. Хаин А. П., Сутырин Г. Г. Тропические циклоны и их взаим действие с океаном. — Л.: Гидрометеоиздат, 1983. — 271 с.
12. Шулейкин В. В. Расчет развития, движения и затухания тропич ских ураганов и главных волн, создаваемых ураганами. — Л.: Гидрометеоизда 1978.

УДК 551.463.64

А. Г. МУЗЫЧЕНКО (ГОИ)

МЕЖГОДОВАЯ ИЗМЕНЧИВОСТЬ ТЕМПЕРАТУРЫ поверхности воды в северной части тихого океана

Для разработки схем сверхдолгосрочных прогнозов погоды і территории Советского Дальнего Востока и Сибири, составлени долговременных морских прогнозов и лучшего понимания роз океанов в воздействии на климат атмосферы необходимы дост верные количественные характеристики крупномасштабной и менчивости температуры поверхностного слоя океана (ТПО

(настоящему времени получены, главным образом, качественые данные об изменчивости ТПО по акватории северной части ихого океана, проанализирован разными авторами спектральный остав долгопериодных колебаний лишь для районов, где имеются родолжительные ряды наблюдений [1, 2, 3, 9, 10]. Достаточно одробно изучен спектральный состав долгопериодных термичеких волн в системе Куросио [3, 9]. Большинство периодов, выеленных разными авторами, группируются около значений года. 5—6 лет и 9—11 лет. Использование отличных друг от руга методов спектрального анализа, периодограмманализа, ильтрации для рядов различной дискретности приводит к разросу получаемых результатов. С другой стороны, стохастичность ежгодовых изменений ТПО [6] может вызвать «плавание» пеиола объективно существующих квазициклических колебаний округ статистического среднего.

В настоящей работе оценивается вклад междугодичных измеений в общую дисперсию временных рядов ТПО для характерых районов и энергоактивных зон (ЭАЗО) в северной части Тиого океана, исследуется гармонический состав и рассчитываются оличественные характеристики амплитуды и фазы межгодовых

олебаний.

В качестве исходного материала использовался известный рхив Д. Немайеса среднемесячных значений ТПО за 1947—948 гг., осредненных по 5-градусным трапециям в северной части

ихого океана (20—60° с.ш., 130° в. д. — 110° з. д.) [8].

В таблице приведены вклады дисперсий сезонного хода, внури- и межгодовых составляющих в дисперсию исходных рядов ПО. Процедура выделения межгодовой изменчивости заключаась в следующем. Из исходных рядов предварительно вычиэлся среднемесячный многолетний сезонный ход. Затем для выеления из полученных аномалий $X\left(t
ight)$ долгопериодных колебаний $_{l}(t)$ использовался низкочастотный фильтр Тьюки [4], который беспечивает надежное подавление высокочастотных составляюих. Боковые лепестки его частотной характеристики весьма алы (максимум первого бокового лепестка равен примерно 03). Фильтр настраивался на частоту, соответствующую годовому эриоду. Сравнительно медленное затухание частотной характеастики фильтра Тьюки приводит к усечению межгодовых флуклаций с периодами близкими к годовому. Однако в настоящей зботе внимание сосредоточено на исследовании квазигармоничесих колебаний с периодами более трех лет, а в этом диапазоне ьфект усечения фильтрацией межгодовых колебаний пренебреимо мал.

Согласно таблице, среднеквадратические разбросы, обусловнные межгодовой изменчивостью, в среднем для исследуемого гиона (20—55° с. ш.) составляет примерно $\sqrt{3,5/91}$, т. е. около 5 сезонного хода.

Распределение энергии разномасштабных составляющих температуры воды на поверхности для различных районов северной части Тихого океана

Район	$D_{ m Hcx}$	D_{ces}	$D_{\mathtt{BH.\ rog}}$	Д меж. год
	7,35	6,70(91%)	0,40(5,5%)	0.96/2.50/3
$\frac{1}{2}$	25,10	22,59(90,0%)	1,63(6,5%)	0,26 (3,5 %) 0,88 (3,5 %)
3	11,57	11,03 (95,3%)	0,38(3,3%)	0,16(1,4%)
4	8,69	7,65 (88,0%)	0,61 (7,0%)	0,43(5,0%)
5	5,81	4,68 (80,6%)	0,63 (10,8%)	0,50(9,0%)
6	1,98	1,68(84,9%)	0,21 (10,6%)	0,09(4,5%)
7	12,00	11,29(94,1%)	0,40(3,3%)	0,31(2,6%)
8	3,50	3,08(88,0%)	0,32 (9,1%)	0,10(2,9%)

Примечание. В таблице указаны величины дисперсий (в °С²). В ско ках — проценты от дисперсии исходных рядов. Номера районов: 1 — вся акв тория (20—55° с. ш.); 2 — субполярный гидрологический фронт; 3 — ЭАЗО К росио; 4 — Аляскинская ЭАЗО; 5 — Калифорнийская ЭАЗО; 6 — Гавайска ЭАЗО; 7 — центральный район океана (40° с. ш., 165° з. д.); 8 — юго-западна часть акватории (20—25° с. ш., 130—140° в. д.).

Максимальные значения дисперсии величин $X_l(t)$ (рис. 1 имеются в районе субарктического гидрологического фронт (ЭАЗО Куросио), в юго-восточной части (Калифорнийская ЭАЗО в центральной области с ядром на 40—45° с. ш., 180—150° з. Отношение дисперсии $X_l(t)$ к дисперсии исходных рядов позволяє судить о роли междугодичной изменчивости в различных района исследуемой акватории. Максимальные значения 15—20% отм чаются в юго-восточной части (рис. 1, б) и связаны, по-видимом с межгодовой изменчивостью положения и интенсивности Каліфорнийского течения [2]; минимальные значения (<1%) получены в западной части региона (140—170° в. д., 30° с. ш.), гл вклад сезонного хода составляет 97—98% дисперсии.

Представим $X_l(t)$ в следующем виде:

$$X_{l}(t) = \sum_{i=1}^{n} A_{i} \sin(\omega_{i}t + \varphi_{i}) + \varepsilon(t), \qquad (1)$$

где первый член правой части — набор из n межгодовых гарм ник с частотами ω_i , амплитудами и фазами A_i , φ_i ($i=1,\ldots n$ $\epsilon(t)$ — остаточная часть, которая может рассматриваться как н регулярная, с нулевым математическим ожиданием и известно корреляционной функцией.

Полагаем, что гармоники в (1) линейно независимы, а ϵ (имеет нормальное распределение. Первое предположение практ чески означает что ω_i должны быть достаточно разнесены по о

істот. Второе предположение важно для построения доверительих границ оценок амплитуд A_i и фаз ϕ_i . Процедура оценивания иплитуд и фаз заданного набора гармоник и построения доверильных характеристик этих оценок подробно изложена в [7].

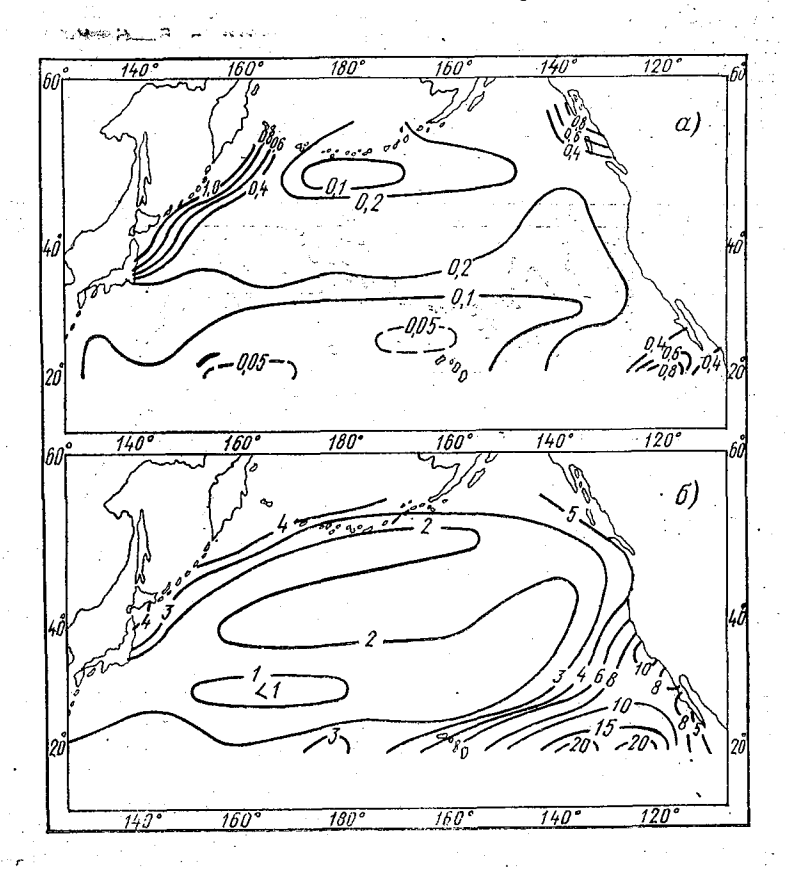


Рис. 1. Дисперсия межгодовой изменчивости ТПО в ${}^{\circ}$ С ${}^{2}(a)$ и отношение дисперсии межгодовой изменчивости к дисперсии исходных рядов в % (б)

Для отыскания скрытых межгодовых периодичностей строись периодограммы методом сканирования по пробному диапану периодов от 2-х до 12-ти лет с шагом сканирования 6 мецев. Метод сканирования по частотам и построения периодомм описан в [5]. Суть его заключается в том, что в пробном апазоне периодов с помощью, например, метода максимальго правдоподобия последовательно производится оценивание плитуд гармоник и строится график (периодограмма) этих оцек, как функции от пробного периода. Статистически достоверми считаются те гармоники, амплитуды колебаний которых

существенно превышают эмпирические среднеквадратические с клонения этих амплитуд.

Анализ периодограмм (рис. 2) позволил выделить для разли ных районов и энергоактивных областей северной части Тихо океана набор статистически достоверных (с 95%-ной вероя ностью) межгодовых колебаний с периодами в 5—6, 8—9, 10 11 лет. Максимальными по амплитуде и, соответственно, по вн симому ими вкладу оказались наиболее долговременные колеб ния. В среднем по акватории вклад 10, 8 и 6-летних гармон

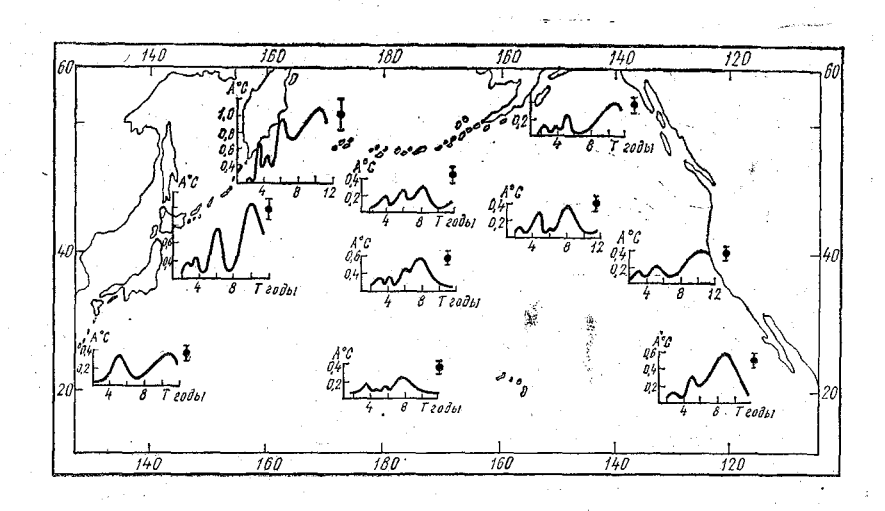


Рис. 2. Периодограммы колебаний поверхностной температуры воды в северной части Тихого океана. Вертикальным отрезком показан 95%-ный доверительный интервал

в дисперсию исходных рядов ТПО составил соответственно 0,8 0,56 и 0,34%. На рис. З представлены карты амплитуд и фаз (8- и 10-летних гармоник, рассчитанных по методике [7]. Прим чательно, что имеется пространственное совпадение област максимальных амплитуд 6 и 10-летних колебаний. Наибольш амплитуды указанных гармоник получены в северо-западной ч сти, прилегающей к Курило-Камчатской гряде и о. Хоккайл По-видимому, эти цикличности и обусловливают абсолютный масимум дисперсии межгодовой изменчивости в этом районе (срис. 1, а).

Полученное пространственное распределение значений межг довых гармоник в целом не противоречит результатам, получе ным ранее другими авторами. Кортом [1] были обнаружены 5-7-летние периоды колебания теплозапаса бороклинного сло океана в районе Куросио. Физическую природу такого период Корт связывал со средней скоростью обращения водных ма

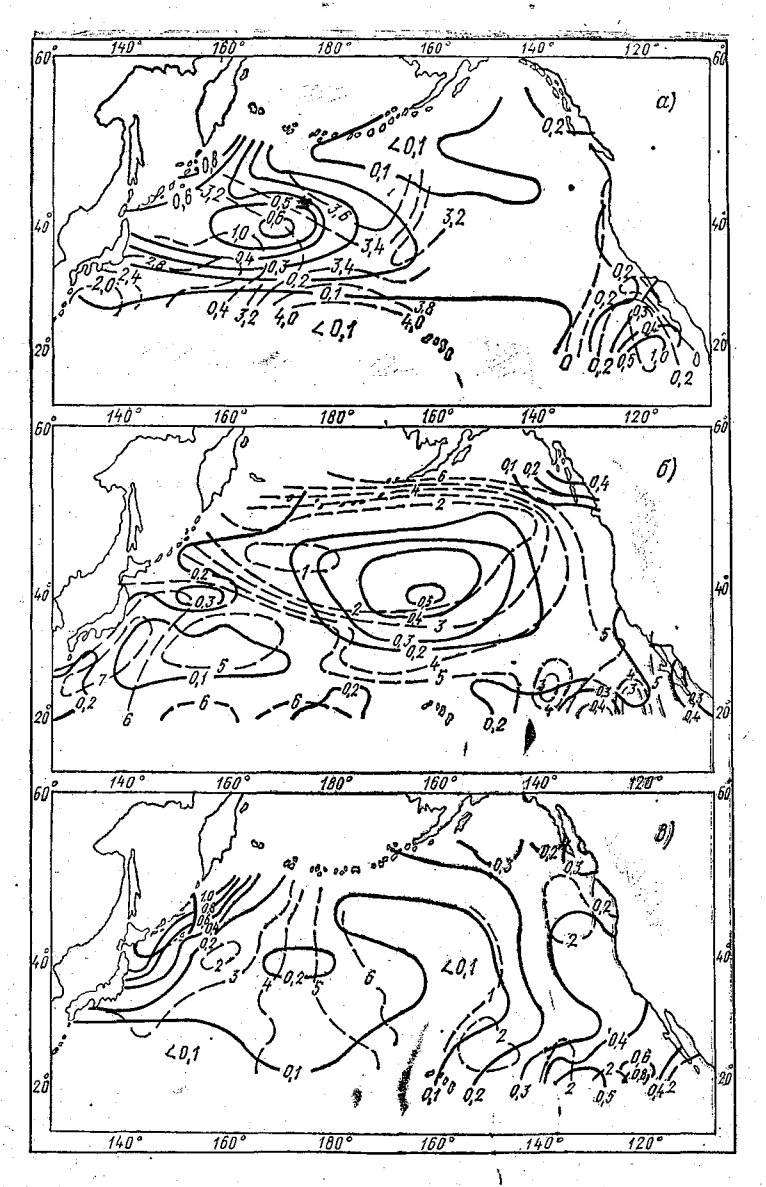


Рис. 3. Амплитуды (——) и фазы (———) гармоник ТПО с периодами: a-6 лет; 6-8 лет; 6-10 лет. Амплитуды даны в °С, фазы—в годах

в системе северо-тихоокеанской антициклональной циркуляци Фукуока [9, 10] методом периодограмманализа среднемесячны температур в деятельном слое океана в системе Куросио и Ояси выявил периоды 2—3, 5—6 и 10—11 лет. Аналогичный набор приодичностей получен нами по рядам ТПО в районе Куроси полярного гидрологического фронта и Оясио (рис. 2). Кроме зн чительных пиков периодограммы на периодах 6 и 10 лет, имеетстакже незначительный пик в диапазоне 2—3 года.

• В юго-восточной части исследуемой акватории отмечается вт рая область повышенных амплитуд колебаний с периодами 5— и 10—11 лет

Если в районе ЭАЗО Куросио и субарктического фронта чет выражены 6- и 10-летние периоды, то в восточной части акватори в прибрежной зоне Канады и США доминируют колебания с приодами 5 и 11 лет, а в районе Калифорнийского течения 5 9 лет.

Абсолютный максимум межгодовых колебаний в центральн части исследуемого региона приходится на 8-летний пери (рис. 2, 3, б) и приурочен к срединной части Северо-Тихоокеа ского течения, где максимальная амплитуда составляет 0,5°

Примечательно, что в центральной области северной час Тихого океана доминирует 8-летнее колебание ТПО, а по «краям в восточной и западной частях, как правило, преобладает ком нация из более сильного по амплитуде 10—11-летнего и менсильного 5—6-летнего колебания.

Распределение фаз 6-, 8- и 10-летних гармоник по акватор позволяет сделать выводы о временной динамике этих колебан и их взаимной структуре. Изолинии фаз, показанные на рислунктиром, имеют разрывы на границах тех областей, где амплуда соответствующей гармоники становится незначимой, а фаза неопределенной.

Из рис. 3, α видно, что 6-летние колебания в западной и ю восточной областях близки к противофазе, причем 6-летняя вол ТПО на западе опережает на 2-3 года колебания с этим пер дом на юго-востоке. Изменение во времени фазы 6-летней г моники в западной части акватории имеет пространственную гласованность с господствующей там системой течений. Ран наступление фазы происходит в начальной части Куро ($\phi \sim 2$ лет), затем в течение года гребень 6-летнего колебан распространяясь на северо-восток, а затем на восток вдоль веро-Тихоокеанского течения, достигает области локального м симума амплитуд 6-летней гармоники на 40° с. ш., 170° г (рис. 3, α). Затем он перемещается на северо- и юго-восток областей, где 6-летнее колебание ТПО практически отсутств (незначимые амплитуды), а фаза становится неопределенной.

В отличие от 6-летнего, 10-летнее колебание ТПО имеет бличе значения фазы в северо-восточной части, причем ф

Го-летнего цикла в восточной части региона от залива Аляска до ропиков мало меняется ($\phi \sim 1,5-2$ года) и примерно на неколько месяцев опережает начальную фазу 10-летнего колебания в западной части региона. Гребень 10-летней волны первоначально появляется в зоне, протянувшейся от Японии на северомосток параллельно Курило-Камчатской гряде, причем начальное значение фазы отмечено в районе полярного фронта на 60° в.д. ($\phi \sim 2$ лет). Отсюда 10-летние колебания распространются на запад, достигая через год побережья о. Хоккайдо и Сурилл, и на восток, проходя вдоль Северо-Тихоокеанского тення до 170° з.д. примерно за 4 года. Средняя скорость распротранения гребня 10-летнего колебания на этом участке составляет ≈ 560 км/год. Скорость эта увеличивается в низких широах и уменьшается в высоких, а расположение изофаз (рис. 3, в) оворит о круговом обходе 10-летними колебаниями условной амридромии, расположенной в северных широтах.

Фаза 8-летнего колебания увеличивается в радиальном направлении из центральной части океана к его окраинам (рис. 3, б). Азолиния фазы, соответствующая 5 годам, очерчивает линию противофазного состояния 8-летней гармоники по отношению району начальной фазы, расположенному на 45° с. ш., 165—80° в. д. По своей структуре 8-летнее колебание напоминает тоячую волну, локализованную в центральной области северной гасти Тихого океана. Возможно, что эта цикличность связана колебаниями основных центров действия атмосферы (Гавай-кого максимума и Алеутского минимума), которые расположены обе стороны от зоны максимальных амплитуд 8-летней гармочки ТПО. Исследование природы этого колебания ТПО и механизмов, приводящих к его возникновению, является делом буду-

цего.

Периоды в 9—11 лет авторы [1, 9] связывают с приливообраующими силами Луны и изменчивости солнечной активности, и меньшие периоды с многолетними изменениями атмосферной

циркуляции.

В заключение сформулируем основные результаты. Оценены цисперсии межгодовой изменчивости ТПО и их вклад в общую цисперсию исходных рядов для отдельных районов и энергоакивных областей, а также средние по всей исследуемой акваточии. Максимальные вклады приурочены к району Калифорний-кой ЭАЗО и субарктического полярного фронта, что свидетельтвует о важной роли адвекции тепла основными течениями формировании межгодовых флуктуаций ТПО в северной части ихого океана. На квазициклические составляющие приходится $\approx 50\%$ дисперсии межгодовой изменчивости, причем максимальный энергетический вклад приходится на 10-11-летние цикличости. В центральной части исследуемого региона доминирует 3-летнее колебание, где его вклад в энергетику межгодовой изменчивости составляет $\approx 30\%$.

Фазовый анализ преобладающих колебаний свидетельствует о существовании механизма, обусловливающего связанность межгодовых колебаний в различных районах северной части Тихого океана. Например, в северо-западной и юго-восточной частях региона 6-летние гармоники близки к противофазе (сдвиг ~ п радиан); а 10-летние циклы сфазированы.

Для адекватного физического обоснования полученных на эмпирическом материале результатов необходима их проверка на независимых данных о температуре и других гидрометеорологических характеристиках; необходимо также исследование межго довой изменчивости с использованием результатов математического моделирования крупномасштабного взаимодействия океана и атмосферы.

ЛИТЕРАТУРА

- 1. Корт В. Г. О крупномасштабном взаимодействии океана и атмосферь (на примере северной части Тихого океана). Океанология, 1970, т. 10, вып. 2 с. 222—238.
- 2. Киньдющев В. И. Многолетняя изменчивость океанографический условий и состояние промысловой продуктивности в районе Калифорнийского течения. Тр. ВНИРО, 1976, т. 112, с. 30—36. \
- 3. Климов С. М. Спектральный состав долгопериодных термически волн в системе Куросио. В кн.: Нестационарные длинноволновые процесси на шельфе Курильских островов. Владивосток, ДВНЦ АН СССР, 1984 с. 128—132.
- 4. Матушевский Г. В., Привальский В. Е. Фильтрация временных рядов в гидрометеорологии. Океанология, 1968, т. 8, вып. 3 с. 502—513.
- 5. Музыченко А. Г., Розенфельд С. Х. Анализ регулярных со ставляющих температуры поверхности воды в северной части Тихого океана Метод и некоторые результаты. Сб.: Гидрометеорологические закономерност формирования среднеширотных энергоактивных зон мирового океана. М., Гидрометеоиздат, 1986.
- 6. Привальский В. Е. Климатическая изменчивость (стохастически модели, предсказуемость, спектры). М.: Наука, 1985. 184 с.
- 7. Розен фельд С. Х. Анализ регулярных составляющих рядов наблю дений, заданных на неравномерной последовательности точек.— Метеорологи и гидрология, 1986, № 3, с. 5—14.
- 8. Davis R. E. Predictability of sea surface temperature and sea lever pressure anomalies over the North Pacific Ocean.—J. Phys. Oceanogr., 1976 vol. 6, N 3.
- 9. Fucuoka I. The variation of the polar front in the sea adjacent t Japan. Oceanogr. Mag., 1955, vol. 6, N 4a, p. 78—86.
- 10. Fucuoka I. On the periodicity of variations of the oceanic conditions. J. Mar. Met. Soc., 1959, vol. 35, N 1, p. 8-17.

152

7ДК 551.46.09

Р. ЛЕВАНДОВИЧ (ЛГМИ)

ОПТИМИЗАЦИЯ МЕСТА СБРОСА НЕКОНСЕРВАТИВНОЙ ПРИМЕСИ В ПУЦКОМ ЗАЛИВЕ: ЧИСЛЕННАЯ МОДЕЛЬ

В течение последних лет значительным антропогенным изменениям был подвергнут биоценоз экосистемы мелководной части Пуцкого залива. Поэтому строительство в этом районе любого ного правдоподобия последовательно производится оценивание минимальность воздействия на экосистему исследуемого бассейна.

Для оптимизации места сброса загрязненных вод используется численное решение сопряженного уравнения турбулентной диффузии неконсервативной примеси. Стационарные усредненные по вертикали скорости течения в водоеме определяются с помощью численного решения уравнений теории мелкой воды. Предполагается, что циркуляция возбуждается постоянными западными ветрами. На границах водоема задаются расходы рек и обмен с прилегающей акваторией глубоководной части Пуцкого залива.

Процесс распространения неконсервативной примеси воспроизводится с применением стационарного двумерного уравнения турбулентной диффузии с постоянными коэффициентами горизонтальной диффузии. Источник примеси аппроксимируется дельтафункцией.

Численные эксперименты выполнены для трех различных видов примеси, отличающихся между собой значениями коэффициента неконсервативности. Предполагается, что в двух частях залива, вблизи которых расположены туристические базы, уровень загрязнения должен оставаться в пределах допустимых значений. В результате расчета выявлены оптимальные зоны сброса сточных вод для всех видов примеси,

МОДЕЛИРОВАНИЕ НЕСТАЦИОНАРНОГО ТЕПЛООБМЕНА ТВЕРДОГО ТЕЛА СЛОЖНОЙ ФОРМЫ С ВОДНЫМ ПОТОКОМ

Объединение датчиков температуры и электропроводности в единой конструкции позволяет наиболее точно воспроизвести вертикальные профили температуры и солености морской воды. Переход от измеренных к истинным значениям возможен при использовании соответствующей передаточной функции датчика, которая, в частности, может быть определена моделированием процесса теплообмена конструкции с неизотермическим водным потоком [1]

$$\frac{\partial T}{\partial t} = -\vec{U} \cdot \nabla T + \nabla \cdot a \, \nabla T.$$

Здесь $\vec{U} = \vec{U}(\vec{R})$ — вектор скорости; $a = a(\vec{R})$ — коэффициент температуропроводности; \vec{R} — радиус-вектор точки в системе координат, связанной с датчиком. Коэффициенты $a(\vec{R})$ определены применяемыми конструкционными материалами, определение скорости $\vec{U}(\vec{R})$ вблизи датчика является самостоятельной задачей. В качестве нулевого приближения полагалось, что движение жидкости вблизи тела потенциально, что позволило свести задачу

нахождения U к решению уравнения Лапласа. Численное решение соответствующей системы уравнений на ЭВМ позволило различить два режима приспособления температуры датчиков к меняющейся скачком температуре воды. В первые моменты времени основной вклад в инерционность вносит подтормаживание жидкости у стенок датчиков [2], в последующие моменты — собственно тепловая инерция датчиков. «Постоянные времени» различны у различных датчиков и меняются от 0,2 до 1 с, что приводит к большим ошибкам восстановления профилей солености по данным измерений.

Расчеты показали, что погрешность в определении солености при скачке температуры 0,5° С может достигать 0,2% в сорокасантиметровом слое; отличие измеренной от истинной солености медленно ослабевает и составляет в среднем 0,04% в слое 2,5 м.

 Лойцянский Л. Г. Механика жидкости и газа. — М.: Наука, 1978. 2. Gregg M. C., Shedwin J. C., Hess W. C., Meagner T. B. Dynamic Response Calibration of the Neil Brown Conductivity Cell.—J. Phys. Oceanogr., 1982, v. 12, 720—742.

УДК 551.465

В. В. ИВАНОВ (ЛГМИ)

о возможности выделения ОКЕАНИЧЕСКИХ ФРОНТОВ по распределению вертикальной скорости

В работе исследовалась взаимосвязь между пространственным положением фронтального раздела и полем вертикальной скорости. (Под фронтальным разделом понималась наклонная поверхность с максимальными горизонтальными градиентами гидрологических характеристик [3]).

Для получения в явном виде указанной зависимости решалось уравнение диффузии консервативной примеси в упрощенном случае баланса между вертикальной турбулентной диффузией и адвекцией. Подобное упрощение представляется достаточно оправданным в связи со значительной величиной вертикальной скорости в районах фронтальных зон [1, 3].

Анализ предложенной модели позволил сделать следующие выводы:

— области максимума вертикальной скорости находятся на периферии фронтальной зоны;

— фронтальный раздел совпадает с поверхностью максималь-

ного горизонтального градиента вертикальной скорости.

Для проверки этих утверждений были проведены численные эксперименты по определению величин вертикальной скорости в районе, непосредственно прилегающем к Антарктической Полярной фронтальной зоне. Вертикальная циркуляция вычислялась с использованием диагностической модели [2]. В качестве исходных данных были взяты среднемноголетние поля температуры и солености, осредненные по одноградусным квадратам.

Сопоставление полученных результатов с теоретическими выводами показало совпадение предвычисленного положения фронтального раздела со среднемноголетним расположением Антарктического фронта с точностью до шага сетки [1]. Поля вертикальной скорости, полученные в районе, непосредственно прилегающем к фронту, характеризовались существенной хаотичностью в расположении очагов подъема и опускания вод с общей тенденцией преобладания подъема к югу от фронта и опускания к северу.

Таким образом, можно заключить, что полученные результаты не противоречат реальным условиям в районе Антарктического фронта, и предложенный критерий может быть использован для выделения фронтальных зон в районах океана, где принятые

в модели допущения оправданы.

ЛИТЕРАТУРА

- 1. Иванов Ю. А., Нейман В. Г. Фронтальные зоны Южного океана. — В сб.: Антарктика. — М.: Наука, 1964, с. 98—109.
- 2. Саркисян А. С. Численный анализ и прогноз морских течений. Л.: Гидрометеоиздат, 1977. 182 с.
- 3. Φ е д о р о в К. Н. Φ изическая природа и структура океанических фронтов. Л.: Гидрометеоиздат, 1983. 296 с.

СОДЕРЖАНИЕ

	Crp.
А. В. Морачевский. Исследование теплового крупномасштабного взаимодействия океана и атмосферы	3
океана при мелкомасштабном взаимодействии океана и атмосферы	10
мирования влагообмена в системе океан — атмосфера	20
Европейского бассейна)	34
С. Б. Завертяев. Параметризация влажности воздуха в приводном слое атмосферы	44
В. М. Вулаева. Районирование акватории Северной Атлантики по синхронности межгодовых колебаний температуры воды . А. В. Кондратьев. Динамико-стохастическое моделирование и прогноз	50
аномалий среднемесячных значений температуры воды на примере Северной Атлантики	· 58
А. С. Гаврилов, Ю. С. Петров. Особенности климатического режима параметра устойчивости приводного слоя в Северной Атлантике	63
Е. М. Новикова. Оценка меридионального переноса тепла и крупно- масштабная геострофическая циркуляция в Северной Атлантике В. Н. Воробьев, Ю. Э. Титов. Сезонная изменчивость энтальпии вод	69
и адвекции тепла в северной части Атлантического океана	81
ческого сектора Южного океана	90
ной зоне	99
деятельного слоя Норвежской энергоактивной зоны	113
ной части Норвежского моря	121
и дрейфовых течений в формировании водообмена в Датских проливах А. И. Угрюмов, Нгуен Зоан Тоан. О некоторых климатических осо-	129
бенностях энергоактивной зоны Куросио	136
воды в северной части Тихого океана	144
Сообщения молодых ученых ЛГМИ.	
Р. Левандович. Оптимизация места сброса неконсервированной примеси в Пуцком заливе: численная модель	153
тела сложной формы с водным потоком	154
распределению вертикальной скорости	155 157

Сборник научных трудов (междуведомственный), вып. 93.

ИССЛЕДОВАНИЕ КРУПНОМАСШТАБНОГО ВЗАИМОДЕЙСТВИЯ ОКЕАНА И АТМОСФЕРЫ В СЕВЕРНОЙ АТЛАНТИКЕ

Редактор И. Г. МаксимоваКорректор Л. В. Ломакина

Сдано в набор 08.07.86. Подписано в печать 31.12.86. М-15358. Формат бумаги $90\times60^1/_{16}$. Бум. тип. № 2. Лит. гарн. Печать высокая. Печ. л. 10,0. Уч.-изд. л. 10,0. Темплан 1986 г., поз. 279. Зак. 367. Тираж 300 экз. Цена 1 р. 50 к.

ЛПИ имени М. И. Калинина. 195251, Ленинград, Политехническая ул., 29.

УДК 551.456

Исследование теплового крупномасштабного взаимодействия океана и атмоферы. Морачевский А. В. Сборник научных трудов (междуведомственный) «Исследование крупномасштабного взаимодействия океана и атмосферы в Северной Атлантике», изд. ЛПИ, 1986, вып. 93, с. 3—10. (ЛГМИ).

Разработана энергобалансовая модель формирования термических полей з атмосфере и океане, учитывающая основные особенности крупномасштабного взаимодействия атмосферы и океана. Приведены результаты расчета изменения гемператур воздуха на уровне 400 гПа и у подстилающей поверхности при изменении значений ряда метеорологических параметров. Проведены эксперименты по оценке чувствительности модели к систематическим ошибкам в исходных данных.

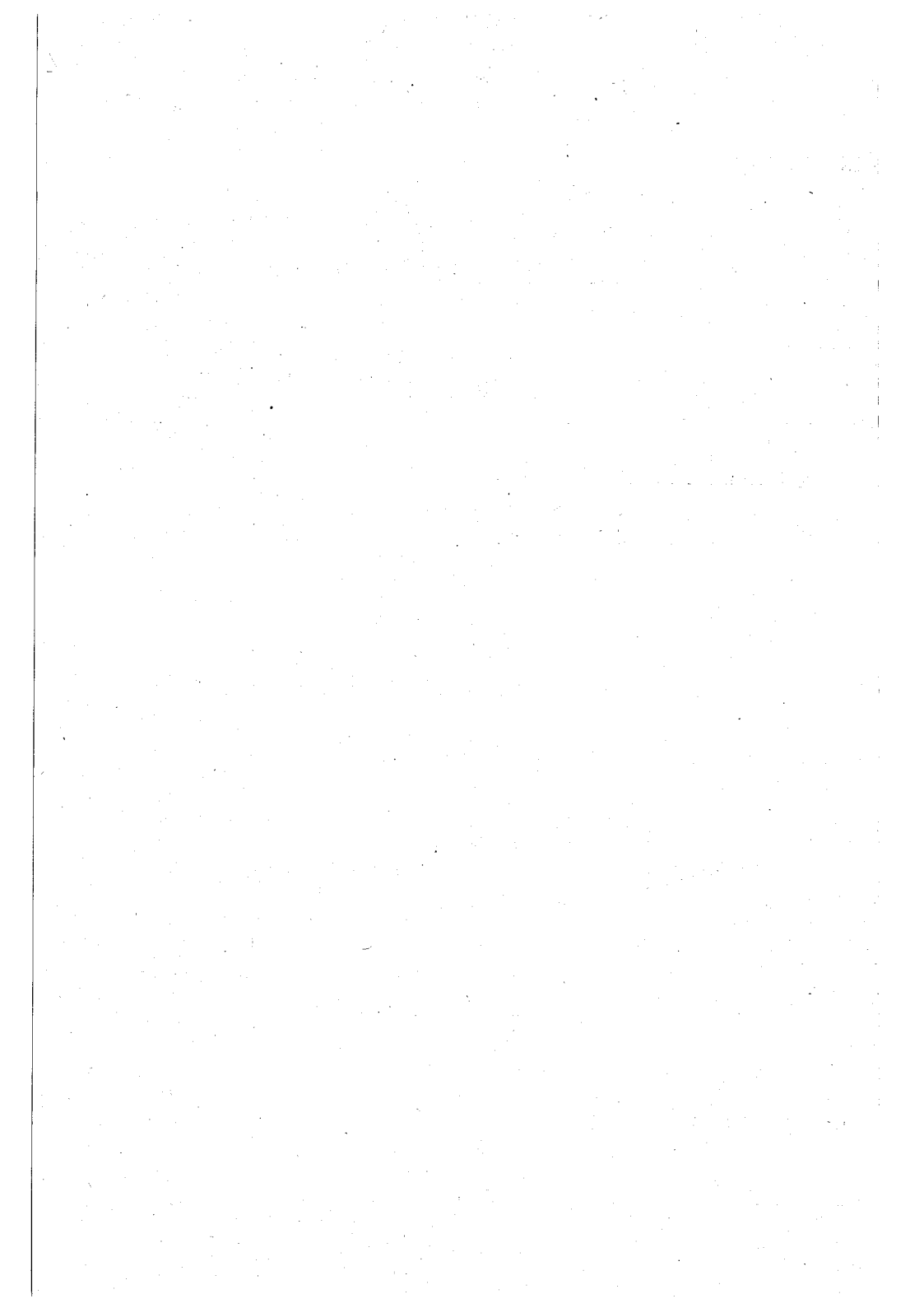
Табл. 1. Илл. 3. Библ. 15.

УДК 551.465.41

Исследование охлаждения свободной поверхности океана при мелкомасштабном взаимодействии океана и атмосферы. Карташов А. С. Сборник научных трудов (междуведомственный) «Исследование крупномасштабного взаимодействия океана и атмосферы в Северной Атлантике», изд. ЛПИ, 1986, вып. 93, с. 10—20. (ЛГМИ).

Рассматривается вопрос о параметризации перепада температуры в тепловом пограничном микрослое океана в различных гидрометеорологических условиях. Получена зависимость перепада температуры от полного потока тепла отдаваемого свободной поверхностью океана, и потока импульса. При отсутствии ветра зависимость асимтотически переходит в известное соотношение для режима свободной конвекции, а при больших скоростях ветра — в формулу Саундноса. Анализ натурных данных по измерению перепада температуры в тепловом пограничном микрослое океана показал хорошее соответствие теории и эксперимента.

Илл. 1. Библ. 13.



IK 551.571.

Крупномасштабная модель формирования влагообмена системы океан — мосфера. Безмельницын А. В., Малинин В. Н. Сборник научных удов (междуведомственный) «Исследование крупномасштабного взаимодейзия океана и атмосферы в Северной Атлантике», изд. ЛПИ, 1986, вып. 93, 20—34. (ЛГМИ).

Рассматривается возможность моделирования крупномасштабного влагомена системы океан — атмосфера на основе использования интегрального авнения водного баланса атмосферы (ВБА). С учетом следующих предпо-

жений:

1) экспоненциальный закон распределения влажности с высотой;

2) функциональная зависимость вертикального профиля влажности в придном слое от вертикального профиля температуры;

3) геострофичность ветра на изобарической поверхности 500 гПа;

4) пропорциональность среднего по вертикали ветра скорости ветра на

обарической поверхности 500 гПа,

уравнение ВБА приводится к виду, позволяющему определить эффективное парение, т. е. превышение испарения над осадками как функцию только ех параметров: геопотенциала H_{500} , температуры воды и температуры воздуха приводном слое. Показано, что суммарная погрешность расчета эффективго испарения находится в пределах 20%.

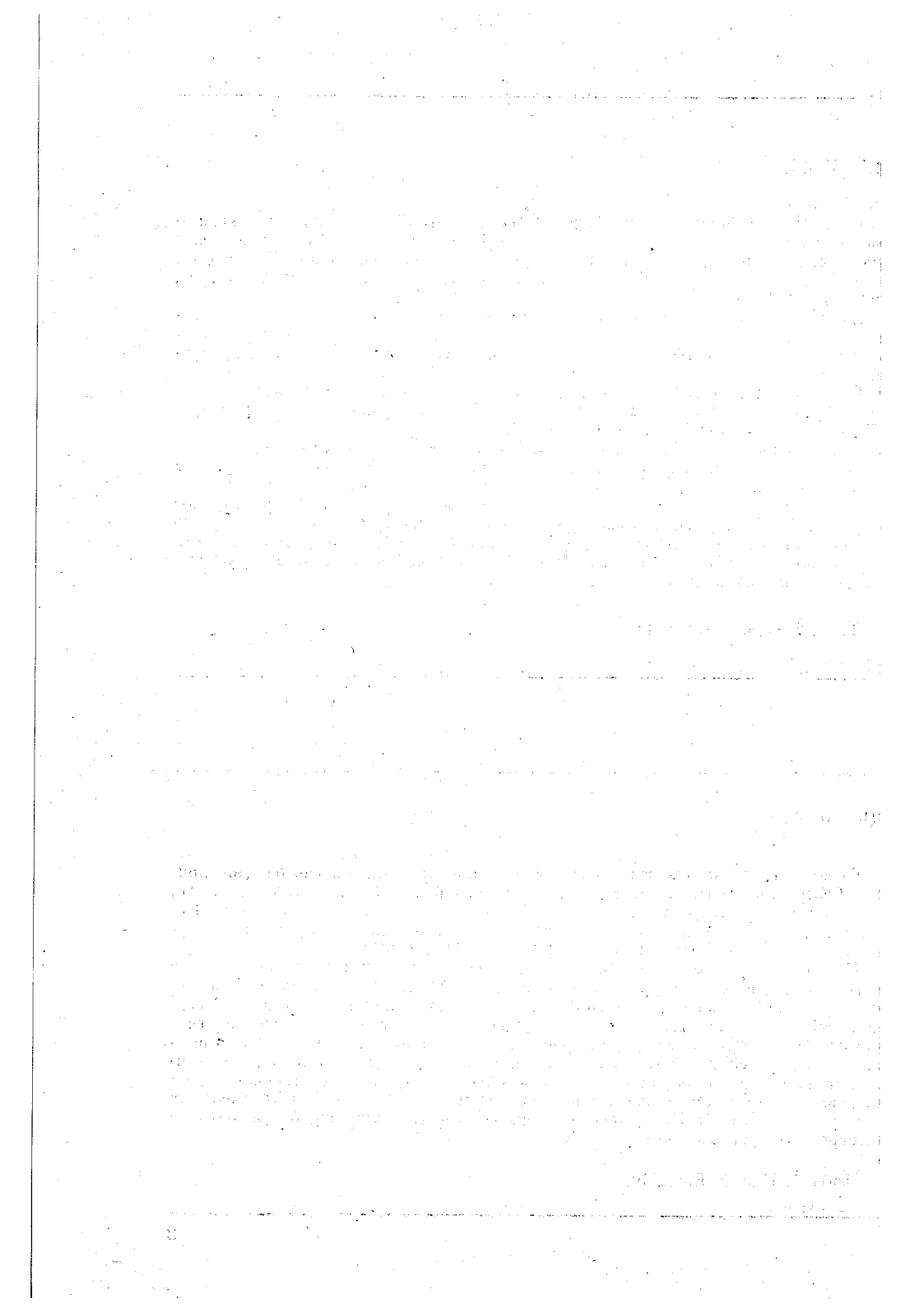
Табл. 2. Илл. 6. Библ. 14.

IK 551.463

Океанологические основы долгосрочных промысловых прогнозов (на прире Северо-Европейского бассейна). Суставов Ю. В., Карпова И. П., евноватый В. Т. Сборник научных трудов (междуведомственный) «Иседование крупномасштабного взаимодействия океана и атмосферы в Северй Атлантике», изд. ЛПИ, 1986, вып. 93, с. 34—44. (ЛГМИ).

На основе физико-статистического анализа длительных временных рядов блюдений над температурой воды в слое 0—200 м на разрезах в Баренцем море, станции погоды М в Норвежском море и станции погоды С в Северий Атлантике установлена и изучена общность закономерностей развития гидлогических процессов в Северо-Европейском рыбопромысловом бассейне в рамирействия и его неоднородности по пространству, изучен и восстановлен средий многолетний годовой ход температуры воды слоя 0—200 м для отдельных андартных разрезов Норвежского моря. Намечены пути разработки методов элгосрочных прогнозов теплового фона.

Табл. 1. Илл. 7. Библ. 10.



K 551.501+551.571

Параметризация влажности воздуха в приводном слое атмосферы. Заверев С. Б. Сборник научных трудов (междуведомственный) «Исследование пномасштабного взаимодействия океана и атмосферы в Северной Атлане», изд. ЛПИ, 1986, вып. 93, с. 44—50 (ЛГМИ).

Предложен метод расчета влажности воздуха в приводном слое атмосферы основе теории подобия и анализа размерности, который позволяет опредеь парциальное давление водяного пара в зависимости от типа стратификаатмосферы по данным о скорости ветра, температуре воды и воздуха. Покао, что при использовании среднемесячных данных наблюдений зависимость жности воздуха от состояния устойчивости приводного слоя имеет линейі характер.

Илл. 1. Библ. 12.

K 551.463

Районирование акватории Северной Атлантики по синхронности межгодоколебаний температуры воды. Б у л а е в а В. М. Сборник научных трудов ждуведомственный) «Исследование крупномасштабного взаимодействия на и атмосферы в Северной Атлантике», изд. ЛПИ, 1986, вып. 93, 3—57. (ЛГМИ).

Предложена методика выделения районов, квазиоднородных по фазе межвой изменчивости температуры воды, использующая принципы объективклассификации. Разработанный алгоритм, сходный по структуре с некотои процедурами кластер-анализа, учитывает специфику задач районирования, кже особенности имеющейся информации о пространственном распределении пературы поверхностного слоя океана. Выполнено районирование аквато-Северо-Восточной Атлантики для зимнего сезона.

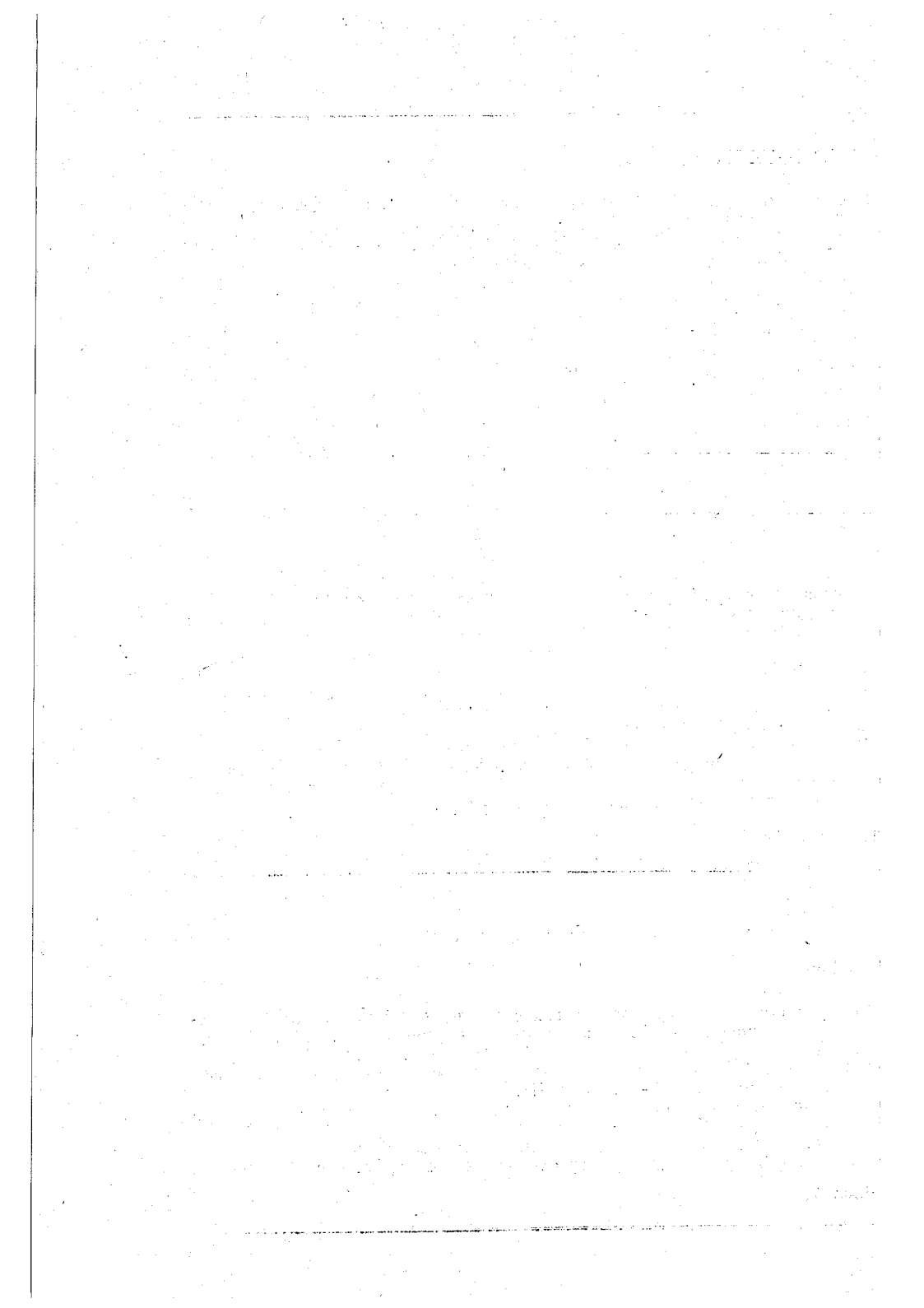
Илл. 2. Библ. 8.

K 551.509.22

Динамико-стохастическое моделирование и прогноз аномалий среднемесячзначений температуры воды на примере Северной Атлантики. Кондьев А. В. Сборник научных трудов (междуведомственный) «Исследование помасштабного взаимодействия океана и атмосферы в Северной Атлантике», ЛПИ, 1986, вып. 93, с. 58—63. (ЛГМИ).

Излагается методика построения и одношагового прогноза аномалий средсячной температуры поверхности океана в Северной Атлантике на основе тивных стохастических моделей с использованием процедур оптимальной нановской фильтрации для одновременной оценки параметров и состояния.

Библ, 7.



K 551.551

Особенности климатического режима параметра устойчивости приводного в Северной Атлантике. Гаврилов А. С., Петров Ю. С. Сборник ных трудов (междуведомственный) «Исследование крупномасштабного пмодействия океана и атмосферы в Северной Атлантике», изд. ЛПИ, 1986, . 93, с. 63—69. (ЛГМИ).

Разработанная авторами теоретическая модель приводного слоя атмосферы эльзуется для расчета параметра устойчивости для этой области по данным грагных судовых гидрометеорологических измерений в Северной Атлантике. Тан специальный банк данных основных параметров приводного слоя для о региона, насчитывающий около 300 тысяч комплектных измерений и расчиных значений параметров. Анализируются эмпирические плотности расцеления параметра устойчивости и построены климатические карты верояти формирования в Северной Атлантике устойчивого пограничного слоя осферы. Полученные климатические оценки могут быть использованы для ректного решения задачи параметризации атмосферного пограничного слоя океаном в моделях общей циркуляции атмосферы.

Илл: 9. Библ. 10.

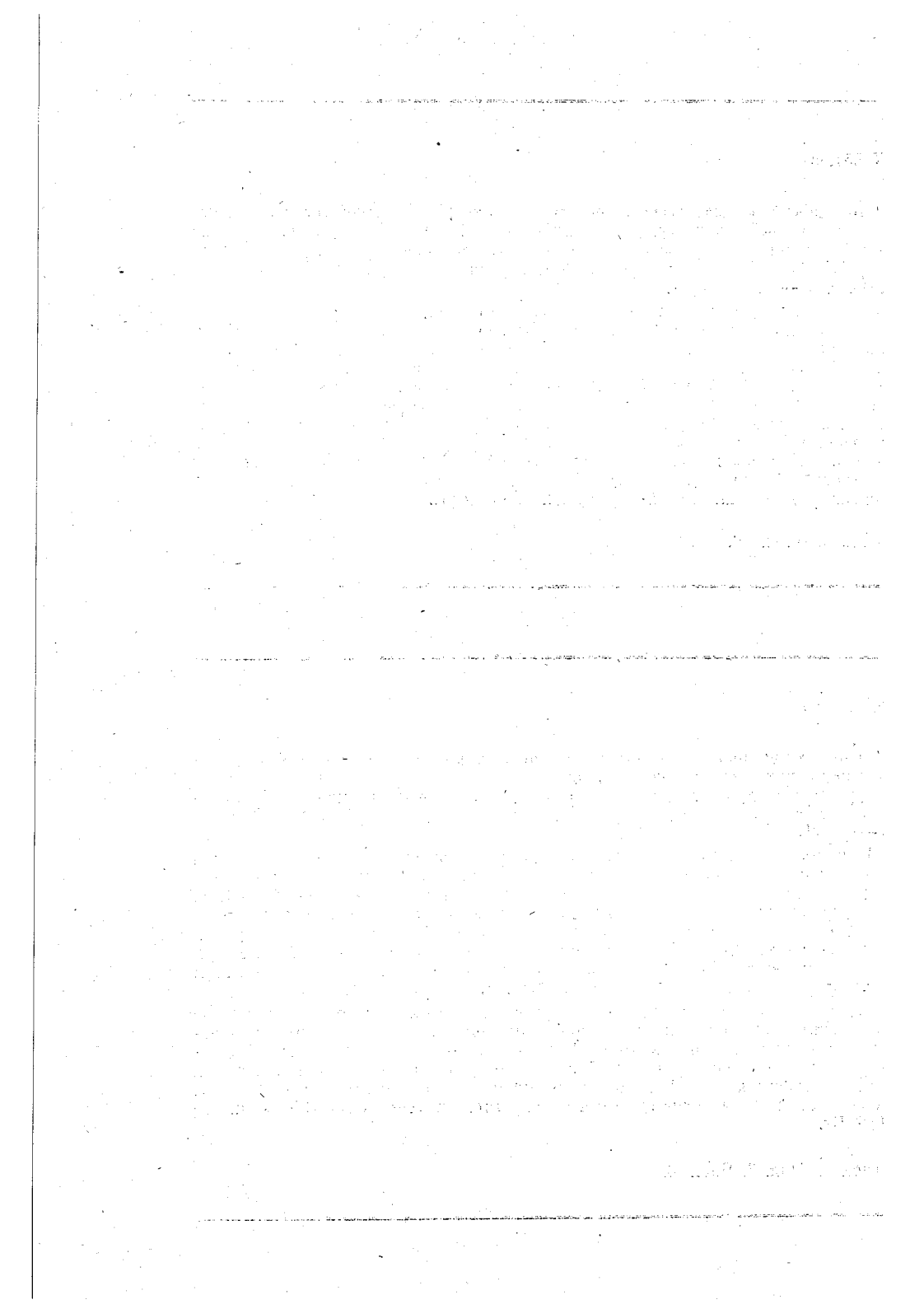
K 551.465

Оценка меридионального переноса тепла и крупномасштабная геострофиая циркуляция в Северной Атлантике. Новикова Е. М. Сборник научтрудов (междуведомственный) «Исследование крупномасштабного взаимотвия океана и атмосферы в Северной Атлантике», изд. ЛПИ, 1986, вып. 93, 3—80. (ЛГМИ).

Меридиональный перенос тепла тесно связан с интенсивностью и структурой помасштабной циркуляции в океане. Для расчета абсолютных геострофиих течений был использован квазидинамический метод вета-спирали. Из-за ов, присутствующих в исходных данных (плотность in situ), решение метонаименьших квадратов не позволяет получить циркуляцию, сбалансирован-по расходам. Для фильтрации шумов в модели была построена расширенкорреляционная матрица, которая затем усекалась по двум наибольшим улярным значениям (так как модель двухпараметрическая).

Для Северной Атлантики в узлах расчетной пятиградусной сетки (от 30 55° с. ш.) были оценены меридиональные потоки тепла, проинтегрированпо всей глубине и по слоям 0—1000 м и 1000 м — дно. Схематически нались две меридиональные ячейки переноса тепла. В зонах интенсивных
ний переносится от 70—95% от суммарного по широте потока тепла.
уммированном по широте потоке получится максимум на 35° с. ш. до
1018 Вт.

Табл. 2. Илл. 3. Библ. 8.



УДК 551,465,41

Сезонная изменчивость энтальпии вод и адвекции тепла в северной части Атлантического океана. Воробьев В. Н., Титов Ю. Э. Сборник научных грудов (междуведомственный) «Исследование крупномасштабного взаимодействия океана и атмосферы в Северной Атлантике», изд. ЛПИ, 1986, вып. 93,

с. 81—90. (ЛГМИ).

По материалам климатического океанографического архива, созданном в Лаборатории геофизической гидродинамики (США), рассчитана сезонная изменчивость энтальпии вод в слое 0—50 м и 0—200 м в центрах 1°×1° квадратов северной части Атлантического океана. Показано, что изменчивость энтальпии вод тесно связана с адвекцией тепла течениями в энергоактивных зонах океана в зимний и летний сезоны. Результаты предназначены для использования в климатических моделях системы океан — атмосфера.

Табл. 1. Илл. 2. Библ. 7.

УДК (551.465.52+551.465.53) (261.5)

Поверхностная циркуляция атлантического сектора Южного океана. Смирнов Н. П., Амонский Е. Л. Сборник научных трудов (междуведомственный) «Исследование крупномасштабного взаимодействия океана и атмосферы в Северной Атлантике», изд. ЛПИ, 1986, вып. 93, с. 90—99. (ЛГМИ).

Рассматривается поверхностная циркуляция Южной Атлантики по данным дрейфующих буев ПГЭП. Поля течений рассчитаны в узлах пятиградусной регулярной сетки методом конечных элементов. Приводятся сезонные карты течений и плотности кинетической энергии среднего потока и вихревой кинетической энергии. Вихревая кинетическая энергия в АЦТ превышает среднюю кинетическую энергию в 1,5—2 раза, а в циркуляционных ядрах субтропического круговорота более, чем в 100 раз. Выполнены оценки зонально осредненных величин кинетической энергии среднего и вихревого полей течений в различные сезоны южного полушария.

Табл. 1. Илл. 4. Библ. 6.

УДК 551.557

Водный баланс атмосферы Норвежской энергоактивной зоны. Малинин В. Н. Сборник научных трудов (междуведомственный) «Исследование крупномасштабного взаимодействия океана и атмосферы в Северной Атлантике»,

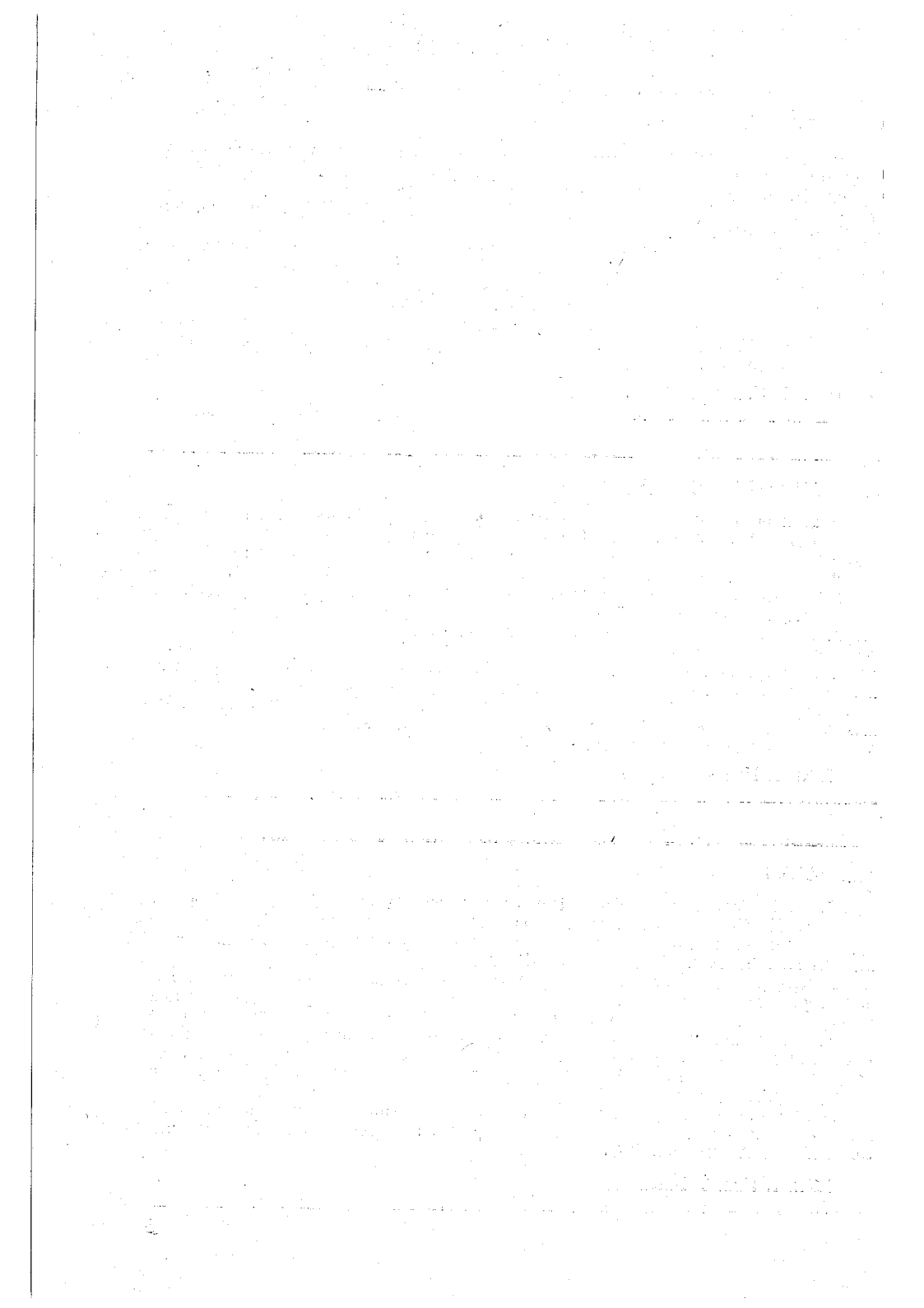
изд. ЛПИ, 1986, вып. 93, с. 99—113. (ЛГМИ).

Рассматриваются особенности формирования водного баланса атмосферы над Норвежским морем, в частности, влагосодержания атмосферы, дивергенции интегрированного по вертикали потока водяного пара, испарения, осадков. Большое внимание уделяется методам оценки точности расчета отдельных составляющих баланса. Предлагается комплексная схема оценки погрешностей, а также метод пространственной интерполяции исходных полей, основанный на двухмерном тренд-анализе.

Показано, что испарение в холодный период в Норвежской энергоактивной зоне является важным предиктором для прогноза годового стока крупных рек

Европейской территории СССР.

Табл, 1. Илл, 3. Библ, 26.



УДК 551.465.4

О структуре термохалинных полей деятельного слоя Норвежской энергоактивной зоны. В айновский П. А., Титов Ю. Э. Сборник научных трудов (междуведомственный) «Исследование крупномасштабного взаимодействия океана и атмосферы в Северной Атлантике», изд. ЛПИ, 1986, вып. 93, е. 113—121. (ЛГЙЙ).

Обсуждается пространственно-временная структура термохалинных полей Норвежской энергоактивной зоны по результатам статистического анализа климатических среднесезонных данных. Проводится районирование акватории по принципу однородности структуры термохалинных полей. Анализируется сезонная изменчивость энтальпии верхнего двухсотметрового слоя океана.

Табл. 3. Илл. 2. Библ. 6.

УДК 551,465,41

Энергетика фронтального вихря в южной части Норвежского моря. Аверкиев А. С., Плинк Н. Л. Сборник научных трудов (междуведомственный) «Исследование крупномасштабного взаимодействия океана и атмосферы в Северной Атлантике», изд. ЛПИ, 1986, вып. 93, с. 121—129. (ЛГМИ).

По данным двух океанографических съемок, выполненных в 6-ом рейсе УЭС ЛГМИ «Профессор Сергей Дорофеев», исследуется процесс образования циклонического фронтального вихря. Диаметр вихря равен 50 км. Перепад температуры от центра к периферии в верхнем 100-метровом слое составил порядка 2°. Качественная картина генерации вихря обсуждается на основе анализа полей температуры и солености, карт динамической топографии и течений, рассчитанных динамическим методом. Выполненная оценка потоков энергии от среднего движения к вихрю показала, что вклад бароклинной неустойчивости на порядок превышает баротропный. Максимум энергии неустойчивости совпадает с положением вихря. Вихрь имеет наклон оси на юго-восток, в направлении среднего смещения. Выполненная на основе полученных энергетических характеристик оценка времени образования вихря, равная 10—11 суткам, согласуется с данными, имеющимися в литературе, а также промежутком времени между двумя съемками, зафиксировавшими начальную стадию образования вихря и его окончательное формирование.

Табл, 1. Илл, 3, Библ, 5,

NEW SERVICE

The area County Leader

УЛК 551.456.

О роли атмосферной циркуляций и дрейфовых течений в формировании водообмена в датских проливах. Коровин В. П., Угрюмов А.И. Сборник научных трудов (междуведомственный) «Исследование крупномасштабного взаимодействия океана и атмосферы в Северной Атлантике», изд. ЛПИ, вып. 93; с. 129—136. (ЛГМИ).

Рассмотрены вопросы формирования дрейфовых течений в датских проливах в зависимости от атмосферной циркуляции и их роль в процессе водообмена между Балтийским и Северным морями.

Илл. 1. Библ. 3.

УДК 551.456.

О некоторых климатических особенностях энергоактивной зоны Куросио. Угрюмов А. И., Нгуен Зоан Тоан. Сборник научных трудов (междуведомственный) «Исследование крупномасштабного взаимодействия океана и атмосферы в Северной Атлантике», изд. ЛПИ, вып. 93, с. 136—144. (ЛГМИ).

Рассмотрены климатические особенности теплообмена между океаном и атмосферой в энергоактивной зоне Куросио, установлена ее сезонная миграция.

Табл. 1. Илл. 3. Библ. 12.

УДК 551.463.64

Межгодовая изменчивость температуры поверхности воды в северной части Тихого океана. Музыченко А. Г. Сборник научных трудов (междуведомственный) «Исследование крупномасштабного взаимодействия океана и атмосферы в Северной Атлантике», изд. ЛПИ, вып. 93, с. 144—152. (ЛГМИ).

По среднемесячным данным о температуре воды в северной части Тихого океана за 1947—1978 гг. оценен вклад междугодичной регулярной и нерегулярной изменчивости в общую дисперсию исходных рядов для отдельных энергоактивных областей и всей исследуемой акватории. Выделены статистически значимые колебания с периодами 5—6, 8 и 10—11 лет. Приведены карты и анализ распределения амплитуд и фаз доминирующих гармоник по региону.

Табл. 1. Илл. 3. Библ. 10.

